

АКАДЕМИЯ НАУК СССР

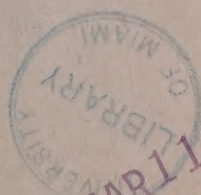
SOURCE UNKNOWN

5 - MAR 19

Copy ☒ 1959

# ЖУРНАЛ ФИЗИЧЕСКОЙ ХИМИИ

ТОМ  
XXXII



*Compl. also.*

ВЫПУСК 10

ОКТАБРЬ

---

ИЗДАТЕЛЬСТВО АКАДЕМИИ НАУК СССР  
МОСКВА • 1958

# ЖУРНАЛ ФИЗИЧЕСКОЙ ХИМИИ

*Редакционная коллегия:*

В. Я. АНОСОВ, К. В. АСТАХОВ, А. И. БРОДСКИЙ, Г. К. БОРЕСКОВ,  
Я. И. ГЕРАСИМОВ, С. В. ГОРБАЧЕВ, Г. С. ЖДАНОВ,  
Л. А. НИКОЛАЕВ, Н. Н. СЕМЕНОВ, А. Н. ТЕРЕНИН, А. Н. ФРУМКИН,  
К. В. ЧМУТОВ

*Главный редактор Я. И. ГЕРАСИМОВ*

*Заместители главного редактора С. В. ГОРБАЧЕВ, К. В. ЧМУТОВ*

*Отв. секретарь Л. А. НИКОЛАЕВ*



# ТЕПЛОЕМКОСТЬ ВОЛЬФРАМАТОВ НИКЕЛЯ, СТРОНЦИЯ И ЦИНКА И МОЛИБДАТОВ БАРИЯ И СТРОНЦИЯ ПРИ ВЫСОКИХ ТЕМПЕРАТУРАХ

Л. А. Жаркова и Т. Н. Резухина

Теплоемкость вольфраматов никеля, стронция и цинка и молибдатов бария и стронция в температурном интервале от 683,2—293,2°K до 1125,2—293,2°K определялась методом смешения в массивном калориметре. Схема установки, методика, определение теплового значения калориметра и другие детали работы описаны ранее [1].

Исследуемые вольфраматы и молибдаты готовились из их азотнокислых или хлористых солей осаждением их эквивалентным количеством раствора  $K_2WO_4$  или соответственно  $Na_2MoO_4$ . Все исходные соли предварительно очищались перекристаллизацией. Осадки вольфраматов и молибдатов тщательно промывались, сушились и прокаливались при 800—900°.

Анализ полученных вольфраматов и молибдатов проводился по [2]. Навеска вольфрамата (соответственно молибдата) разлагалась кипячением в смеси  $HCl$  и  $HNO_3$ . Весовой формой при определении вольфрама был  $WO_3$  (для полноты осаждения вольфрамовой кислоты добавлялся цинхонин); молибден определялся в виде  $PbMoO_4$ , барий и стронций — в виде сульфатов, цинк осаждался в виде фосфата, никель — диметилглиоксимом.

Во втором столбце таблицы приведены усредненные для каждого интервала температур значения средней удельной теплоемкости вольфраматов никеля, стронция и цинка и молибдатов бария и стронция; в этом же столбце указана точность, с какой в среднем совпадают между собой параллельные опыты.

Средняя удельная теплоемкость всех изученных солей  $\bar{C}_p$  в исследованном интервале температур изменяется линейно с температурой.

Полученные данные охватываются следующими уравнениями:

$$\bar{C}_{pNiWO_4} = 0,08702 + 2,5619 \cdot 10^{-5}T (\pm 0,17\%),$$

$$\bar{C}_{pSrWO_4} = 0,08972 + 1,2857 \cdot 10^{-5}T (\pm 0,14\%),$$

$$\bar{C}_{pZnWO_4} = 0,09102 + 1,5613 \cdot 10^{-5}T (\pm 0,14\%),$$

$$\bar{C}_{pBaMoO_4} = 0,09194 + 2,2508 \cdot 10^{-5}T (\pm 0,15\%),$$

$$\bar{C}_{pSrMoO_4} = 0,11030 + 2,8919 \cdot 10^{-5}T (\pm 0,01\%),$$

где  $T$  — абсолютная температура.

В третьем столбце таблицы приведены для сравнения с опытными значениями средние удельные теплоемкости, рассчитанные по этим уравнениям, а в четвертом столбце — разница между ними, выраженная в процентах.

Истинная удельная теплоемкость  $C_p$  исследованных солей вычислялась из средней удельной теплоемкости  $\bar{C}_p$  по формуле:

$$C_p = \frac{d[\bar{C}_p(T - 293,2)]}{dT}.$$

**Средняя удельная теплоемкость вольфраматов никеля, стронция и цинка  
и молибдатов бария и стронция**

Температурный интервал, в котором проводилось измерение теплоемкости, °K	$\bar{C}_p$ , кал/моль·град (из опыта)	$\bar{C}_p$ , кал/моль·град (рассчитанная по уравнению)	Отклонение между экспери- ментальными результа- ми $\bar{C}_p$ и значениями $\bar{C}_p$ , рассчитанными по уравне- нию, %
<b>NiWO<sub>4</sub></b>			
715,4—293,2	0,1056±0,1 %	0,1054	-0,19
815,4—293,2	0,1078±0,09%	0,1079	+0,08
924,6—293,2	0,1104±0,1 %	0,1107	+0,26
1107,2—293,2	0,1156±0,08%	0,1154	-0,17
<b>SrWO<sub>4</sub></b>			
739,3—293,2	0,09932±0,1 %	0,09921	-0,1
811,5—293,2	0,09987±0,07%	0,1001	+0,14
899,5—293,2	0,1016±0,09%	0,1013	-0,28
999,8—293,2	0,1024±0,08%	0,1025	+0,1
1103,9—293,2	0,1040±0,05%	0,1039	-0,1
<b>ZnWO<sub>4</sub></b>			
750,5—293,2	0,1028±0,14%	0,1027	-0,1
905,4—293,2	0,1053±0,09%	0,1052	-0,1
1009,3—293,2	0,1068±0,04%	0,1068	0,00
1095,6—293,2	0,1079±0,02%	0,1081	+0,18
<b>BaMoO<sub>4</sub></b>			
683,2—293,2	0,1072±0,09%	0,1073	+0,09
793,1—293,2	0,1099±0,07%	0,1098	-0,09
863,4—293,2	0,1116±0,09%	0,1114	-0,17
998,4—293,2	0,1146±0,04%	0,1144	-0,17
1125,2—293,2	0,1170±0,08%	0,1173	+0,2
<b>SrMoO<sub>4</sub></b>			
702,6—293,2	0,1306±0,05%	0,1306	0,00
801,7—293,2	0,1334±0,08%	0,1335	+0,06
901,2—293,2	0,1372±0,04%	0,1372	0,00
982,4—293,2	0,1387±0,00%	0,1387	0,00

Для исследованного интервала температур зависимость  $C_p$  от  $T$  (где  $T$  — абсолютная температура) выражается следующими уравнениями:

$$C_{p\text{NiWO}_4} = 0,07951 + 5,1238 \cdot 10^{-5}T,$$

$$C_{p\text{SrWO}_4} = 0,08595 + 2,5714 \cdot 10^{-5}T,$$

$$C_{p\text{ZnWO}_4} = 0,08645 + 3,1226 \cdot 10^{-5}T,$$

$$C_{p\text{BaMoO}_4} = 0,08534 + 4,5016 \cdot 10^{-5}T,$$

$$C_{p\text{SrMoO}_4} = 0,10182 + 5,7838 \cdot 10^{-5}T.$$

Авторы выражают благодарность профессору С. М. Скуратову за ряд ценных указаний, использованных при выполнении настоящей работы.

### Выводы

Методом массивного калориметра в интервале температур от 683,2—293,2°K до 1125,2—293,2°K измерены средние удельные теплоемкости



$\text{NiWO}_4$ ,  $\text{SrWO}_4$ ,  $\text{ZnWO}_4$ ,  $\text{BaMoO}_4$  и  $\text{SrMoO}_4$  и даны уравнения для вычисления средних и истинных удельных теплоемкостей этих солей в изученном интервале температур.

Московский государственный университет  
им. М. В. Ломоносова

Поступила  
30. I. 1957

#### ЛИТЕРАТУРА

1. Л. А. Жаркова, Т. Н. Резухина, Ж. физ. химии, 31, 2278, 1958.  
2. В. Гиллебранд и Г. Лендель, Практическое руководство по неорганическому анализу, ГИХЛ, 1935.

### ТHERMAL CAPACITY OF NICKEL, STRONTIUM AND ZINC TUNGSTATES AND OF BARIUM AND STRONTIUM MOLYBDATES AT ELEVATED TEMPERATURES

*L. A. Zharkova and T. N. Rezukhina*

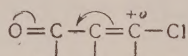
#### Summary

With the aid of the massive calorimeter method the mean thermal capacities of  $\text{NiWO}_4$ ,  $\text{SrWO}_4$ ,  $\text{ZnWO}_4$ ,  $\text{BaMoO}_4$  and  $\text{SrMoO}_4$  have been measured over temperatures ranging from 683.2—293.2° K to 1125.2—293.2° K, and equations have been presented for calculating the mean and true thermal capacities of these salts within this temperature range.

КИНЕТИКА РЕАКЦИИ ОБМЕНА ХЛОРА В ИЗОМЕРНЫХ  
β-ХЛОРКРОТОНОВЫХ КИСЛОТАХ. I

Т. А. Кудрявцева и Н. М. Чирков

Одной из главных проблем современной теоретической органической химии является выяснение механизма реакций замещения. По вопросу реакциях замещения у насыщенного углеродного атома и, в особенности по обмену атома галоида, связанного с насыщенным углеродным атомом, существует обширная литература. Этот вопрос, в том числе и его стереохимическая сторона, в настоящее время может считаться в значительной мере выясненным. Напротив, механизм обмена атома галоида, связанного с углеродом, несущим кратную связь, до сих пор в сущности не подвергался сколько-нибудь серьезному изучению. Хорошо известно, что атом галоида в соединениях типа хлористого винила  $\text{CH}_2 = \text{CHCl}$  отличается большой инертностью и проявляет малую склонность к реакциям обмена. В том случае, когда в β-положении к атому галоида стоит карбоксильная или карбонильная группа, его подвижность резко возрастает, что связано с увеличением электрофильности β-углеродного атома под влиянием карбонила:



Это явление хорошо известно на примере реакции замещения хлора в β-хлоркротоновых кислотах [1] и в β-хлорвинилкетонах [2]. Нужно вместе с тем подчеркнуть, что все имеющиеся сведения о подвижности атома галоида в этих системах имеют чисто качественный характер и никаких количественных закономерностей здесь неизвестно.

Особенно интересным является вопрос о влиянии конфигурации непредельного соединения на подвижность галоида, т. е. сравнение подвижности атома галоида в цис- и трансизомерах, и, стало быть, — вопрос о значении передачи влияния карбонильных групп в случае цис- и транс-положения атома галоида по отношению к ним.

Поскольку β-хлорвинилкетоны до сих пор не были получены в виде своих геометрических изомеров, а для β-хлоркротоновой кислоты оба геометрических изомера хорошо известны и вполне доступны, наиболее удобным объектом для выяснения упомянутого вопроса являются цис- и транс-β-хлоркротоновые кислоты.

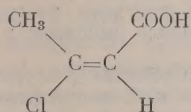
Исходя из теоретических предпосылок, можно было ожидать значительной разницы в склонности к обмену атомов галоида в этих изомерах.

Взаимодействие карбонильных групп с атомом хлора является частным случаем сопряжения двух простых связей через двойную связь, которое было названо А. Н. Несмеяновым δ-δ-сопряжением [3], по аналогии с сопряжением двух двойных связей через простую (π-π-сопряжение).

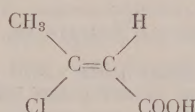
Как хорошо известно, общим условием для проявления π-π-сопряжения является параллельность обеих двойных связей, точнее — параллельность облаков π-электронов. А. Н. Несмеяновым было высказано предположение [3], что для δ-δ-сопряжения также весьма существенным



является взаимное направление сопрягающихся одинарных связей. При их параллельном расположении сопряжение проявляется значительно полнее, чем в том случае, когда они расположены под углом. Легко видеть, что в транс-β-хлоркротоновой кислоте (I) связи CO—C и C—Cl параллельны друг другу, тогда как в цис-изомере (II) они расположены под углом



(I)



(II)

Таблица 1

## Результаты опытов при различных температурах

Температура, °C	Время, мин.	AgNO <sub>3</sub> , мл	α	k
Для цис-β-хлоркротоновой кислоты				
80	10	0,38	0,149	1,62·10 <sup>-2</sup>
	20	0,65	0,260	1,52
	30	0,92	0,360	1,60
	40	1,18	0,464	1,67
	50	1,35	0,530	1,64
	60	1,50	0,588	1,62
	75	1,66	0,652	1,54
	90	1,82	0,715	1,60
	120	2,04	0,800	1,55
	160	2,23	0,876	1,56
	200	2,33	0,915	1,50; 1,58·10 <sup>-2</sup>
60	15	0,11	0,044	3,34·10 <sup>-3</sup>
	25	0,15	0,060	2,4
	41	0,22	0,088	2,4
	60	0,36	0,143	2,67
	98	0,50	0,198	2,33
	140	0,70	0,279	2,43
	180	0,85	0,339	2,44
	240	1,01	0,403	2,25
	300	1,22	0,487	2,40
	360	1,35	0,538	2,34
	420	1,46	0,578	2,24
	480	1,56	0,622	2,22
	540	1,66	0,661	2,23
	600	1,74	0,694	2,24; 2,42·10 <sup>-3</sup>

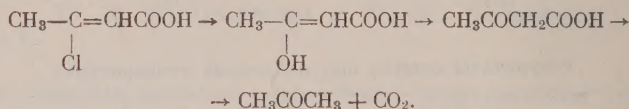
## Для транс-β-хлоркротоновой кислоты

80	5	1,19	0,475	13,8
	15	2,16	0,861	15,6
	25	2,40	0,950	14,6; 14,7·10 <sup>-2</sup>
60	15	0,70	0,283	2,3
	25	1,03	0,418	2,32
	40	1,43	0,580	2,36
	60	1,72	0,696	2,44
	80	2,07	0,837	2,65; 2,42·10 <sup>-2</sup>
40	20	0,12	0,048	2,48
	40	0,28	0,113	3,02
	60	0,41	0,165	3,08
	90	0,56	0,226	3,98
	120	0,81	0,326	3,46
	180	1,02	0,414	3,14
	240	1,21	0,488	3,00
	330	1,47	0,594	2,98
	450	1,74	0,702	3,10; 3,03·10 <sup>-3</sup>

В связи с этим следует ожидать, что подвижность атома хлора в транс-изомере будет выше, чем в цис-изомере. Оценка этой подвижности может быть произведена только с помощью кинетического метода. Кинетическое изучение обмена атома хлора в цис- и транс-β-хлоркротоновых кислотах составляет предмет настоящей работы.

Изомерные β-хлоркротоновые кислоты были получены известным методом [1] и тщательно очищены. Чистота их контролировалась анализом и по температуре плавления.

Для оценки подвижности хлора была выбрана реакция β-хлоркротоновых кислот с водным раствором едкого натра [5], приводящая к энольной форме ацетоуксусной кислоты, которая далее (при подкислении) распадается на ацетон и углекислый газ:



Поскольку обмен хлора оценивался по выделению иона хлора, последующий распад первичного продукта реакции — ацетоуксусной кислоты — значения не имеет. Точно так же для оценки сравнительной подвижности атома хлора в обоих изомерах не имело значения и то, что, поскольку в реакцию вводился избыток щелочи, фактически реагировали не сами кислоты, а их натриевые соли. Так как в специально поставленных опытах для обнаружения тетроловой кислоты ее найдено не было, можно сделать вывод, что идет именно замещение хлора на гидроксил, а не просто элиминация HCl под влиянием щелочи.

Измерение кинетики исследуемой реакции проводилось в водно-щелочных растворах определенной концентрации. При молярном отношении натриевой щелочи к натриевой соли исходной кислоты, равном 4 : 1, были сняты кинетические кривые при 20, 40, 50, 60, 70 и 80°.

Навески чистых кислот по 0,6 г (с точностью до 0,0001) растворялись в определенном количестве воды (15 мл, нагревались в ультратермостате, температура в котором поддерживалась с точностью  $\pm 0,1^\circ$ , до температуры опыта и к ним добавлялось по 5 мл 20%-ного раствора щелочи, нагретого до той же температуры.

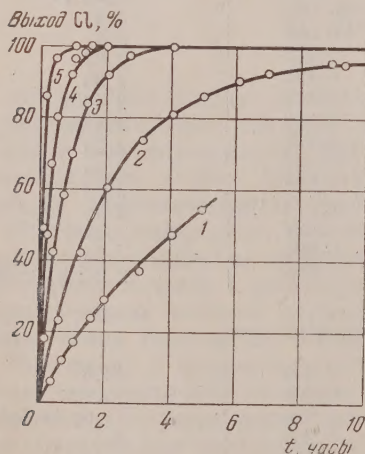


Рис. 1. Кинетические кривые для реакции обмена хлора в транс-β-хлоркротоновой кислоте при различных температурах (кривая 1—40°; 2—50°; 3—60°; 4—70° и 5—80°)

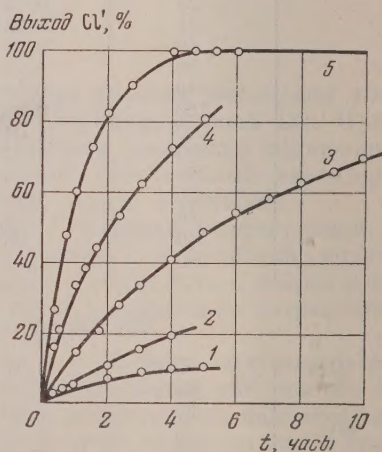


Рис. 2. Кинетические кривые для реакции обмена хлора в цис-β-хлоркротоновой кислоте при различных температурах (кривая 1—20°; 2—50°; 3—60°; 4—70° и 5—80°)

Из растворов отбирались пробы (по 1 мл) через определенные промежутки времени и количество выделившегося иона хлора определялось титрованием по Фольгарду. Каждый из опытов повторялся от двух до пяти раз и совпадение результатов получалось вполне удовлетворительным.

Опыты продолжались по восемь часов, в случае необходимости прерывались на ночь, а затем нагревание продолжалось; найдено, что во всех случаях, как для транс-



так и для цис-изомера, реакция может быть доведена до конца, т. е. весь хлор может быть выделен в ионной форме.

При 20° реакция идет очень медленно и для транс-изомера  $\beta$ -хлоркротоновой кислоты доходит до конца (т. е. весь хлор выделяется в виде иона) за 45 дней, для цис-изомера реакция не успевает закончиться за три месяца.

Полученные кинетические кривые приведены на рис. 1 для транс-изомера и рис. 2 для цис-изомера.

Уже из приведенных кривых видно, что транс- $\beta$ -хлоркротоновая кислота реагирует значительно быстрее, чем цис-изомер.

Для выяснения влияния концентрации щелочи, т. е. для подтверждения бимолекулярности процесса, были сняты кинетические кривые для цис- $\beta$ -хлоркротоновой кислоты при 70°. Скорость реакции увеличивается при увеличении начальной концентрации щелочи. Если избытка щелочи нет, то реакция не идет. Были взяты следующие молярные отношения щелочи к соли кислоты:  $L = B_0/A_0 = 4; 2$  и  $1$ .

Полученные кривые приведены на рис. 3. По этим кривым были найдены константы скорости реакции замещения для обоих изомеров. Эти константы вычислялись по уравнению простой бимолекулярной реакции:

$$\frac{dx}{dt} = k_1 (A_0 - x) (B_0 - x),$$

которое в интегральной форме имеет вид:

$$\ln \frac{L - \alpha}{L(1 - \alpha)} = A_0(L - 1)kt, \quad (1)$$

откуда

$$k = \frac{1}{t} \frac{1}{A_0(L - 1)} \ln \frac{L - \alpha}{L(1 - \alpha)},$$

$$\alpha = \frac{x}{A_0}, \quad L = \frac{B_0}{A_0},$$

где  $A_0$  — начальная концентрация соли исходной кислоты,  $B_0$  — начальная концентрация щелочи (NaOH).

Для примера в табл. 1 (см. стр. 2237) приведены опытные данные, полученные нами при различных температурах для цис- и транс- $\beta$ -хлоркротоновых кислот, и вычисленные по ним константы скорости.

Таблица 2

$L$	4	2	1
$k \cdot 10^3$	6,3	6,29	6,22

В табл. 2 приведены значения констант скорости для цис-изомера  $\beta$ -хлоркротоновой кислоты, полученные при 70° и различном значении  $L$ , т. е. различной концентрации щелочи.

Эта величина константы скорости близка к найденной для этой температуры в предыдущих опытах ( $6,14 \cdot 10^{-3}$ ).

В табл. 3 приведены логарифмы величин констант скорости реакций в зависимости от обратной температуры.

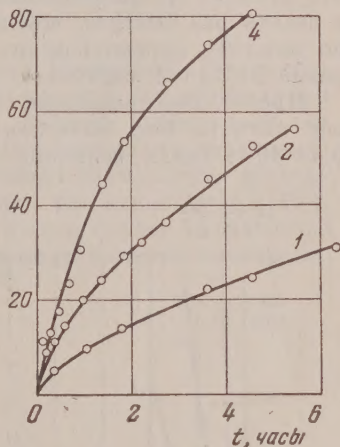


Рис. 3. Кинетические кривые для реакции обмена хлора в цис- $\beta$ -хлоркротоновой кислоте при 70° и различных концентрациях щелочи. (Номера кривых соответствуют молярному отношению щелочи и соли цис-кислоты)

Как видно из рис. 4, анаморфозы кинетических кривых в координатах  $\ln \frac{L - \alpha}{L(1 - \alpha)}$  от

времени представляют собой прямые линии и, следовательно, подтверждают уравнение (1).

Таблица 3

$t^\circ, C$	$\frac{1}{T} \cdot 10^3$	цис		транс	
		$k \cdot 10^4$	$\ln(k \cdot 10^4)$	$k \cdot 10^3$	$\ln(k \cdot 10^3)$
80	2,833	1580	3,199	1470	3,462
70	2,915	614	2,788	614	2,788
60	3,003	242	2,380	240	2,380
50	3,096	98	1,986	88	1,944
40	3,195	—	—	3,03	0,482
20	3,414	2,8	0,448	—	—

Величины констант различаются ровно на порядок, из чего следует, что транс- $\beta$ -хлоркротоновая кислота при всех температурах реагирует в десять раз быстрее, чем цис-изомер. Энергия активации, вычисленная по наклону аррениусовских прямых, одинакова для обоих изомеров и равна  $21,3 \pm 0,2$  ккал/моль.

Предэкспоненциальный множитель для трансформы  $\beta$ -хлоркротоновой кислоты был вычислен по константе скорости и оказался равным  $5,48 \cdot 10^{10}$ . Такая величина предэкспоненциального множителя является нормальной для простой необратимой бимолекулярной реакции.

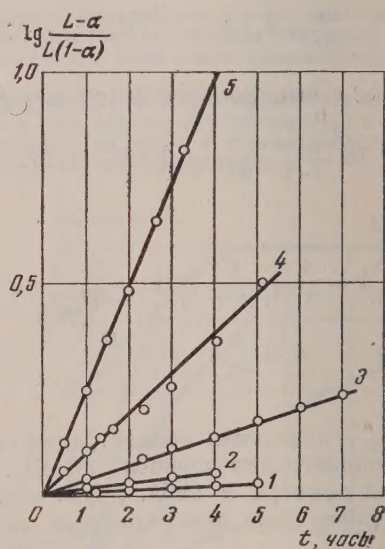
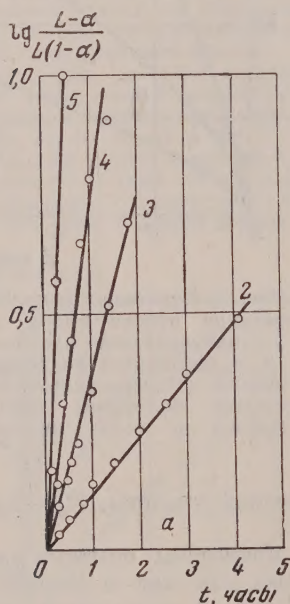


Рис. 4. Анаморфозы кинетических кривых. а — для транс- $\beta$ -хлоркротоновой кислоты; б — для цис- $\beta$ -хлоркротоновой кислоты (кривая 1—40°, 2—50°; 3—60°; 4—70° и 5—80°)

Предэкспонент для цис-изомера в 10 раз меньше и равен  $5,9 \cdot 10^9$ . Следовательно, в этом случае можно считать, что реакция происходит при простом столкновении иона  $\text{CH}_3\text{CCl} = \text{CHCOO}'$  с ионом гидроксила (катализ отсутствует). Поэтому различную скорость реакции замещения атома хлора для разных изомеров в данном частном случае следует отнести за счет только пространственных факторов.

Уже после того, как наша работа была подготовлена к печати, появилось краткое сообщение [6], посвященное исследованию замещения хлора в этиловых эфирах  $\beta$ -хлоркротоновых кислот на этокси-, фенокси- тио-



оксигруппы в спиртовой среде. В статье не приведено экспериментальных подробностей. На основании образования двух изомеров при действии этилмеркаптида натрия авторы предполагают промежуточное существование активного комплекса. Наши данные противоречат этому предположению, так как энергии активации равны для обоих изомеров. Энергии активации реакций, исследованных этими авторами, даны для  $0^\circ \text{C}$  и, следовательно, также не могут быть достаточно точными.

Изложенные факты трудно согласовать с приведенной выше точкой зрения на причины различной реакционной способности цис- и транс-форм, так как, согласно этой точке зрения, следовало бы ожидать определенной разницы в энергии активации этих процессов, что в действительности не наблюдается. Возможно, что это противоречие существует только для данного случая.

### Выводы

В работе изучена реакция замещения хлора в изомерных  $\beta$ -хлорcroновых кислотах на гидроксил. Показано, что это простая необратимая бимолекулярная реакция. Энергия активации найдена одинаковой для обоих изомеров и равна  $21,3 \pm 0,2 \text{ ккал/моль}$ . Предэкспоненты различаются в десять раз, причем для транс-изомера он имеет нормальную величину ( $5,48 \cdot 10^{10}$ ), а для цис-изомера — в десять раз меньшую ( $5,9 \cdot 10^9$ ). Различная реакционная способность изомеров в этом случае объясняется не энергетическими причинами, а только пространственными факторами.

АН СССР  
Институт химической физики  
Москва

Поступила  
11. VII. 1956

### ЛИТЕРАТУРА

1. W. Autenrieth, Ber., 29, 1639, 1652, 1667, 1896.
2. Н. К. Кочетков, Успехи химии, 24, 32, 1955.
3. А. Н. Несмеянов, Уч. зап. МГУ, 132, 5, 1950.
4. A. Michael, O. Schulthness, J. pract. Chem., 46, 236, 254, 1892.
5. R. Friedrich, Ann. d. Chem., 249, 322, 1883.
6. D. Emyr Jones, C. A. Vernon, Nature, 791, 1955.

### KINETICS OF THE CHLORINE EXCHANGE REACTION IN ISOMERIC $\beta$ -CHLOROCROTONIC ACIDS

*T. A. Kudryavtseva and N. M. Chirkov*

#### Summary

A study has been made of the substitution of chlorine for the hydroxyl group in the isomeric  $\beta$ -chlorocrotonic acids. It has been shown that this is an irreversible bimolecular reaction. The activation energy was found to be the same for both isomers, equalling  $21.3 \pm 0.2 \text{ cal/mole}$ . The preexponential factors differ by ten fold, the trans isomers having a normal value ( $5.48 \times 10^{10}$ ), whereas the cis isomer is ten times as small ( $5.9 \times 10^9$ ). The different reactivities here of the isomers are explained by steric rather than energy factors.

ОБРАЗОВАНИЕ ФОРМАЛЬДЕГИДА ПРИ АДИАБАТИЧЕСКОМ  
СЖАТИИ МЕТАНО-КИСЛОРОДНЫХ СМЕСЕЙ

А. М. Маркевич, И. И. Тамм и Ю. Н. Рябинин

Предложенный ранее метод адиабатического сжатия и расширения [1] дает возможность исследовать химические реакции в особых условиях. Эти условия характеризуются высокой концентрацией исходных компонентов, превосходящей в несколько сот раз нормальные условия, высокой температурой, развивающейся при сжатии, кратковременностью самой реакции и гомогенным характером зарождения активных центров. Режим опыта определяет не только быстрое нарастание давления, т. е. концентрации и температуры газа, но и, соответственно, высокую закалку продуктов реакции в процессе расширения, что особенно существенно при исследовании быстрых процессов.

В настоящей работе метод адиабатического сжатия и расширения был применен для изучения продуктов, образующихся при сжатии метано-кислородных смесей. Газовая смесь \* при атмосферном давлении и комнатной температуре помещалась в ствол адиабатической установки и сжималась поршнем [1]. Степень и время сжатия газа определялись скоростью движения поршня и его массой. Режим адиабатического цикла изображен на рис. 1, где представлена индикаторная диаграмма сжатия воздуха до давления  $2440 \text{ кг/см}^2$ . По оси абсцисс нанесено время. Внизу графика видны отметки времени с интервалом  $10^{-4}$  сек. На этой диаграмме, полученной с помощью пьезокварцевого манометра, показания которого были записаны на катодном осциллографе, зафиксирована лишь часть цикла, отвечающая лишь наибольшим степеням сжатия. Левая часть кривой до максимума представляет процесс сжатия, правая — после максимума описывает последующее расширение газа. График показывает, что наиболее интересная стадия цикла, в которой давление достигает сотен и тысяч  $\text{кг/см}^2$ , длится только несколько десятитысячных долей секунды. Соответственно изменению давления меняется и температура исследуемого газа. При сжатии температура возрастает, при расширении — падает. Малые времена процесса позволяют пренебречь теплопотерями и рассматривать весь цикл как адиабатический и ориентировочно оценивать температуру газа по ходу сжатия. Расчет показывает, что скорость изменения температуры сжатого газа достигает  $10^6$ — $10^7$  град/сек. Такое резкое снижение температуры позволяет при исследовании химически активных газовых смесей осуществить высокую закалку [2] и остановить реакцию на некоторой промежуточной стадии. Этот прием дает возможность исследовать образование не только конечных, термодинамически равновесных продуктов, как это имело место в случае синтеза окиси азота [3, 4] и синильной кислоты [5], но также позволяет извлекать из зоны реакции промежуточные, не стабильные в условиях реакции, вещества.

Пользуясь тем, что аппаратура давала возможность получать высокие скорости охлаждения, мы надеялись пойти и определить количественно образующиеся при этом промежуточные продукты. На этой стадии

\* Применявшийся метан содержал 1—2% высших углеводородов. В ряде опытов смесь разбавлялась азотом.





Рис. 1. Индикаторная диаграмма адиабатического сжатия воздуха до давления  $2440 \text{ кг/см}^2$

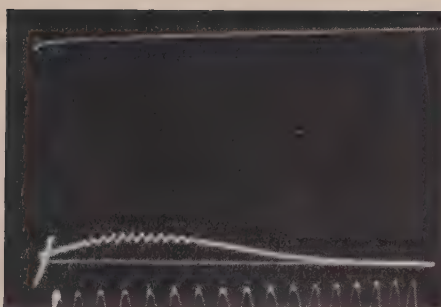
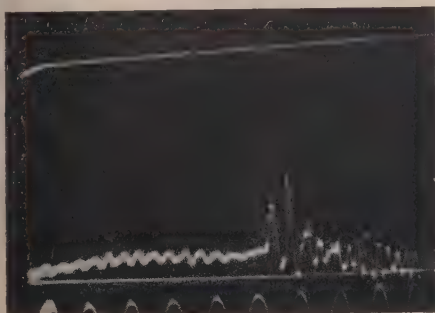
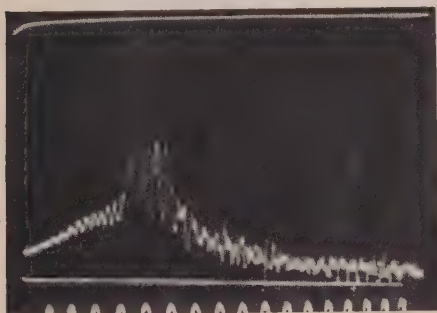


Рис. 2. Индикаторная диаграмма адиабатического сжатия смеси:  $\text{CH}_4$  — 5,5,  $\text{O}_2$  — 52,7,  $\text{N}_2$  — 41,8%. Максимальное давление  $90 \text{ кг/см}^2$



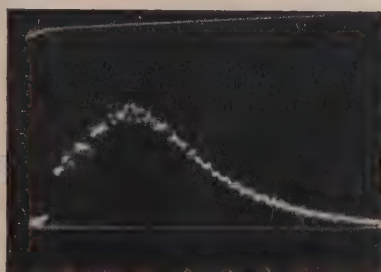
$\uparrow t_1$

Рис. 3. Индикаторная диаграмма адиабатического сжатия смеси:  $\text{CH}_4$  — 5,5,  $\text{O}_2$  — 36,5,  $\text{N}_2$  — 58%. Максимальное давление  $190 \text{ кг/см}^2$



$\uparrow t_1$

Рис. 4. Индикаторная диаграмма адиабатического сжатия смеси:  $\text{CH}_4$  — 5,5,  $\text{O}_2$  — 52,7,  $\text{N}_2$  — 41,8%. Максимальное давление  $530 \text{ кг/см}^2$



$\uparrow t_1$

Рис. 5. Индикаторная диаграмма адиабатического сжатия смеси:  $\text{CH}_4$  — 5,5,  $\text{O}_2$  — 36,5,  $\text{N}_2$  — 58. Максимальное давление  $1100 \text{ кг/см}^2$



работы мы ограничили задачу определением содержания формальдегида, который всегда обнаруживается при окислении метана и, как это было показано в опытах при низких давлениях [6], является первичным промежуточным продуктом. Качественно образование формальдегида при адиабатическом сжатии метано-кислородной смеси (24 : 1) было недавно установлено в работе М. С. Фурмана и Д. С. Циклиса [7].

В наших опытах было установлено, что характер реакции исследуемой смеси сильно зависит прежде всего от содержания кислорода. Смеси с содержанием кислорода больше 15% при сжатии дают вспышку и образуют сажу. Даже значительное разбавление смеси азотом не вносит существенных изменений. На рис. 2—5 изображены индикаторные диаграммы сжатия таких смесей, полученные аналогично диаграмме рис. 1. Отметка времени нанесена с тем же интервалом  $10^{-4}$  сек. Первый снимок получен при давлении сжатия до  $90 \text{ кг/см}^2$  и характеризует процесс, при котором нет вспышки. Кривая описывает плавное нарастание давления при сжатии и последующее снижение давления при расширении и представляет полную аналогию кривой рис. 1. Колебания записи объясняются появлением ударных волн в сжимаемом газе, возникающих при работе с поршнями небольшой массы [8].

Следующий снимок (рис. 3) получен при сжатии смеси до  $190 \text{ кг/см}^2$ . В момент времени  $t_1$  наблюдается резкое повышение давления, что соответствует вспышке. Характерно, что вспышка происходит не в момент максимального сжатия, а несколько позже, уже при расширении газа.

На двух следующих снимках (рис. 4 и 5) представлены диаграммы, полученные при сжатии горючей смеси до давлений 530 и  $1100 \text{ кг/см}^2$ . Первый иллюстрирует опыт, при котором воспламенение произошло в момент, близкий к максимальному сжатию (при  $t_1$ ); во втором случае, при сжатии до  $1100 \text{ кг/см}^2$ , воспламенение наступило задолго до момента максимального давления.

Опыты с горючими смесями (содержащими более 15%  $\text{O}_2$ ) проводились с целью подбора такого режима эксперимента, который позволил бы превратить реакцию горения и исследовать образующиеся при этом продукты. Эти попытки для смесей, приводящих к воспламенению, не увенчались успехом, поскольку реакция в таких условиях всегда протекала очень быстро и приводила к полному выгоранию. Рис. 4 и 5 показывают, что при воспламенении время реакции всегда меньше времени опыта. Лишь в отдельных опытах, при малых степенях сжатия, еще до воспламенения, в продуктах удавалось обнаружить до 0,2—0,3% формальдегида.

Прервать реакцию и получить промежуточный продукт оказалось возможным только при содержании  $\text{O}_2$  меньше 15%. Такая смесь не воспламеняется даже при сжатии до  $6000 \text{ кг/см}^2$ . Продукты сжатия имеют резкий неприятный запах и содержат формальдегид.

Анализ на содержание формальдегида проводился следующим образом. Через 1—2 сек. после опыта газовая смесь засасывалась из ствола установки в эвакуированную стеклянную колбу, содержащую 10 мл воды. Объем отобранной пробы составлял около 80 мл газа при нормальных условиях. Через 10 мин. после отбора пробы и интенсивного встряхивания колбы полученный раствор анализировался. Присутствие формальдегида было установлено качественными реакциями с фенилгидразином и гваякolkарбонатом [9]. Количественно формальдегид определялся гидроксиламиновым методом. Точность анализа составляла около  $10^{-4}$  г формальдегида. Анализ на уксусный альдегид дал отрицательный результат.

Заметим, что в продуктах реакции помимо формальдегида содержатся, по-видимому, также другие промежуточные вещества, которые с воздухом мгновенно образуют интенсивный туман. Образование тумана наблюдалось всегда при отборе пробы и именно при смешении ее с воздухом. Это явление не есть результат конденсации пересыщенных паров воды,



так как образование тумана возникало на границе смешения с воздухом. По истечении 3—5 мин. туман оседал. В опытах с относительно низкой степенью сжатия (300—350) и низким содержанием формальдегида образование тумана не наблюдалось.

Результаты опытов со смесями природный газ—кислород с содержанием кислорода 6—12% приведены в таблице и на рис. 6, где по оси абсцисс

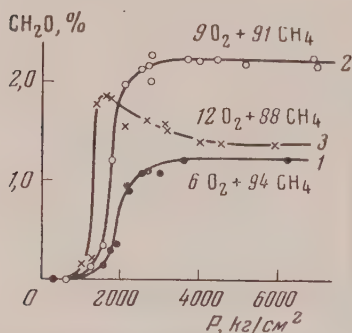


Рис. 6. Образование формальдегида при адиабатическом сжатии смесей, содержащих 6, 9 и 12%  $O_2$

наблюдается вначале более быстрый рост концентрации формальдегида и максимум достигается при давлении сжатия  $\sim 1500$   $кг/см^2$ , а затем с увеличением давления, содержание формальдегида падает. Такой характер кривой 3 указывает на изменение характера реакции в смеси, содержащей 12% кислорода, и прежде всего на увеличение скорости самой реакции. Характерно, что при увеличении содержания кислорода до 15%, как указывалось выше, наблюдается вспышка, и в продуктах ре-

нанесено максимальное давление сжатия и по оси ординат — содержание формальдегида в продуктах реакции. Индикаторные диаграммы, снятые для этой серии опытов, показывают отсутствие воспламенения и по виду аналогичны кривой, приведенной на рис. 1, для опыта с воздухом. Расположение кривых на рис. 6 указывает, что по мере увеличения кислорода реакция образования формальдегида начинается при все меньших давлениях сжатия. В смесях с содержанием кислорода 6 и 9% содержание формальдегида достигает максимальной величины при давлении  $\sim 3000$   $кг/см^2$  и при дальнейшем повышении сжатия до  $7000$   $кг/см^2$  остается постоянным. При работе с 12%-ной смесью

#### Образование формальдегида при адиабатическом сжатии смесей природный газ — кислород. Масса поршня 375 г.

Степень сжатия	Максим. давление сжатия, $кг/см^2$	Содержание $CH_2O$ в смеси, объемн. %	Степень сжатия	Максим. давление сжатия, $кг/см^2$	Содержание $CH_2O$ в смеси, объемн. %	Степень сжатия	Максим. давление сжатия, $кг/см^2$	Содержание $CH_2O$ в смеси, объемн. %
Природный газ — 94 %; кислород 6%								
200	360	0	510	1900	0,34	600	2700	1,09
325	900	0,02	575	2150	0,95	650	2950	1,07
450	1600	0,15	560	2200	0,93	725	3600	1,22
520	1800	0,31	590	2550	1,08	900	6200	1,23
Природный газ — 91%; кислород — 9%								
260	600	0	565	2550	2,11	650	3900	2,22
405	1300	0,12	590	2650	2,16	675	4400	2,23
445	1600	0,34	580	2750	2,00	740	5100	2,19
505	1800	1,22	590	2750	2,26	840	6800	2,25
520	2100	1,97	675	3700	2,24	870	6900	2,17
Природный газ — 88%; кислород — 12%								
415	1050	0,15	475	1650	1,85	625	3150	1,52
420	1300	0,21	530	2100	1,55	640	4000	1,40
460	1400	1,78	550	2650	1,61	710	4500	1,37
465	1600	1,85	625	3100	1,56	780	5900	1,39

реакции после вспышки формальдегид не обнаруживается. По-видимому, для 3%- и 9%-ных смесей имеет место медленное окисление, а 12%-ная смесь, как близкая к концентрационному пределу воспламенения, характеризуется заметным увеличением скорости реакции. Все же небольшие количества формальдегида удалось зафиксировать и в опытах с 15%-ной смесью при низких степенях сжатия, до того как наступила вспышка. Это указывает на то, что формальдегид как промежуточный продукт наблюдается не только при медленной реакции окисления, но образуется и в горючей смеси до возникновения пламени, еще в период подготовки смеси, когда протекают предварительные химические процессы. Для метановых смесей такие процессы приводят к образованию формальдегида.

В настоящих опытах удалось получить значительные количества формальдегида в продуктах реакции — максимальное содержание было получено при работе с 9%-ной смесью и составило 2,2%, отнесенных ко всей смеси. Такое высокое содержание формальдегида в продуктах окисления метана в литературе неизвестно, и объясняется главным образом за счет высокой скорости охлаждения.

### Выводы

1. Предложенный ранее одним из авторов метод адиабатического сжатия и расширения применен к исследованию реакции окисления метана. Смесей с большим содержанием кислорода дают при сжатии вспышку, возникновение которой видно на индикаторной диаграмме. При содержании кислорода менее 15% имеет место медленная реакция, в которой формальдегид является промежуточным продуктом.

2. В случае медленной реакции для смесей, содержащих 6, 9—12% кислорода, изучено содержание формальдегида до давлений сжатия, больших  $6000 \text{ кг/см}^2$ . В работе обращено внимание на роль закалки при исследовании быстротекущих процессов.

Академия наук СССР  
Институт химической физики  
Москва

Поступила  
28. XI. 1956

### ЛИТЕРАТУРА

1. Ю. Н. Рябинин, ЖЭТФ, 23, 461, 1952.
2. Ю. Н. Рябинин, А. М. Маркевич и И. И. Тамм, ДАН СССР, 94, 1121, 1954.
3. Ю. Н. Рябинин, А. М. Маркевич и И. И. Тамм, ДАН СССР, 95, 111, 1954.
4. Ю. Н. Рябинин, А. М. Маркевич и И. И. Тамм, ДАН СССР, 112, 283, 1956.
5. А. М. Маркевич, И. И. Тамм и Ю. Н. Рябинин, ДАН СССР, 113, 856, 1957.
6. И. Н. Антонова, В. А. Кузмин, Р. М. Мошкина, А. Б. Налбандян, М. Б. Нейман и Г. И. Феклисов. Изв. АН СССР, отд. хим. наук № 5, 789, 1955.
7. М. С. Фурман и Д. С. Циклис, ДАН СССР, 91, 597, 1953.
8. А. С. Карпенко, А. М. Маркевич и Ю. Н. Рябинин, ЖЭТФ, 23, 468, 1952.
9. Г. Мейер, Анализ и определение органических соединений, ОНТИ, Л., 1937.



# PRODUCTION OF FORMALDEHYDE IN THE ADIABETIC COMPRESSION OF METHANE-OXYGEN MIXTURES

*A. M. Markevich, I. I. Tamm and Yu. N. Ryabinin*

## Summary

The adiabatic compression and expansion method proposed earlier by one of the authors has been applied to an investigation into the reaction of methane oxidation. Mixtures of high oxygen content flash on compression as evidenced by the indicator curve. At an oxygen content less than 15% a slow reaction takes place in which formaldehyde is formed as an intermediate.

In the case of the slow reaction for mixtures containing 6, 9 and 12% oxygen the formaldehyde content has been studied up to pressures exceeding 6000 kg/cm<sup>2</sup>. Attention has been drawn to the part played by hardening in the study of rapid processes.

НЕКОТОРЫЕ ЗАМЕЧАНИЯ ОТНОСИТЕЛЬНО ВЛИЯНИЯ  
ДЕФОРМАЦИИ НА ОРИЕНТАЦИЮ ВЫСОКОПОЛИМЕРНЫХ  
ВЕЩЕСТВ*В. Е. Котина и И. Н. Шелепёв*

Ориентация молекул высокополимерных веществ может сопровождаться как уплотнением структуры вещества, так и разрыхлением ее [1]. Сама по себе ориентация совершается при растяжении образцов в направлении их деформации. Однако процесс деформации высокополимерных веществ является довольно сложным, и не во всех случаях растяжение образца вызывает ориентацию молекул. Это, главным образом, относится к тонким образцам типа пленок и волокон, которые формируются из растворов, расплавов или из веществ, находящихся в размягченном состоянии. В связи со спецификой формирования в таких образцах накапливаются внутренние механические напряжения, которые во многом определяют физико-механические свойства вещества.

Механические напряжения, возникающие в пленках, изучены В. А. Каргиным, П. В. Козловым и другими [2]. Разработан метод определения величины механических напряжений в пленках [3].

Картина распределения механических напряжений по объему образца может быть определена по аналогии с искусственно формируемыми стеклянными изделиями [4, 5].

В цитированных работах указано, что вследствие неравномерного охлаждения внешние слои стеклянных изделий находятся под действием сил сжатия, а внутренние испытывают растяжение.

Для пленок и волокон также характерно подобное распределение напряжений по объему образца, так как в условиях их формирования всегда внешние слои образуются быстрее внутренних. Благодаря этому в процессе формирования срединные слои этих изделий (особенно волокон) формируются как бы в замкнутом объеме, который создается внешней уже сформированной оболочкой и который в процессе дальнейшего формирования должен уменьшиться в связи с удалением из него растворителя или в связи с переходом расплавленного вещества в твердое состояние.

Установлено, что области расширения значительно преобладают над областями сжатия [6]. Поэтому силы сжатия играют большую роль для тонких образцов, тогда как для образцов, имеющих большие размеры, влияние их утрачивается. В. А. Каргин и Г. Л. Слонимский при изучении явления утомления образцов высокополимерных веществ установили, что под влиянием механических деформаций процесс старения активизируется. При этом обнаружилось, что для тонких образцов могут возникать противоположно направленные изменения глубинных и поверхностных областей [7].

Известно, что вискозное волокно имеет оболочку, характеризующуюся плотной упаковкой, и ядро, имеющее рыхлую структуру [8].

Престон высказал предположение, что оболочка вискозного волокна находится в состоянии сжатия, а ядро его в силу осмотических явлений, происходивших в процессе формирования, испытывает растяжение, чем и обуславливается различие в плотности структуры [9]. Наличие более плотно упакованных оболочек также обнаружено в последнее время для ацетатного волокна и для полиакрилонитрильного волокна при исследовании их в электронном микроскопе [10].



Тонкие образцы волокна капрон и совиден (сополимер винилид хлорида и хлористого винила) вытягиваются без шеек, тогда как волокна имеющие большие размеры поперечного сечения, всегда тянутся с образованием шеек [11]. Отмеченные отличия тонких и толстых образцов являются результатом проявления их макронеоднородности.

В случае приложения растягивающих усилий к образцу, макронеоднородность которого предопределяется сжатием внешних и растяжением внутренних слоев, при деформации растяжения не обязательно должна наступать ориентация молекул вещества по всему объему образца. В внешних слоях может происходить разрыхление структуры в связи с чем при снятии напряжений сжатия и выпрямлением гибких молекул вещества без их ориентации. В связи с этим необходимо учитывать, что разрыхление структуры высокополимерного вещества в процессе растяжения образца может наступать не только за счет ориентации молекул.

Эти явления прослеживаются при изучении свойств искусственных синтетических волокон.

### Экспериментальная часть

Наличие плотно упакованных поверхностных слоев и рыхлых внутренних областей легко обнаруживается для волокна капрон и совиден. Оба эти вида волокна со временем утрачивают свою способность к вытяжке на холоду. Волокна, лишь частично утратившие способность к вытяжке,

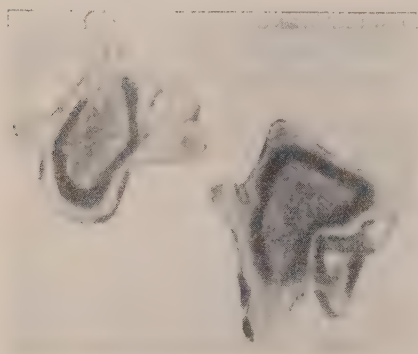


Рис. 2. Микрофотография поперечных срезов осажденной струи раствора

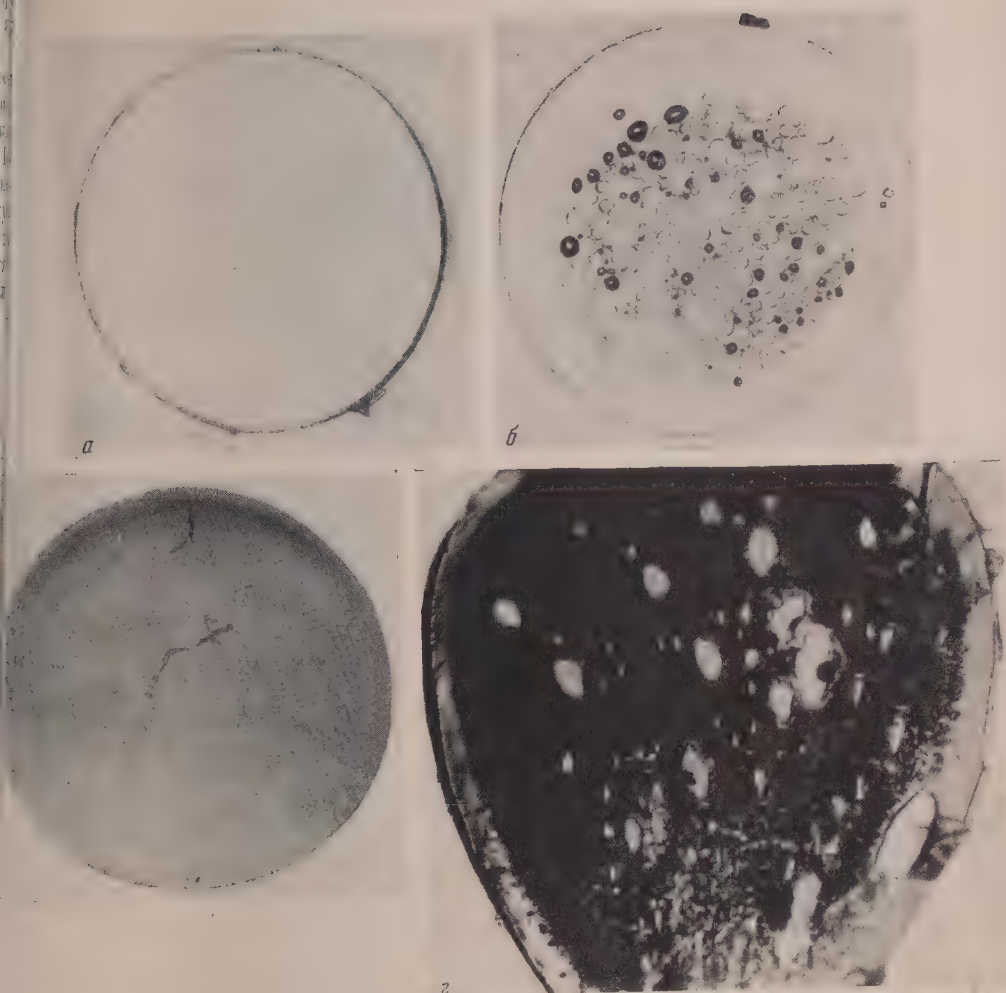
вытягиваются неравномерно с образованием окрашенных в белый цвет непрозрачных областей, перемежающихся с нормально вытянутыми участками волокна. Диаметр волокна в непрозрачной области на 20—30% выше диаметра волокна, обычно вытянутого.

Ниже приводятся микрофотографии поперечных срезов волокна капрон и совиден, вытянутых при различных условиях.

Как видно на приведенных микрофотографиях, волокна капрон и совиден, обычно вытянутые, имеют монолитные поперечные срезы, тогда как поперечные срезы волокон, вытянутых после некоторой утраты способности к вытяжке, разделены на

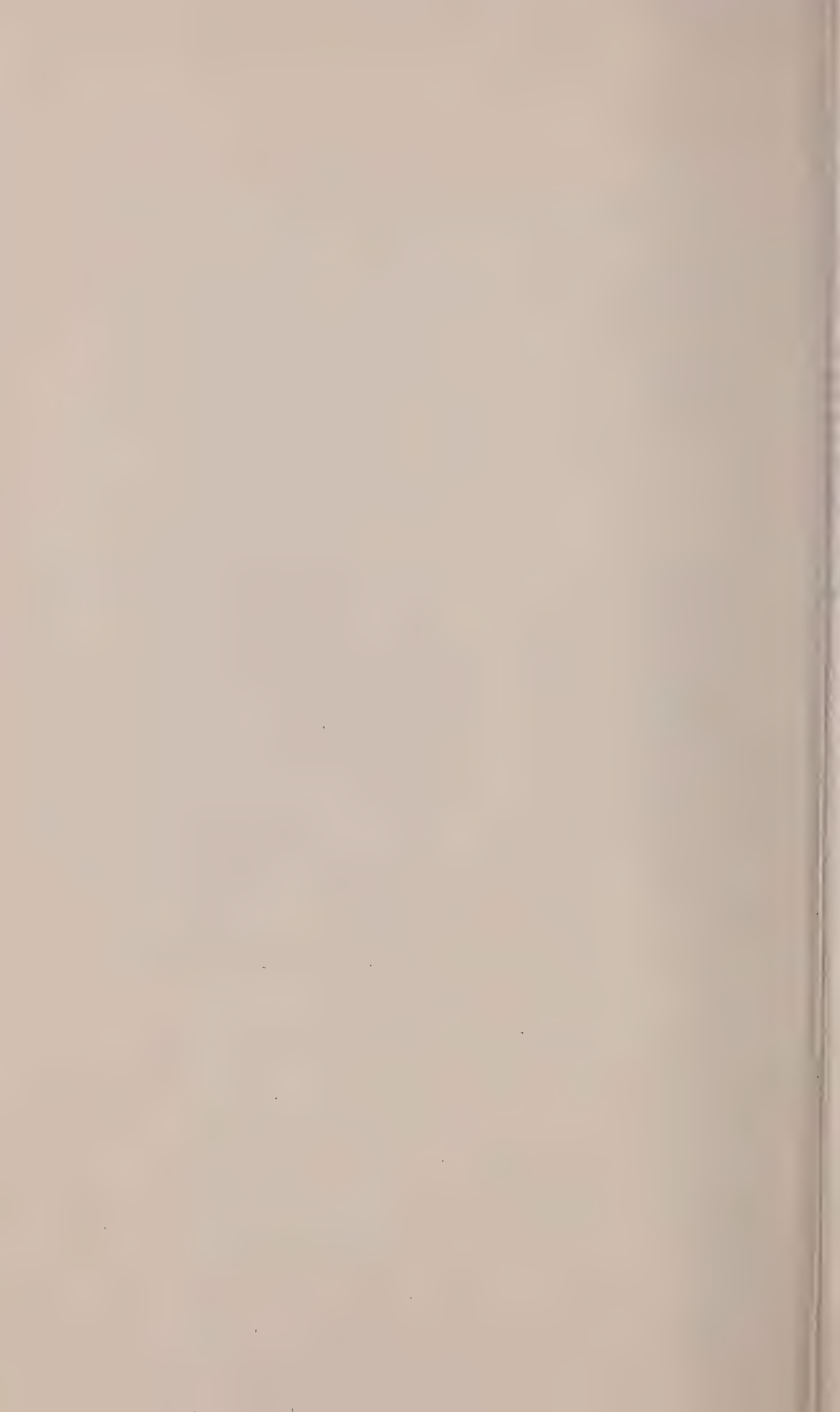
две зоны, резко различающиеся между собой. В обоих случаях внешняя зона волокон, резко очерченная, является монолитной и прозрачной, тогда как срединные области изобилуют большим количеством пустотных областей различной величины. Из этого следует, что вещество, образующее срединные области волокон, имеет меньшую способность к вытяжке, чем вещество поверхностного слоя. Причина этого заключается в том, что срединные области волокна находятся под влиянием сил растяжения до приложения нагрузки, и если волокно при старении утрачивает свою способность к вытяжке, то это в первую очередь сказывается в отношении срединных областей.

Ниже приводится микрофотография поперечного среза струи концентрированного раствора полиакрилонитрила в диметилформамиде, осажденной в олеиновой кислоте, нагретой до температуры 80° С. Раствор предварительно выдерживался под давлением для насыщения воздухом. При снятии давления и при выливании струи раствора в горячую олеи-



с. 1. Микрофотографии поперечных срезов волокна капрон и совилен: а) обычно вытянутое волокно капрон; б) волокно капрон в белой непрозрачной области; в) обычно вытянутое волокно совилен; г) волокно совилен, частично утратившее способность к вытяжке.





ую кислоту происходило выделение пузырьков воздуха, которые играли роль посторонних включений.

В данном случае наблюдается неравномерное расположение пор с накоплением их в определенной зоне поперечных срезов, в результате чего на срезах появляются затемненные контуры.

Вполне допустимо предположить, что такое расположение пор является результатом действия механических напряжений, причем затемненная часть поперечного среза, по-видимому, является зоной максимального сжатия, вследствие чего и произошло перемещение пузырьков воздуха преимущественным расположением их.

В результате макронеоднородности, обуславливаемой различной плотностью упаковки поверхностных и глубинных областей, вытяжка тонких образцов сопровождается различными по своему характеру изменениями структуры вещества в объеме образцов, как это отмечено выше. В частности, это обнаруживается при изучении свойств оболочки и ядра вискозного волокна. Для этого вида волокна разработаны методы, позволяющие определять изменение свойств поверхностных и глубинных слоев в процессе вытяжки. Микроскопическими методами изучалось набухание оболочки и ядра вискозного волокна в зависимости от степени вытяжки. В таблице приведены результаты измерений в двух параллельных опытах с вытяжками 62 и 76% (опыт 1) и 40 и 81% (опыт 2).

Как видно из приведенных данных, вытяжка в изученных нами пределах вызывает уменьшение набухания сердцевинного слоя и увеличе-

#### Набухание поперечных срезов вискозного волокна

№ образцов	% набухания			№ образцов	% набухания		
	среза в целом	ядра	оболочки		среза в целом	ядра	оболочки
1	2	3	4	1	2	3	4
Опыт 1				Опыт 2			
Волокно, вытянутое на 62%				Волокно, вытянутое на 40%			
1	105,5	241,6	37,5	1	65,5	100,2	25,0
2	100,0	288,4	15,0	2	57,0	86,0	29,0
3	100,0	240,0	36,3	3	60,0	100,0	25,0
4	112,1	281,8	27,3	4	69,0	100,0	28,5
5	110,0	212,5	41,6	5	69,0	100,0	28,5
6	110,0	218,2	31,6	6	69,0	100,0	38,0
7	125,0	193,0	62,5	7	65,0	100,0	29,0
8	125,0	211,1	54,5	8	67,0	100,0	29,0
9	115,0	242,8	46,2	9	71,0	114,0	29,0
				10	75,0	100,0	29,0
Среднее:	111,4	231,0	38,1	Среднее:	66,7	100,0	29,0
Волокно, вытянутое на 76%				Волокно, вытянутое на 81%			
1	100,0	83,3	120,0	1	82,0	83,0	83,0
2	100,0	100,0	100,0	2	70,0	60,0	80,0
3	100,0	122,0	81,0	3	71,0	75,0	67,0
4	100,0	120,0	83,3	4	83,0	83,0	63,0
5	109,0	83,3	140,0	5	73,0	83,3	60,0
6	116,7	116,7	116,7	6	73,0	75,0	57,0
7	100,0	120,0	83,3	7	80,0	88,0	71,0
8	81,8	100,0	66,7	8	71,0	75,0	50
9	100,0	122,2	81,8	9	77,0	71,0	83,0
				10	77,0	83,0	71,0
Среднее:	100,8	107,5	97,7	Среднее:	75,7	75,4	68,5

ние набухания оболочки волокна. Уменьшение способности к набуханию безусловно связано с увеличением плотности структуры вещества, которое по-видимому, вызывается ориентацией вещества сердцевинного слоя. Молекулы сердцевинного слоя, находясь под влиянием сил растяжения, оказываются в какой-то мере уже выпрямленными и ориентированными в направлении растягивающих усилий. Поэтому приложении новых усилий вызывает их ориентацию в новом направлении, сопровождающуюся уплотнением вещества. Для оболочки наблюдаются другие закономерности. В условиях влияния сил сжатия происходит некоторое свертывание молекул вещества. При растяжении часть сжимающих усилий снимается молекулы, обладая гибкостью, разворачиваются, и это приводит к разрыхлению вещества, что сопровождается увеличением его способности к набуханию. Ориентации при этом не происходит.

### Выводы

В одном и том же образце высокомолекулярного вещества в различных частях его объема в зависимости от размеров образца и условий формирования в процессе выжимки может наблюдаться как уплотнение структуры вещества, вызываемое ориентацией молекул, так одновременно с этим и разрыхление ее, не связанное с ориентацией.

Всесоюзный научно-исследовательский  
институт искусственного волокна  
Москва

Поступила  
17. III. 1956

### ЛИТЕРАТУРА

1. В. А. Каргин, Т. В. Готовская, Докл. АН СССР, **100**, 105, 1955.  
Ю. С. Липатов, В. А. Каргин, Г. Л. Слонимский, Журн. физ. хим., **30**, 1075, 1956.  
П. П. Кобеко, Аморфные вещества. Изд-во АН СССР, стр. 53, 1952.
2. В. А. Каргин, М. Н. Штединг, Журн. физ. хим., **20**, 727, 1946.  
П. В. Козлов, Р. В. Зуева, И. Б. Бажутина, Журн. физ. хим., **25**, 1064, 1951.
3. В. А. Каргин, Химическая промышленность, № 7, 392, 1955.
4. Г. Тамман, Стеклообразное состояние. Главн. ред. общетехнической литературы, стр. 38, 1935.
5. С. Г. Лиознянская, С. И. Иоффе, Отжиг промышленных стекол, Гизлегпром, стр. 7.
6. И. С. Иоффе, Материалы по изучению физико-химических свойств стекла, Гостехиздат, стр. 3, 1930.
7. В. А. Каргин, Г. Л. Слонимский, Докл. АН СССР, **105**, 753, 1955.
8. C. D. Joshi, Y. M. Preston, Text. Res. J., **24**, 971, 1954.
9. Y. M. Preston, K. Y. Narasimahn, J. Text. Inst., **5**, 327, 1949.
10. R. Skott, A. W. Ferguson, Text. Res. J. № 4, 284, 1956.
11. В. Е. Котина, Обмен техническим опытом. Искусственное волокно. Сб. 4, стр. 44, 1953, Гизлегпром.

### SOME REMARKS CONCERNING THE EFFECT OF DEFORMATION ON THE ORIENTATION OF HIGH POLYMER SUBSTANCES

*V. E. Kotina and I. N. Shelepen*

#### Summary

It is known that the orientation of high polymer molecules can be accompanied by the closer or looser packing of the substance. In this study attention is drawn to the fact that in the process of specimen preparation of high polymers of the type of films or fibers a heterogeneous micro- and macrostructure is formed, owing to the specific technology of the manufacture of such articles. The structural heterogeneity is due to the fact that the outer layers of specimens are subjected to compression, whereas the internal are subjected to stretching forces. Owing to this the stretching of such specimens may be accompanied not only by orientation of the molecules leading to denser packing, but also by loosing packing of the substance irrespective of the molecular orientation, due to removal of the compressive forces in the surface layer of the product.

To correctly solve the problem of the effect of orientation on the structural density of high molecular substances account must be made of the macro and micro heterogeneity of the specimens and the different behavior of the substance in different portions of the bulk specimen in the stretching process.



## ПОЛИМЕРИЗАЦИЯ ХЛОРПРОИЗВОДНЫХ СТИРОЛА И ИХ СОВМЕСТНАЯ ПОЛИМЕРИЗАЦИЯ С ХЛОРИСТЫМ ВИНИЛОМ

Г. В. Ткаченко, Л. В. Ступень, В. С. Этлис  
и Л. П. Кофман

Стирол и его производные являются одними из наиболее изученных мономеров [1,2]. Ряд авторов [3,4] исследовали влияние заместителей, введенных в бензольное кольцо молекулы стирола (в том числе хлора и других галоидов), на реакционную способность. Однако среди этого материала нет данных о влиянии хлора, введенного в винильную группу.

Отрицательные атомы хлора в винильной группе стирола значительно изменяют его полярность, что должно оказать влияние на поведение этого мономера при раздельной и совместной полимеризации. Следует ожидать, что вследствие стерических затруднений при введении атома хлора, имеющего значительный объем (эффективный радиус атома хлора составляет 1,8 Å, а водорода — 1,2 Å), раздельная полимеризация хлорстиролов будет затруднена, тогда как совместная полимеризация, благодаря полярному эффекту, может быть облегчена.

В настоящей работе исследована раздельная полимеризация  $\beta$ , $\beta$ -дихлорстирола и  $\alpha$ ,  $\beta$ ,  $\beta$ -трихлорстирола и их совместная полимеризация с хлористым винилом.

### Экспериментальная часть\*

Хлористый ви п и л. Применялся свежеперегнанный промышленный продукт, содержащий не менее 99,5% основного вещества.

$\beta$ ,  $\beta$ -Д и х л о р с т и р о л.  $\beta$ ,  $\beta$ -Дихлорстирол получали действием гранулированного цинка на уксуснокислый эфир трихлорметилфенилкарбинола по методу [5]. Трихлорметилфенилкарбинол готовили взаимодействием безводного хлорала с бензолом в присутствии хлористого алюминия [6].

Применяли свежеперегнанный  $\beta$ , $\beta$ -дихлорстирол с т. кип. 70,5—72,5°/3 мм рт. ст.,  $n_D^{20}$  1,5882,  $d_4^{20}$  1,2413.

$\alpha$ ,  $\beta$ ,  $\beta$ -Т р и х л о р с т и р о л. Исходным продуктом для синтеза  $\alpha$ , $\beta$ , $\beta$ -трихлорстирола служил ацетофенон, хлорированием которого получали дихлорацетофенон [7]. Нагреванием 1 моля последнего с 1,25 моля пятихлористого фосфора в колбе с обратным холодильником в течение 30 мин. при 145° и 6 час. при 175° (подъем температуры в течение 1,5 часа) получали смесь, содержащую непрореагировавший пятихлористый фосфор, трехокись фосфора,  $\alpha$ , $\beta$ , $\beta$ -трихлорстирол и  $\alpha$ , $\alpha$ , $\beta$ , $\beta$ -тетрахлорэтилбензол. Смесь охлаждали льдом и отделяли от пятихлористого фосфора. Для разложения остатков  $PCl_5$  к смеси добавляли 5,2 мл ацетона и разгоняли в вакууме. Получено около 55—60% от теории  $\alpha$ , $\beta$ , $\beta$ -трихлорстирола и около 37—40%  $\alpha$ , $\alpha$ , $\beta$ , $\beta$ -тетрахлорэтилбензола (в расчете на дихлорацетофенон). При обработке  $\alpha$ , $\alpha$ , $\beta$ , $\beta$ -тетрахлорэтилбензола спиртовым едким кали [8] был дополнительно получен  $\alpha$ ,  $\beta$ , $\beta$ -трихлорстирол. Применялся мономер т. кип. 113—115°/16,5 мм рт. ст.,  $d_4^{20}$  1,3838.

М е т о д и к а р а б о т ы. Полимеризацию проводили в массе и в эмульсии в стеклянных ампулах и в четырехлитровом стальном автоклаве. Мономеры дозировались по весу с точностью до 0,01 г. Метод заполнения ампул и автоклава приведен в работе [9], скорости полимеризации при различных молярных соотношениях мономеров определяли dilatометрически в растворах дихлорэтана [10].

Эмульсионные сополимеры отфильтровывали и промывали метиловым спиртом и теплой водой. Полимеры, полученные в растворе, осаждали метиловым спиртом и после отделения тщательно промывали последним.

В полимерах определяли относительную вязкость в циклогексаноне при 25°С и температуру перехода в стеклообразное и вязкотекучее состояние на весах В. А. Каргина [11].

\* В постановке некоторых опытов принимала участие Л. А. Карачева.

Результаты опытов. Опыты по раздельной полимеризации  $\beta$ , $\beta$ -дихлор- и  $\alpha$ , $\beta$ , $\beta$ -трихлорстирола были проведены в атмосфере азота при 25—60° С в растворах дихлорэтана и четыреххлористого углерода также в эмульсии (эмульгаторы: фотожелатина и мыла) под влиянием динитрила азонизомасляной кислоты, перекиси бензоила, диметилперокси карбоната, перекиси циклогексана, надсернистого калия и окислительно-восстановительной системы: гидроперекись изопропилбензола — триэтилентетрамин. Установлено, что хлорстиролы, замещенные в винильной группе, не полимеризуются с образованием высокомолекулярных продуктов в течение 12—16 час. Была также проверена способность полимеризации  $\beta$ ,  $\beta$ -дихлорстирола и  $\alpha$ , $\beta$ , $\beta$ -трихлорстирола под влиянием катализаторов: хлористого и бромистого алюминия и четыреххлористого титана в растворах дихлорэтана и четыреххлористого углерода при 20° в атмосфере азота. Концентрация мономера составляла 0,4—1,0 моль/л, катализатора 20—40 ммоль/л. Катализатор помещался в dilatометр тонкостенной ампуле, которая искривлялась перед полимеризацией при помощи ртутной разбивалки. Было обнаружено, что только  $\beta$ ,  $\beta$ -дихлорстирол образует полимер, выделяемый метиловым спиртом.

$\beta$ , $\beta$ -Дихлорстирол и  $\alpha$ , $\beta$ ,  $\beta$ -трихлорстирол под влиянием динитрила азонизомасляной кислоты совместно полимеризовались с хлористым винилом.

Из результатов опытов в растворе дихлорэтана, приведенных в табл. 1 видно, что увеличение концентрации  $\beta$ ,  $\beta$ -дихлорстирола и  $\alpha$ , $\beta$ , $\beta$ -трихлорстирола в смеси мономеров вызывает уменьшение скорости процесса и средней длины молекулярных цепей полимеров. При содержании

Таблица 1

Совместная полимеризация хлористого винила с хлорстиролами в растворе дихлорэтана при 60°.

Общая концентрация мономеров 1,6 моль/л, концентрация динитрила азонизомасляной кислоты 0,06 моль/л

$\beta$ , $\beta$ -Дихлорстирол				$\alpha$ , $\beta$ , $\beta$ -Трихлорстирол			
$A_0^*$	Начальная скорость $V_0 \cdot 10^2$ , г/л-мин	Выход полимеров, %	$\eta^{**}$	$A_0$	Начальная скорость $V_0 \cdot 10^2$ , г/л-мин	Выход полимеров, %	$\eta$
1,00	38,0	—	1,10	1,10	38,0	—	1,10
0,90	11,7	28,0	1,08	0,91	31,6	12,0	1,10
0,73	2,2	4,8	1,06	0,61	13,9	7,3	1,07
0,60	1,4	4,5	—	0,56	10,5	8,2	—
0,58	0,4	1,0	1,02	0,40	3,3	5,5	—
0,40	1,6	0,72	—	0,35	1,4	3,2	1,05
0,20	Оч. малая величина	Следы	—	0,10	1,5	2,1	—
				0,10	2,8	5,0	1,06

\*  $A_0$  — молярная доля хлористого винила в исходной смеси. Содержание второго компонента  $B_0 = 1 - A_0$ .

\*\*  $\eta$  — относительная вязкость 0,5%-ного раствора сополимера в циклогексаноне при 25°С.

второго компонента более 0,5 молярной доли образуются относительно низкомолекулярные продукты, не осаждаемые метиловым спиртом, причем количество их возрастает с повышением концентрации хлорстиролов.

Такие же результаты получены и при полимеризации в эмульсии (табл. 2).

Таблица 2

совместная полимеризация хлористого винила с хлорстиролами в эмульсии при 45°C. Инициатор—динитрил азонизомасляной кислоты (0,5% к мономерам), эмульгатор—фотожелатина (1% к воде). Соотношение фаз мономеры—вода = 1:4

β,β-Дихлорстирол				α,β,β-Трихлорстирол						
Время полимеризации, часы	А <sub>0</sub> , %	Выход полимера, %	η	Время полимеризации, часы	А <sub>0</sub> , %	Выход полимера, %	η	Температура разложения, °C	Температура стабилизации, °C	Температура течения, °C
3,0	100	8,6	1,65	15*	100	87,4	1,65	143	80—85	180—185
6,0	100	22,5	—	28*	97	65,0	1,50	140	65—70	165—170
7,0	100	35,0	—	51*	90	65,8	1,40	121	55—60	155—160
8,5	100	52,6	1,70	1,3	90	нет	—	—	—	—
11,5	100	83,5	1,69	3,0	90	3,6	1,42	—	—	—
17,0	100	87,1	—	5,0	90	7,2	1,45	—	—	—
17,0	95	5,3	—	7,0	90	11,1	1,45	—	—	—
21,5	95	6,8	1,24	6,0	80	4,8	1,36	—	—	—
17,0	90	2,7	—	12,0	80	12,5	1,38	—	—	—
21,5	90	3,2	1,18	20,0	80	16,3	1,40	—	—	—
17,0	80	1,0	—	4,0**	100	23,0	—	—	—	—
21,5	80	0,9	—	4,0**	80	18,0	—	—	—	—

\* Опыты в автоклаве.

\*\* Полимеризация в присутствии окислительно-восстановительной иницирующей системы: гидроперекись фракции керосина с т. кип. 30—360°C, содержащая 6,0% активного кислорода (0,6% к мономерам) и триэтилтетрамин 1 «моль» на моль гидроперекиси. «Моль» гидроперекиси выделяет 1 г-атом кислорода.

### Обсуждение результатов

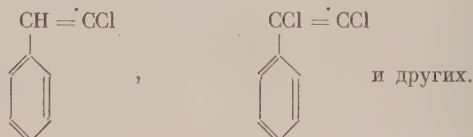
Наличие хлора в винильной группе стирола оказывает влияние на ход раздельной и совместной полимеризации этих мономеров с хлористым винилом вследствие изменения полярности мономера при введении отрицательных атомов хлора.

Полное замещение атомов водорода в винильной группе стирола (α,β,β-трихлорстирол) приводит к тому, что этот мономер не полимеризуется под влиянием перекисей, азосоединений и некоторых окислительно-восстановительных систем, а также под влиянием катализаторов Фриделя и Крафта. Столь малая реакционная способность, по-видимому, обусловлена пространственными затруднениями. Увеличение реакционной способности радикала α,β,β-трихлорстирола, согласно правилу антибатности [12], и значительная полярность молекулы приводят к тому, что совместная полимеризация этого мономера с хлористым винилом протекает с большей скоростью, чем со стиролом. β,β-Дихлорстирол также не полимеризуется раздельно под влиянием свободных радикалов, но полимеризуется, хотя и с небольшой скоростью, до небольшого процента превращения в условиях наших опытов, по ионному механизму с катализаторами катионного типа. В совместную полимеризацию с хлористым винилом β,β-дихлорстирол вступает менее охотно, чем α,β,β-трихлорстирол, что следует из начальных скоростей процесса и вязкости полученных продуктов (табл. 1,2). При совместной полимеризации хлористого винила с замещенными в винильной группе хлорстиролами, наряду с высокомолекулярными продуктами, получают и низкомолекулярные вещества, не осаждаемые метиловым спиртом. Это не позволило рассчитать константы совместной полимеризации для этих мономеров.

Можно предположить, что, наряду с совместной полимеризацией хлористого винила с β,β-дихлор- и α,β,β-трихлорстиролом, имеют место реак-



ции передачи цепи с образованием малореакционноспособных радикалов типа:



Это приводит к понижению скорости реакции и уменьшению молекулярных весов полученных полимеров.

Сравнение результатов опытов в растворе дихлорэтана (табл. 1) данными о скорости полимеризации хлористого винила в растворах [10] показывает, что уменьшение скорости полимеризации хлористого винила в присутствии хлорзамещенных стиролов происходит вследствие совместной полимеризации, а не понижения концентрации мономера, как это, по-видимому, имеет место в случае полимеризации стирола в присутствии  $\alpha$ - и  $\beta$ -бромстиролов [13].

Исследование термомеханических свойств сополимеров хлористого винила с  $\alpha$ ,  $\beta$ ,  $\beta$ -трихлорстиролом показывает, что при введении в цепь полихлорвинила молекул  $\alpha$ ,  $\beta$ ,  $\beta$ -трихлорстирола происходит понижение температур перехода в стеклообразное и вязкотекучее состояние, т. е. имеет место внутренняя пластификация (табл. 2).

В заключение выражаем благодарность акад. В. А. Каргину, предложившему нам провести исследование полимеризации хлорзамещенных стиролов. Авторы признательны члену-корр. АН СССР К. А. Кочешкову за ценные указания по методам получения мономеров, а также А. Д. Абкину и П. М. Хомиковскому за советы при обсуждении результатов.

### Выводы

1. Показано, что  $\alpha$ ,  $\beta$ ,  $\beta$ -трихлорстирол не образует высокомолекулярных продуктов под влиянием свободных радикалов, а также катализаторов Фриделя и Крафтса.  $\beta$ ,  $\beta$ -Дихлорстирол полимеризуется по катионному механизму.

2. Скорости совместной полимеризации хлористого винила с  $\beta$ ,  $\beta$ -дихлорстиролом и  $\alpha$ ,  $\beta$ ,  $\beta$ -трихлорстиролом, а также молекулярные веса полимеров непрерывно уменьшаются при увеличении содержания хлорстиролов в исходной смеси.

3. Установлено, что при совместной полимеризации хлористого винила с  $\beta$ ,  $\beta$ -дихлорстиролом и  $\alpha$ ,  $\beta$ ,  $\beta$ -трихлорстиролом при содержании последних более 0,5 молярной доли, наряду с высокомолекулярными веществами, образуются низкомолекулярные продукты, не осаждаемые метиловым спиртом.

4. При совместной полимеризации хлористого винила с  $\alpha$ ,  $\beta$ ,  $\beta$ -трихлорстиролом происходит уменьшение температур стеклования и течения по сравнению с полихлорвинилом. Этот эффект увеличивается при повышении содержания  $\alpha$ ,  $\beta$ ,  $\beta$ -трихлорстирола в сополимере.

Поступила  
11. IV. 1957

### ЛИТЕРАТУРА

1. Н. В. Шорыгина, Стирол, его полимеры и сополимеры, Госхимиздат, М.—Л. 1950; С. E. Schildknecht, Vinyl and Related Polymers, N. Y., 1952.
2. Т. Альфрей, Д. Борер, Г. Марк, Сополимеризация, ИИЛ, 1953.
3. А. Ф. Докукина, М. М. Котон, К. Н. Крюкова, О. К. Минеева и В. А. Парибок, Ж. физ. химии, **30**, 190, 1956; М. М. Котон, Е. П. Москвина, Ф. С. Флоринский, Ж. общ. химии, **21**, 1847, 1951; **22**, 789, 1952; М. М. Котон, Е. П. Москвина, Ж. прикл. химии, **26**, 660, 1953; М. М. Котон, Т. М. Киселева, Ф. С. Флоринский, Ж. прикл. химии, **26**, 666, 1953.

1. T. Alfrey, W. Ebelke, J. Amer. Chem. Soc., 71, 3235, 1949.
2. Ж. Ионич, ЖРФ-ХО, 29, 97, 1897; 30, 998, 1898.
3. A. Dinesmann, C. R., 141, 201, 1905.
4. Синтезы органических препаратов. Сб. 3, перев. с англ., ИИЛ, Москва, стр. 322, 1952.
5. H. Bietz, Ann, 296, 270, 1897.
6. Г. В. Ткаченко, Л. В. Ступень, Л. В. Фролова, Л. П. Кофман, Ж. физ. химии, 31, 2676, 1957.
7. Г. В. Ткаченко, П. М. Хомяковский, С. С. Медведев, Ж. физ. химии, 25, 823, 1951.
8. В. А. Каргин, Т. И. Соголова, Ж. физ. химии, 23, 530, 1949.
9. Х. С. Багдасарьян, Статья в Сб. Вопросы химии, кинетики, катализа и реакционной способности, Изд-во АН СССР, стр. 59, 1955.
10. M. J. Jones, Canad. J. Chem., 34, 108, 1956.

## POLYMERIZATION OF CHLORINE DERIVATIVES OF STYRENE AND THEIR COPOLYMERIZATION WITH VINYL CHLORIDE

*G. V. Tkachenko, L. V. Stupen, V. S. Ettlis and L. P. Kofman*

### Summary

A study has been made of the polymerization of  $\beta,\beta$ -dichlorostyrene,  $\alpha,\beta,\beta$ -trichlorostyrene and of their copolymerization with vinyl chloride.  $\alpha,\beta,\beta$ -Trichlorostyrene has been found not to form high molecular products under the influence of either free radicals or Friedel-Crafts catalysts.  $\beta,\beta$ -Dichlorostyrene polymerizes only according to the cationic mechanism. The monomers copolymerize with vinyl chloride as follows from a comparison of the rate of the process at differing monomer ratios. The rate of copolymerization decreases on increase in content of the chlorostyrenes and when the content exceeds 0.5 molar fractions low molecular compounds are observed to form.

## ДОПОЛНИТЕЛЬНЫЕ МАТЕРИАЛЫ К ТЕОРИИ СОВМЕСТНОГО ДЕЙСТВИЯ КАТАЛИЗАТОРОВ В РАСТВОРЕ

### V. КАТАЛИЗ ПРЕВРАЩЕНИЯ ПЕРЕКИСИ ВОДОРОДА СОВМЕСТНЫМ ДЕЙСТВИЕМ МОЛИБДАТА НАТРИЯ И ХЛОРИДА КОБАЛЬТА

*В. А. Щербинин и Г. А. Богданов*

В предыдущих работах [1, 2] выяснены особенности катализа разложения перекиси водорода совместным действием молибдата натрия и солей щелочно-земельных металлов.

Продолжая исследования в том же направлении, мы поставили перед собой задачу изучить катализ разложения перекиси водорода под влиянием молибдата натрия и хлорида кобальта. Это исследование представляет интерес по нескольким причинам. Во-первых, привлекает к себе внимание выявление каталитических особенностей кобальта в растворе, поскольку оно изучено очень мало; во-вторых, мы надеемся, что оценка полученных результатов в сравнении с ранее установленными фактами даст возможность сделать шаг вперед по пути выявления общих законов, определяющих механизм гомогенного катализа в растворе; наконец, в непосредственной связи с задачами и методикой данного исследования стоит вопрос о возможности существования и синтеза до сих пор не исследованных перекисных соединений, содержащих в своем составе кобальт.

### Экспериментальная часть

Один хлорид кобальта в нейтральной и кислой среде (в отличие от молибдата натрия) практически не оказывает каталитического воздействия на разложение перекиси водорода. В присутствии щелочи каталитическая способность кобальта проявляется вполне определенно.

Кинетика разложения перекиси водорода хлоридом кобальта в присутствии щелочи. На рис. 1 показаны кривые, характеризующие скорость разложения перекиси действием хлорида кобальта в присутствии едкого натра. Опыты проведены при  $C_{Co} = 0,004$  г-ион,  $C_{H_2O_2} = 0,18$  М и  $25^\circ C$ . Кривые 1, 2, 3, 4 получены при концентрации щелочи, равной соответственно: 0,001; 0,002; 0,004 и 0,008 М.

Из рисунка видно, что один хлорид кобальта в присутствии щелочи достаточной концентрации проявляет высокую каталитическую активность по отношению к разложению перекиси, причем повышение концентрации щелочи при одной и той же концентрации соли кобальта вызывает резкое возрастание скорости процесса и одновременно — изменение порядка реакции. В опытах с концентрациями щелочи, равными 0,001; 0,002 и 0,004 М, порядок реакции, вычисленный по уравнению

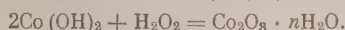
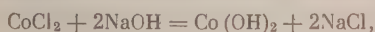
$$n = \frac{\lg v_1 / \lg v_2}{\lg c_1 / \lg c_2},$$

на большом протяжении опыта изменяется от 2 до 1, а в случае концентрации щелочи, равной 0,008 М, реакция строго подчиняется уравнению первого порядка с постоянным отношением  $\Delta v : \Delta c$ , равным 1:1.



При добавлении щелочи к раствору, содержащему хлорид кобальта и перекись водорода, тотчас возникает темно-бурый осадок и начинается выделение кислорода. Осадок сохраняется в течение всего опыта и не исчезает после практически полного разложения перекиси.

В соответствии с визуальными наблюдениями можно принять, что в данном случае разложение перекиси происходит под влиянием оксигидрата кобальта, возникновение которого возможно по схеме:



Тогда возрастание скорости катализа (по мере повышения концентрации щелочи) можно объяснить тем, что с повышением концентрации ще-

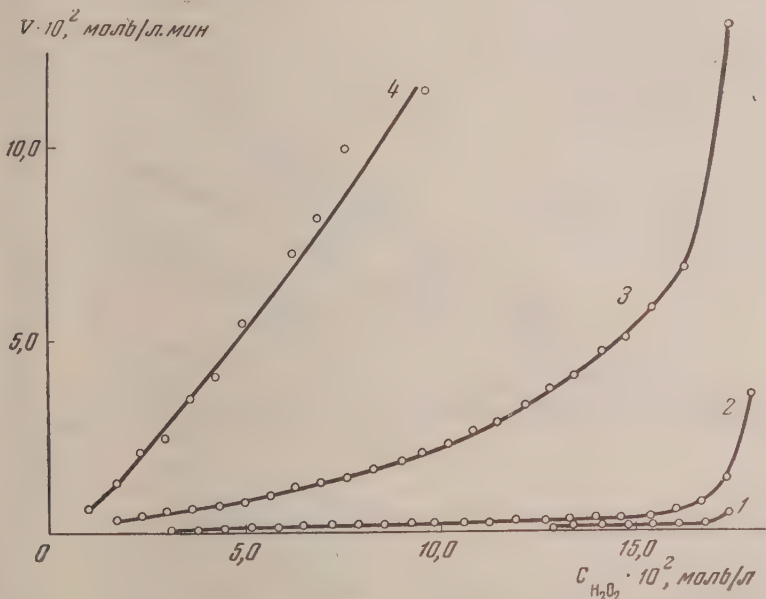


Рис. 1

щелочи в реакционной смеси возрастает количество оксигидрата кобальта. В этих опытах привлекает к себе внимание и тот факт, что при эквинормальных количествах соли кобальта и щелочи реакция идет по уравнению первого порядка, а при избытке ионов кобальта процесс идет по уравнению более высокого порядка. Очевидно, присутствие свободных ионов кобальта оказывает специфическое влияние на процесс формирования и поведение промежуточных соединений, обуславливающих катализ.

Разложение перекиси водорода под совместным влиянием молибдата натрия и хлорида кобальта. Результаты изучения кинетики разложения перекиси водорода под совместным влиянием молибдата натрия и хлорида кобальта показаны на рис. 2.

Опыты проведены при  $C_{\text{Mo}} = 0,004$  г-ион,  $C_{\text{H}_2\text{O}_2} = 0,18$  М и  $25^\circ \text{C}$  в условно-нейтральной среде. Кривая 1 получена из опыта превращения перекиси одним молибдатом натрия, а кривые 2, 3, 4, 5 и 6 — при совместном влиянии молибдата натрия и хлорида кобальта с концентрациями последнего, равными соответственно 0,00025; 0,0005; 0,001; 0,002 и 0,004 М.

Характер и взаимное расположение кривых показывают следующее:

а) Распад перекиси водорода под влиянием одного молибдата натрия протекает с относительно малой скоростью по уравнению, близкому к

нулевому порядку. Прибавление хлорида кобальта к молибдату натрия вызывает резкое увеличение скорости и изменение порядка реакции кривые на значительном протяжении соответствуют уравнению первого порядка.

б) При относительно малых концентрациях хлорида кобальта с увеличением концентрации последнего в два раза скорость реакции возрастает в среднем в 2,5 раза. Однако эта закономерность в повышении скорости катализа продолжается только до достижения соотношения концентраций катализаторов  $C_{Co} : C_{Mo} = 1 : 2$ .

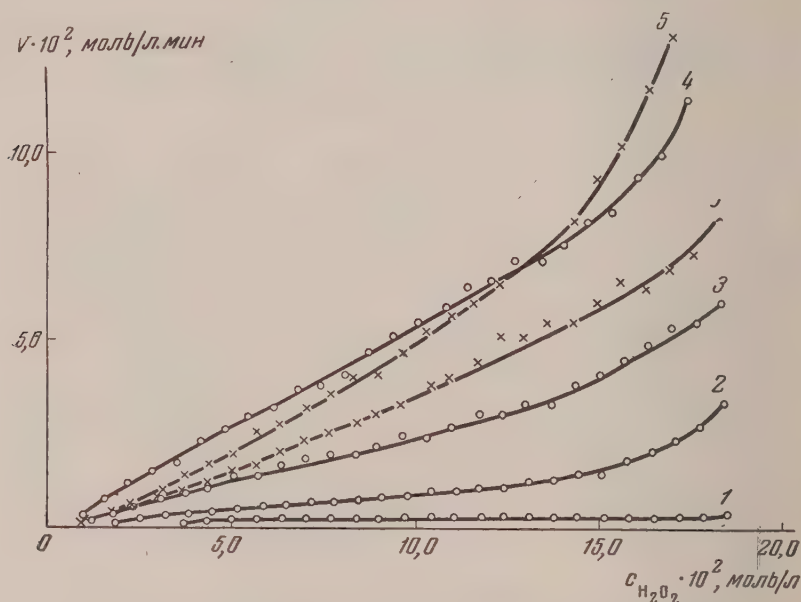


Рис. 2

в) Достигнув максимума при отношениях концентрации  $C_{Co} : C_{Mo} = 1:4$  и  $1:2$ , скорость катализа, вследствие дальнейшего повышения концентрации соли кобальта, падает, сохраняя, однако, более высокое абсолютное значение, чем скорость при действии одного молибдата натрия.

Таблица 1

Концентрация молибдата натрия, моль/л	Концентрация хлорида кобальта, моль/л	Количество осадка, г
0,004	0,008	0,001
	0,016	0,0025
	0,032	0,0052
	0,064	0,0096
	0,128	0,0138

Влияние соотношений концентраций катализаторов на скорость катализа наглядно передают кривые рис. 3 (по оси абсцисс отложено отношение концентраций катализаторов —  $C_{Co} : C_{Mo}$ ). Кривая 1 характеризует изменение скорости катализа в области концентрации  $H_2O_2 < 0,12 M$ , а кривая 2 — в области  $C_{H_2O_2} > 0,15 M$ . Температура опытов  $25^\circ C$ . Кривые

имеют одинаковый характер и различаются лишь абсолютными значениями скорости и положением максимума: на кривой 1 он лежит при  $C_{Co} : C_{Mo} = 1:4$ , а на кривой 2 — при  $C_{Co} : C_{Mo} = 1:2$ . Взаимное пересечение кривых 4 и 5 на рис. 2 указывает, по-видимому, на то, что скорость данного катализа должна зависеть и от концентрации субстрата.

Визуальными наблюдениями над процессом катализа установлено, что после прибавления молибдата натрия к раствору, содержащему перекись водорода и хлорид кобальта, возникает желтая окраска, а, начиная с

$c_0 = 0,002 M$  и выше, кроме того, появляется бурая взвесь (осадок), количество которой увеличивается по мере повышения концентрации соли кобальта. Однако в конце опыта (после нагревания смеси для завершения распада перекисей) взвесь постепенно исчезает, реакционная смесь становится гомогенной и приобретает золотисто-желтую окраску, интенсивность которой усиливается с возрастанием концентрации соли кобальта. Но в опытах, проведенных с концентрациями соли кобальта, превышающими  $0,008 M$ , часть бурого осадка сохраняется в смеси после завершения опытов, и его количество растет с увеличением концентрации соли кобальта (табл. 1).

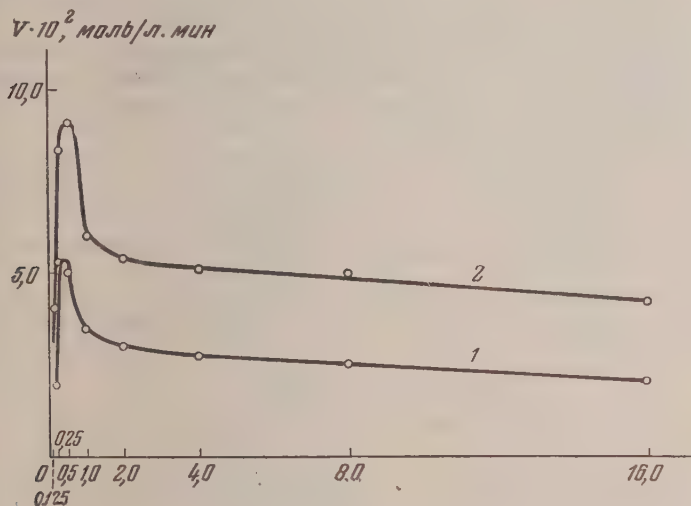


Рис. 3

В опытах, проведенных с концентрацией соли кобальта, равной  $0,032 M$  и выше, в реакционной смеси, отделенной от осадка, явно была заметна розовая окраска, характерная для ионов двухвалентного кобальта. Следовательно, часть соли кобальта в этих опытах не претерпела никаких изменений.

Постепенное исчезновение осадка в конце опытов, проведенных с концентрацией соли кобальта, не превышающей  $0,004 M$ , и усиление вслед за

Таблица 2

Последовательность измерения температуры смеси (термометром Бекмана)	Температура замедзания
Дистиллированная вода	2,226
Раствор хлорида кобальта + молибдата натрия ( $0,008 M$ ) до прибавления перекиси	2,119
Тот же раствор после прибавления перекиси и выпадения осадка	2,147
Тот же раствор после исчезновения осадка вслед за нагреванием смеси	2,166

этим интенсивности желтой окраски раствора вызвали предположение, что осадок переходит в состояние золя в результате процесса пенитизации.

Это предположение получило подтверждение в том, что реакционная смесь после окончания опыта ясно показывала эффект Тиндаля. При добавлении к этому раствору щелочи или хлористого калия, а также при про-



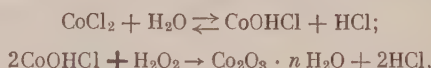
пускании через раствор постоянного тока тотчас выпадают хлопья бурого цвета, а раствор становится бесцветным и не показывает эффекта Тиндала. Очевидно, происходит коагуляция золя. Кроме того, наблюдается изменение температуры замерзания реакционной смеси в заключительной стадии процесса (табл. 2), что указывает на уменьшение числа частиц в растворе. Очевидно, что после прибавления перекиси водорода к раствору, содержащему хлорид кобальта и молибдат натрия, возникают процессы, сопровождающиеся объединением нескольких частиц в одну. Изчезновение осадка в конце опыта вызывает дальнейшее уменьшение числа частиц в растворе, что на этой стадии процесса может быть объяснено пентизацией осадка, протекающей с поглощением ионов из раствора.

Описанные наблюдения приводят к следующим выводам:

1) Оптимум отношения концентраций катализаторов указывает на то, что в процессе катализа возникают промежуточные соединения, обуславливающие катализ, содержащие в своем составе кобальт и молибден в определенных соотношениях.

2) Данный катализ является гомогенным только при отношении  $C_{Co} : C_{Mo}$ , не превышающем 1 : 2; повышение концентрации кобальта против указанного отношения сопровождается возникновением в реакционной смеси твердой фазы, каталитически активной, и катализ становится смешанным.

3) Процесс возникновения осадка в описанной серии опытов возможно объяснить гидролизом хлорида кобальта с последующим окислением основной соли по схеме:



т. е. здесь имеется аналогия с процессом формирования каталитически активного продукта, возникавшего в опытах разложения перекиси водорода хлоридом кобальта в присутствии щелочи.

Очевидно, что в реакционной смеси при участии перекиси водорода протекают процессы, в результате которых одновременно возникают и осадок, и кислота. Этими процессами могут быть как раз гидролиз хлорида кобальта и последующее окисление основной соли по приведенной выше схеме.

В возникновении кислоты и последовательном увеличении ее концентрации (в связи с повышением концентрации хлорида кобальта), очевидно, заключается основная причина последовательного понижения скорости изучаемого катализа при последовательном увеличении концентрации хлорида кобальта сверх отношения  $C_{Co} : C_{Mo} = 1 : 2$ .

Важно подчеркнуть, что в результате гидролиза хлорида кобальта появляются факторы, действующие на скорость разложения перекиси водорода в противоположных направлениях: окисные соединения кобальта увеличивают скорость катализа, а ионы водорода сильно тормозят ее, причем последний фактор преобладает над первым.

Однако гидролиз хлорида кобальта, как процесс обратимый, ограничивается известным пределом, зависящим от концентрации возникающей кислоты, ибо в ряде опытов часть ионов кобальта оставалась без изменения. Не исключено, что присутствие свободных ионов кобальта создавало дополнительную причину уменьшения скорости реакции.

Такое истолкование причин уменьшения скорости реакции в описанных опытах получает подкрепление в том факте, что кривые, полученные из опытов превращения перекиси водорода хлоридом кобальта в щелочной среде (рис. 1, кривая 3), имеют близкое сходство с кривыми, полученными из опытов разложения перекиси совместным действием молибдата натрия и хлорида кобальта при концентрациях последнего, более высоких чем  $0,004 M$ .

Влияние рН раствора на скорость катализа. Исследуемый катализ оказался очень чувствительным к изменению рН реакционной смеси. Опыты, проведенные с  $C_{\text{Co}} = C_{\text{Mo}} = 0,002$  г-иона,  $C_{\text{H}_2\text{O}_2} = 0,18$  М при  $25^\circ\text{C}$ , показали, что 0,0005 М серная кислота уменьшает скорость катализа в два раза, а 0,002 М серная кислота совершенно прекращает его. В противоположность этому 0,001 М едкий натр увеличивает скорость катализа в среднем также в два раза.

Из характера кривых, полученных в этих опытах, видно, что щелочь увеличивает скорость процесса, не изменяя порядка реакции, а кислота оказывает влияние не только на скорость катализа, но и на порядок реакции.

В условно-нейтральной и щелочной среде по мере течения процесса порядок реакции постепенно переходит от второго к первому, а в кислой среде реакция почти на всем протяжении протекает по уравнению, близкому к первому порядку.

Для суждения о роли ионов  $\text{H}^+$  и  $\text{OH}^-$  в данном катализе интересны приведенные в табл. 3 результаты титрования растворов после окончания реакции.

Таблица 3

Концентрации в опытах						
Na <sub>2</sub> MoO <sub>4</sub> моль/л	CoCl <sub>2</sub> моль/л	H <sub>2</sub> O <sub>2</sub> моль/л	Исходные		После опытов	
			H <sub>2</sub> SO <sub>4</sub> г-экв/л	NaOH г-экв/л	H <sub>2</sub> SO <sub>4</sub> г-экв/л	NaOH г-экв/л
0,002	0,002	0,18	—	—	—	—
			—	—	0,0005	—
			0,00025	—	0,00075	—
			0,0005	—	0,001	—
			0,001	—	0,0015	—
			—	0,00036	0,0005	—
			—	0,00073	0,00025	—
			—	0,00146	—	—

Из таблицы видно, что ионы гидроксила полностью расходуются в процессе катализа — либо участвуя в формировании каталитически активных соединений, либо нейтрализуя ионы водорода. Ионы водорода, напротив, в конце реакций регенерируются, причем их концентрация даже возрастает.

Ионы водорода, по-видимому, входят во временное соединение с каталитически активными промежуточными продуктами, значительно понижая их активность. Поэтому их роль сводится к тому, что они превращают активную нормальную соль катализатора в менее активную кислую соль.

Действительно, расчет оставшейся концентрации активной формы катализатора по уравнению\*

$$\frac{v}{v_1} = \frac{f}{(f - f_1)}$$

приводит к результату, что в присутствии 0,0005 М серной кислоты концентрация активного катализатора уменьшается в два раза, т. е. во столько же, во сколько падает скорость катализа в присутствии кислоты указанной концентрации.

Однако такое объяснение сущности влияния ионов водорода на скорость данного катализа едва ли является исчерпывающим, поскольку оно не согласуется с фактом изменения порядка реакции в кислой среде по сравнению с порядком реакции в условно-нейтральной среде. Действительно,

\*  $v$  — скорость реакции в присутствии активной формы катализатора,  $v_1$  — скорость в присутствии менее активной его формы;  $f$  — концентрация активной формы, а  $f_1$  — концентрация менее активной формы катализатора.

если бы роль ионов водорода сводилась только к дезактивации одной части катализатора без изменения природы и свойств оставшейся части, то логично было бы ожидать, что введение в реакционную смесь кислоты должно было бы вызвать только уменьшение скорости катализа при сохранении того же порядка реакции, по которому протекал процесс в условно-нейтральной среде. Между тем в данном катализе прибавление кислоты послужило причиной не только уменьшения скорости катализа и перехода от более высокого порядка реакции, характерного для условно-нейтральной среды, к более низкому.

Этот факт требует дополнительного объяснения. По нашему мнению оно состоит в том, что ионы водорода, кроме дезактивации части катализатора, своим присутствием полностью или частично подавляют процесс гидролиза хлорида кобальта. Это предположение подкрепляется визуальными наблюдениями: в присутствии кислоты реакционная смесь остается совершенно прозрачной; она лишь приобретает желтую окраску.

Влияние температуры на скорость катализа. Выяснению зависимости скорости исследуемого катализа от температуры посвящена большая серия опытов, в которой фиксировалась скорость катализа при различных соотношениях катализаторов в нейтральной, кислой и щелочной среде. Найденные средние значения температурного коэффициента  $\gamma$  и энергии активации  $E$  сведены в табл. 4.

Таблица 4

Концентрации, моль/л					Температура опытов, °C	Средние значения	
Na <sub>2</sub> MoO <sub>4</sub>	CoCl <sub>2</sub>	H <sub>2</sub> SO <sub>4</sub>	NaOH	H <sub>2</sub> O <sub>2</sub>		$\gamma$	$E$ , ккал
0,002	—	—	—	0,18	15, 25, 35, 45	3,04	20,84
	0,002	—	—		15, 25, 35, 45, 55	2,19	14,73
		0,0005	—		То же	1,85	11,84
		—	0,0005		" "	2,25	15,23
	0,001	—	—		" "	2,20	15,90
		0,0005	—		" "	1,89	12,21
		—	0,0005		" "	2,40	16,56
	0,0005	—	—		" "	2,22	15,31
	0,004	—	0,004		15, 25, 35, 45	2,95	19,38
CoMoO <sub>4</sub> —0,002					То же	2,11	13,94

Необходимо подчеркнуть, что значение температурного коэффициента и энергии активации на протяжении всего опыта во всех случаях довольно постоянно.

Из сопоставления значений энергии активации следует:

1. Процесс разложения перекиси водорода под влиянием одного молибдата натрия или одного хлорида кобальта (в щелочной среде) протекает при более высоком значении энергии активации, чем тот же процесс при совместном влиянии молибдата натрия и хлорида кобальта. Этот факт является веским доказательством возникновения из молибдата натрия и хлорида кобальта в присутствии перекиси водорода объединенных каталитически активных комплексов, которые ведут процесс катализа при более низких значениях энергии активации.

2. Величины энергии активации, полученные из опытов разложения перекиси совместным действием молибдата натрия и хлорида кобальта при различном их соотношении, имеют довольно близкие значения. Отсюда следует, что во всех этих опытах возникали одни и те же (или один и тот же) активные перекисные комплексы.

3. Энергия активации процесса разложения перекиси водорода при совместном влиянии молибдата натрия и хлорида кобальта в кислой среде имеет более низкое значение, чем в нейтральной. В присутствии кислоты,



как было указано выше, значительно уменьшается возможность возникновения окисных или гидроокисных соединений кобальта, и катализ осуществляется преимущественно активными комплексами, содержащими в своем составе молибден и кобальт. Следовательно, промежуточные перекисные соединения катализа, содержащие в своем составе и молибден и кобальт, весьма лабильны и поэтому обладают высокой каталитической активностью по отношению к процессу разложения перекиси водорода.

4. Энергия активации процесса катализа, протекающего при совместном влиянии молибдата натрия и хлорида кобальта в щелочной среде, имеет

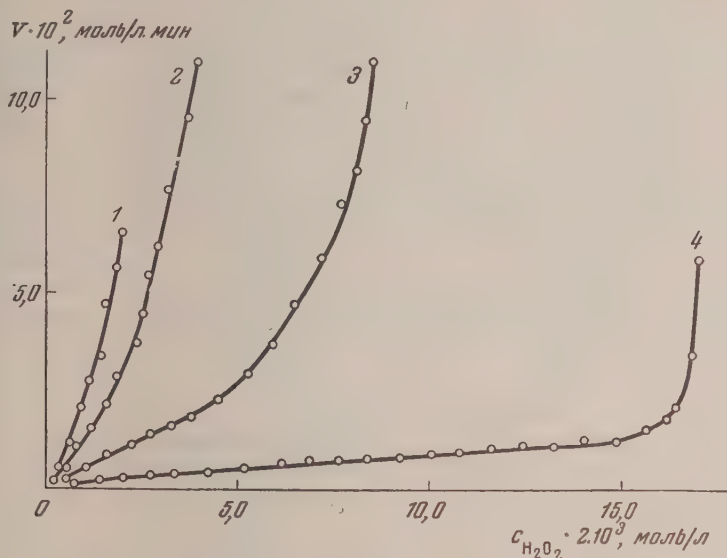


Рис. 4

более высокое значение, чем в среде нейтральной. Этот факт получает свое разъяснение в том, что введение в раствор понов гидроксила способствует формированию окисных (или гидроокисных) соединений кобальта в большем количестве, чем в нейтральной среде, а эти соединения, как видно из опытов разложения перекиси одним хлоридом кобальта в щелочной среде, ведут катализ при более высоком значении энергии активации, чем пермолибдаты кобальта.

Влияние концентрации перекиси водорода на скорость катализа. В результате анализа кривых, приведенных на рис. 2, было отмечено, что скорость данного катализа должна зависеть и от концентрации субстрата. С целью уточнения этого положения были поставлены специальные опыты с различной концентрацией перекиси водорода, результаты которых в виде кривых представлены на рис. 4.

Опыты проведены при  $C_{Co} = C_{Mo} = 0,004$  г-иона и при  $25^\circ C$ . Кривые 1, 2, 3 и 4 получены при исходных концентрациях перекиси, соответственно равных 0,11; 0,21; 0,43 и 0,85 М.

Характер и положение кривых оставляют вне всякого сомнения факт обратной зависимости скорости катализа от начальной концентрации субстрата. Обращает на себя внимание преобладание во всех опытах порядка реакций, близкого к первому, отклонения от которого наблюдается лишь в начале опытов.

Такое своеобразное влияние концентрации перекиси на скорость катализа позволило сделать предположение, что в зависимости от концен-

трации субстрата возникают промежуточные соединения с различным содержанием в своем составе перекисного кислорода и с различными свойствами. Можно было ожидать, что процессы, протекающие при различных концентрациях перекиси, должны отличаться величинами энергии активации. Были поставлены опыты при 15,25 и 35° С при одинаковых концентрациях катализаторов (0,004 М), но с различной концентрацией перекиси водорода. В одном случае исходная концентрация перекиси была равна 0,11 М, а в другом — 0,8 М.

Вычисленные по результатам этих опытов значения энергии активации оказались равными в первом случае 14,74 ккал, а во втором 14,75 ккал.

Если добавить, что энергия активации изучаемого процесса, вычисленная по кривым из опытов, проведенных при  $C_{Co} = C_{Mo} = 0,002$  и  $C_{H_2O_2} = 0,18$  М, равна 14,73 ккал (табл. 4), то с достаточным основанием можно признать, что во всех этих случаях возникают одни и те же соединения, обуславливающие катализ, и нужно искать иное объяснение факту обратной зависимости скорости катализа от концентрации субстрата.

Очевидно, промежуточные соединения, возникающие в процессе данного катализа, в условиях более высоких концентраций перекиси водорода теряют каталитическую активность под влиянием самого субстрата. Иначе говоря, в данном случае катализа мы сталкиваемся с интересным явлением — дезактивации катализатора под влиянием субстрата. Возможно она является следствием перигидратации катализатора. Однако выяснению физико-химических основ этого явления должно быть посвящено специальное исследование.

### Выводы

1. Один хлорид кобальта, в отличие от молибдата натрия, в нейтральной и кислой среде не оказывает каталитического влияния на разложение перекиси водорода, а в щелочной среде его каталитическое действие проявляется вполне определенно.

2. Прибавление хлорида кобальта к молибдату натрия резко усиливает каталитическую активность последнего. Максимум скорости катализа имеет место при отношении  $C_{Co} : C_{Mo} = 1 : 2$  и  $1 : 4$ . Скорость реакции возрастает приблизительно прямо пропорционально концентрации ионов гидроксидов и падает обратно пропорционально концентрации ионов водорода.

3. Энергия активации катализа под действием отдельно взятых катализаторов выше, чем при их совместном действии. Наименьшее значение энергии активации имеет место в кислой среде, которая резко изменяет природу промежуточных соединений по сравнению с теми, которые получают при  $pH \geq 7$ .

4. Влияние начальной концентрации субстрата на ход катализа весьма своеобразно: при увеличении начальной концентрации перекиси водорода скорость реакции резко и вполне закономерно падает. Следовательно, катализ парализуется избытком самого субстрата.

5. Сделано предположение, что катализ осуществляется как общими «комплексными» промежуточными продуктами, так и соединениями, образуемыми отдельными катализаторами.

Московский энергетический  
институт

Поступила  
17. IV. 1957

### ЛИТЕРАТУРА

1. Г. А. Богданов, Т. И. Беркенгейм и В. А. Щербинин, Ж. физ. химии, 30, 889, 1956.
2. В. А. Щербинин и Г. А. Богданов, Ж. физ. химии, 32, 1252, 1958.

FURTHER MATERIAL ON THE THEORY OF CO-ACTIVITY OF CATALYSTS  
IN SOLUTIONTHE CATALYSIS OF HYDROGEN PEROXIDE CONVERSION BY THE JOINT ACTION  
OF SODIUM MOLYBDATE AND COBALT CHLORIDE*V. A. Shcherbinin and G. A. Bogdanov*

## Summary

A gasometric study has been made of the kinetics of the catalytic conversion of hydrogen peroxide in solution by the joint action of sodium molybdate and cobalt chloride.

Cobalt chloride alone in neutral and acid solution has no catalytic effect on the decomposition of the peroxide but its addition to sodium molybdate sharply increases the catalytic activity of the latter. The maximum catalytic activity takes place at  $C_{Co} : C_{Mo} = 1:2$  and  $1:4$ .

The rate of catalysis increases in the presence of  $OH^-$  and falls in the presence of acids.

Depending upon the pH of the medium and the concentration of the cobalt salt the catalytic process takes place according to homogeneous-microheterogeneous-heterogeneous mechanisms.

The activation energy of the process is higher for the individual catalysts than for their joint action. The lowest value for the activation energy is in acid medium.

On increase in the initial hydrogen peroxide concentration there is a sharp fall in the rate of the catalysis.

It has been suggested that the catalysis is determined both by common «complexes» well as by compounds formed by the separate catalysts.

---



## АДСОРБЦИЯ ИОНОВ БРОМА И ЙОДА НА ПЛАТИНЕ

Н. А. Балашова

Изучение адсорбции поверхностно-активных ионов брома и йода на твердых металлах представляет значительный интерес для выяснения структуры двойного электрического слоя в присутствии этих ионов.

Кроме того, многими исследователями наблюдалось значительное влияние эти ионов на кинетику многих электрохимических процессов, как, например, электрохимического выделения водорода [1], катодного восстановления кислорода [2], восстановления ионов персульфата [3] и многих других, что объяснялось адсорбцией их на поверхности металла.

В ряде работ [4—6] было показано, что энергия связи между платиной и адсорбированным водородом сильно уменьшается при адсорбции анионов, в частности  $\text{Br}^-$ , благодаря чему снижается, например, скорость ионизации молекулярного водорода.

В работе З. А. Иофа и Г. Рождественской [7] было дано непосредственное доказательство адсорбции ионов йода на железе методом меченых атомов, однако ими не выяснялась связь между величиной адсорбции и потенциалом или знаком заряда поверхности.

Я. М. Колотыркин и Л. А. Медведева изучали адсорбцию ионов йода на свинце и связь между величиной адсорбции и перенапряжением водорода [8].

Целью настоящей работы являлось изучение адсорбции ионов брома и йода на гладкой и платинированной платине из кислых растворов в зависимости от потенциала, времени и температуры. Кроме того, изучались условия десорбции этих ионов с поверхности платины и возможность промывания их в глубь металла.

## Экспериментальная часть

**Методика.** Для изучения адсорбции ионов брома и йода на платине был применен метод радиоактивных индикаторов, в качестве которых использовались радиоизотопы йода  $\text{J}_{53}^{131}$  и брома  $\text{Br}_{35}^{82}$ . Все опыты проводились в растворах  $1N \text{ H}_2\text{SO}_4 + 0,01N \text{ KJ}$  и  $1N \text{ H}_2\text{SO}_4 + 0,01 N \text{ KBr}$  следующим образом: в раствор  $1 N \text{ H}_2\text{SO}_4$ , непрерывно перемешиваемый очищенным азотом, погружался электрод, которому путем поляризации задавался определенный потенциал; после достижения постоянного значения потенциала, поддерживаемого во все время опыта, добавлялся раствор  $\text{KJ}$  или  $\text{KBr}$ , помеченных соответствующим радиоактивным индикатором, и вновь производились измерения потенциала в течение определенного времени, после которого электрод вынимался и на нем определялась адсорбция. Поляризация производилась в том же объеме раствора с помощью маленького платинового электрода в виде тонкой проволоочки, едва достигающей до поверхности раствора, так что адсорбцией на ней можно было пренебречь. Измерения адсорбции производились по изменению активности электрода на торцовом счетчике по мягкому  $\beta$ -излучению индикатора\*. Методика подобного рода измерений подробно описана в другой нашей статье [9]. Коэффициент поглощения излучения  $\text{J-131}$ , необходимый для расчета величины адсорбции для платинированных электродов, был равен  $\sim 0,90$ , для гладких —  $0,80$ ; для  $\text{Br-82}$  соответственно —  $0,65$  и  $0,55$ .

Определялась адсорбция, которую мы называем общей или суммарной, и необратимая адсорбция, определяемая на электроде после отмывания его водой до значения активности, остающегося постоянным в течение нескольких минут [9].

Величина адсорбции при каждом значении потенциала определялась на чистых (нерадиоактивных) электродах после их предварительной подготовки в стандартных условиях, необходимых для получения воспроизводимых результатов.

В каждом опыте сначала определялась общая, а затем необратимая адсорбция, после чего электрод протравливался в царской водке для полной очистки от активности, которую иным путем не удавалось удалить. В опытах с платинированной платиной после этого производилось платинирование по способу, описанному в работе

\* Измерения активности проводились на неподсушенных электродах по причине летучести  $\text{J}_2$ , образующегося при окислении  $\text{J}^-$  на воздухе.

]. Количество высаженной платины составляло около 0,05 г на электрод. Для определения величины истинной поверхности платинированных электродов перед адсорбционным опытом снималась кривая заряжения в 1 N H<sub>2</sub>SO<sub>4</sub>. Вычисление поверхности производилось путем сопоставления длины водородной части полученной кривой кривой для гладкого платинового электрода по работе Эршлера [5], который дал для этой величины 218 мС, проводя кривую заряжения до обратимого водородного потенциала. Несмотря на одинаковые во всех опытах условия осаждения платины, адки не могли получаться строго идентичными по своей структуре, что сказалось на адсорбционных свойствах полученной поверхности (часто различающейся по величине) и определяло в большой мере воспроизводимость результатов.

Электроды из гладкой платины имели размер 1,5 × 2,0 см и толщину 0,2 мм. После ятия радиоактивности в дарской водке эти электроды применялись 1—2 раза, после его заменялись новыми по причине значительного изменения величины поверхности, которое мы не могли учитывать. Перед адсорбционным опытом гладкие электроды подготавливались по методу, обеспечивающему активацию поверхности по отношению реакции ионизации водорода [6]. Для этого электрод прокаливался и подвергался опереженной катодной и анодной поляризации в 1 N H<sub>2</sub>SO<sub>4</sub>. Для вычисления поверхности брался коэффициент шероховатости 1,5.

После проведения адсорбционных опытов с платинированной платиной в ряде случаев также снимались кривые заряжения для характеристики изменений величины состояния поверхности. Все потенциалы даны против нормального водородного электрода.

Опытные данные. Зависимость величины адсорбции от потенциала изображена на рис. 1 для случая адсорбции йода на платинированной платине. Значения адсорбции на этом рисунке представляют собой средние величины общей адсорбции, установившиеся на 30 мин.\*. Для необратимой адсорбции кривые имеют такую же форму. Каждая точка кривой рис. 1 получена при потенциале, поддерживаемом поляризацией анодным током, так как при адсорбции йода потенциал в течение первых 30—40 мин. сначала быстро, а затем более медленно изменяется в отрицательную сторону. Эти изменения могут за первые 10 мин. достигать 200—400 мВ и происходящие за это время изменения адсорбированного количества практически не могут быть отнесены к определенному значению потенциала, если его не поддерживают поляризацией.

Аналогичная зависимость адсорбции от потенциала наблюдалась и для ионов брома.

Максимальная величина адсорбции йода на платинированной платине за 30 мин., соответствующая потенциалу 0,4 В, составляет  $3,7 \cdot 10^{-9}$  г-экв/см<sup>2</sup>, брома —  $0,7 \cdot 10^{-9}$  г-экв/см<sup>2</sup>, для гладкой платины за то же время получена величина адсорбции йода  $6,5 \cdot 10^{-7}$  г-экв/см<sup>2</sup>, т. е. почти в 20 раз больше, чем на платинированной при расчете на одинаковую поверхность.

Адсорбция обоих анионов на платине происходит как при положительных, так и при отрицательных потенциалах. Так, для потенциала —0,052 В за 10 мин. получены величины общей адсорбции ионов йода и брома, представленные в табл. 1.

При других значениях потенциала на гладкой и платинированной платине сохраняются аналогичные соотношения величин адсорбции J<sup>-</sup> и Br<sup>-</sup>. Увеличение отрицательного потенциала платины способствует снижению величины адсорбции, как это видно из табл. 2 для случая адсорбции брома на гладкой платине.

\* В параллельных опытах величина адсорбции иногда различалась в два и более раза.

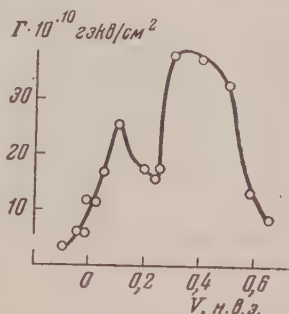


Рис. 1. Зависимость адсорбции йода на платинированной платине от потенциала

Таблица 1

Платина	Адсорбция, г-экв/см <sup>2</sup>	
	J <sup>-</sup>	Br <sup>-</sup>
Платинированная	$2,7 \cdot 10^{-10}$	$1,3 \cdot 10^{-10}$
Гладкая	$4,7 \cdot 10^{-9}$	$2,2 \cdot 10^{-9}$

Таблица 2

Потенциал, V	Адсорбция, г-экв/см <sup>2</sup> за 1 час	Потенциал, V	Адсорбция, г-экв/см <sup>2</sup> за 1 час
+0,05	$4,5 \cdot 10^{-8}$	-0,10	$2,0 \cdot 10^{-8}$
-0,02	$2,4 \cdot 10^{-8}$	-0,16	$1,6 \cdot 10^{-8}$

Приведенные выше значения адсорбции не являются предельными так как адсорбция ионов йода и брома нарастает во времени при всех значениях потенциала гладкой и платинированной платины, что для случая ионов йода на платинированной платине показано на рис. 2.

Таблица 3

Адсорбция на гладкой Pt, г-экв/см<sup>2</sup> за 1 час при  $E = -0,05$  V

Ион	20°	50°	90°
Br <sup>-</sup>	$2,0 \cdot 10^{-8}$	$0,9 \cdot 10^{-8}$	$0,6 \cdot 10^{-8}$
I <sup>-</sup>	$2,7 \cdot 10^{-8}$	$2,0 \cdot 10^{-8}$	$1,1 \cdot 10^{-8}$

Возрастание общей адсорбции во времени происходит за счет увеличения необратимой части адсорбции, которая уже через несколько часов практически совпадает по величине с общей адсорбцией. При повышении температуры адсорбция брома и йода уменьшается, что видно из табл. 3.

Скорость и время десорбции адсорбированных на платине ионов брома и йода различны. Так, например, десорбция ионов брома в воде при 20° с платинированной платины происходит за 1 час на 50—65% (после 20-часовой адсорбции их при  $-0,05$  V), а десорбция ионов йода (адсорбированных в этих же условиях в течение одного часа) в воде практически не происходит. Повышение температуры ускоряет десорбцию ионов брома и йода, однако полной десорбции не наблюдается и при этих условиях.

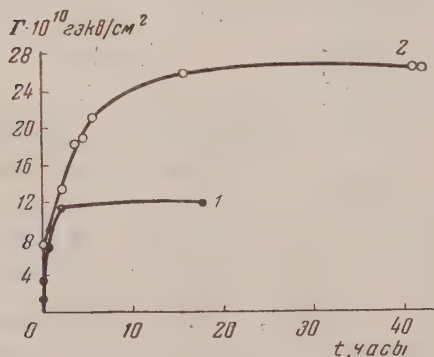


Рис. 2. Зависимость адсорбции йода на платинированной платине от времени: 1—для  $E = -0,05$  V, 2—для  $E = -0,65$  V

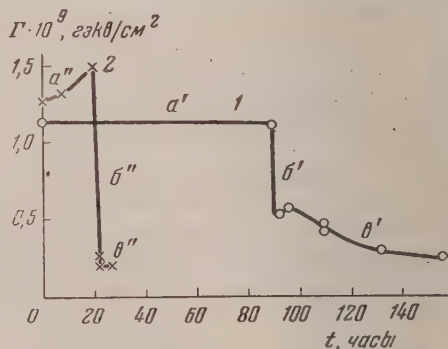


Рис. 3. Десорбция йода с платинированной платины: 1 ( $a'$  — в воде,  $b'$  и  $c'$  — в 1 N  $H_2SO_4$  при  $E = -0,05$  V), 2 ( $a''$  — в воде,  $b''$  и  $c''$  — в 1 N  $H_2SO_4$  при  $E = -0,16$  V)

Значительно легче она происходит в растворах серной кислоты, особенно при сильной катодной поляризации платины. На рис. 3 представлены результаты по десорбции йода с платинированной платины. Кривая 1 соответствует десорбции с электрода, на котором в течение часа происходила адсорбция ионов йода при потенциале 0,02 V, кривая 2 — после адсорбции в течение 5 час.

Сопоставление этих результатов показывает, что скорость десорбции йода с платинированной платины в чистой серной кислоте при увеличении отрицательного потенциала на 210 mV возрастает почти в 30 раз,



днако полной десорбции йода не достигается и в этих условиях. Десорбция йода и брома с гладкой платины происходит легче, чем с платинированной. Так, для случая  $\text{Br}^-$ , адсорбированного в одинаковых условиях при потенциале  $-0,05 \text{ V}$ , 20 час.,  $20^\circ$ ) на гладкой и платинированной платине при отмывании в воде в течение трех часов в первом случае десорбируется около 90%, а во втором — лишь 60—65% от адсорбированного количества. Для случая йода в сравнимых условиях с гладкой платины десорбируется в 2—2,5 раза большее количество, чем с платинированной. Десорбцию йода и брома с гладкой платины удастся во многих случаях довести практически до конца.

Увеличение времени адсорбции всегда приводит к более прочной связи ионов брома и йода с поверхностью электрода. В тех случаях, когда после адсорбционного опыта отмытый от активного раствора электрод остается в воде, на воздухе или в серной кислоте, не содержащей ионов йода и брома, наблюдается увеличение активности электрода со временем. Если после этого произвести возможно более полную десорбцию йода или брома с поверхности платины и вновь оставить ее в тех же условиях, то вторично можно наблюдать увеличение радиоактивности электрода. Такое увеличение количества ионов брома или йода на поверхности в условиях, когда дополнительной адсорбции произойти не может, можно наблюдать на одном и том же электроде несколько раз после десорбции\*.

Увеличение радиоактивности отмытых платиновых электродов во времени наблюдалось после адсорбции  $\text{Br}^-$  и  $\text{I}^-$  при различных потенциалах, но величина этого эффекта зависит от потенциала адсорбции. В случае адсорбции  $\text{Br}^-$  или  $\text{I}^-$  при потенциалах, соответствующих отрицательному заряду неокисленной платины, эффект увеличения радиоактивности меньше, чем в случае адсорбции этих ионов при потенциалах, соответствующих положительному заряду. Для гладкой платины во всех случаях этот эффект значительно больше, чем для платинированной. Так, для платинированной платины, отмытой водой после адсорбции  $\text{I}^-$  при потенциале  $-0,05 \text{ V}$ , наблюдалось увеличение радиоактивности лишь на несколько (2—3) процентов. В этих же условиях для гладкой платины эффект составлял 30%.

Величина эффекта увеличения радиоактивности отмытых электродов зависит также от условий десорбции ионов  $\text{I}^-$  или  $\text{Br}^-$ . При слабой десорбции, достигаемой, например, отмыванием адсорбированных  $\text{I}^-$  или  $\text{Br}^-$  водой, эффект последующего увеличения радиоактивности меньше, чем после более эффективной десорбции, достигаемой, например, сильной катодной поляризацией электродов в  $\text{H}_2\text{SO}_4$ .

После адсорбции при потенциалах, соответствующих окислению  $\text{I}^-$  до  $\text{I}_2$ , эффект увеличения радиоактивности отмытых электродов значительно больше, чем после адсорбции ионов  $\text{I}^-$ . В этих случаях наблюдающееся увеличение активности в основном определяется выходом изнутри электрода молекулярного йода, так как при его десорбции наблюдается пожелтение раствора. Платиновые электроды, длительно находившиеся в контакте с растворами брома или йода, даже после отмывания их (в пределах точности измерений активности), оказываются через некоторое время в значительной степени «отравленными». Это проявляется в понижении адсорбционной активности по отношению к ионам брома или йода и искажении кривых заряджения.

### Обсуждение результатов

Полученные результаты показывают ярко выраженную зависимость адсорбции ионов брома и йода от потенциала платинового электрода (рис. 1). Кривая рис. 1 по своей форме совершенно аналогична кривой, полученной нами ранее для анионов серной кислоты [10], с той разницей, что

\* Такой же эффект наблюдался нами для серной кислоты [10].

для йода минимум в области потенциалов  $0,1-0,2$  В выражен более резко. Это различие может быть связано с тем, что в случае серной кислоты адсорбция изучалась по изменению активности раствора при непрерывно изменении потенциала платины, что в некоторой мере сглаживает форму кривой адсорбции благодаря накоплению на электроде необратимо адсорбирующихся ионов.

Как известно, в присутствии поверхностно-активных ионов йода брома нулевая точка на платине, так же как и на ртути, сдвигается в отрицательную сторону. В работе А. И. Шлыгина, А. Н. Фрумкина и В. И. Медведовского [4] было показано, что при адсорбции на платине аниона серной кислоты нулевая точка лежит при потенциале  $0,11$  В, а аниона брома при  $-0,02$  В, т. е. на  $0,13$  В отрицательнее. Для анионов йода таких данных нет, но можно полагать, что сдвиг нулевой точки в присутствии йода еще больше. В связи с этим трудно оценить заряд поверхности платины в области отрицательных потенциалов, достигаемых в наших опытах. Наименьшее значение адсорбции ионов йода и брома при этих потенциалах может быть связано не только с наличием отрицательного заряда поверхности, но, кроме того, и с влиянием адсорбированных атомов водорода.

Адсорбционная кривая резко поднимается до потенциала  $0,1$  В, что может соответствовать адсорбции йода на положительно заряженной платине. В интервале потенциалов  $0,1-0,2$  В имеется минимум адсорбции анионов. Этот минимум трудно объяснить однозначно, так как в этой области потенциалов при наличии положительного заряда поверхности можно было ожидать суммирования электростатических специфических сил адсорбции, результатом которого было бы возрастание ее. Возможно, что найденную на опыте кривую из-за неоднородности поверхности следует рассматривать как результат наложения двух кривых, соответствующих различным положениям точки нулевого заряда. Не исключена также возможность адсорбции кислорода на отдельных участках поверхности, способствующая десорбции анионов.

При дальнейшем росте положительного потенциала наблюдается вновь возрастание адсорбции на положительно заряженной платине до начала окисления ее, когда адсорбирующийся кислород вытесняет анионы, а при потенциалах выше  $0,6$  В и атомы йода.

Увеличение необратимости адсорбции во времени можно объяснить упрочнением связи анионов с поверхностью платины, которое выражено сильнее для йода, чем для брома. Такое упрочнение связи наблюдалось на платине при адсорбции кислорода [11], а также на железе [12], кадмии, таллии и свинце [13] при адсорбции галоидов. В наших опытах это упрочнение может быть связано в значительной степени с проникновением адсорбированных частиц в платину на такую глубину, что полное отмывание их делается практически невозможным. На значительное проникновение в глубь металла указывает длительное увеличение адсорбции во времени при установившемся значении потенциала. Непосредственно такое проникновение доказывается опытами по увеличению активности отмываемых электродов во времени. Это увеличение является мерой обратной диффузии радиоактивных частиц брома или йода из глубины металла, где происходило частичное поглощение их излучения, к поверхности и зависит от их количества в поверхностном слое. Наблюдаемый эффект увеличения обратной диффузии при более эффективной десорбции адсорбированных частиц безусловно связан с нарушением адсорбционного равновесия между внешней и внутренней поверхностями металла. Возникающий при десорбции адсорбированных частиц с внешней поверхности градиент концентрации обеспечивает более быструю подачу десорбирующихся с внутренней поверхности частиц к внешней поверхности по порам, микротрещинам и межкристаллитным зонам металла. Для выяснения механизма проникновения частиц в глубь металла существенна зависимость величины обратной диффузии от потенциала адсорбции. Такая зависимость была нами установлена

Для случая адсорбции анионов серной кислоты. Для случая адсорбции анионов йода и брома эта зависимость специально не изучалась, однако по имеющимся опытным данным видно, что она и в этих случаях имеет место. Существование ее в случае брома и йода подтверждается также тем, что для необратимой адсорбции, в которую входит в значительной мере адсорбция на внутренней поверхности, наблюдается такая же зависимость от потенциала, как и для общей адсорбции. Из существования такой зависимости следует, что суммарный эффект поглощения определяется адсорбцией из раствора на внутренней поверхности, которая остается недоступной при измерении по методу кривых заряжения, а не вхождением атомов брома или йода в решетку платины, так как в последнем случае следовало бы ожидать иной зависимости адсорбции от потенциала, чем в случае адсорбции из раствора. Однако окончательное суждение по этому вопросу будет возможным только после исследования зависимости адсорбции от потенциала после длительного времени адсорбции.

Адсорбированное на внутренней поверхности количество частиц йода или брома точно нельзя подсчитать по величине обратной диффузии по ряду причин: во-первых, часть выходящих изнутри ионов может одновременно десорбироваться в раствор и, таким образом, не участвовать в измеряемой активности электрода; во-вторых, в любой момент измерения радиоактивности счетчиком фиксируется излучение не только с внешней поверхности, но и частично изнутри, с различных глубин электрода, так как применяемые индикаторы йода и брома обладают и жестким  $\beta$ - и  $\gamma$ -излучением, которое частично регистрируется торцовым счетчиком. Даже при наличии только мягкого  $\beta$ -излучения такой расчет был бы неточен, так как во внимание может приниматься лишь значение максимальной энергии излучения без учета всего спектра. Последнее обстоятельство делает невозможным и точное количественное определение глубины, на которую проникают бром и йод в платину.

Уход адсорбированных частиц в глубь платины ранее наблюдался для случая кислорода, поглощающегося в количествах, соответствующих сотням или десяткам монослоев и очень медленно диффундирующего изнутри [14].

Наблюдаемое в наших опытах уменьшение вычисленной величины адсорбции йода и брома при возрастании температуры, несколько неожиданное, учитывая, что адсорбционное равновесие в наших опытах не достигалось, мы объясняем тем, что непрерывный уход адсорбированных частиц в глубь металла происходит со скоростью, иногда превышающей возрастание адсорбции с температурой. Это заключение подтверждается результатами отдельных опытов, в которых наблюдались максимумы или минимумы на кривых зависимости адсорбции от температуры. Возрастание десорбции с температурой зависит, очевидно, от ослабления связи адсорбированных частиц йода и брома с поверхностью, а также от увеличения скорости выхода их из глубины металла к поверхности при росте температуры.

Обнаруженное в наших опытах большое различие величины адсорбции анионов брома и йода на платинированной и гладкой платине можно приписать лишь различным адсорбционным свойствам гладкой и платинированной платины. Мы полагаем, что главную роль здесь играет различие в структуре. Платинированная платина, очевидно, имеет более правильную кристаллическую решетку, чем гладкая. Нарушения в решетке гладкой платины, а также возможность наличия микротрещин и пор, получающихся на ее поверхности при технологической обработке, могут обуславливать ее повышенную адсорбционную способность. Это подтверждается тем фактом, что обратная диффузия сорбированных ионов брома и йода на гладкой платине больше, чем на платинированной.

Необходимо отметить, что к такому же выводу о различии в поверхностных свойствах гладкой и платинированной платины привело исследо-



вание образования окисных слоев при анодной поляризации платины [14]. Большие различия в величине адсорбции анионов йода и брома на гладкой и платинированной платине подчеркивают неоднократно отмечавшуюся в литературе зависимость адсорбции различных частиц от предыстории адсорбента и заставляют относиться весьма критически к абсолютным значениям адсорбции на металлах. Наблюдаемые нами изменения адсорбционных свойств платины после многократно повторявшихся опытов адсорбции и десорбции анионов брома и йода еще более подтверждают это положение.

Наличие значительного проникновения брома и йода в глубь металла не позволяет однозначно сопоставлять наблюдаемые значения адсорбции с величиной поверхности электрода. Рассчитанные величины адсорбции йода в случае платинированного электрода примерно в два раза, а в случае гладкого — в десятки раз превышают то, которое может уместиться в пределах монослоя, однако явление это, вероятно, может быть объяснено тем, что внутренняя поверхность, игравшая существенную роль в адсорбционных опытах, не учитывалась при снятии кривых заряжения. Найденные значения адсорбции в случае платинированной платины в несколько раз превышают величины, измеренные А. Д. Обручевой [15]. Нужно, однако, иметь в виду, что адсорбция в опытах Обручевой определялась по десорбированному количеству, причем полнота десорбции контролировалась формой кривых заряжения.

Из наших опытов следует, однако, что и при полной очистке поверхности в глубине металла могут оставаться значительные количества брома и йода, которые регистрируются счетчиком, но не определяются электрохимическими методами. Кроме того, в указанных опытах, в которых ставилась задача определения адсорбционных потенциалов, потенциал электрода смещался во время процесса адсорбции и конечные его значения были значительно более отрицательными, чем те, при которых измерялись максимальные адсорбционные эффекты в наших опытах.

### Выводы

1. Методом меченых атомов изучена адсорбция ионов йода и брома на гладкой и платинированной платине в зависимости от потенциала, времени и температуры.
2. Установлено, что адсорбция анионов брома и йода зависит от потенциала платинового электрода, увеличиваясь с ростом положительного и уменьшаясь с ростом отрицательного заряда поверхности.
3. Величина адсорбции ионов брома и йода возрастает во времени и падает с ростом температуры.
4. Адсорбция ионов брома и йода на платине в большой мере необратима, причем степень необратимости увеличивается со временем и уменьшается с температурой.
5. Прямыми опытами доказано значительное проникновение ионов брома и йода в глубь металла с адсорбцией их на внутренней поверхности.
6. Величина адсорбции ионов брома и йода на гладких платиновых электродах в десятки раз больше, чем на платинированных в расчете на  $\text{см}^2$  измеряемой истинной поверхности, что объяснено различием в их структуре.

## ЛИТЕРАТУРА

- З. А. Иофа, Б. Кабанов, Е. Кучинский и Ф. Чистяков, Ж. физ. химии, 13, 1105, 1939; З. А. Иофа, Ж. физ. химии, 19, 117, 1945; З. А. Иофа и А. Н. Фрумкин, Ж. физ. химии, 18, 168, 1944; Я. М. Колотыркин и Л. А. Медведева, Тр. совещания по электрохимии, стр. 378, Изд-во АН СССР, М., 1953; В. В. Лосев, ДАН СССР, 88, 1953.
- И. А. Багоцкая, Ж. физ. химии, 26, 659, 1952; В. С. Багоцкий, Ж. физ. химии, 26, 659, 1952; В. С. Багоцкий и И. Е. Яблокова, Тр. совещания по электрохимии, стр. 68, Изд-во АН СССР, М., 1953.
- Т. В. Калиш и А. Н. Фрумкин, Ж. физ. химии, 28, 474, 1954.
- А. И. Шлыгин и А. Н. Фрумкин, Acta physicochimica URSS, 3, 791, 1935; А. И. Шлыгин, А. Н. Фрумкин и В. И. Медведовский, Acta physicochimica URSS, 4, 911, 1936; А. Н. Фрумкин и А. И. Шлыгин, Изв. АН СССР, сер. хим., 773, 1936; Э. А. Айказян и А. И. Федорова, ДАН СССР, 86, 1137, 1952; Wicke, В. Weblus, Z. El., 56, 169, 1952.
- Б. В. Эршлер, Acta physicochimica URSS, 7, 327, 1937.
- А. Н. Фрумкин и Э. А. Айказян, ДАН СССР, 100, 315, 1955.
- З. А. Иофа и Г. В. Рождественская, ДАН СССР, 41, 1159, 1953.
- Л. А. Медведева и Я. М. Колотыркин, Ж. физ. химии, 31, 1957.
- Н. А. Балашова и Н. С. Меркулова, Сборник по новым методам физико-химического исследования, М., 1957.
- Н. А. Балашова, ДАН СССР, 103, 639, 1955.
- В. И. Нестерова и А. Н. Фрумкин, Ж. физ. химии, 26, 1178, 1952.
- Э. Азян, ДАН СССР, 100, 473, 1955.
- Я. М. Колотыркин и Н. Я. Бунэ, Ж. физ. химии, 21, 581, 1947; Я. М. Колотыркин и Л. А. Медведева, Ж. физ. химии, 25, 1355, 1951.
- Т. В. Калиш и Р. Х. Бурштейн, ДАН СССР, 88, 863, 1953; Б. В. Эршлер, Г. В. Деборин и А. Н. Фрумкин, Изв. АН СССР, отд. хим. наук, 5, 1065, 1937; А. Д. Обручева, Ж. физ. химии, 26, 1952.
- А. Д. Обручева, Ж. физ. химии, 32, 2155, 1958.

## ADSORPTION OF BROMINE AND IODINE IONS ON PLATINUM

N. A. Balashova

## Summary

The adsorption of bromine and iodine ions on smooth and platinized platinum from acid solutions in relation to the potential, time and temperature has been studied by a radio tracer method. The adsorption of both ions depends upon the potential in correspondence with the charge on the platinum surface, but the amount of ions adsorbed is in all cases above that necessary for the building up of the electrical double layer calculated per  $cm^2$  of true surface as measured by the charging curve method.

The adsorption of bromine and iodine ions and the degree of its irreversibility manifest a protracted increase with time and decrease with the temperature.

The iodine and bromine ions have been found to penetrate considerably into the platinum, becoming adsorbed on the inner surface. The penetration into the bulk of the metal is the major reason for the large adsorption values per unit measured surface, for increase of the adsorption with time, fall with temperature and for the observed irreversibility behavior of the adsorption.

The phenomena are more strongly manifest with the smooth platinum, which is explained by the presence of rougher defects in the metal than in the case of platinized platinum.

## К ИССЛЕДОВАНИЮ ФАЗОВОЙ ДИАГРАММЫ СИСТЕМЫ ЦИРКОНИЙ—БОР

### II. ОБ ОБРАЗОВАНИИ ФАЗЫ, ОТВЕЧАЮЩЕЙ СОСТАВУ $ZrB_2$

*В. А. Эпельбаум и М. А. Гуревич*

Соединения циркония с бором начали изучаться еще в начале нашего столетия.

Тукер и Муди [1] считали, что они синтезировали борид циркония состава  $Zr_3B$ . Ведекинд [2], применяя цирконий 97,5%-ной частоты, полученный восстановлением его оксидов металлическим кальцием, и аморфный бор доводил предварительную спрессованную смесь заданного состава, близкого к  $Zr_3B_4$ , до расплавления в усовершенствованной ими электродуговой печи. Однако, является ли идентичным полученный им борид бориду, полученному Тукер и Муди, Ведекинд не смог установить, считая, что у указанных авторов конечный продукт загрязнен соединениями алюминия, так как Тукер и Муди получили исходный цирконий методом алюмотермии. Эндрю [3] получил борид циркония состава  $Zr_3B_4$  электролизом расплавленных солей различных составов, содержащих окись циркония и борный ангидрид при 990—1050°C. Мойерс [4] выделил борид циркония при совместном разложении на накаливаемой нитриде хлорида циркония и трибормида бора.

Количественный химический анализ не производился. Рентгенографический анализ показал, что образуется фаза, четко отличающаяся от циркония и бора, и решить вопрос, какую формулу приписать этой боридной фазе —  $ZrB$  или  $ZrB_2$  — оказалось для него невозможным.

Мак-Кенна [5], восстанавливая совместно окись циркония и борный ангидрид углеродом при 2000°C, приписал полученному им конечному продукту формулу  $ZrB_2$ . Рентгеновский анализ показал, что этот борид имеет гексагональную решетку с периодами идентичности  $a = 3,15$  Å;  $c = 3,53$  Å;  $c/a = 1,12 \pm 0,02$ .

Цорган, Блюменталь и Зиндежанд [6] нашли, что синтезированный ими аналогичным методом борид содержит 80,0% Zr и 18,9 B и поэтому соответствует формуле  $ZrB_2$ ; решетка, гексагональная с периодами идентичности  $a = 3,170$  Å;  $c = 3,533$  Å;  $c/a = 1,114$ .

Кисслинг [7, 8], применяя в качестве исходного материала цирконий и бор ~99%-ной чистоты, проводил нагрев исходных смесей заданных составов в высокочастотной и графитовой вакуумных печах. Он пришел к выводу, что в системе цирконий — бор образуется лишь одна боридная фаза, отвечающая составу  $ZrB_2$ ; решетка гексагональная с периодами идентичности  $a = 3,169$  Å;  $c = 3,530$  Å;  $c/a = 1,11$ , структура типа  $AlB_2$ .

Брюер, Саузер, Темплтон и Даубин [9] синтезировали бориды циркония из элементов при 1600°C. Ими также была обнаружена только одна боридная фаза циркония —  $ZrB_2$ .

Киффер, Бенесовски и Хонак [10] получали бориды циркония путем взаимодействия металлического циркония с карбидом бора и окисью бора при 2000°C. Бориду, полученному этим способом, они приписали формулу  $ZrB_2$ . Осуществление этого процесса в вакууме, судя по работе Г. А. Меерсона и Г. В. Самсонова [11], обеспечивает получение продукта с минимальным содержанием примесей.

Пост и Глазер [12] нашли, что наряду с известной фазой  $ZrB_2$  образуется кубическая фаза  $ZrB$ , а также еще одна фаза  $ZrB_{12}$  [13]. Глазер и Пост [14] считают, таким образом, что в системе цирконий — бор образуются, помимо твердого раствора бора в цирконии, следующие фазы: фаза  $ZrB$ , имеющая кубическую гранецентрированную решетку типа NaCl с периодом идентичности  $a = 4,65 \pm 0,03$  Å; фаза  $ZrB_2$  с примитивной гексагональной решеткой с периодами идентичности  $a = 3,170 \pm 0,003$  Å,  $c = 3,533 \pm 0,003$  Å;  $c/a = 1,114$  и фаза  $ZrB_{12}$ , решетка гранецентрированная с периодом идентичности  $a = 7,408 \pm 0,002$  Å; причем только фаза  $ZrB_2$  обнаруживает, по мнению авторов, хорошую термическую и химическую стабильность. Следует подчеркнуть, что описанные ими кубические фазы  $ZrB$  и  $ZrB_{12}$ , несмотря на применение авторами специальной методики (нагрев со скоростью 2000°C в минуту, кратковременная выдержка и закалка), не были выделены в чистом виде.



## Экспериментальная часть и обсуждение результатов

Синтез проводился главным образом из простых веществ — циркония 99,6%-ной чистоты (Zr 99,6%; Fe, 0,07 %; Ca 17%; Cl 0,001%) и бора чистоты 99,3—99,5%.

Вопросу получения гомогенных препаратов уделялось большое внимание. Опытным путем (повторные нагревы при разных температурах, химический и рентгеновский анализы) было установлено, что для получения гомогенных препаратов оптимальными условиями спекания оказались следующие: температура 1900—2100° С, выдержка 2—3 часа. Синтез проводился в печи с вольфрамовым нагревателем в атмосфере очищенного кислорода и влаги аргона или при вакууме ( $10^{-3}$  мм рт. ст.). Тщательно перемешанная шихта заданного состава спрессовывалась под давлением 500 кг/см<sup>2</sup> в штабики диаметром около 10 мм, высотой до 30 мм, которые помещались в специально изготовленные из бора тигли с крышками. Тигли с исследуемым веществом (штабиками) помещались на специальных вертикальных подвесках из вольфрамовой проволоки в центре нагревателя печи. Температура замерялась оптическим пирометром «Рибо» с оглощающим клином с ценой деления на барабане 5—7° С.

По указанной методике были синтезированы препараты состава от  $Zr_{0,02}B_{68}$  до  $ZrB_{2,68}$ . Рентгеновский фазовый анализ исходных материалов конечных продуктов синтеза, а также химический анализ на цирконий и общий бор, осуществлялись по описанной нами в [15] методике. Методов определения свободного бора в бориде циркония в литературе не приведено. Для определения возможного содержания не связанного с цирконием бора была проведена серия исследований с целью выяснения характера взаимодействия борида циркония и бора с серной, азотной, соляной и плавиковой кислотами, хромовой смесью и пергидролем при различных концентрациях на холоду и при нагреве. При этом установлено, что рекристаллизованный бор черного цвета (99,5% В) химически стоек по отношению к серной, соляной и фтористоводородной кислотам при всех концентрациях. Азотная кислота и пергидроль реагирует с бором даже на холоду. Борид циркония (фаза  $ZrB_2$ ) также стоек против серной и соляной кислот, но, в отличие от бора, реагирует более энергично с фтористоводородной кислотой. В связи с этим выбор селективно действующего химического реагента с целью определения свободного бора является весьма трудной задачей. Наиболее подходящим реагентом для нашего случая оказалась смесь, состоящая из 70% по объему 30%-ного раствора пергидроля и 3% по объему 5%-ного раствора азотной кислоты.

При нагреве до 60—80° С в течение 20—30 мин. скорость растворения в ней бора примерно в 25 раз выше, чем борида циркония. Ориентировочное содержание свободного бора в препаратах определялось по разности между общим содержанием бора до обработки и содержанием бора, доведенного до постоянного значения после двух-трехкратных обработок препаратов указанной выше смесью пергидроля и азотной кислоты.

Однако точность определения свободного бора этим путем невелика, поскольку по истечении небольшого времени, по-видимому, вследствие образования окисных пленок, скорость растворения становится практически равной как для бора, так и для боридной фазы  $ZrB_2$ . Это было обнаружено на специально приготовленных механических смесях борида циркония с 3—6% В. Точность определения свободного бора примерно 50% от его содержания. Пользуясь этим способом, было проведено определение свободного бора в образцах № 24, 25 и 26 (табл. 1).

Результаты рентгеновского фазового и химического анализов и определения плотности полученных препаратов приведены в табл. 1\*, репродукции некоторых рентгенограмм.

\* В проведении анализа принимали участие М. И. Старостина и И. А. Припишников, за что авторы выражают им благодарность.

Таблица 1

Результаты химического и рентгеновского фазового анализа и определения плотности препаратов, полученных при взаимодействии циркония с бором в атмосфере очищенного аргона при 1900—2100°С

№ пп.	Суммарный состав образцов	Вес. % Zr	Вес. % об- щия В	Вес. % Zr + В	Плотность пикнометри- ческая	Фазовый состав по рентгеновским данным	Периоды идентич. α-фазы циркония и фазы ZrB <sub>2</sub> в КХ
1	Zr	99,85	—	—	16,50	Zr	3,225
2	" ZrB <sub>0,019</sub> "	99,6	0,23	99,83	6,48	α-Фаза Zr + фаза ZrB <sub>2</sub> (следы)	3,244
3	" ZrB <sub>0,03</sub> "	—	0,356	—	6,47	α-Фаза Zr + фаза ZrB <sub>2</sub>	3,246
4	" ZrB <sub>0,05</sub> * "	—	—	—	—	То же	3,246
5	" ZrB <sub>0,068</sub> "	98,8	0,8	99,60	6,43	" "	3,246
6	" ZrB <sub>0,24</sub> "	96,25	2,75	99,50	6,38	" "	3,246
7	" ZrB <sub>0,66</sub> "	92,5	7,2	99,7	6,36	" "	3,246
8	" ZrB <sub>0,80</sub> * "	—	—	—	6,28	" "	3,524 <sub>9</sub>
9	" ZrB <sub>0,91</sub> "	90,4	9,77	100,17	6,12	" "	3,524 <sub>4</sub>
10	" ZrB <sub>1,04</sub> "	88,9	11,0	99,9	6,04	" "	3,524 <sub>4</sub>
11	" ZrB <sub>1,2</sub> * "	—	—	—	—	Фаза ZrB <sub>2</sub> + α-фаза Zr	3,523 <sub>0</sub>
12	" ZrB <sub>1,40</sub> "	85,3	14,2	99,5	5,87	То же	3,523 <sub>0</sub>
13	" ZrB <sub>1,43</sub> "	85,05	14,45	9,5	5,88	" "	3,523 <sub>0</sub>
14	" ZrB <sub>1,43</sub> * "	—	—	—	—	" "	3,522 <sub>7</sub>
						" "	3,522 <sub>3</sub>
						" "	3,522 <sub>7</sub>
						" "	3,522 <sub>7</sub>

α-Фаза циркония

15	"ZrB <sub>1,45</sub> "*	—	—	—	—	" "	3,162 <sub>8</sub>	3,522 <sub>9</sub>
16	"ZrB <sub>1,53</sub>	83,9	45,2	99,1	5,82	" "	3,162 <sub>0</sub>	3,521 <sub>9</sub>
17	"ZrB <sub>1,55</sub> "	—	—	—	—	" "	3,162 <sub>7</sub>	3,522 <sub>4</sub>
18	"ZrB <sub>1,66</sub>	83,1	46,4	99,5	5,64	" "	3,162 <sub>7</sub>	3,522 <sub>4</sub>
19	"ZrB <sub>1,69</sub> "*	—	—	—	—	Фаза ZrB <sub>2</sub> + α-фаза (следы)	3,162 <sub>7</sub>	3,522 <sub>4</sub>
20	"ZrB <sub>2,05</sub>	80,35	49,5	99,85	5,69***	Фаза ZrB <sub>2</sub>	3,162 <sub>5</sub>	3,523 <sub>0</sub>
21	"ZrB <sub>2,04</sub> "*	—	—	—	5,67	То же	3,162 <sub>5</sub>	3,523 <sub>0</sub>
22	"ZrB <sub>2,07</sub>	80,6	49,75	100,35	5,69	" "	3,162 <sub>7</sub>	3,522 <sub>4</sub>
23	"ZrB <sub>2,18</sub>	79,3	20,55	99,85	5,66	" "	3,162 <sub>5</sub>	3,523 <sub>0</sub>
24	"ZrB <sub>2,34</sub> "	77,7	21,6	99,3	5,53	" "	3,162 <sub>7</sub>	3,522 <sub>6</sub>
25	"ZrB <sub>2,17</sub> "**	77,45	22,4	99,85	5,41	" "	3,162 <sub>6</sub>	3,523 <sub>0</sub>
26	"ZrB <sub>2,18</sub> "**	75,55	24,3	99,85	5,38	" "	3,162 <sub>4</sub>	3,522 <sub>8</sub>

Среднее значение периодов в идентичности гексагональной решетки фазы ZrB<sub>2</sub>:  $a = 3,162_5 \pm 0,0003$  кХ,  $c/a = 413_8$ .

\* Заданный состав.

\*\* С вычетом ориентировочно оцененного содержания свободного бора.

\*\*\*Рентгеновская плотность 6,14.



Из данных, приведенных в этой таблице, следует:

1. В наших условиях синтеза (нагрев до 1900—2100°C, 2—3 часа без закалки) при взаимодействии элементарного циркония и бора в составах от  $ZrB_{0,02}$  до  $ZrB_{2,68}$  образуются:

а)  $\alpha$ -фаза, представляющая собой твердый раствор до 2 ат. % бор в гексагональном  $\alpha$ -цирконии, причем периоды идентичности решеток увеличиваются от  $a = 3,225$  кХ,  $c = 5,130$  кХ,  $c/a = 1,590$  до  $a = 3,246$  кХ,  $c = 5,181$  кХ,  $c/a = 1,596$  [15];

б) фаза  $ZrB_2$ , также имеющая гексагональную решетку.

2. Образование фазы  $ZrB_2$  имеет место уже при составе  $ZrB_{0,02-0,04}$  причем примерно до состава  $ZrB_{1,7}$  она, постепенно усиливаясь, существует наряду с  $\alpha$ -фазой циркония, а от состава  $ZrB_{1,7}$  до состава  $ZrB_{2,68}$  фаза  $ZrB_2$  существует без видимых примесей других боридов циркония (на рентгенограммах видны только линии фазы  $ZrB_2$ ).

3. Периоды идентичности решетки фазы  $ZrB_2$  остаются постоянными в указанных в [15] пределах точности измерения ( $\pm 0,001$  кХ для единичного измерения) во всех исследованных препаратах и равны  $a = 3,1625 \pm \pm 0,0003$  кХ,  $c = 3,5225 \pm \pm 0,0003$  кХ,  $c/a = 1,113$  (средние значения, определенные по данным рентгенографического анализа 20 препаратов). Следует отметить, что рентгеноанализ проводился на различной аппаратуре независимо несколькими сотрудниками, что делает эти измерения вполне достоверными и исключает возможность какой-либо систематической ошибки.

Таблица 2

Расчет типовой рентгенограммы фазы  $ZrB_2$ : фильтрованное Си-излучение, камера типа РКУ-86

№ линий	Интенсивность	$\theta^\circ$	$\sin^2 \theta$ экспер.	(hkl)	$\sin^2 \theta$ вычислен.
1	о. сл.	12°35'	0,04746	001	0,04764
2	сп.	16°16'	0,07691	100	0,07879
3	с.	20°44'	0,12533	101	0,12640
4	сл. (сп. сл.)	25°55'	0,19102	002	0,19054
5	сп.	29°11'	0,23776	110	0,23636
6	сп.	31°17'	0,26964	102	0,26932
7	сп.	32°12'	0,28396	111	0,28400
8	сп. сл.	34°8'	0,31486	200	0,31514
9	сп.	37°6'	0,36386	201	0,36277
10	сп.	40°47'	0,42667	112, 003	0,42690; 0,42872
11	сп. с.	45°25'	0,50727	103, 202	0,50750; 0,50568
12	сп. сл.	48°0'	0,55227	210	0,55150
13	сп. с.	50°43'	0,59911	211	0,59913
14	сп. сл.	54°43'	0,66636	113	0,66508
15	сл.	57°26'	0,71026	300	0,70908
16 $K\alpha_1^*$	с. (сп. с.)	59°29'	0,74215	203	0,74386
17 $K\alpha_1^*$	сп. сл.	60°23'	0,75577	301, 004	0,75672; 0,76218
18 $K\alpha_1^*$	сп. с.	66°25'	0,83994	104	0,84095
19 $K\alpha_1^*$	сп. с. (с.)	71°32'	0,89967	302	0,89962
20 $K\alpha_1^*$	сп. с. (сп.)	76°26'	0,94498	220	0,94544
21 $K\alpha_1^*$	о. с.	81°54'	0,98014	213	0,98022
22 $K\alpha_1^*$	с.	85°11'	0,99295	221	0,99308

$$a_{(213)}^{(221)} = 3,162_3 \text{ кХ}, \quad c_{(213)}^{(221)} = 3,522_0 \text{ кХ}, \quad c/a = 1,114$$

\* Линии  $K\alpha_2$  не промерялись.

Таблица 3

Расчет рентгенограммы образца  $ZrB_{2,68}$  (легкая фракция после отмучивания в йодистом метиле). Фильтрованное  $Cu$ -излучение, камера типа РКУ-86

Интенсивность	$\sin^2\theta$	$(hkl)$ фазы $ZrB_2$	Линии других фаз	№ линий	Интенсивность	$\sin^2\theta$	$(hkl)$ фазы $ZrB_2$	Линии других фаз
ср. с. (с. разм. «аморфн. кольцо»)	$\sim 0,00960$		B	32	о. сл. (о. сл.)	0,38866		B, $ZrB_{12}$
ср. с. (разм. «аморф. кольцо»)	$\sim 0,01749$		B	33	Следы	0,39803		
То же	$\sim 0,02602$		B	34	о. о. сл.	0,41374		
о. сл.	$\sim 0,03187$		B, $ZrB_{12}$	35	с.	0,42753	112,003	$ZrB_{12}$
Следы	$\sim 0,03828$		B, $ZrB_{12}$	36	Следы (о. о. сл.)	0,44976		B
»	$\sim 0,04275$		B, $ZrB_{12}$	37	То же	0,46367		$ZrB_{12}$
ср. (ср. сл.)	0,04808	001	B	38	»	$\approx 0,47529$		$ZrB_{12}$
Следы	$\sim 0,05703$		B	39	»	0,48691		
о. о. сл.	0,06468		B, $ZrB_{12}$	40	с. (о. с.)	0,50599	103,202	$ZrB_{12}$
с (о. с.)	0,07124	100	B	41	Следы	0,51367		$ZrB_{12}$
о. о. сл. (следы)	0,08548		B, $ZrB_{12}$	42	ср. с.	0,5511	210	$ZrB_{12}$
сл.	0,10368		B	43	о. с.	0,59940	211	$ZrB_{12}$
сл.	0,11905		B, $ZrB_{12}$	44	сл.	0,63727		$ZrB_{12}$
о. с. (о. о. с.)	0,12649	101	B, $ZrB_{12}$	45	ср.	0,66525	113	
Следы	$\approx 0,14236$		B	46	ср.	0,71394	300	
»	$\approx 0,15477$		B, $ZrB_{12}$	47	Следы	0,72337		$ZrB_{12}$
»	$\approx 0,17417$		$ZrB_{12}$	48	»	0,73371		$ZrB_{12}$
ср.	0,19194	002	B	49	о. с.	0,74520	203	
о. о. сл.	0,20587		B, $ZrB_{12}$	50	ср. $\alpha_1$	0,75577	302,004	$ZrB_{12}$
о. о. сл.	0,21824		$ZrB_{12}$	51	о. сл. (сл.) $\alpha_1$	0,77694		B
ср. (ср. с.)	0,23127	110	B, $ZrB_{12}$	52	о. сл. (о. сл.)	0,80068		B
Следы	$\approx 0,49798$		B	53	о. о. сл.	0,81285		$ZrB_{12}$
о. сл. (о. сл.)	0,26014		B, $ZrB_{12}$	54	ср. $\alpha_1$	0,83972	104	
ср. (ср. с.)	0,27042	102	B	55	о. сл. (о. сл.)	0,87370		
ср. (ср. с.)	0,28422	111	B, $ZrB_{12}$	56	о. с. $\alpha_1$	0,89914	302	$ZrB_{12}$
о. о. сл.	0,29451		B	57	Следы	0,90722		B, $ZrB_{12}$
Следы	$\sim 0,30517$		B, $ZrB_{12}$	58	»	0,91321		B
ср.	0,31120	200	B	59	о. о. сл.	0,92768		
о. о. сл.	0,33211		B	60	ср. (ср. с.) $\alpha_1$	0,44498	220	$ZrB_{12}$
с (ср. с.)	0,3190	201	B	61	ср. $\alpha_2$	0,95016	220	
о. сл. (о. сл.)	0,37735		B, $ZrB_{12}$	62	о. о. с. $\alpha_1$	0,98006	213	$ZrB_{12}$
				63	с. $\alpha_2$	0,98122	213	
				64	с. $\alpha_1$	0,99289	221	

Типовая рентгенограмма фазы  $ZrB_2$  приведена на рисунке, а ее расчет и индцирование — в табл. 2.

Неизменность значений периодов идентичности фазы  $ZrB_2$  в пределах точности наших измерений, как нам кажется, имеет принципиальное значение, поскольку, как известно, в фазах переменного состава (карбиды, нитриды и др.), как правило, имеет место изменение периодов идентичности решетки с изменением состава. Например, при изменении содержания углерода от 7,5%  $C_{связ}$  до 10,5%  $C_{связ}$  в фазе  $ZrC$  период решетки меняется от  $a = 4,673 \text{ \AA}$  до  $a = 4,689 \text{ \AA}$ , [16], а вообще в этой работе показаны колебания периода от  $a = 4,545 \text{ \AA}$  до  $a = 4,689 \text{ \AA}$ . Исходя из неизменности в пределах  $\pm 0,001 \text{ \AA}$  значений периодов идентичности фазы  $ZrB_2$ , в весьма широком диапазоне составов от « $ZrB_{0,02-0,03}$ » до « $ZrB_{2,68}$ », можно предположить, что эта фаза имеет постоянный состав, или он колеблется в весьма узких пределах. Механизм образования фазы  $ZrB_2$ , вероятно, выглядит следующим образом: при наличии в массе циркония после его насыщения бором до 2 ат. %, т. с. (после образования твердого раствора бора в цир-

конии) небольших количеств бора, например, начиная с  $ZrB_{0,02-0,03}$  микрообъемах, в которых содержание бора соответствует атомному соотношению  $B : Zr = 2 : 1$ , образуется соединение  $ZrB_2$  — фаза  $ZrB_2$ . По мере увеличения содержания бора количество микрообъемов с указанным соотношением бора к цирконию увеличивается, и, следовательно, увеличивается количество фазы  $ZrB_2$ , что на рентгенограммах проявляется в виде усиления интенсивности линий этой фазы и ослабления линий  $\alpha$ -фазы циркония. Наконец, линии  $\alpha$ -фазы циркония исчезают и на рентгенограммах остаются лишь линии фазы  $ZrB_2$ . При содержании бора сверх состава отвечающего соединению  $ZrB_2$ , избыток его должен находиться в свободном состоянии и выявляться химическим или другими способами. К сожалению, рентгеновским методом в присутствии  $ZrB_2$  свободный бор может выявиться лишь при весьма большом его избытке (ввиду низкой рассеивающей способности и низкой симметрии бора). Наши опыты на механических смесях фазы  $ZrB_2 + B$  показали, что при добавлении к фазе  $ZrB_2$  до 6% В последний еще надежно не обнаруживается на рентгенограммах.

С этой точки зрения представляет интерес приведенная на рисунке рентгенограмма (а в табл. 3 ее расчет), снятая с легкой фракции после отмучивания раздробленного образца состава  $ZrB_{2,68}$  в йодистом метиле. В этом случае наряду с линиями фазы  $ZrB_2$  имеется значительное количество очень слабых и следы линий других фаз. Сопоставление этой рентгенограммы с рентгенограммой обогащенного (прокаленного) при  $2000^\circ C$  в вакууме кристаллического бора (см. рентгенограмму на рисунке; расчет рентгенограммы кристаллического бора мы не приводим, поскольку он имеется в литературе) показывает, что эти линии совпадают с линиями бора, а также с линиями фазы  $ZrB_{12}$  при сопоставлении с данными [13, 14], однако при этом большинство линий фазы  $ZrB_{12}$  совпадает с линиями фазы  $ZrB_2$  и В. Поэтому наличие в этом образце фазы  $ZrB_{12}$  является менее достоверным, чем наличие бора. Хотя метод отмучивания и позволил установить весьма важный для нас факт наличия свободного бора в образце с большим его избытком сверх состава  $ZrB_2$ , но он не может быть применен для количественных определений. Количественное химическое определение свободного бора также пока не дает надежных данных.

Указанные обстоятельства не дают нам возможности однозначно установить, является ли исследуемая фаза  $ZrB_2$  фазой постоянного или переменного состава.

Некоторое основание в пользу указанного выше предположения, что эта фаза, по-видимому, является фазой с весьма узкой областью гомогенности, помимо неизменности периодов идентичности решетки, может дать анализ данных по определению пикнометрических плотностей образцов, приведенных в табл. 1.

Как видно, начиная от исходного циркония, с плотностью  $\sigma_p = 6,50$  (рентгеновская плотность  $\sigma_x = 6,51$ ), и до состава « $ZrB_{2,68}$ », с плотностью  $\sigma_p = 5,38$ , имеет место непрерывное ее уменьшение. На самом же деле, если бы бор входил в решетку фазы  $ZrB_2$ , образуя твердый раствор, то при неизменности периодов идентичности (а следовательно, и сохранении постоянного объема) плотность образцов, начиная от состава  $ZrB_2$  (при составе, близком  $ZrB_2$ , а именно  $ZrB_{2,05}$ ,  $\sigma_p = 5,69$ , а  $\sigma_x = 6,14$  — образец 20), до состава  $ZrB_{2,68}$  должна была бы соответственно увеличиваться.

Наличие не вошедшего в решетку фазы  $ZrB_2$  свободного бора подтверждается также, как мы уже указывали выше, рентгеновским анализом образцов, обогащенных бором, отмучиванием в йодистом метиле.

Авторы выражают благодарность проф. Б. Ф. Ормонту за обсуждение настоящей работы.



001 —  
100 —  
101 —  
002 —  
110 —  
102 —  
111 —  
200 —  
201 —  
003, 112 —  
202, 103 —  
210 —  
211 —  
113 —  
300 —  
203 —  
004, 301 —  
104 —  
302 —  
220 —  
213 —  
221 —

$a$  —  $\alpha$  — Zr, гексагональная решетка,  $a = 3,225 \text{ кХ}$ ,  $c = 5,130 \text{ кХ}$ ;  $\beta$  —  $\alpha$ -фаза Zr, гексагональная решетка,  $a = 3,246 \text{ кХ}$ ,  $c = 5,181 \text{ кХ}$  + фаза  $\text{ZrB}_2$ , гексагональная решетка,  $a = 3,162 \text{ кХ}$ ,  $c = 3,522 \text{ кХ}$ ;  $\epsilon$  — фаза  $\text{ZrB}_2$ , гексагональная решетка,  $a = 3,163 \text{ кХ}$ ,  $c = 3,522 \text{ кХ}$  +  $\alpha$ -фаза Zr (о. о. сл.),  $c$  — фаза  $\text{ZrB}_2$ , гексагональная решетка,  $a = 3,162 \text{ кХ}$ ,  $c = 3,522 \text{ кХ}$ ;  $\delta$  — фаза  $\text{ZrB}_2$ , гексагональная решетка,  $a = 3,162 \text{ кХ}$ ,  $c = 3,522 \text{ кХ}$  + кристаллический бор,  $e$  — кристаллический бор



## Выводы

Химическим и рентгенографическим методами исследовалось образование фазы  $ZrB_2$  из элементов в большом интервале составов. Проведено прецизионное определение периодов идентичности решетки. Охарактеризована плотность препаратов в зависимости от их суммарного состава.

Физико-химический институт  
им. Л. Я. Карпова  
Москва

Поступила  
23. IV. 1957

## ЛИТЕРАТУРА

1. S. A. Tucker and H. R. Moody, J. Chem. Soc., London, 81, 14, 1902.
2. E. Wedekind, Ber. Deutsch. Chem. Ges., 46, 1198, 1913.
3. J. L. Andrieux, Ann. Chim. Phys., 12, 423, 1929.
4. K. Moiers, Z. anorg. allg. Chem., 198, 243, 1931.
5. Ph. M. McKenna, Ind. Eng. Chem., 28, 767, 1936.
6. Y. Norton, H. Blumental, S. Sindeband, J. of Metals, 185, 749, 1949.
7. R. Riessling, Acta Chem. Scand., 3, 90, 1949.
8. R. Kiessling, Acta Chem. Scand., 4, 209, 1950.
9. L. Brewer, D. L. Sawzer, D. H. Templeton and C. H. Dauben, J. Amer. Ceram. Soc., 34/6, 173, 1951.
10. R. Kieffer, F. Benesovsky and E. R. Honak, Zs. anorg. allg. Chem., 268, 191, 1952.
11. Т. А. Меерсон и Г. В. Самсонов, Ж. прикл. химии, 27, 1115, 1954.
12. B. Post and F. Glaser, J. Chem. Phys., 20, 1050, 1952.
13. B. Post and F. Glaser, J. of Metals, 4, 631, 1952.
14. F. Glaser and B. Post, J. of Metals Transactions AZME, p. 1117, September, 1953.
15. В. А. Эпельбаум и М. А. Гуревич, Ж. физ. химии, 31, 708, 1957.
16. Я. С. Уманский, Карбиды твердых сплавов, Металлургиздат, стр. 34, 1947.

## A STUDY OF THE PHASE DIAGRAM OF THE SYSTEM ZIRCONIUM — BORON

V. A. Epelbaum and M. A. Gurevich

## Summary

The formation of the phase  $ZrB_2$  in the region of the compositions  $Zr-ZrB_{2.68}$  has been investigated by chemical and X-ray techniques. Zirconium 99.6% pure and boron 99.3—99.6% pure were used as initial materials. The synthesis was carried out at 1900—2100° C in an argon atmosphere and in vacuum.

The following has been established:

1. The formation of the phase  $ZrB_2$  takes place already at small boron contents, corresponding approximately to the composition  $ZrB_{0.02-0.03}$ .
2. Over the entire composition range the periodicity of the hexagonal lattice of the  $ZrB_2$  phase remains practically unchanged, within the limits of precision of the measurements ( $\pm 0.001$  kX), and is equal to  $a = 3.162_5 \pm 0.0003$  kX,  $c = 3.522_5 \pm 0.0003$  kX,  $c/a = 1.113_8$ .
3. The phase  $ZrB_2$  evidently has a narrow region of homogeneity.



## О ПРИЧИНЕ АНТИКОРРОЗИОННОГО ДЕЙСТВИЯ НИТРИТА НАТРИЯ НА ЖЕЛЕЗО

Н. А. Шишаков

Для защиты железных и стальных деталей от коррозии широко применяется их обработка раствором нитрита натрия в воде. При этом выщивание производится без предварительной промывки водой, так как иначе происходило бы удаление защитного слоя. Для выяснения причины этого защитного действия было, по предложению проф. И. Л. Розенфельда, проведено электронографическое исследование такой защищенной поверхности шлифованного железа. Чтобы получить сведения о строении слоев, находящихся между самим металлом и излишними кристаллами нитрита на поверхности, последние счищались лезвием бритвы, но с таким расчетом, чтобы не пострадал смежный с металлом слой.

Как и следовало ожидать, такой шлиф дает электронограмму, свидетельствующую о беспорядочном расположении кристаллов нитрита. Однако эта беспорядочность несовершенная, на что указывает наличие нескольких сравнительно коротких ( $40-50^\circ$ ) дуг, что позволяет определить и ось текстуры. Для характеристики электронограммы приводится табл. 1, содержащая следующие данные:  $I$  — визуально оцененные интенсивности отражений;  $r$  — радиусы полуколец и дуг;  $\rho$  — наблюдаемый угол

Таблица 1

Результат обработки электронограммы от нитрита натрия на железном шлифе после легкой счистки кристаллов лезвием бритвы. Расстояние объект—фотопластинка 250 мм; длина волны 0,050 Å

$I$	$r$	$\rho, ^\circ$	$d$	$hkl$	$c$	$a$	$\frac{\sin\theta}{\lambda}$	$d_{теор}$	$\rho_{теор}, ^\circ$
14	4,2		2,98	101		5,35	0,168	3,01	32
14	6,2		2,02	121		5,47	0,248	2,03	56
2	7,0	0	1,79	002	3,58		0,280	1,79	0
2	7,2	60	1,72	310		5,44	0,292	1,74	90
0,4	7,6		1,64	112		5,72	0,305	1,64	124
				301		5,53			
2	8,2		1,52	202		5,72	0,329	1,51	32
1	8,9	30	1,40	321		5,48	0,357	1,41	64
2	9,5		1,32	222		5,74	0,379	1,32	42
2	10,2	45	1,23	312		5,48	0,407	1,25	44
2	10,7	0	1,17	103	3,59		0,427	1,17	11
7	11,6		1,08	123		5,62	0,463	1,08	
1	12,1		1,03	332		5,34	0,485	1,05	
2	13,3		0,94	233		5,48	0,532	0,94	
2	15,3		0,82	433		5,63	0,610	0,81	
1	17,2		0,73	334		5,34	0,685	0,74	
Среднее					3,58	5,52			

Примечание. В третьем столбце углы  $\rho$  для некоторых линий не указаны по той причине, что линии сплошные. По той же причине для последних пяти линий эти углы не вычислены.

между линией симметрии электрограммы и радиусом-вектором от следа неотклоненного луча к середине короткой дуги;  $d = L\lambda/r$  — межплоскостные расстояния;  $hkl$  — индексы отражений, найденные в предположении, что решетка тетрагональная;  $a$  и  $c$  — константы тетрагональной решетки;  $\frac{\sin \vartheta}{\lambda} = \frac{1}{2d}$  — величина, которая требуется для дальнейших вычислений;  $d_{\text{теор}}$  — межплоскостные расстояния, вычисленные по квадратичной формуле для тетрагональной решетки при  $a = b = 5,52$  и  $c = 3,58$ ;  $\rho_{\text{теор}}$  — упомянутые выше углы, но вычисленные в предположении, что нормально к поверхности металла кристаллы располагаются осью (001).

Найденные константы решетки оказываются в пределах ошибок опыта совпадающими с известными константами ромбической решетки нитрита натрия:

$$a = 5,56; b = 5,38; c = 3,55\text{Å}.$$

Наблюдаемые интенсивности также в основном совпадают с известными из литературы для ромбической решетки (табл. 2), причем отсутствие на

Таблица 2

Отражения, свойственные ромбической решетке нитрита натрия

Теоретически возможные		Известные из литературы		Теоретически возможные		Известные из литературы	
$hkl$	$d$	$I$	$d$	$hkl$	$d$	$I$	$d$
110	3,867			321	1,40	1	1,40
101	2,992			400,231	1,39	4	1,39
011	2,963	100	2,97	040	1,34	2	1,34
200	2,78	40	2,78	222,141	1,31	2	1,31
211	2,02	40	2,02	330	1,29	1	1,29
121	2,00	23	2,00	411	1,26	1	1,26
220	1,93	11	1,93	312	1,25		
002	1,78	12	1,78	132,420,141	1,23	4	1,23
310	1,75			240	1,21	1	1,21
130	1,70	8	1,70	013,103	1,16	1	1,16
301	1,64	3	1,64	510	1,09		
112	1,61			123,213,501	1,07	1	1,07
031	1,60			150	1,06		
202	1,50	5	1,50	332	1,043	1	1,048
022	1,48			051	1,030	1	1,030
				422	1,015	1	1,015

опыте известных линий 2,78, 1,93, 1,29 и 1,21, которым соответствуют индексы отражений 200, 220, 330 и 240, является вполне естественным в силу упомянутой ориентировки.

Из этого исследования можно заключить, что основной особенностью нитритного слоя, прилежащего к поверхности металла, является стремление его кристаллов располагаться плоскостями (001) параллельно подслою. Возникает поэтому вопрос — не является ли эта ориентировка вынужденной и обусловленной существованием какой-то ориентировки в самом подслое?

Структуру плоскостей (001) кристаллов нитрита можно себе представить из рассмотрения рис. 1. Согласно литературным данным [1], угол  $O - N - O = 132^\circ$  повернут в направлении плоскостей (110) решетки. Расстояние  $N - O$  равно 1,13 Å.

Для проверки этих данных о структуре была вычислена кривая радиального распределения по найденным экспериментальным данным при

помощи известного уравнения

$$D(r) = \sum J s^2 \frac{\sin sr}{sr},$$

где  $s = 4\pi r \frac{\sin \theta}{\lambda}$ . Кривая представлена на рис. 2. Найденные таким образом межатомные расстояния 1,25; 2,5; 3,3; 3,7 и 4,5 привели к заключению, что расстояние N—O в действительности несколько больше указанной в литературе величины 1,13 Å.

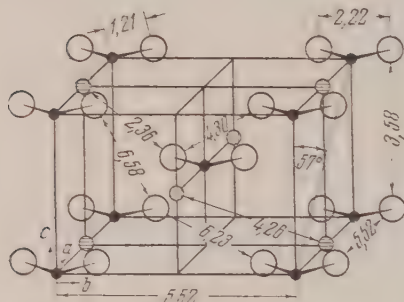


Рис. 1. Межатомные расстояния в структуре нитрита натрия, найденные в предположении, что расстояние N—O равно 1,21 Å. Большие белые кружочки — атомы кислорода, малые серые — атомы натрия; черные точки — атомы азота

По оптическим и электронографическим данным [2] расстояние N—O в группе NO<sub>2</sub> также составляет 1,21 Å. Но в таком случае расстояние между кислородными атомами смежных групп NO<sub>2</sub> было бы 5,52—2,22=3,3 Å, т. е. несколько меньше величины, приведенной в литературе.

Составить себе представление о структуре подслоя можно следующим образом. Как известно, поверхность железа всегда покрыта окисной пленкой толщиной 15—20 Å. Однако эта пленка оказывается недостаточной защитой против воды. Было показано [3], что железо, погруженное в воду, заметным образом быстро начинает переходить в раствор, причем выкристаллизовывающиеся из раствора ромбические кристаллы γ-FeOОН

располагаются своими большими гранями (010) параллельно поверхности подслоя. Было показано также [4], что предварительной стадией образования таких ромбических кристаллов является образование гексагональных кристаллов брусчатого типа с константами решетки  $a = 3,33$  Å и  $c = 4,88$  Å в случае гидроокиси железа и  $a = 3,08$  и  $c = 4,70$

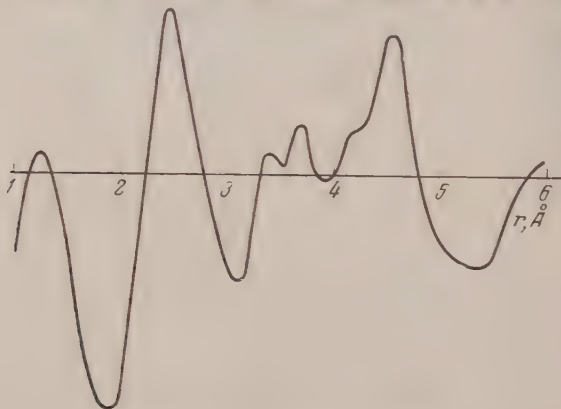


Рис. 2. Кривая радиального распределения, полученная по данным табл. 1

в случае изоморфной гидроокиси алюминия, причем гексагональные чешуйки располагаются своими плоскостями (001) параллельно поверхности подслоя.

Поэтому поверхностные слои на железе после высыхания раствора нитрита натрия следует представлять себе накладывающимися друг на друга следующим образом. 1. Кристаллы NaNO<sub>2</sub> дезорпентированные. 2. Кри-



сталлы  $\text{NaNO}_2$  ориентированные. 3. Кристаллы  $\gamma\text{-FeOOH}$  гексагональные, ориентированные. 4. Кристаллы  $\gamma\text{-FeOOH}$  ромбические, ориентированные. 5. Кристаллы окиси  $\text{Fe}_3\text{O}_4$  дезориентированные. 6. Кристаллы железа дезориентированные.

Таким образом, причиной ориентировки второго слоя можно считать влияние третьего слоя. Можно предположить, что этому влиянию благоприятствует сходство в некоторых размерах обеих структур.

На рис. 3 представлена их совместная проекция на плоскость, параллельную поверхности шлифа. В первый момент после достижения пересыщения раствора на поверхности образца несомненно должна находиться гексагональная сетка из ионов  $\text{O}^-$ , соединенных водородными связями, или ионов  $\text{OH}^-$ , но при наличии нитрита натрия наступает и его кристаллизация. Первая ее стадия может состоять в продолжении застройки гексагональной структуры, например, как указано на рис. 3. Один из двух атомов кислорода группы  $\text{NO}_2$  вполне может попасть в лунку между указанными тремя анионами, хотя другой атом группы должен оказаться при этом в менее выгодном положении. Аналогичные положения могут занять и другие группы.

Тогда оказывается, что расстояние между такими плотно упакованными анионами гидроокиси (равное  $3.33 \text{ \AA}$ ) совпадает с расстоянием  $\text{O} - \text{O}$  в смежных группах  $\text{NO}_2$  в структуре нитрита, которое должно быть равно  $3.30 \text{ \AA}$ . С другой стороны, расстояние между такими рядами должно быть  $3.30\sqrt{3} = 5.72 \text{ \AA}$ , что всего на 4% отличается от константы решетки нитрита, найденной здесь на опыте. Если в свободное место между двумя группами  $\text{NO}_2$  поместить еще и ион натрия, то и будем иметь зародыш почти настоящего кристалла нитрита натрия, от которого и пойдет дальнейшая кристаллизация с найденной ориентировкой.

Конечно, эта схема далека от совершенства. Еще сложнее она выглядела бы при принятии в расчет адсорбированной воды между слоями 2 и 3. Но характер ориентировки сильно измениться не мог бы, так как размеры молекулы воды примерно таковы же, как и у упоминавшихся анионов, и так как ее адсорбция несомненно должна была бы иметь такой же упорядоченный характер.

Таким образом, для понимания антикоррозионного действия нитрита натрия следует исходить из закона плотнейших упаковок и из признания существования многослойных образований.

### Выводы

Защитная пленка на поверхности железа, возникающая в результате действия нитрита натрия, не является простой. Лишь самый верхний ее слой может состоять из дезориентированных кристаллов нитрита. В более глубоком слое кристаллы имеют тенденцию к ориентировке, генетически связанной с ориентировкой еще более глубоко расположенных кристаллов гидроокиси железа. Защитное действие вероятно и связано с таким переходным характером строения всей пленки.

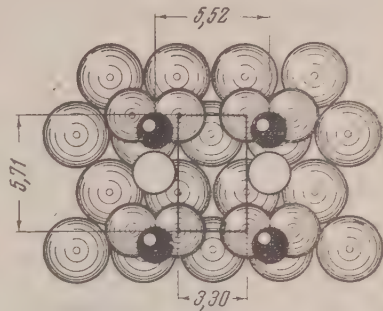


Рис. 3. Соотношения между размерами и ориентировками кристаллов нитрита натрия и подслоем гидроокиси железа. Большие кружки снизу — ионы гидроксила, средние кружки над ними — атомы кислорода в нитрите, черные кружки — атомы азота и малые белые кружки — атомы натрия

## ЛИТЕРАТУРА

1. Strukturbericht, 65, 377, 1935; Б. Ф. Ормонт, Структуры неорганических веществ, ГТТИ, М.—Л., стр. 769, 1950.
  2. А. Ф. Уэлс, Строение неорганических веществ, Изд. ИИЛ, М., стр. 467, 1950; М. В. Волькенштейн, Строение и физические свойства молекул, Изд. АН СССР, стр. 134, 198, 1955.
  3. Н. А. Шишаков, Ж. физ. химии, 22, 953, 1948.
  4. Н. А. Шишаков, Ж. физ. химии, 26, 106, 1952.
- 

## THE CAUSE OF THE ANTICORROSION EFFECT OF SODIUM NITRATE ON IRON

*N. A. Shishakov*

## Summary

Electron diffraction studies have shown that sodium nitrate crystals have a tendency to orient with their (001) axis normal to the surface. According to previous data similar orientation capacity is possessed by iron hydroxide on the metal. It is believed that the orientation of the lower layer affects the orientation of the upper adjacent layer. The entire protective sheath is evidently of a multilayer nature, the structure changing with the depth.

---

# ЭЛЕКТРИЧЕСКАЯ ПОЛЯРИЗАЦИЯ СИСТЕМ, СОСТАВЛЕННЫХ ИЗ ДВУХ ПОЛЯРНЫХ ЖИДКОСТЕЙ

О. А. Осипов и М. А. Панина

В работе одного из нас [1] была дана формула, связывающая диэлектрическую проницаемость чистой полярной жидкости с ее дипольным моментом:

$$\frac{4}{3} \pi N \frac{\mu^2}{3kT} = \frac{M}{d} \left[ \frac{(\epsilon - 1)(\epsilon + 2)}{8\epsilon} - \frac{(n^2 - 1)(n^2 + 2)}{8n^2} \right], \quad (1)$$

где  $M/d$  — молярный объем,  $\epsilon$  и  $n$  — диэлектрическая проницаемость и показатель преломления чистой полярной жидкости.

Применимость предложенной формулы для вычисления дипольного момента полярной жидкости по ее диэлектрической проницаемости проиллюстрирована на большом числе органических веществ [1]. Формула (1) может быть также использована для определения дипольного момента полярного вещества в полярном растворителе. В этом случае она примет следующий вид:

$$\begin{aligned} \frac{4}{3} \pi N \frac{\mu_1 x_1 + \mu_2 (1 - x_1)}{3kT} &= P_{p-p}^{op} = \\ &= \left[ \frac{M_1 x_1 + M_2 (1 - x_1)}{d_{1,2}} \right] \left[ \frac{(\epsilon - 1)(\epsilon + 2)}{8\epsilon} - \frac{(n^2 - 1)(n^2 + 2)}{8n^2} \right], \end{aligned} \quad (2)$$

где  $\epsilon$ ,  $n$  и  $d_{1,2}$  — соответственно, диэлектрическая проницаемость, показатель преломления и плотность раствора,  $M_1$  и  $M_2$  — молекулярные веса растворенного вещества и растворителя,  $x_1$  — мольные доли растворителя,  $P_{p-p}^{op}$  — ориентационная поляризация раствора, являющаяся суммарной величиной ориентационных поляризаций, составляющих систему компонентов. Знание ее дает возможность вычислить ориентационную поляризацию растворенного полярного вещества в полярном растворителе:

$$P_2^{op} = \frac{P_{p-p}^{op} - P_1^{op} x_1}{1 - x_1}, \quad (3)$$

где  $P_1^{op}$  — ориентационная поляризация полярного растворителя, вычисленная по формуле (1).

Формула (2) применима только в тех случаях, когда компоненты в системе не вступают между собой в химическое взаимодействие с образованием молекулярных соединений. Это обстоятельство дает возможность использовать формулу (2) для выявления комплексобразования в системах, состоящих из полярных компонентов.

Настоящая работа посвящена экспериментальному подтверждению применимости формулы (2) к двойным системам, состоящим из полярных компонентов.

## Экспериментальная часть

Методика определения диэлектрической проницаемости, плотности и показателя преломления была описана нами раньше [2—4]. Здесь лишь отметим, что в зависимости от величины диэлектрической проницаемости применяемые жидкостные конденсаторы имели емкость по воздуху 14,679, 7,580 и 3,924  $\mu\text{F}$ .

При приготовлении растворов и при наполнении жидкостного конденсатора и пикнометра принимались все меры предосторожности от проникновения влаги.



Методика очистки большинства исследованных веществ также была описана нами раньше [2—4], здесь приведем только значения температуры кипения, плотностей и показателей преломления очищенных продуктов (табл. 1).

Таблица 1

Вещество	$t_{\text{кип}}, ^\circ\text{C}$	$d_4^{20}$	$n_D^{20}$
Бензол	80,0—80,2	0,8789	1,5013
Хинолин	236,8—237,0	1,0933	1,6274
Пиридин	115,3—115,5	0,8921	1,5089
Нитробензол	210,0—210,8	1,2027	1,5525
Метилбензоат	198,6—199	1,0858	1,5155
Хлорбензол	131,9—132,0	1,1063	1,5248
Метилэтилкетон	79,4—79,6	0,8051	1,3793
Диэтиловый эфир	34,1—34,2	0,7133	1,3527
Бромбензол	156,0—156,2	1,4948	1,5607
Диметиланилин	193,2—193,7	0,9565	1,5577

## Обсуждение результатов

В табл. 2—5 приведены результаты измерений диэлектрической проницаемости  $\epsilon$ , плотности  $d$ , показателя преломления  $n_D$ , а также значения ориентационных поляризаций раствора  $P_{p-p}^{\text{ор}}$ , растворенного полярного вещества  $P_2^{\text{ор}}$  и дипольного момента, вычисленных по формулам (2) и (3). В качестве полярных растворителей взяты диэтиловый эфир и метилбензоат, в которых определяются дипольные моменты нитробензола и метилэтилкетона.

Таблица 2

## Метилэтилкетон в метилбензоате

$\text{C}_6\text{H}_5\text{COC}_2\text{H}_5$ , мол. доли	$\epsilon_{20}$	$d_4^{20}$	$n_D^{20}$	$P_{p-p}^{\text{ор}}$	$P_2^{\text{ор}}$	$\mu_{\text{выч}}$
0,000	6,483	1,0858	1,5155	74,33	—	1,89
0,0191	6,601	1,0836	1,5145	75,90	157,0	2,76
0,0269	6,642	1,0823	1,5135	76,61	159,1	2,78
0,0362	6,705	1,0805	1,5125	77,25	155,5	2,74

Таблица 3

## Нитробензол в метилбензоате

$\text{C}_6\text{H}_5\text{NO}_2$ , мол. доли	$\epsilon_{20}$	$d_4^{20}$	$n_D^{20}$	$P_{p-p}^{\text{ор}}$	$P_2^{\text{ор}}$	$\mu_{\text{выч}}$
0,0211	6,822	1,0901	1,5160	79,45	317,1	3,92
0,0243	6,893	1,0907	1,5164	80,50	328,4	3,99
0,0401	7,151	1,0915	1,5171	84,42	325,5	3,97

Из приведенных данных видно, что средние значения дипольного момента нитробензола в диэтиловом эфире и в метилбензоате, соответственно равные  $4,06 \pm 0,03$  и  $3,96 \pm 0,04 D$ , очень мало отличаются от момента

его в бензоле (3,98  $D$ ), в четыреххлористом углероде (3,99  $D$ ) и гексане (4,08  $D$ ) [5—7].

Дипольный момент метилэтилкетона в диэтиловом эфире ( $2,75 \pm 0,03 D$ ) в метилбензоате ( $2,76 \pm 0,02 D$ ) практически совпадает с величиной

Таблица 4

## Метилэтилкетон в диэтиловом эфире

$c_{CH_3COC_2H_5}$ мол. доли	$\epsilon_{20}$	$d_4^{20}$	$n_D^{20}$	$P_{p-p}^{OP}$	$P_2^{OP}$	$\mu_{ввч}$
0,000	4,415	0,7152	1,3556	41,61		
0,0196	4,608	0,7211	1,3561	43,95	161,6	2,77
0,0246	4,646	0,7217	1,3563	44,43	156,4	2,72
0,0291	4,687	0,7222	1,3563	44,98	157,3	2,73
0,0358	4,756	0,7227	1,3566	45,87	160,9	2,76
0,0557	4,950	0,7238	1,3570	48,35	162,9	2,78

Таблица 5

## Нитробензол в диэтиловом эфире

$c_{C_6H_5NO_2}$ мол. доли	$\epsilon_{20}$	$d_4^{20}$	$n_D^{20}$	$P_{p-p}^{OP}$	$P_2^{OP}$	$\mu_{ввч}$
0,0757	6,082	0,7560	1,3678	63,19	338,4	4,05
0,0553	5,597	0,7442	1,3637	57,38	343,2	4,07
0,0353	5,158	0,7346	1,3597	51,56	344,0	4,07
0,0234	4,861	0,7264	1,3573	47,79	345,0	4,08
0,0189	4,758	0,7247	1,3564	46,22	336,0	4,03

момента (2,76  $D$ ), найденной в бездипольных растворителях [8—9]. В табл. 6—8 помещены результаты определения дипольных моментов хинолина, пиридина в диметиланилине и хлорбензола в бромбензоле.

Таблица 6

## Пиридин в диметиланилине

$c_{C_5H_5N}$ мол. доли	$\epsilon_{20}$	$d_4^{20}$	$n_D^{20}$	$P_{p-p}^{OP}$	$P_2^{OP}$	$\mu_{ввч}$
0,000	5,001	0,9565	1,5577	47,7	—	1,52
0,0514	5,205	0,9568	1,5554	50,78	107,3	2,28
0,1007	5,434	0,9574	1,5540	53,22	107,0	2,26
0,1318	5,576	0,9582	1,5531	54,74	101,0	2,21
0,1507	5,668	0,9584	1,5524	55,80	101,5	2,23
0,2019	5,887	0,9588	1,5509	58,23	100,0	2,20

Таблица 7

## Хинолин в диметиланилине

$c_{C_9H_7N}$ мол. доли	$\epsilon_{20}$	$d_4^{20}$	$n_D^{20}$	$P_{p-p}^{OP}$	$P_2^{OP}$	$\mu_{ввч}$
0,0512	5,159	0,9629	1,5611	50,30	98,63	2,18
0,1003	5,328	0,9722	1,5648	52,20	92,60	2,13
0,1297	5,424	0,9738	1,5664	53,59	93,15	2,12
0,1501	5,502	0,9768	1,5681	54,50	93,10	2,12
0,1994	5,650	0,9830	1,5708	56,84	93,58	2,13

Среднее значение дипольного момента пиридина в диметиланилине ( $2,24 \pm 0,04 D$ ), найденное по формуле (2), очень близко к моменту его в

бензоле (2,25 *D*) [10]. Такую же картину мы наблюдаем и для хинолин. Дипольный момент его в диметиланилине равен  $2,13 \pm 0,05 D$ , а в нейтральных растворителях —  $2,15 D$  [11].

Дипольный момент хлорбензола в бромбензоле  $1,56 \pm 0,02 D$  практически совпадает с его моментом в бензоле ( $1,55$ — $1,56 D$ ) [6, 12].

Таблица 8

## Хлорбензол в бромбензоле

$C_6H_5Cl$ , мол. доли	$\epsilon_{20}$	$d_4^{20}$	$n_D^{20}$	$P_{p-p}^{op}$	$P_z^{op}$	$\mu_{вчч}$
0,000	5,506	1,4960	1,5604	46,36	—	1,50
0,0489	5,520	1,4781	1,5584	46,54	48,80	1,54
0,1014	5,548	1,4603	1,5571	46,88	51,47	1,58
0,1489	5,561	1,4421	1,5548	46,98	50,46	1,56
0,2013	5,580	1,4236	1,5528	47,28	50,87	1,57

Анализ результатов, приведенных в табл. 2—8, свидетельствует том, что данная нами формула применима для определения дипольного момента полярного вещества в полярном растворителе.

Однако, как мы отмечали выше, формула (2) не может быть использована для определения дипольного момента растворенного вещества, если оно вступает во взаимодействие с растворителем с образованием молекулярных соединений определенного состава.

В подтверждение сказанного приведем результаты исследования систем: хлороформ — диэтиловый эфир, анилин — хинолин, уксусная кислота — диоксан и анилин — диэтиловый эфир.

Таблица 9

## Хлороформ — эфир

$C(C_2H_5)_2O$ , мол. %	$\epsilon_{20}$	$d_4^{20}$	$n_D^{20}$	$P_{1-2}^{op}$	$\mu_{cp}$	$\Delta P$	$\Delta \mu$
0,00	4,942	1,4892	1,4457	34,07	1,28	—	—
20,00	5,919	1,3220	1,4280	47,40	1,51	12,02	0,21
40,00	6,280	1,1602	1,4091	54,30	1,62	17,60	0,29
50,00	6,187	1,0830	1,4030	54,90	1,63	17,54	0,29
60,00	5,940	1,0056	1,3930	54,14	1,62	16,12	0,27
80,00	5,211	0,8628	1,3745	47,51	1,52	8,18	0,14
100,00	4,344	0,7153	1,3515	40,65	1,40	—	—

Таблица 10

## Анилин — хинолин

$C_6H_5N$ , мол. %	$\epsilon_{20}$	$d_4^{20}$	$n_D^{20}$	$P_{1-2}^{op}$	$\mu_{cp}$	$\Delta P$	$\Delta \mu$
0,00	7,20	1,0215	1,5865	59,00	1,68	—	—
20,00	8,42	1,0393	1,5997	77,31	1,93	9,55	0,14
40,00	9,18	1,0670	1,6092	89,99	2,09	12,47	0,19
60,00	9,64	1,0727	1,6171	101,29	2,21	16,01	0,21
80,00	9,57	1,0837	1,6254	105,09	2,26	11,05	0,15
100,00	9,12	1,0931	1,6273	102,80	2,20	—	—

В табл. 9—12 представлены величины диэлектрических проницаемостей, плотностей, показателей преломления, поляризаций и средних дипольных моментов для указанных выше четырех систем. В последних двух графах (табл. 9—12) даются отклонения экспериментальных величин поляризаций и средних дипольных моментов от аддитивности.



Из приведенных данных (табл. 9—12) видно, что во всех системах величины отклонений поляризаций и средних дипольных моментов положительны и лежат в пределах 10—30%.

Из этих данных также видно, что максимальные отклонения приходятся на область концентраций, близких к эквимольному соотношению компонентов. Это дает нам право считать, что в указанных системах компоненты вступают в химическое взаимодействие с образованием термически диссоциированных молекулярных соединений.

Таблица 11

## Уксусная кислота — диоксан

$C_4H_8O_2$ , мол. %	$\epsilon_{20}$	$d_4^{20}$	$n_D^{20}$	$P_{1-2}^{OP}$	$\mu_{ср}$	$\Delta P$	$\Delta \mu$
0,00	6,421	1,0510	1,3730	37,71	1,36	—	—
20,00	5,735	1,0501	1,3865	35,20	1,31	4,53	0,15
40,00	4,925	1,0474	1,3983	30,55	1,22	6,68	0,26
50,00	4,483	1,0450	1,4030	27,29	1,15	6,94	0,28
60,00	4,032	1,0429	1,4073	23,66	1,07	6,78	0,30
80,00	3,002	1,0379	1,4150	13,11	0,80	3,71	0,22
100,00	2,220	1,0339	1,4227	2,98	0,38	—	—

Таблица 12

## Анилин — диэтиловый эфир

$C_6H_5NH_2$ , мол. %	$\epsilon_{20}$	$d_4^{20}$	$n_D^{20}$	$P_{1-2}^{OP}$	$\mu_{ср}$	$\Delta P$	$\Delta \mu$
0,00	4,344	0,7131	1,3515	40,65	1,40	—	—
20,00	5,452	0,7850	1,4041	51,33	1,58	8,01	0,12
40,00	6,280	0,8513	1,4565	57,40	1,67	9,41	0,15
50,00	6,601	0,8808	1,4813	59,10	1,69	9,28	0,15
60,00	6,749	0,9097	1,4989	59,91	1,70	8,25	0,13
80,00	7,062	0,9694	1,5339	60,27	1,71	5,04	0,11
100,00	7,200	1,0215	1,5860	59,00	1,69	—	—

Таким образом, вычисленные по формуле (2) значения ориентационной поляризации и среднего дипольного момента жидких систем, состоящих из полярных компонентов, дают нам возможность констатировать наличие или отсутствие химизма во взаимодействии между компонентами и в ряде случаев судить о составе образовавшегося молекулярного соединения.

Формула (2) применима и к тройным жидким системам, в частности, когда третий компонент является неполярным. Этот вопрос нами исследуется. Кроме указанных выше четырех систем мы исследовали также системы: анилин — пиридин, хлороформ — хинолин, анилин — диоксан,  $\beta$ -толуидин — диоксан, хлороформ — ацетон, хлороформ — диоксан.

Отклонения поляризаций и средних дипольных моментов от аддитивности для всех систем лежат в пределах 10—30%.

Таким образом, формула (2) может представить определенный интерес для целей физико-химического анализа жидких систем.

Мы склонны считать, что повышенные значения поляризаций и средних дипольных моментов по сравнению с аддитивными величинами свидетельствуют о том, что причиной комплексобразования в приведенных системах является не обычное дипольное взаимодействие между молекулами компонентов, а появление новой связи, которая вносит свою долю в общий момент системы [13].

В исследованных нами системах такой связью, вероятно, является межмолекулярная водородная связь, которая осуществляется между ато-

мом водорода, хлороформа, карбоксильной группой уксусной кислоты, аминогруппой анилина с атомами кислорода и азота диоксана и хинолидина.

Наличие комплексообразования в изученных нами системах подтверждается исследованиями некоторых физико-химических свойств, в частности теплот смешения [14—17].

Представляет интерес выяснить зависимость ориентационной поляризации и дипольного момента, вычисленных по формуле (1), от температуры. В табл. 13, 14 представлены результаты этих вычислений для ни-

Таблица 13

## Никотин

$t^{\circ}, C$	$\epsilon_t^{\circ}$	$d_4^{t^{\circ}}$	$n_D^{t^{\circ}}$	$\rho_{0^{\circ}}$	$\mu_{\text{выч}}$
20	8,937	1,0093	1,5275	145,39	2,65
30	8,667	1,0026	1,5219	141,21	2,65
40	8,405	0,9979	1,5170	136,82	2,65
50	8,159	0,9869	1,5118	133,81	2,66
60	7,927	0,9797	1,5069	130,48	2,67
80	7,467	0,9634	1,4970*	123,33	2,64
90	7,265	0,9514	1,4921*	120,67	2,67

\* Величины, отмеченные звездочкой, вычислены по температурному коэффициенту.

Таблица 14

## Хлорбензол

$t^{\circ}, C$	$\epsilon_t^{\circ}$	$d_4^{t^{\circ}}$	$n_D^{t^{\circ}}$	$\rho_{0^{\circ}}$	$\mu_{\text{выч}}$
0,0	6,087	1,1276	1,5354	52,93	1,54
20,0	5,697	1,1064	1,5247	49,23	1,55
30,0	5,552	1,0957	1,5189	47,49	1,54
40,0	5,384	1,0839	1,5138	46,47	1,55
50,0	5,224	1,0737	1,5082	45,10	1,55

тина и хлорбензола. Для никотина мы использовали данные по диэлектрической проницаемости при различных температурах, приведенных в работе И. А. Шека и К. Ф. Карлышевой [18]. Значения плотности и показателя преломления для никотина измерены нами.

Приведенные данные показывают, что ориентационная поляризация, вычисленная по формуле (1), линейно растет в зависимости от  $1/T$ , где  $T$  — абсолютная температура опыта.

Следовательно, согласно Дебаю [19], дипольный момент может быть вычислен по формуле

$$\mu = 0,0127 \sqrt{\text{tg} \beta}. \quad (4)$$

Для никотина  $\text{tg} \beta = 40\,000$  и дипольный момент  $2,54D$ , а для хлорбензола  $\text{tg} \beta = 15\,000$ , дипольный момент  $1,56D$ .

Дипольный момент никотина, определенный в бензоле, равен  $2,62D$  [18], а хлорбензола —  $1,55$ — $1,56D$ . Как видно, значения дипольных моментов, вычисленных по формуле (4) для никотина и хлорбензола, мало отличаются от опытных данных.

Следовательно, зная зависимость диэлектрической проницаемости чистой полярной жидкости от температуры, пользуясь формулой (1), можно определить дипольный момент ее.

## Выводы

1. Измерены диэлектрические проницаемости растворов нитробензола, метилэтилкетона в диэтиловом эфире и в метилбензоате, пиридина и хинолина в диметиланилине и хлорбензола в бромбензоле в широком интервале концентраций.
2. Показана применимость предложенной нами формулы для определения дипольного момента полярного вещества в полярном растворителе.
3. Рассмотрена применимость нашей формулы для двойных систем с химическим взаимодействием между компонентами.
4. На примерах никотина и хлорбензола показано, что ориентационная поляризация, вычисленная по формуле (1), изменяется линейно с температурой.

Государственный университет  
Ростов-Дон

Поступила  
24. IV. 1957

## ЛИТЕРАТУРА

- О. А. Осипов, Ж. физ. химии, **31**, 1542, 1957.  
 О. А. Осипов, Ж. общ. химии, **26**, 322, 1956.  
 Б. Я. Тейтельбаум и О. А. Осипов, Колл. журнал, **17**, 57, 1955.  
 О. А. Осипов, М. А. Панина и Л. Э. Лемперт, Ж. общ. химии, **25**, 662, 1955.  
 Ч. Ф. Смайтс, Диэлектрическая постоянная и структура молекул, ОНТИ, М.—Л., 1937.  
 O. Hassel, A Uhl, Z. phys. chem., **B8**, 187, 1930.  
 E. Bergmann, L. Engel, K. Wolf, Z. phys. chem., **B17**, 81, 1932.  
 K. Wolf, Z. phys. chem. **12**, 39, 1928.  
 K. Wolf, W. Gross, Z. phys. chem., **B14**, 305, 1931.  
 Lange, Z. phys. chem., **33**, 169, 1925.  
 E. Bergmann, L. Engel, S. Meyer, Ber., **65**, 446, 1932.  
 I. Meyer, Z. phys. chem., **B8**, 27, 1930.  
 О. А. Осипов и И. К. Шеломов, Ж. физ. химии, **30**, 608, 1956.  
 В. Тимофеев, О теплоте образования неводных растворов, Изд-во Киевского политехнич. ин-та, ч. 1, 1905.  
 H. Hirobe, Journ. Faculty of Sc. Imp. University, Tokyo, Sec., **1**, 146, 1926.  
 К. Н. Коваленко, О. А. Осипов и Н. А. Трифонов, Ж. физ. химии, **29**, 685, 1955.  
 T. Thorpe, I. Rodger, Trans. chem. Soc., London, **71**, 360, 1897.  
 И. А. Шека и К. Ф. Карлышева, Ж. физ. химии, **30**, 1316, 1956.  
 П. Дебай, Полярные молекулы, Гос. научн. техн. изд., М.—Л., стр. 49, 1931.

# THE DIELECTRIC POLARIZATION OF SYSTEMS COMPRISING TWO POLAR LIQUIDS

*O. A. Osipov and M. A. Panina*

## Summary

The dielectric constants of solutions of nitrobenzene and methylethyl ketone in diethyl ether and methyl benzoate, of pyridine and quinoline in dimethylaniline and of chlorobenzene in bromobenzene have been determined over a broad range of concentrations. The applicability has been demonstrated of the formula proposed by us for determining the dipole moment of a polar substance in a polar solution. The applicability of the formula for binary systems with chemical interaction between the components has been examined. Using nicotine and chlorobenzene as examples, it has been shown that the orientation polarization as calculated by means of Formula (1) changes linearly with the temperature.



## ВЛИЯНИЕ УЛЬТРАЗВУКА НА ПРОЦЕССЫ ЭЛЕКТРОВОССТАНОВЛЕНИЯ И ЭЛЕКТРООКИСЛЕНИЯ

### 1. ЭЛЕКТРОВОССТАНОВЛЕНИЕ НИТРОБЕНЗОЛА НА ГЛАДКОМ ПЛАТИНОВОМ КАТОДЕ

*Ф. И. Кукоз и Л. И. Антропов*

Действие ультразвука на окислительно-восстановительные реакции протекающие на электроде, почти совершенно не изучено. Между тем имеются основания ожидать существенного влияния его на ход этих процессов как в кинетической области, так и в диффузионной.

Влияние ультразвука на ход электрохимических редокс-процессов может быть связано с его способностью изменять перенапряжение водорода и кислорода [4—6], вызывая преимущественную ориентацию молекул и ионов, принимающих участие в электродной реакции [7—10] а также с его десорбирующим и диспергирующим эффектами [11]. При определенных частотах ультразвука возможно изменение энергии активации электрохимической реакции [12—14]. Значительное перемешивающее действие ультразвука [11, 15, 16] приводит к новым условиям диффузии участников электрохимического процесса. Наконец, нарушения ионной атмосферы, вызванные ультразвуком [17—21], могут привести к изменению подвижности и чисел переноса ионов, что также должно сказываться на ходе электродной реакции, особенно в области диффузионных ограничений.

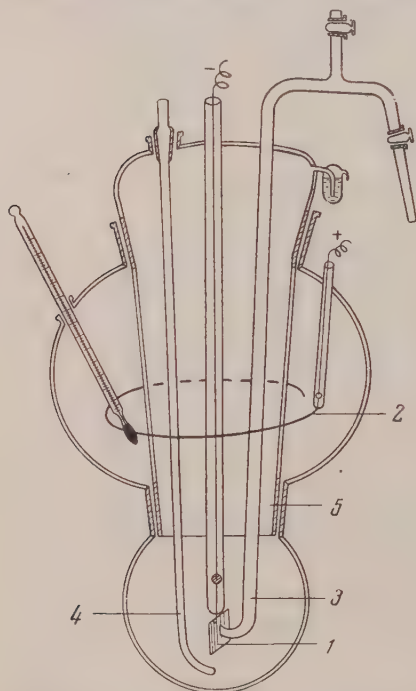


Рис. 1. Акустический электролизер: 1 — катод, 2 — анод, 3 — электродлитический ключ, 4 — трубка для подачи водорода, 5 — шпиф

стинка из титаната бария диаметром 39 мм, возбуждаемая на своей основной частоте (1,4 Мгц) 550-ваттным радиогенератором. Интенсивность ультразвука, измеренная внутри электролизера калориметрическим методом, составляла  $\sim 1 \text{ вт/см}^2$ . Электролизер и пьезопластинка находились в водяном термостате, позволявшем поддерживать температуру при  $(25 \pm 2)^\circ$ . Расстояние между ними во всех опытах оставалось равным 10 см.

На гладком платиновом электроде могут быть реализованы, благодаря близости констант скорости реакций разряда и рекомбинации, различные условия протекания

### Экспериментальная часть

**Методика.** Восстановление нитробензола проводилось в электролизере, конструкция которого показана на рис. 1. Ультразвук поступал через нижнюю часть электролизера, выполненную в виде тонкостенной сферы, и направлялся параллельно поверхности платинового электрода. Источником ультразвуковых волн служила пла-

процесса катодного выделения водорода и получены различные величины перенапряжения [22—25]. На наиболее активной платиновой поверхности связь между перенапряжением и плотностью тока выражается полулогарифмической с наклоном, близким к 0,03. В этих условиях [5,23] разряд совершается беспрепятственно и, хотя рекомбинация протекает медленно, кинетика процесса определяется преимущественно скоростью удаления водорода из приэлектродного пространства. При заметном отравлении платины и при высоких плотностях тока наклон полулогарифмических прямых приближается к 0,12 и замедленной стадии выделения водорода может оказаться разряд гидроксониевых ионов. Третьему состоянию поверхности гладкой платины, которое является, как показано опытными данными, наиболее устойчивым, отвечают полулогарифмические прямые с наклоном 0,07—0,08. При таких условиях кинетика выделения водорода на платине всецело определяется реакцией молиции адсорбированных атомов водорода. Можно думать, что и каталитическое гидрирование совершается платиной с подобной же электрохимической характеристикой.

На основании предварительных экспериментальных данных, часть из которых приведена в табл. 1, была принята следующая методика подготовки  $P_t$  — Н-электрода (пластинка  $5 \times 10$  мм<sup>2</sup>): получасовое кипячение в азотной кислоте, получасовая вы-

Таблица 1

Время нахождения электрода в электролите до начала пропускания водорода, час	Время пропускания водорода через электролит, час	Величина, $b^*$	
		$j <$	$j >$
0	3	0,020	0,180
0	4	0,030	0,180
0	9	0,070	0,100
12	15	0,075	0,075
24	6	0,075	0,075
72	6 и дольше	0,075	0,075

\*  $b$  — коэффициент наклона в уравнении Тафеля,  $j <$  — для меньших,  $j >$  — для больших значений токов поляризации одной и той же поляризационной кривой ( $\varepsilon$ ,  $\lg j$ ).

держка в концентрированной серной кислоте, промывка водой, часовое выдерживание в кипящем бидистиллате, катодное и анодное активирование в отдельном электролизере в 0,1 N  $H_2SO_4$  (основной раствор) при плотности тока 2 мВ/см<sup>2</sup> в течение двух минут каждое, 10—12-часовое выдерживание в рабочем электролизере с исследуемым раствором и с последующим 6-часовым пропусканием водорода через ту же электролитическую ячейку. Непосредственно после окончания пропускания водорода электрод 10 мин. поляризовался током в  $10^{-7}$  А/см<sup>2</sup> и проводилось снятие поляризационных кривых, причем при каждом значении плотности тока электрод выдерживался в течение 2 мин., величина приводимых ниже потенциалов относится к концу выдержки. Кривые снимались прямым компенсационным методом. Все потенциалы выражены по водородной шкале. Расхождения параллельных опытов никогда не превышали 15 мВ.

Для приготовления растворов использовались трижды перегнанная вода и дважды перегнанная серная кислота. Нитробензол перегонялся при атмосферном давлении 758 мм рт. ст и для опытов отбиралась фракция, кипящая между 207—208°.

**Результаты опытов.** Результаты поляризационных измерений представлены в координатах  $\varepsilon$ ,  $\lg j$  на рис. 2 и 3. В 0,1 N растворе  $H_2SO_4$ , не содержащем нитробензола, и без наложения ультразвука потенциал платинового катода линейно изменяется с  $\lg j$  во всей охваченной области плотностей тока ( $10^{-6}$ — $10^{-1}$  А/см<sup>2</sup>). Наклон прямой равен 0,075 (прямая 1 на рис. 2). Наложение ультразвука в тех же условиях (кривая 1 на рис. 3) приводит к изменению хода кривой: в области плотностей тока от  $10^{-6}$  до  $10^{-3}$  А/см<sup>2</sup> наблюдается линейная связь между  $\varepsilon$  и  $\lg j$ , однако наклон прямой увеличивается (0,08) по сравнению с опытами без применения ультразвука. При более высоких плотностях тока катодный потенциал растет также линейно с плотностью тока, но наклон становится значительно большим и достигает величины, близкой к 0,15.

Введение нитробензола в неозвучиваемый электролит вызывает смещение потенциала платинового катода в положительную область (кривые 2, 3, 4 и 5 на рис. 2). Поляризация закономерно понижается с ростом концентраций нитробензола, причем при каждой данной его концентра-

ции полулогарифмическая зависимость между потенциалом катода плотностью тока сохраняется вплоть до предельных плотностей ток. Наклоны полулогарифмических совпадают в пределах ошибок опыта с наклоном прямой  $\varepsilon - \lg j$ , полученной в основном растворе. При наложении ультразвука влияние нитробензола на потенциал катода существен



Рис. 2. Поляризационные кривые электровосстановления нитробензола на гладком платиновом катоде без наложения ультразвука. 1 — 0,1 N  $\text{H}_2\text{SO}_4$ , 2 — 0,1 N  $\text{H}_2\text{SO}_4 + 0,97 \cdot 10^{-3}$  г-моль/л  $\text{C}_6\text{H}_5\text{NO}_2$ , 3 — 0,1 N  $\text{H}_2\text{SO}_4 + 3,9 \cdot 10^{-3}$  г-моль/л  $\text{C}_6\text{H}_5\text{NO}_2$ , 4 — 0,1 N  $\text{H}_2\text{SO}_4 + 9,0 \cdot 10^{-3}$  г-моль/л  $\text{C}_6\text{H}_5\text{NO}_2$ , 5 — 0,1 N  $\text{H}_2\text{SO}_4 + 15,4 \cdot 10^{-3}$  г-моль/л  $\text{C}_6\text{H}_5\text{NO}_2$ , 6 — 0,1 N  $\text{H}_2\text{SO}_4 + 3,9 \cdot 10^{-3}$  г-моль/л  $\text{C}_6\text{H}_5\text{NO}_2$



Рис. 3. Поляризационные кривые электровосстановления нитробензола на гладком платиновом катоде под действием ультразвука: 1 — 0,1 N  $\text{H}_2\text{SO}_4$ , 2 — 0,1 N  $\text{H}_2\text{SO}_4 + 0,97 \cdot 10^{-3}$  г-моль/л  $\text{C}_6\text{H}_5\text{NO}_2$ , 3 — 0,1 N  $\text{H}_2\text{SO}_4 + 3,9 \cdot 10^{-3}$  г-моль/л  $\text{C}_6\text{H}_5\text{NO}_2$ , 4 — 0,1 N  $\text{H}_2\text{SO}_4 + 9,0 \cdot 10^{-3}$  г-моль/л  $\text{C}_6\text{H}_5\text{NO}_2$ , 5 — 0,1 N  $\text{H}_2\text{SO}_4 + 15,4 \cdot 10^{-3}$  г-моль/л  $\text{C}_6\text{H}_5\text{NO}_2$ , 6 — 0,1 N  $\text{H}_2\text{SO}_4 + 3,9 \cdot 10^{-3}$  г-моль/л  $\text{C}_6\text{H}_5\text{NO}_2$ .

меняется (кривые 2, 3, 4 и 5 на рис. 3). Прежде всего при заданной концентрации добавки наложение ультразвука приводит к большему сдвигу потенциала в сторону положительных значений. Так, при  $0,97 \cdot 10^{-3}$  моль/л деполаризация без ультразвука составляет примерно 140 мВ, а при



наложении — 175 mV. Далее, на кривых, полученных при повышенных концентрациях нитробензола, под действием ультразвука появляются участки, лежащие при весьма положительных потенциалах. При некоторых плотностях тока потенциал резко сдвигается в отрицательную сторону и совершается переход на второй прямолинейный участок с тем же наклоном (0,08). Наконец, при наложении ультразвука увеличивается предельная плотность тока, отвечающая процессу электровосстановления нитробензола.

### Обсуждение результатов

В отличие от работы [5], в наших опытах не наблюдалось десорбирующего действия ультразвука на процесс катодного выделения водорода. Напротив, нами было отмечено увеличение константы  $a$  (с  $-0,470$  до  $-0,510$ ) и константы  $b$  (с  $0,075$  до  $0,080$ ) уравнения Тафеля. Такое отличие может быть обусловлено прежде всего различным состоянием платиновой поверхности в наших опытах и в опытах указанных авторов. Они проводили работу с наиболее активным платиновым электродом, потенциал которого должен заметно улучшаться благодаря интенсивному перемешиваемому действию ультразвука. В наших опытах потенциал платинового катода определяется кинетикой рекомбинации водородных атомов и эффект перемешивания не должен быть явно выражен. Действие ультразвука может быть связано здесь с изменением энергии связи  $P_t-H$  и поверхностной концентрации водородных атомов\*.

Возможно также, что некоторое значение имеет различие в применявшихся частотах ультразвука и в способе облучения поверхности электрода. Известно [11], что перемена частоты может изменить эффект ультразвука на обратный.

Результаты наших опытов по электровосстановлению нитробензола могут быть выражены уравнением:

$$\varepsilon = a + b \lg \frac{i}{1 + \frac{k_2}{k_1} c_R^\beta}, \quad (1)$$

в котором  $a$  и  $b$  — константы уравнения Тафеля, относящиеся к выделению водорода из исходного раствора кислоты, не содержащей добавки,  $k_1$  и  $k_2$  — соответственно, константы скорости реакций выделения водорода и электровосстановления нитробензола,  $c_R$  — объемная концентрация нитробензола,  $\beta$  — степень, в которой концентрация нитробензола входит в кинетическое уравнение. Формула (1) была выведена [26, 22] в предположении, что гидрирование протекает за счет атомов водорода и справедлива при заданной величине pH. Насколько хорошо уравнение (1) описывает опытные данные, можно судить по рис. 2 и рис. 3, на которых прямолинейные участки поляризационных кривых проведены по этому уравнению после подстановки соответствующих значений констант.

Влияние ультразвука проявляется, как это видно из табл. 2, в изменении почти всех постоянных, входящих в уравнение (1).

\* Егер и сотрудники объясняют понижение перенапряжения под действием ультразвука десорбцией загрязнений с поверхностной пленки и повышением вследствие этого ее каталитической активности. Если исходить из таких представлений, то можно думать, что в наших опытах примеси, играющие роль каталитических ядов, вступали в более прочное взаимодействие с поверхностью электрода и наложение ультразвука делало эту связь еще более прочной.

В табл. 2 для поляризационных кривых, полученных при наложении ультразвука, приведены два значения величин  $\frac{k_2}{k_1} : \left[ \frac{k_2^*}{k_1^*} \right]_I = 1,60 \cdot 10^8$ ,

Таблица 2

Состояние системы	a	b	$\frac{k_2}{k_1}$	$\beta$
Без наложения ультразвука	-0,47	-0,075	$8,10 \cdot 10^7$	2
С наложением ультразвука	-0,51	-0,080	$1,60 \cdot 10^8$	2
» »	-0,51	-0,080	$2,37 \cdot 10^{10}$	2

соответствующее верхним прямолинейным участкам, и  $\left[ \frac{k_2^*}{k_1^*} \right]_{II} = 2,37 \cdot 10^{10}$

отвечающее нижним участкам. Из сопоставления величины  $a$  для опытов с ультразвуком и без ультразвука следует, что отношение констант скорости  $\frac{k_1}{k_1^*}$  равно примерно 5, т. е. ультразвук затрудняет процесс выделе-

ния водорода. Так как отношение  $\left[ \frac{k_2^*}{k_1^*} \right]_I : \frac{k_2}{k_1} = 2$ , то, очевидно, что  $\frac{k_2}{k_2^*} \approx$

и ультразвук на верхнем участке поляризационных кривых замедляет реакцию электровосстановления нитробензола. Напротив, на нижнем участке поляризационных кривых он оказывает заметное

активирующее действие, так как  $\left[ \frac{k_2^*}{k_1^*} \right]_{II} \gg \frac{k_2}{k_1}$ .

Перегиб поляризационных кривых, наблюдающийся при наложении ультразвука, совершается в области потенциалов, включающей в себя вероятную нулевую точку платины (+0,285 V). Следовательно, нижний участок кривых соответствует положительно, а верхний — отрицательно заряженной поверхности платины. Такое резкое изменение потенциала обусловлено, вероятно, переориентировкой в двойном слое полярных молекул нитробензола (рис. 4). На положительно заряженной поверхности платины реакционноспособные отрицательные группы  $\text{NO}_2$  молекул нитробензола обращены к металлу, что обеспечивает более лег-

Рис. 4. Схема расположения переориентированных в двойном слое полярных молекул нитробензола. Пунктирной линией отмечено положение нулевой точки платины

кое их взаимодействие с адсорбированными атомами водорода. При переходе к отрицательно заряженной поверхности эти группы должны быть обращены преимущественно в сторону раствора, что создаст затруднения для протекания реакции восстановления.

Описанное выше действие ультразвука обусловлено, вероятно, тем, что при его наложении происходит более полная ориентация молекул в поверхностном слое. Такое объяснение подтверждается следующими наблюдениями. Если в отсутствие ультразвука сместить потенциал платинового электрода за его нулевую точку (удаление водорода азотом, кислородом или недостаточное насыщение водородом), то на поляризационной кривой (кривая  $b$  на рис. 2) также, правда с меньшей воспроизводимостью, удастся наблюдать перегиб. Скачок потенциала в этом слу-

не составляет около 80 mV, т. е. оказывается в два раза меньшим, чем при наложении ультразвука. По-видимому, и здесь происходит переориентация молекул нитробензола, однако степень их ориентированности в каждом из двух состояний ниже.

Если проводить восстановление нитробензола под действием ультразвука не в водном, а в спиртово-водном растворе серной кислоты, то перепад потенциала вблизи точки нулевого заряда платины оказывается менее выраженным (кривая 6 на рис. 3). Причина такого явления заключается, по-видимому, в уменьшении поверхностной концентрации нитробензола, молекулы которого вытесняются из пограничного слоя молекулами спирта.

Таким образом, можно считать установленным, что перепад потенциала, наблюдающийся на поляризационных кривых вблизи точки нулевого заряда платины, является результатом переориентации полярных молекул нитробензола в двойном слое и что ультразвук оказывает ориентирующее действие на диполи нитробензола в пограничном слое металла — раствор.

### Выводы

1. На поляризационных кривых, полученных при восстановлении нитробензола на платине, наблюдается перегиб, лежащий вблизи точки нулевого заряда. Вероятной причиной этого перегиба является переориентация полярных молекул нитробензола при переходе от положительно заряженной поверхности электрода к отрицательной.

2. Наложение ультразвука позволяет получить перегиб на поляризационных кривых при таких условиях, при которых без ультразвука этого перегиба не обнаруживается. Скачок потенциала, соответствующий перегибу, заметно возрастает под действием ультразвука. Подобное влияние ультразвука может быть связано с его способностью создавать совершенно новую ориентировку полярных молекул нитробензола.

3. Наложение ультразвука частотой 1,4 Мгц и интенсивностью, равной 1 вт/см<sup>2</sup>, увеличивает в 10—15 раз предельную плотность тока, отвечающую процессу электровосстановления нитробензола.

Новочеркасский политехнический институт  
им. С. Орджоникидзе

Поступила  
29. IV. 1957

### ЛИТЕРАТУРА

1. Moriguchi, J. Chem. Soc., Japan, 55, 751, 1934.
2. G. Schmid, L. Ehret, Z. Elektrochem, 43, 597, 1937.
3. R. Piontelli, Lincei Rend, 27, 357, 1938.
4. И. Г. Полоцкий, Г. С. Филиппов, Ж. общ. химии, 17, 193, 1947.
5. E. Yeager, T. S. Oey, F. Novak, J. Phys. Chem, 57, 268, 1953.
6. D. Parousék, Chem. zvesti, 10, 7, 1956.
7. R. Lucas, C. R., 206, 827, 1938.
8. A. Peterlin, Zbornik Prirodoslovnoga drost'va, Любляна, 1944.
9. В. Цветков и В. Маринин. Докл. АН СССР, 63, 653, 1948.
10. В. Цветков и Эскин. Ж. exper. и теор. физ. 18, 614, 1948, Докл. АН СССР, 59, 1089, 1948.
11. Л. Бергман. Ультразвук, гл. VI, ИИЛ, Москва, 1956.
12. R. Audubert, C. R., 239, 1742, 1954.
13. R. Audubert, S. Guittou, C. R., 242, 1458, 1956.
14. P. Möckel, Chem. Technik, 8, 7, 1956.
15. Н. М. Долгополов, В. М. Фридман и Н. М. Караваев, Докл. АН СССР, 93, 1953.
16. Н. Н. Долгополов, В. С. и Н. М. Караваев, Заводск. лаборатория, 20, 146, 1954.
17. P. Debue, J. Chem. Phys., 1, 13, 1933.
18. М. А. Леонтович, Ж. exper. и теор. физ., 8, 40, 1938.
19. Ч. Лихтер и С. Хайкин, Ж. exper. и теор. физ., 18, 651, 1948.



20. E. Yeager, J. Bugosh, F. Novorka, S. McCarthy, J. Chem. Phys. **17**, 416, 1949.
21. E. Yeager, F. Novorka, J. Chem. Phys., **17**, 416, 1949.
22. Л. И. Антропов, Ж. физ. химии, **24**, 1428, 1950.
23. S. Schuldinger, J. Electrochem. Soc., **22**, 488, 1952.
24. А. Шлыгин и Б. Эршлер, Acta phys. chim. URSS, **13**, 747, 1940.
25. R. H. Cousens, D. Ives, Swagoora, J. Chem. Soc., 3482, 1955.
26. Л. И. Антропов, Тр. Второй всесоюзной конференции по теоретической прикладной электрохимии, Киев, 1949, стр. 138.

## THE EFFECT OF ULTRASOUND ON ELECTROREDUCTION AND ELECTROOXIDATION PROCESSES

### I. THE ELECTROREDUCTION OF NITROBENZENE ON THE SMOOTH PLATINUM CATHODE

*F. I. Kukoz and L. I. Antropov*

#### Summary

In the report a description is presented of the effect of the ultrasonic field ( $j = 1.0 \text{ w/cm}^2$ ,  $\nu = 1.4 \text{ mcgs}$ ) on the electroreduction of nitrobenzene in aqueous and aqueous alcohol solutions of sulfuric acid, employing a smooth platinum cathode.

A point of inflexion on the polarization curves obtained during the process is observed near the zero charge point of platinum. The superposition of ultrasound increases the potential difference corresponding to the inflexion, permitting it to be obtained under conditions that in the absence of ultrasound would reveal no such phenomenon.

Irradiation with ultrasound of the above noted characteristics increases by 10—15 fold the limiting current density corresponding to the process of electroreduction of nitrobenzene.

An analysis is given of the various conditions for the cathodic evolution of hydrogen and of the possibility of obtaining reproducible results of hydrogen overvoltage measurements on the platinum electrode.

## ИЗОТОПНЫЙ ОБМЕН СЕРЫ В СОЛЯХ ДИТИОКАРБАМИНОВЫХ КИСЛОТ

Е. Н. Гурьянова и Л. С. Кузина

Дитиокарбаминовые кислоты  $R_2N - CS - SH$  — вещества крайне нестойчивы и до сих пор лишь в единичных случаях выделены в свободном состоянии, однако соли этих кислот являются соединениями весьма стабильными, обладают рядом интересных свойств и широко используются в качестве ускорителей вулканизации каучука, пестицидов, лекарственных препаратов и в аналитической химии. Изучение условий изотопного обмена серы этих соединений с элементарной серой серосодержащими веществами представляет значительный интерес как точки зрения выяснения механизма их действия, так и с точки зрения решения более общих вопросов строения и реакционной способности.

В литературе имеются некоторые сведения об изотопном обмене серы в солях дитиокарбаминовой кислоты. В работах [1, 2] было обнаружено значительное различие обменоспособности натровой, цинковой и никелевой солей. Первая вступает в реакцию обмена с элементарной серой (в изоамиловом спирте) уже при  $60^\circ C$ , в то время как в последней обмен не наблюдался даже при  $140^\circ C$ . В работах [3, 4] изучена кинетика изотопного обмена серы между диэтилдитиокарбаматом натрия и элементарной серой в спирто-толуольном растворе при разных температурах и установлено, что энергия активации равна 22 ккал.

В данной работе сделана попытка более систематического изучения влияния состава и строения соединений этого класса на подвижность серы и выяснения причин различия их обменоспособности.

Исследование реакций изотопного обмена проводилось в двух направлениях: 1 — чисто качественные опыты с целью определения условий обмена и числа обменоспособных атомов серы в соответствующих соединениях и 2 — измерение скорости некоторых реакций обмена в различных растворителях.

## Экспериментальная часть

Методика синтеза и очистки применяемых препаратов была описана ранее в работе [5] по измерениям дипольных моментов этих соединений.

Качественные опыты по изотопному обмену серы между соответствующими солями, с одной стороны, и радиоактивной элементарной серой, — с другой, проводились в запаянных ампулах в расплавах и в растворах. Способы разделения компонентов смеси после обмена были различными для различных соединений; в каждом случае особое внимание уделялось чистоте выделяемых препаратов.

Изучался изотопный обмен серы в пиклопентаметилдитиокарбамате пиперидина, ди-изо-бутилдитиокарбамате натрия, диэтилдитиокарбаматах свинца, висмута, цинка и никеля и дифенилдитиокарбаминовой кислоте.

Поскольку исследуемые соединения содержат несколько различным образом связанных атомов серы:  $C = S$  и  $C - S - Me$ , определялось количество эквивалентно обменоспособных атомов серы. Результаты опытов, доведенных до равновесия при соотношении соль : сера = 1 моль : 1 атом, приведены в табл. 1, где указаны экспериментально найденные значения активности образцов сульфата бензидина, приготовленных из исходной серы, серы после обмена и соли после обмена, а также вы-

Таблица 1

Активность (имп./мин.) при равновесии. Соотношение соль : сера =  
= 1 моль : 1 атом

Соединение	Найдено			Вычисл. активность серы в случае обмена		
	Исходн. сера	После обмена		всех атомов S	одного атома S	других атомов S
		соль	сера			
$\text{C}_5\text{H}_{10}\text{N}-\overset{\text{S}}{\parallel}\text{C}-\text{SH} \cdot \text{HNC}_5\text{H}_{10}$	774	259	262	258	387	—
$(\text{C}_4\text{H}_9)_2\text{N}-\overset{\text{S}}{\parallel}\text{C}-\text{SNa}$	1860	630	627	620	930	—
$[(\text{C}_2\text{H}_5)_2\text{N}-\overset{\text{S}}{\parallel}\text{C}-\text{S}]_2\text{Pb}$	1244	240	252	249	—	415
$[(\text{C}_2\text{H}_5)_2\text{N}-\overset{\text{S}}{\parallel}\text{C}-\text{S}]_3\text{Bi}$	1244	171	182	177	—	311*
$[(\text{C}_2\text{H}_5)_2\text{N}-\overset{\text{S}}{\parallel}\text{C}-\text{S}]_2\text{Zn}$	3466	697	685	693	—	1155
$[(\text{C}_2\text{H}_5)_2\text{N}-\overset{\text{S}}{\parallel}\text{C}-\text{S}]_2\text{Ni}$	1232	240	261	246	—	411
$(\text{C}_6\text{H}_5)_2\text{N}-\overset{\text{S}}{\parallel}\text{C}-\text{SH}$	672	221	207	224	336	—

\* Обмен трех атомов S.

Таблица 2

Изотопный обмен с элементарной радиоактивной серой

Система	t, °C	Время, часы	Степень обмена, %
Циклопентаметилендитиокарбамат пиперидина + S* в толуоле, $c_B = c_S = 0,054$	50	1	20
	50	5	100
	80	2	100
Ди-изо-бутилдитиокарбамат натрия + S* в толуоле, $c_B = c_S = 0,058$	60	5	50
	70	5	100
	80	2,5	100
Диэтилдитиокарбамат свинца + S* в толуоле $c_B = c_S = 0,04$	100	2	0
	120	5	30
	120	32	100
Диэтилдитиокарбамат висмута + S* в толуоле $c_B = c_S = 0,04$	100	5	0
	120	32	80
Диэтилдитиокарбамат цинка + S* в толуоле $c_B = c_S = 0,04$	120	8	0
	150	8	50
	150	20	100
Диэтилдитиокарбамат никеля + S* в декалине $c_B = c_S = 0,04$	150	30	0
	180	15	100
Дифенилдитиокарбаминовая кислота + S* в толуоле, $c_B = c_S = 0,054$	70	6	0
	100	5	100
Диэтилдитиокарбамат натрия + S* в изоамиловом спирте и в спирто-толуольной смеси [3], [4]	60	8	50
	108	1,5	100



ленные значения активности серы для случаев, когда в соединении обмениваются все атомы серы, когда обменивается один атом серы в соединениях типа  $R_2N - CS - SMe$ , два атома серы в  $(R_2N - CS - S)_2Me$  и три атома серы в  $(R_2N - CS - S)_3Me$ .

Результаты качественных опытов по обменноспособности исследуемых соединений приведены в табл. 2, где  $c_B$  обозначает концентрацию соответствующего соединения в растворе в *г-моль/л*,  $c_{S^*}$  — концентрацию меченой серы *г-атом/л*. Степень обмена характеризует степень приближения системы к равновесию.

В связи с тем, что реакции изотопного обмена серы между диэтилдитиокарбатами свинца, цинка, висмута, никеля, с одной стороны, и элементарной радиоактивной серой, — с другой, сопровождаются побочными процессами — выделением сернистых металлов, а реакция обмена дифенилдитиокарбаминовой кислоты — образованием тиурама, мы не могли возможности более детально изучить эти реакции. Обмен серы циклопентаметилендитиокарбамате пиперидина и в ди-изо-бутилдитиокарбамате натрия проходит гладко без образования каких-либо побочных продуктов. Поэтому имелась возможность изучить эти реакции более подробно. Мы измерили скорость обмена серы в этих соединениях при различных температурах и в различных растворителях: тщательно высушенном толуоле, смеси толуола с абсолютным спиртом (30 + 70 частей по объему) и смеси толуола, спирта и воды (30 + 55 + 15 частей по объему). Опыты проводились в атмосфере сухого азота в специальном приборе [6], помещенном в термостат ( $\pm 0,05^\circ$ ). Ход реакции обмена наблюдался по росту активности соли. Последняя выделялась из пробы реакционной смеси экстракцией водой и осаждалась из водного слоя хлористым никелем. Определялась активность соответствующих дитиокарбаматов никеля.

Результаты измерений скорости изотопного обмена серы между ди-изо-бутилдитиокарбаматом натрия и элементарной серой в толуоле и смеси толуола со спиртом ( $c_B = c_{S^*} = 0,058$ ), а также соответствующие данные для циклопентаметилендитиокарбата пиперидина приведены в табл. 3.

Таблица 3

Система	Вещество после обмена	$t, ^\circ C$	$k \cdot 10^4$	$E, \frac{kcal}{г-моль}$
Ди-изо-бутилдитиокарбамат натрия + $S$ в толуоле, $c_B = c_S = 0,058$	$(C_4H_9)_2N - \overset{\overset{S^*}{  }}{C} - S^* - Na$	62,7 69,8 73,9 78,8	0,3 1,1 2,2 3,9	33,5
Ди-изо-бутилдитиокарбамат натрия + $S^*$ в смеси толуола и спирта, $c_B = c_S = 0,058$	$(C_4H_9)_2N - \overset{\overset{S^*}{  }}{C} - S^* - Na$	50,3 60,4 69,8	0,6 1,3 2,2	14,6
Ди-изо-бутилдитиокарбамат натрия + $S^*$ в смеси толуола, спирта и воды $c_B = c_S = 0,058$	$(C_4H_9)_2N - \overset{\overset{S^*}{  }}{C} - S^* - Na$	60,4	2,1	—
Циклопентаметилендитиокарбамат пиперидина + $S$ в толуоле $c_B = c_S = 0,054$	$\text{C}_6\text{H}_{11}\text{N} - \overset{\overset{S^*}{  }}{C} - S^* \cdot \text{H} \cdot \text{HN} \cdot \text{C}_6\text{H}_{11}$	53,4 62,0 79,7	0,5 0,8 4,3	23,0
Циклопентаметилендитиокарбамат пиперидина + $S$ в смеси толуола и спирта $c_B = c_S = 0,054$	$\text{C}_6\text{H}_{11}\text{N} - \overset{\overset{S^*}{  }}{C} - S \cdot \text{H} \cdot \text{HN} \cdot \text{C}_6\text{H}_{11}$	62,0	2,4	—
Циклопентаметилендитиокарбамат пиперидина + $S^*$ в смеси толуола, спирта и воды $c_B = c_S = 0,054$	$\text{C}_6\text{H}_{11}\text{N} - \overset{\overset{S^*}{  }}{C} - S^* \cdot \text{H} \cdot \text{HN} \cdot \text{C}_6\text{H}_{11}$	62,0	3,3	—

Константы скорости изотопного обмена вычислялись по формуле

$$k = -\frac{1}{t} \ln \left( 1 - \frac{x}{x_{\infty}} \right),$$

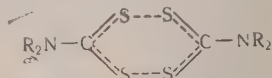
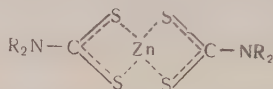
где  $x$  и  $x_{\infty}$  — радиоактивность образцов соли ко времени  $t$  и при равновесии соответственно. Из температурной зависимости константы скорости реакции обмена  $k$  по уравнению Аррениуса определена энергия активации реакции обмена.

### Обсуждение результатов

Из табл. 1 следует, что радиоактивный изотоп, находящийся первоначально в элементарной сере, при равновесии равномерно распределяется между всеми атомами серы, имеющимися в системе, причем равномерность распределения изотопа не зависит от условий достижения равновесия. Следовательно, несмотря на то что в исследуемых соединениях атомы серы структурно связаны различным образом:  $C = S$  и  $C - S - Me$ , они являются одинаково обменоспособными. В этом отношении поведение солей дитиокарбаминовых кислот аналогично поведению тиурамов  $R_2N - CS - S - S - CS - NR_2$ , где также эквивалентно обменоспособными оказываются все ( $C = S$  и  $C - S -$ ) четыре атома серы [2].

В отличие от тиурамов и солей, в эфирах дитиокарбаминовых кислот  $R_2N - CS - SR'$  обменивается лишь один атом серы.

Возникает вопрос, можно ли на основании одинаковой обменоспособности серы в солях дитиокарбаминовых кислот сделать вывод о том, что атомы серы в них образуют эквивалентные связи типа:



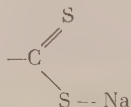
Было показано [2], что эквивалентная обменоспособность всех атомов серы в тиураме является следствием определенного механизма реакции обмена и отнюдь не свидетельствует об идентичности всех  $C - S$  связей в молекуле. К такому же выводу мы приходим в данной работе и в отношении солей дитиокарбаминовых кислот.

Из сопоставления данных табл. 2 видно, что обменоспособность серы в различных солях в значительной степени зависит от природы металла. Натриевая соль ди-изо-бутилдитиокарбаминовой кислоты, так же как и натриевая соль диэтилдитиокарбаминовой кислоты, обменивается с элементарной серой с заметной скоростью уже при 50—60° С. Подобным образом ведут себя и соединения дитиокарбаминовых кислот с аминами. В отличие от этих солей, диэтилдитиокарбаты свинца и висмута обмениваются с серой с измеримой скоростью лишь при 120° С, диэтилдитиокарбат цинка — при 140—150° С, а диэтилдитиокарбат никеля обменивается лишь при 170—180° С.

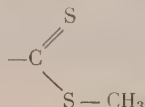
Аналогичная закономерность влияния природы металла на обменоспособность серы наблюдалась другими исследователями [9] в ксантогенатах  $R - O - CS - S - Me$ . Было найдено, что этилксантогенат калия обменивается с элементарной серой быстро при 0°, в то время как этилксантогенат никеля обменивается с серой лишь при 140° [7].

В чем причина столь резкого различия в обменоспособности серы в солях различных металлов?

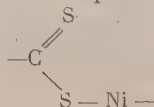
В литературе [7] было высказано предположение, что основным фактором, обуславливающим различную обменоспособность серы в солях калия, натрия, с одной стороны, и никеля и соответствующих эфиров, с другой, является различная степень  $\sigma - \pi$ -сопряжения в связях:



;



;



обстоятельство, по мнению авторов, приводит к значительному изменению полярности  $C=S$ -связи в этих соединениях и как следствие различной обменоспособности серы в связях  $C=S$ .

По нашему мнению, такое объяснение недостаточно обосновано.

Измерения дипольных моментов [5], идентичных по структуре производных дитиокарбамминовых кислот, и, в частности, ряда эфиров дитиокарбамминовых кислот, с одной стороны, и натриевой соли ди-изо-бутилдитиокарбамминовой кислоты и циклопентаметиленидитиокарбамата пиперидина, с другой, показали, что существенного различия полярности  $C=S$ -связей в этих соединениях не наблюдается, в то время как обменоспособность их совершенно различна. По-видимому, дело здесь не в полярности  $C=S$ -связей.

Мы считаем, что основным фактором, обуславливающим различия в обменоспособности солей дитиокарбамминовых кислот (а также и ксантоанатов), является их способность ассоциировать на ионы по связи сера — металл.

Для проверки этого положения мы измерили скорость обмена серы между ди-изо-бутилдитиокарбаматом натрия и элементарной серой, а также между циклопентаметиленидитиокарбаматом пиперидина и элементарной серой в различных по полярности растворителях: в сухом толуоле, смеси толуола со спиртом и смеси толуола, спирта и воды.

Как видно из данных табл. 3, температурные условия и скорость реакции обмена серы в обоих соединениях заметно изменяются при переходе от одного растворителя к другому.

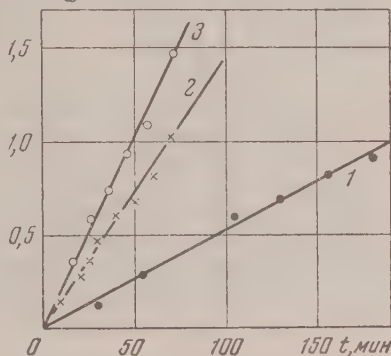
При одинаковых концентрациях ди-изо-бутилдитиокарбамата натрия в сухом толуоле обмен наблюдается при  $60-65^\circ$ ,  $k = 0,3 \cdot 10^{-4}$  при  $62,5^\circ$ . В смеси толуола со спиртом (30 : 70) обмен идет со значительно большей скоростью уже при  $50^\circ$ ;  $k = 0,6 \cdot 10^{-4}$  при  $50,3^\circ$  и  $k = 1,3 \cdot 10^{-4}$  при  $60,4^\circ$ . При добавлении к смеси толуола со спиртом воды (35 : 50 : 15) скорость обмена возрастает еще больше;  $k = 2,1 \cdot 10^{-4}$  при  $60,4^\circ$ .

Константа скорости изотопного обмена серы в циклопентаметиленидитиокарбамате пиперидина в растворах одинаковых концентраций и при одной и той же температуре  $62^\circ$  растет при переходе от толуола к смеси толуола со спиртом и к смеси толуол — спирт — вода следующим образом:  $0,8 : 2,4 : 3,3 \cdot 10^{-4}$  соответственно.

Влияние растворителя на скорость изотопного обмена серы в системе циклопентаметиленидитиокарбамат пиперидина — сера особенно наглядно видно на рисунке, где приведены экспериментальные данные —  $2,3 \lg(1 - \frac{x}{x_\infty})$  против  $t$ , полученные при  $62^\circ$  в толуоле (кривая 1), в смеси толуола со спиртом (кривая 2) и в смеси толуола, спирта и воды (кривая 3).

Энергия активации обмена серы между ди-изо-бутилдитиокарбаматом натрия и элементарной серой в сухом толуоле равна  $33,5 \text{ ккал/г-моль}$ . В смеси толуола со спиртом она снижается до  $14,5 \text{ ккал/г-моль}$ . Следует заметить, что энергия активации обмена серы между диэтилдитиокарбаматом натрия и элементарной серой в  $22 \text{ ккал/г-моль}$  [4] занимает промежуточное положение между найденными нами. Эта величина получена при проведении обмена в смеси толуола со спиртом. Учитывая результаты, при-

$$2,3 \lg(1 - \frac{x}{x_\infty})$$







## Выводы

1. Изучен изотопный обмен с элементарной радиоактивной серой следующих соединений: ди-изо-бутилдитиокарбамата натрия, циклопентаметилдтитиокарбамата пиперидина, диэтилдтитиокарбаматов свинца, висмута, цинка, никеля и дифенилдтитиокарбаминовой кислоты.
2. Показано значительное влияние природы металла на обменоспособность серы в солях дитиокарбаминовых кислот.
3. Установлена зависимость обменоспособности серы в некоторых солях дитиокарбаминовых кислот, являющихся ультраускорителями вулканизации каучука, от диссоциирующей способности растворителя.

Физико-химический институт  
им. Л. Я. Карпова  
Москва

Поступила  
3. V. 1957

## ЛИТЕРАТУРА

- Е. Н. Гурьянова, Ж. физ. химии, 28, 67, 1954.  
Е. Н. Гурьянова и Л. С. Кузина, Ж. физ. химии, 28, 2116, 1954.  
И. И. Кухтенко, Г. А. Блох, Г. П. Миклухин, Укр. хим. ж., 21, 233, 1955.  
И. И. Кухтенко, Г. П. Миклухин, Докл. АН СССР, 100, 931, 1955.  
Е. Н. Гурьянова и Л. С. Кузина, Ж. физ. химии, 30, 616, 1956.  
Е. Н. Гурьянова, и В. Н. Васильева, Ж. физ. химии, 29, 576, 1955.  
И. И. Кухтенко, Л. Е. Бруксер, Г. П. Миклухин, Докл. АН СССР, 106, 1023, 1956.  
Л. С. Кузина, Диссертация, Москва, 1956.  
М. Н. Фока, Л. Е. Бруксер, Докл. АН СССР, 99, 1011, 1954.  
Н. И. Гришко, Е. Н. Гурьянова, Ж. общ. химии (принята к печати)

## SULFUR ISOTOPIC EXCHANGE IN SALTS OF DITHIOCARBAMIC ACIDS

*E. N. Guryanova and L. S. Kuzina*

## Summary

The isotopic exchange of sulfur in sodium diisobutylthiocarbamate; piperidine cyclopentamethylenedithiocarbamate; lead, bismuth, zinc, nickel diethyldithiocarbamates and diphenyl dithiocarbamic acid with elementary radioactive sulfur has been investigated. The nature of the metal has been shown to greatly affect the exchangeability of sulfur in the dithiocarbamate salts. It has been established that the sulfur exchangeability in some dithiocarbamic acid salts, ultraaccelerators of rubber vulcanization, depends upon the dissociation capacity of the solvent.

О РАЗДЕЛЕНИИ ФОТОХИМИЧЕСКОГО И СВЕТОФИЛЬТРУЮЩЕГО  
ДЕЙСТВИЯ И О СКРЫТОЙ ФОТОСЕНСИБИЛИЗАЦИИ\*

Ю. С. Зув

Небольшие количества красителей, стабилизаторов и других ингредиентов, содержащихся в различных материалах, могут проявлять при освещении как свою фотохимическую активность, замедляя или ускоряя светостарение материала в целом, так одновременно и выполнять функции светофильтра. При этом старение замедляется за счет уменьшения интенсивности света, действующего на остальную часть материала.

При анализе результатов светозащитного или фотосенсибилизирующего действия различных добавок к высокополимерам желательнее качественно выделить фотохимическую и светофильтрующую составляющие их действия. Особенно это необходимо для установления четкой связи между структурой веществ и их фотохимической активностью в данной системе.

В частности, это имеет важное значение при подборе наиболее эффективных противосветостарителей для высокомолекулярных материалов в следствие того, что световоздействие является частным случаем действия на материалы лучистой энергии, имеет значение и для радиационной химии.

Следует иметь в виду, что разделение оптического и химического действия несколько условно, так как очевидно, что если поглолительная способность непосредственно не зависит от фотохимической активности вещества, то его фотохимическая активность может определяться его поглолительной способностью.

Нам неизвестны работы, посвященные количественному разделению светофильтрующего и фотохимического действия.

Попытки их качественного отделения при исследовании влияния полихроматического света на каучуки были предприняты Б. А. Догадкиным [1] и Бонди [2]. Они облучали каучук через растворы ингредиентов, светофильтрующее действие которых хотели определить.

В последнее время этот вопрос более подробно разбирался нами [3] в связи с исследованием характера светозащитного действия дибутил- и диэтилдитиокарбамата никеля. Исследовалось влияние этих веществ на светостарение вулканизатов СКБ и бутилкаучука.

В качестве характеристики интенсивности процесса светостарения вулканизатов мы использовали кинетику изменения их статического модуля при освещении тонких пленок. Статический модуль определялся при удлинении образцов на 5—10%, на одном и том же образце в течение всего процесса. Параллельно освещались три образца. Суммарное (и фотохимическое, и светофильтрующее) действие дибутилдитиокарбамата никеля (а также диэтилдитиокарбамата никеля) определялось при сравнении кинетических кривых, полученных при облучении контрольной пленки, не содержащей дибутилдитиокарбамата никеля и пленки вулканизата, содержащей его в концентрации  $c$ . Оба образца облучались полихроматическим светом ртутно-кварцевой лампы ИРК-2 через пленку полиизобутилена. Для выделения светофильтрующего действия пленка чистого вулканизата подвергалась облучению через светофильтр, состояв-

\* Измерения проводились Н. Ф. Шохиной.



из пленки полиизобутилена, содержащего дибутилдитиокарбамат никеля также концентрации  $c_1$ . Полиизобутилен был выбран в качестве основы для светофильтра из-за своей практически малой изменяемости при освещении в условиях нормальной температуры.

В опытах было показано, что дибутилдитиокарбамат никеля обладает значительным и светофильтрующим, и фотохимическим действием. Материал основы для светофильтра был выбран, однако, неудачно. Это оказалось в том, что несмотря на идентичные спектры поглощения дибутил- и дибутилдитиокарбаматов никеля их светофильтрующее действие, определенное через пленку полиизобутилена, содержащую один или другой ингредиент, оказалось различным, что, как мы установили, явилось следствием резкого различия их растворимости в полиизобутилене.

На основании этих опытов мы пришли к выводу, что количественное разделение светофильтрующего и химического защитного действия нужно проводить следующим образом.

Ставятся два параллельных опыта. В первом — пленка каучука с исследуемым веществом (поглотителем) облучается через чистую пленку светофильтра, во втором — пленка чистого каучука облучается через пленку светофильтра, содержащую исследуемое вещество. В обоих случаях определяется кинетика светостарения облучаемой пленки по изменению какой-либо ее характеристики. При этом соблюдаются следующие условия.

1. Материал облучаемой пленки и основы светофильтра выбран одинаковым с тем, чтобы автоматически учитывались процессы, протекающие в обеих пленках при освещении и несколько изменяющие их оптические свойства, и растворимости исследуемого вещества в них была одинаковой.

2. Концентрации испытуемых веществ должны быть выбраны в пределах их растворимости и подчиняемости закону Ламберта — Бера.

3. Концентрация поглотителя в облучаемой пленке  $c_1$  и в светофильтре взяты разные так, чтобы общее поглощение света второй пленкой соответствовало средней величине общего поглощения света первой пленкой. В этом — отличие от проводившихся нами ранее опытов [3]. При установлении количественного соотношения между  $c_1$  и  $c_2$ , очевидно, нужно исходить из того, чтобы нижние пленки в опытах I и II получили одинаковое количество световой энергии. Между тем, при одинаковой концентрации поглотителя верхний слой нижней пленки в опыте I получает свет неослабленный; слой в середине — свет, прошедший через 2 слоя поглотителя; нижний слой — свет, прошедший через весь слой поглотителя, в то время как в опыте II все три слоя нижней пленки получают свет, прошедший через весь слой поглотителя. Очевидно, что средняя интенсивность света  $I_1$ , действующего на нижнюю пленку в опыте I, равная

$$I_1 = I_0 \int_0^H \frac{e^{-Ec_1x/0,43}}{H} dx,$$

должна быть равна интенсивности света  $I_{II}$ , прошедшего через светофильтр ( $I_{II} = I_0 e^{-Ec_2H/0,43}$ ), или

$$\int_0^H e^{-Ec_1x/0,43} dx = H e^{-Ec_2H/0,43},$$

где  $H$  — толщина пленки,  $x$  — направление по толщине ( $x$  может меняться от 0 до  $H$ ),  $c_1$  — концентрация поглотителя света в облучаемой пленке,  $c_2$  — в светофильтре,  $E$  — удельный коэффициент поглощения.

Для решения уравнения положим

$$\frac{Ec_1x}{0,43} = z; \quad \frac{Ec_1H}{0,43} = a; \quad c_2 = c_1k.$$

Тогда  $\frac{Ec_1}{0,43} dx = dz$ , и после замены переменных

$$\frac{0,43}{Ec_1} \int_0^a e^{-z} dz = H e^{-Ec_1 k H / 0,43} \quad \text{или} \quad \int_0^a e^{-z} dz = a e^{-ak}.$$

Значение последнего интеграла может быть представлено, как:

$$\frac{1 - e^{-a}}{a} = e^{-ak} \quad \text{или} \quad k = \frac{\ln \frac{a}{1 - e^{-a}}}{a},$$

откуда получаем

$$c_2 = c_1 \frac{\lg \frac{Ec_1 H}{0,43(1 - e^{-Ec_1 H / 0,43})}}{Ec_1 H},$$

т. е. концентрация поглощающего вещества в светофилтре зависит только от  $c_1$ , но и от  $E$ , разного для различных длин волн.

Как следует из формулы, точное разделение светофильтрующего химического действия можно провести только для монохроматического света. Очевидно, что при таком разделении допустимая длительность облучения системы определяется временем, в течение которого коэффициент поглощения системой света с данной длиной волны остается практически неизменным или меняется настолько, что определяемым значениям концентрации  $c_2$  (в светофилтре) практически не меняются.

Прежде чем привести некоторые данные, иллюстрирующие возможность разделения светофильтрующего и фотохимического действия, необходимо остановиться на одном явлении, которое удалось обнаружить при использовании такого разделения.

Результат воздействия света на систему, содержащую полимеры с различными добавками, определяется соотношением между защитным действием добавки (замедляющим процесс) и ее фотосенсибилизирующим действием (ускоряющим процесс). Защитное действие может быть фотохимическим (ингибиционным) или оптическим, в частном случае светофильтрующим, если добавки являются светофильтрами. Фотосенсибилизирующее действие также может быть химическим либо физическим в результате сильного рассеяния света\*.

При анализе соотношений между защитным и сенсибилизирующим действием, помимо хорошо известных случаев явно выраженного защитного действия (когда оно преобладает над сенсибилизирующим) и фотосенсибилизации (когда имеет место обратная картина), выявляется возможность существования скрытого сенсибилизирующего действия. Оно имеет место в том случае, когда защитное светофильтрующее действие добавки равно или больше ее фотохимического сенсибилизирующего действия, т. е. внешне влияние добавки либо не проявляется, либо проявляется ее защитное действие. По-видимому, только существование скрытой сенсибилизации можно объяснить то, что при увеличении концентрации  $ZnO$  от 5 до 50% в вулканизате СКБ не наблюдается [4] практически никакого ее влияния на изменение статического модуля СК при светостарении, несмотря на очень сильное поглощение и отражение

\* В том случае, если исследуемые вещества являются люминофорами, картина еще более осложняется. Помимо фотохимических изменений люминофоров, что может сопровождаться проявлением их защитного или сенсибилизирующего действия, люминофоры могут оказывать защитное действие вследствие трансформации химическое активное свет в менее активный и сенсибилизирующее действие, если трансформированный свет оказывается активным.

га окисью цинка. Далее, нами наблюдалось [4], что ZnS не оказывает влияния на светостарение вулканизата бутилкаучука; вазелиновое масло только ускоряет уменьшение статического модуля, однако совместное введение ZnS и вазелинового масла приводит к проявлению защитного действия ZnS. Это явление тоже можно объяснить тем, что вазелиновое масло, экранируя ZnS, уменьшает его скрытое сенсibilизирующее действие подобно тому, как это имеет место при подавлении явной сенсibilизации с помощью вазелинового масла [3]. Можно предполагать, что скрытое сенсibilизирующее действие имеется и у тех фотосенсibilизаторов, которые при повышении температуры испытания становятся фотоактивными веществами, как это наблюдалось для *n*-оксифенил- $\beta$ -нафтиламина [2]. Однако непосредственно обнаружить скрытую сенсibilизацию можно только при количественном разделении светочувствительного и химического действия.

Ниже приводятся некоторые данные по разделению светочувствительного и фотохимического действия с тем, чтобы проиллюстрировать соотношение различного соотношения между этими составляющими. Исследовались следующие вещества, введенные в натрийбутадиеновый каучук, содержащий противостарителя: дибутилдитиокарбамат никеля, являющийся очень сильным противосветостарителем, фенил- $\beta$ -нафтиламин — фотосенсibilизатор в этой системе [6] и фталоцианат меди — голубой окраситель, у которого можно было предполагать наличие скрытого фотосенсibilизирующего действия. Облучение тонких пленок каучука производилось монохроматическим светом с длиной волны 365 и 578 м $\mu$ . Эффективность действия света определялась по величине условного статического модуля, измеряемого через 30 мин. после нагружения пробки [7].

Значения удельных коэффициентов поглощения и концентрации испытуемых веществ в пленке и светофильтре приведены в таблице.

Испытуемое вещество	$E_{365}$	$E_{578}$	$c_1, \text{г/л}$	$c_2 (365), \text{г/л}$	$c_2 (578), \text{г/л}$
Фенил- $\beta$ нафтиламин	10	—	5,0	2,1	—
Дибутилдитиокарбамат никеля	10,9	0,12	5,0	2,1	5,0
Фталоцианат меди	25,9	24,2	10,0	2,1	2,2
Фенил- $\beta$ -нафтиламин	(19)	—	5,0	1,7	—

Кинетика изменения коэффициентов поглощения дибутилдитиокарбамата никеля, фталоцианата меди и фенил- $\beta$ -нафтиламина при  $\lambda = 365$  м $\mu$  и  $\lambda = 578$  м $\mu$  в процессе освещения светофильтров с этими веществами светом с  $\lambda = 365$  м $\mu$  и  $\lambda = 578$  м $\mu$  соответственно представлена на рис. 1. Из этих данных видно, что коэффициенты поглощения  $E_{365}$  и  $E_{578}$  для дибутилдитиокарбамата никеля и фталоцианата меди и облучении их соответствующим монохроматическим светом практически изменяются за исследованное время, и что, следовательно, в этих случаях можно применять вышеприведенный расчет  $c_2$  в пленке светофильтра. Для фенил- $\beta$ -нафтиламина наблюдается вначале резкое увеличение  $E_{365}$ , затем его постепенное уменьшение. В связи с этим возможно только приближенное разделение светочувствительного и химического действия фенил- $\beta$ -нафтиламина, для чего можно принять среднее значение  $E_{365}$ , т.е. 19, и соответственно этому значение  $c_2 = 1,7 \text{ г/л}$ .

Результаты испытаний представлены на рис. 2—6. При рассмотрении приведенных данных следует иметь в виду, что СКБ слабо поглощает свет с  $\lambda = 365$  м $\mu$  [9] и не поглощает свет с  $\lambda = 578$  м $\mu$ ; следовательно, проявления оптического защитного действия исследованных веществ

можно было ожидать только для  $\lambda = 365$  мμ. Действительно, в этих условиях явное оптическое защитное действие наблюдается у дибутилдитиокарбамата никеля (рис. 2) и фталоцианата меди (рис. 3) и скрытое у фенил-β-нафтиламина (рис. 4)\*. Во всех этих случаях при облучении

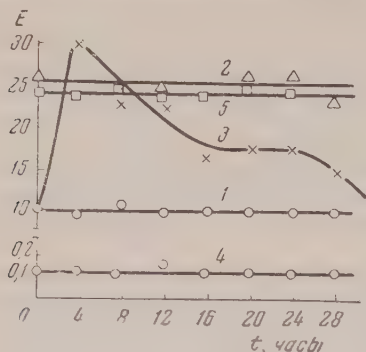


Рис. 1

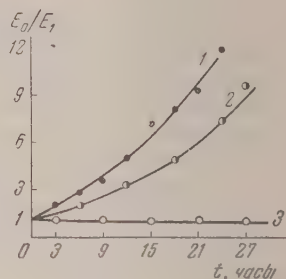


Рис. 2

Рис. 1. Кинетика изменения  $E_{365}$  при облучении светом с  $\lambda = 365$  мμ для: 1 — дибутилдитиокарбамата никеля; 2 — фталоцианата меди и 3 — фенил-β-нафтиламина;  $E_{573}$  при облучении светом с  $\lambda = 578$  мμ для: 4 — дибутилдитиокарбамата никеля и 5 — фталоцианата меди

Рис. 2. Изменение условного модуля пленки СКБ с дибутилдитиокарбаматом никеля при облучении светом с  $\lambda = 365$  мμ: 1 — СКБ через светофильтр СКБ; 2 — СКБ через светофильтр СКБ + 0,21 % дибутилдитиокарбамата никеля; 3 — СКБ с 0,5 % дибутилдитиокарбамата никеля через СКБ

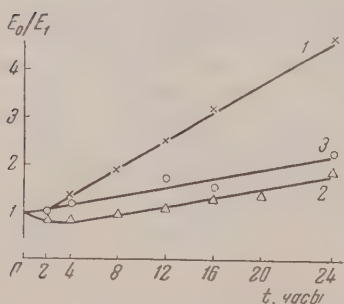


Рис. 3

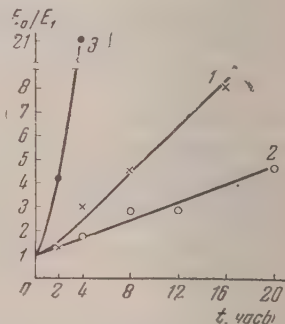


Рис. 4

Рис. 3. Изменение условного модуля пленки СКБ с фталоцианатом меди при облучении светом с  $\lambda = 365$  мμ: 1 — СКБ через светофильтр СКБ; 2 — СКБ через светофильтр СКБ с 0,21 % фталоцианата меди; 3 — СКБ с 1 % фталоцианата меди через светофильтр СКБ

Рис. 4. Изменение условного модуля пленки СКБ с фенил-β-нафтиламином при облучении светом с  $\lambda = 365$  мμ: 1 — СКБ через светофильтр СКБ; 2 — СКБ через светофильтр СКБ с 0,21 % фенил-β-нафтиламина; 3 — СКБ с 0,5 % фенил-β-нафтиламина через светофильтр СКБ

пленки СКБ через соответствующий светофильтр (кривая 2) наблюдается более медленное изменение модуля, чем у контрольной пленки (кривая 1). При резком возрастании поглощения СКБ в области короткого ультрафиолета наблюдалось явное защитное действие и у фенил-β-нафтиламина [8].

\* Опыты ставились при  $c_2$  фенил-β-нафтиламина, равной 2,1 г/л. При  $c_2 = 1,7$  г/л кривая 2 (рис. 4) расположится выше, чем в первом случае, но ниже кривой 1.



При облучении СКБ светом с  $\lambda = 578$  м $\mu$  оптическое защитное действие добавок не имело места (кривые 1 и 2 на рис. 5 и 6 совпадают), проявлялось только их фотохимическое действие. Как видно из рис. 5, фталоцианат меди вызывает фотосенсибилизацию СКБ (кривая 3 расположена выше кривой 1), а из рис. 6 видно, что дибутилдитиокарбамат никеля способствует фотодеструкции СКБ (кривая 3 идет вниз, условный модуль СКБ при освещении уменьшается).

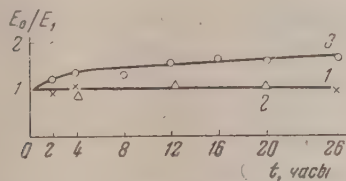


Рис. 5

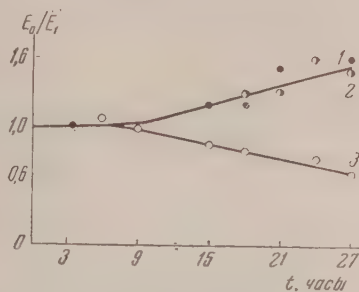


Рис. 6

Рис. 5. Изменение условного модуля пленки СКБ с фталоцианатом меди при облучении светом с  $\lambda = 578$  м $\mu$ : 1 — СКБ через светофильтр СКБ; 2 — СКБ через светофильтр СКБ с 0,22% фталоцианатом меди; 3 — СКБ с 1% фталоцианата меди через светофильтр СКБ

Рис. 6. Изменение условного модуля пленки СКБ с дибутилдитиокарбаматом никеля при облучении светом с  $\lambda = 578$  м $\mu$ : 1 — СКБ через светофильтр СКБ; 2 — СКБ через светофильтр СКБ с 0,5% дибутилдитиокарбамата никеля; 3 — СКБ с 0,5% дибутилдитиокарбамата никеля через светофильтр СКБ

Наибольший интерес представляют результаты по облучению СКБ с фталоцианатом меди светом с  $\lambda = 365$  м $\mu$ . В этом случае структурирование СКБ происходит быстрее при наличии оптического и фотохимического действия фталоцианата меди (рис. 3, кривая 3), чем в отсутствие его фотохимического действия (рис. 3, кривая 2). Это свидетельствует о том, что фталоцианат меди при  $\lambda = 365$  м $\mu$  обладает скрытым сенсибилизирующим действием.

Указанные экспериментальные данные иллюстрируют некоторые возможности предложенного метода.

Для установления строго количественных соотношений между светофильтрующей и фотохимической составляющей в действии добавки, очевидно, нужно пользоваться характеристикой, имеющей более четко выраженный физический смысл, чем статический модуль, например определять кинетику поглощения кислорода, изменения равновесного модуля и т. д.

### Выводы

1. Предложен метод количественного разделения светофильтрующего и фотохимического действия добавок при облучении систем монохроматическим светом.

2. Показано существование скрытого фотосенсибилизирующего действия и возможность его обнаружения при количественном разделении светофильтрующего и фотохимического действия.

Институт резиновой промышленности  
Москва

Поступила  
4. V. 1957

### ЛИТЕРАТУРА

- Б. А. Догадкин, Ж. резин. пром-сти, 6, 11, 1931.
- Bondi, Rev. gén. caout., 11, 9, 1934.
- Ю. С. Зуев, А. С. Кузьминский, Старение и утомление каучуков и резин и повышение их стойкости, Сборник, Госхимиздат, стр. 157, 1955.

4. Ю. С. Зуев, Тр. НИИРП, сб. 5, Госхимиздат, 1958.
5. Ю. С. Зуев, А. С. Кузьминский, Докл. АН СССР, 90, № 6, 1953.
6. Ю. С. Зуев, А. Ф. Постовская, А. С. Кузьминский, Тр. НИИРП, сб. 3, Госхимиздат, 1956.
7. Н. Н. Лежнев, Ю. С. Зуев, Тр. НИИРП, сб. 2, Госхимиздат, 1955.
8. Ю. С. Зуев, А. С. Кузьминский, Коллоидн. ж., 13, 436, 1951.
9. А. С. Кузьминский, Н. Н. Лежнев, Ю. С. Зуев, Окисление каучука и резин, Госхимиздат, 1957, стр. 142.

---

## ON THE SEPARATION OF THE PHOTOCHEMICAL AND LIGHT FILTERING EFFECTS AND ON LATENT PHOTSENSITIZATION

*Yu. S. Zuev*

### S u m m a r y

A method has been proposed for quantitatively separating the light filtering and photochemical action of additions to polymers on irradiating the system with monochromatic light. The existence of the phenomenon of latent sensitization has been demonstrated and it has been shown capable of detection with the aid of the proposed method. The method may be used to establish clear relationship between the structure of compounds and photochemical activity in various systems.

---

## ПРЕВРАЩЕНИЕ МЕТАНА В АЦЕТИЛЕН В ВЫСОКОВОЛЬТНОЙ ДУГЕ\*

## I. ВЛИЯНИЕ ДАВЛЕНИЯ

*Е. Н. Еремин, Н. И. Кобозев и Б. Г. Людковская*

Реакция превращения метана в ацетилен при высоких температурах и в электрических разрядах имеет большое практическое значение, в связи с чем, по-видимому, ей было уделено значительное внимание исследователей. С практической и теоретической точек зрения наиболее существенными из возникавших при этих исследованиях вопросов является влияние на материальные и энергетические выходы ацетилена таких факторов, как давление, сила тока разряда и состав исходного газа. При этом в последнем случае подразумевается главным образом влияние одорода как разбавителя, во-первых, наиболее доступного и, во-вторых, естественно образующегося в ходе самой реакции. Влияние первых двух факторов, т. е. давления, силы тока, непосредственно связано с характером действия на метан различных форм электрического разряда, т. е. первую очередь тихого, тлеющего и дуги. В связи с этим на основании более ранних работ [1—3] можно сделать вывод, что тихий разряд, типа разряда в озонаторе Сименса, совсем неэффективен в отношении образования ацетилена. В тлеющем разряде при низких давлениях (2—5 мм (т. ст.) и силах тока 75—220 мА образуются жидкие углеводороды, например бензол, а ацетилен появляется лишь в очень малых количествах. При более высоких давлениях (40—50 мм) и малых силах тока в продуктах реакции появляются этан, пропан и этилен. В отношении образования ацетилена тлеющий разряд становится сравнительно эффективным при повышенных силах тока. Д. К. Коллер [4], работая с тлеющим разрядом, нашел оптимальное давление, равное 90—100 мм при силе тока 100 мА. В более позднее время малая эффективность разряда при низких давлениях и малых силах тока отмечена в работах Е. Н. Еремина, М. З. Альтшуллера, З. И. Кирьяшкиной и В. В. Игоница [5], а также А. Б. Ценципер [6].

Таким образом, обсуждая влияние давления и силы тока на эффективность разряда на реакцию образования ацетилена из метана, следует различать влияние этих величин, с одной стороны, на форму разряда, а с другой — их влияние на ход реакции в пределах данной формы. В наиболее полных и систематических работах раннего периода, выполненных Н. П. Бойко с сотрудниками [7—9], было показано, что наиболее эффективным разрядом является высоковольтная дуга с холодными электродами. Именно с этой формой разряда Н. П. Бойко получил лучшие из опубликованных в широкой печати показателей процесса, выражающиеся концентрацией ацетилена в продуктах реакции 17,1% (по объему) при расходе энергии 13,7 кет-ч/м<sup>3</sup> C<sub>2</sub>H<sub>2</sub>. Эти показатели получены при давлении 35 мм, т. е. значительно более низком, чем упомянутое ранее «оптимальное» давление Коллера. Поэтому целесообразно обсуждать влияние перечисленных факторов на ход реакции образования

\* Экспериментальные данные получены в Государственном институте азотной промышленности.

ацетилен из метана, ограничиваясь проведением ее в высоковольтном дуге.

В работе Е. Н. Еремина [10, 16], изучавшего процесс в высоковольтной дуге переменного тока на укрупненной установке при давлении от 40 до 150 мм в широком, по сравнению с прежними, интервале изменения силы тока (от 0,5 до 5,5 А), было показано, что сила тока сама по себе никакой роли не играет, и ход реакции (т. е. концентрация ацетилена, общее превращение метана и т. д.) полностью определяется значением удельной энергии \*. Это позволяет исключить влияние силы тока из дальнейшего рассмотрения.

Влияние давления подробно изучалось, во-первых, в цитированных работах Божко. Н. П. Божко и И. А. Косякова [8] пользуются понятием «предельной концентрации ацетилена», означающим концентрацию ацетилена в продуктах реакции, при которой зависимость «%  $C_2H_2$  — мощность разряда» теряет линейный характер и изгибается в сторону оси абсцисс. Концентрации ацетилена выше «предельной» могут быть получены, но это сопровождается существенным увеличением расхода энергии. Авторы дают для зависимости предельной концентрации от давления выражение

$$[C_2H_2]_{\text{пред}} = \frac{A}{\sqrt{P}},$$

где, если  $[C_2H_2]$  выражено в объемных процентах, а  $P$  — в мм рт. ст. постоянная  $A$  равна 110. Таким образом «предельные» концентрации ацетилена при давлениях 35, 100 и 760 мм должны быть соответственно равны 18,6; 11 и 4%. Как мы увидим, с количественной стороны это соотношение не отражает действительного положения вещей, однако с качественной точки зрения выражаемая им тенденция, по-видимому, правильна.

В работе [5] влияние давления изучалось в статической системе, причем при давлениях 35, 100 и 150 мм были получены максимальные концентрации ацетилена, соответственно равные 17,7; 14,8 и 12,4%. Эти числа свидетельствуют о том, что в сложной совокупности процессов образования и разложения ацетилена в условиях многократной циркуляции газа через разряд отношение скоростей первого процесса к скорости второго увеличивается с понижением давления. Приближенная количественная оценка этого отношения дала для указанных давлений значения 48,4; 25,2 и 16,7. Таким образом ясна одна из причин ухудшения практически достижимых выходов ацетилена — при повышении давления уменьшается устойчивость ацетилена и увеличиваются трудности обеспечения условий его сохранения. Эти условия не были соблюдены в возможной мере и при ранее упоминавшейся работе [10] с укрупненной установкой, что делало практически невозможным ведение процесса уже при давлении 150 мм и больших силах тока. Тем не менее, в этой работе из опытов при низких давлениях во всем использованном интервале сил тока (от 0,5 до 5,5 А) и опытов при более высоких давлениях с малой силой тока (0,5 А) был сделан вывод об отсутствии значительного влияния давления (от 40 до 150 мм) на общую скорость превращения метана и выходы ацетилена.

Таким образом вопрос о влиянии давления на скорость превращения метана и максимально достижимые выходы ацетилена в дуге не мог считаться выясненным. В особенности же это касается давлений порядка

\* Понятие «удельная энергия» ( $U/v$ ) — отношение мощности разряда к часовому расходу газа при нормальных условиях, введено в изучение кинетики реакции в электрических разрядах С. С. Васильевым, Н. И. Кобозевым и Е. Н. Ереминым [11]. По названию «параметр  $q$ » оно применялось также Д. К. Коллером [4]. О физическом смысле удельной энергии и ее влиянии на степень превращения метана см. также статью Е. Н. Еремина [16].



атмосферного и выше, когда дуга при больших силах тока приближается к свойствам к «горячему упругому стержню» [12], проникновение газа, который весьма сильно затруднено. Поэтому, если не приняты специальные меры, большая часть газа может не попадать в зону разряда, что внешне скажется на снижении скорости общего превращения метана.

В связи с обсуждаемым вопросом представляет интерес остановиться на влиянии давления на реакцию при проведении ее не термическим путем, скажем, в трубке с внешним обогревом, а более что в дуге при атмосферном давлении реакция также, вероятно, идет термическим путем. Кинетическая обработка результатов Руддера и Бидермана [13], выполненная авторами [14] в ходе работы, привела к заключению о двенадцатикратном ускорении общего превращения метана при снижении давления от 60 до 88 мм (1500°).

В настоящем сообщении приводятся некоторые результаты, полученные при проведении реакции в высоковольтной дуге переменного тока при различных давлениях, а именно, от 70 мм до атмосферного, несколько превышающих атмосферное.

В работе был использован реакционный сосуд, конструкция которого схематически представлена на рис. 1. Газ вводится в шарообразную часть реактора 1 по трем тангенциально расположенным трубкам из общего распределительного кольца 17; вследствие этого газ получает быстрое вращательное движение, продолжающееся в канале нижнего электрода 3. Разряд переменного тока, образующийся между верхним высоковольтным электродом 2 и нижним заземленным, втягивается вихревым потоком газа в канал нижнего электрода, где в основном и протекает реакция. Описанная конструкция реактора обеспечивает условия, соблюдение которых необходимо для успешного проведения процесса превращения метана в ацетилен при давлениях порядка атмосферного. А именно: 1) принудительный ввод углеводорода в зону разряда; 2) достаточную глубину превращения метана за один проход через зону реакции при времени контакта порядка 0,001 сек.; 3) отсутствие циркуляции продуктов реакции в объеме реактора и быстрый вывод их из реактора; 4) удаление из реактора, вместе с газообразными продуктами реакции, сажи, образующейся при реакции.

В примененной конструкции канал нижнего электрода, охлаждаемый снаружи проточной водой, имел диаметр 5 мм и длину 157 мм, что при общем расходе метана 100 л/час и температуре газа 2000° абс. соответствует времени пребывания газа в канале около 0,002 сек.

Дальнейшим условием устойчивого и длительного ведения процесса является борьба с образованием угольных наростов на электродах реактора, осуществлявшаяся в данной работе путем смачивания электродов водой. Для этой цели в канал верхнего электрода и углубление в торце нижнего электрода вводилась в течение опыта вода из капельных воронок 7 и 8 (рис. 2, а). На верхний электрод вода подавалась в количестве 0,4 мл/сек, а на нижний — 3,0 мл/сек. При пониженных давлениях опыты проводились без смачивания электродов.

Общая схема установки приведена на рис. 2, а и понятна без дальнейших пояснений. В опытах при пониженных давлениях установку дополняли форвакуумным насосом, подключавшимся после газовой пипетки 11. На рис. 2, б показана схема электрической части установки. Анализ как исходного саратовского газа, так и продуктов

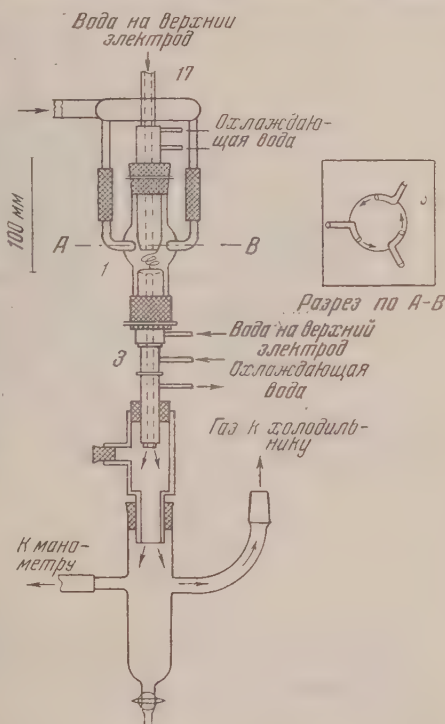
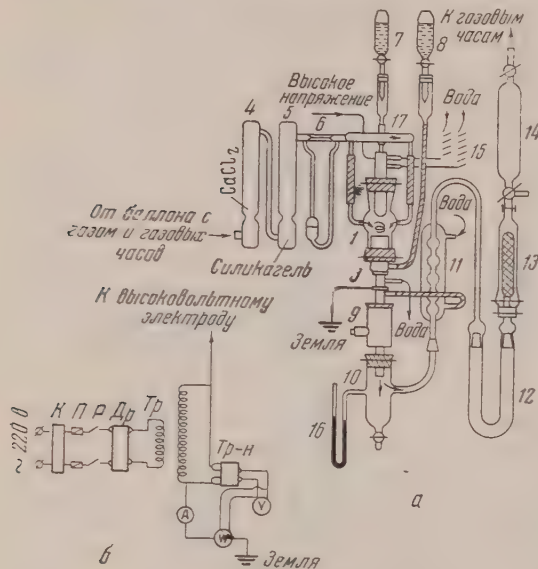


Рис. 1. Реактор. 1 — кварцевый сосуд; 2 и 3 — электроды, 17 — распределительное кольцо

реакции выполняли обычным способом при помощи газоанализатора ВТИ, при ацетилен поглощали раствором 20 г цианистого окиси ртути в 100 мл 2 N раств NaOH, а этилен —  $\text{H}_2\text{SO}_4$  удельного веса 1,84, активированной добавкой 1—1,  $\text{Ag}_2\text{SO}_4$ . Кроме того, определяли  $\text{CO}_2$  (+ HCN), CO,  $\text{O}_2$ ,  $\text{CH}_4$ . Из результатов ана-



Опыты по электрокрекингу концентрированного метана при атмосферном давлении,  $P_{\text{общ}} = 750-785$  мм рт. ст.

№ опыта	Скорость протекания газа в исходном газе, % СН <sub>4</sub> , (°С, 760 мм), г, л/час	Содержание метана в исходном газе, % СН <sub>4</sub>	Электрические параметры разряда				Расширение β	Состав конечного газа по основным компонентам (% 1.0 объему)					Показатели процесса			
			Сила тока I, А	Напряжение, В, Е, V	Мощность U, ватт	Удельная энергия $\frac{U}{V}$ , вт-ч/л		C <sub>2</sub> H <sub>2</sub>	C <sub>2</sub> H <sub>4</sub>	H <sub>2</sub>	СН <sub>4</sub>	СО	Общий крекинг Δ, %	Полезный крекинг σ, %	Превращение до СО р, %	Расход энергии на мет-ацет, л/г C <sub>2</sub> H <sub>2</sub>
	285	96,7	0,405	2100	0,595	2,09	1,50	5,60	0,5	39,1	44,8	5,8	30,5	62,0	9,0	24,8
361	575	93,0	1,00	2140	1,50	2,61	1,41	10,2	1,2	41,9	39,5	0,4	40,2	86,0	0,6	18,0
377	543	93,0	1,00	2100	1,47	2,71	1,40	10,4	0,8	46,2	38,0	1,0	42,6	79,4	1,5	18,4
379	637	93,0	1,50	1800	1,89	2,97	1,38	11,1	1,1	44,5	39,1	0,5	41,7	86,7	0,7	18,4
383	1045	97,0	2,50	1880	3,29	3,15	1,49	11,7	0,8	50,7	33,6	0,7	48,5	79,0	1,1	18,0
442	786	97,0	2,50	1500	2,62	3,33	1,49	12,0	0,9	51,2	32,7	0,6	49,5	80,7	0,9	18,6
436	750	97,0	2,50	1480	2,59	3,45	1,48	11,8	0,9	50,9	33,6	0,5	48,8	79,5	0,8	19,8
437	573	94,3	2,00	1460	2,04	3,56	1,45	11,8	1,3	50,3	33,4	0,7	48,4	83,5	1,1	19,2
396	707	94,3	2,00	1880	2,63	3,72	1,49	12,5	1,3	53,0	29,9	0,6	52,8	83,1	0,7	19,9
401	613	94,3	2,50	1360	2,38	3,88	1,55	11,7	0,8	51,4	30,3	2,5	50,2	81,9	4,1	21,4
389	837	97,0	2,50	1640	3,36	4,01	1,52	12,1	1,4	54,4	29,2	0,6	54,2	78,5	0,9	21,8
445	885	97,0	2,60	1820	3,72	4,20	1,53	12,2	0,6	53,7	30,4	0,5	52,2	77,2	0,8	22,5



Опыты по электрокрекингу концентрата этилена при пониженных давлениях

Таблица 2

№ опытов	Давление $P$ , мм рт. ст.	Скорость протока газа $v$ , л/час	Содержан. метана в исходном газе, % $\text{CH}_4$	Электрические параметры разряда				Расширение $\beta$	Состав конечного газа по основным компонентам (% по объему)				Показатели процесса		
				Сила тока $I$ , А	Напряжение $E$ , В	Мощность $U$ , кет	Удельная энергия $\frac{U}{v}$ , $\text{см}^2\text{-ч/л}$		$\text{C}_2\text{H}_2$	$\text{C}_2\text{H}_4$	$\text{H}_2$	$\text{CH}_4$	Общий крекинг $\Delta$ , %	Полезный крекинг $\sigma$ , %	Расход энергии $\alpha$ , $\frac{\text{квт-ч}}{\text{кг-ч}}$ , $\frac{\text{л}}{\text{л}^3}$
496	435	945	91,1	2,50	1480	3,00	3,17	1,41	11,3	0,6	49,1	34,5	46,4	80,0	19,8
494	400	845	91,1	2,50	1400	2,82	3,34	1,45	12,1	0,7	50,2	31,7	49,5	82,3	18,9
486	449	739	91,1	2,25	1700	2,68	3,62	1,51	12,7	0,7	53,2	27,5	54,4	81,5	18,9
487	349	685	91,1	2,50	1440	2,52	3,82	1,48	13,1	0,7	53,3	28,2	54,0	83,4	18,9
492	235	373	91,1	2,50	904	1,32	3,54	1,62	15,4	0,7	62,1	17,6	68,6	83,1	14,2
490	265	484	91,1	2,50	1080	1,86	3,84	1,60	15,0	0,7	62,0	18,5	67,5	81,7	16,1
491	247	434	91,1	2,50	1020	1,74	4,01	1,64	16,1	0,8	61,4	16,7	69,8	87,4	15,1
493	249	396	91,1	2,50	1000	1,62	4,09	1,66	15,2	0,7	62,1	16,1	67,5	86,1	16,2
497	223	346	91,1	2,50	992	1,56	4,51	1,63	15,4	0,8	64,0	16,0	71,1	81,5	17,9
504	144	646	89,7	4,50	692	2,19	3,39	1,55	14,9	1,3	56,0	21,5	62,7	89,0	14,6
505	153	601	89,7	4,50	680	2,28	3,79	1,53	15,5	0,9	57,8	21,4	63,5	88,4	15,9
510	153	519	89,7	4,50	700	2,22	4,28	1,54	16,8	0,9	62,1	17,3	68,4	89,0	16,5
511	133	438	89,7	4,50	680	1,92	4,38	1,58	17,0	0,8	63,1	16,1	71,6	87,8	16,2
507	147	561	89,7	4,50	740	2,58	4,60	1,57	16,0	1,1	58,4	18,9	66,7	90,0	18,2
518	97	541	94,8	2,50	740	1,02	1,88	1,51	13,1	1,5	48,2	31,0	50,6	91,6	9,6
519	97	420	94,8	2,50	652	0,90	2,14	1,50	13,3	0,9	53,7	29,0	54,1	79,2	10,7
520	79	363	94,8	2,50	648	0,90	2,48	1,54	14,6	1,0	55,7	25,7	58,1	87,1	11,0
523	72	321	94,8	2,50	608	0,90	2,80	1,60	14,9	1,3	62,4	19,3	67,4	81,7	11,7
524	72	285	94,8	2,50	624	0,90	3,16	1,65	16,3	1,0	62,3	17,3	69,8	86,3	11,6
525	68	238	94,8	2,50	620	0,84	3,53	1,70	16,6	0,7	63,7	15,2	73,0	84,6	11,2

идею превращения метана и выходы ацетилена при наименьших из использованных в этой работе давлениях, т. е. при 70—100 мм рт. ст. В этом случае при  $U/v \approx 3,5$  процент ацетилена в газе достигает 16,6, общий крекинг — 0,73 при значительно более низком расходе энергии, а именно, 11,2 квт-ч/м<sup>3</sup> C<sub>2</sub>H<sub>2</sub> (пыт № 525, табл. 2). Мы полагаем, что этот результат лучше доминировавшего ранее результата

П. Божко, так как достигнут и вдвое большем давлении (3 мм вместо 35), причем полученные почти равной концентрации ацетилена (16,6 вместо 17,1) связано с затратой меньшей энергии (1,2 вместо 13,7 квт-ч/м<sup>3</sup> C<sub>2</sub>H<sub>2</sub>). Весьма существенно, далее, что при давлении 70—100 мм рт. ст. ограничиться содержанием в конечном газе 12—13% ацетилена, т. е. концентрацией, максимально достижимой при атмосферном давлении, то расход энергии снижается приблизительно вдвое, до 9,6 вместо 18—20 квт-ч/м<sup>3</sup> C<sub>2</sub>H<sub>2</sub>, затрачиваемых для получения тех же концентраций при атмосферном давлении.

Приведенные данные показывают также несоответствие упоминавшегося ранее правила «предельных концентраций» Н. П. Божко экспериментальным данным. Так, например, по Н. П. Божко «предельная» концентрация при атмосферном давлении равна всего 4%. Однако, как видно из рис. 3, б и в, минимальный расход энергии отвечает концентрации ацетилена около 12%, т. е. величине, в три раза превышающей указанную «предельную».

Итак, ведение процесса превращения метана в ацетилен при пониженных давлениях более выгодно как с энергетической точки зрения, так и с точки зрения дальнейшего разделения или иного использования продуктов реакции, содержащих ацетилен в более высокой концентрации.

Представляет интерес рассмотреть полученные результаты с кинетической точки зрения. Как было показано ранее [15, 11], превращение метана при действии высокой температуры, а также и в разряде удовлетворительно описывается следующей формально-кинетической схемой\*:

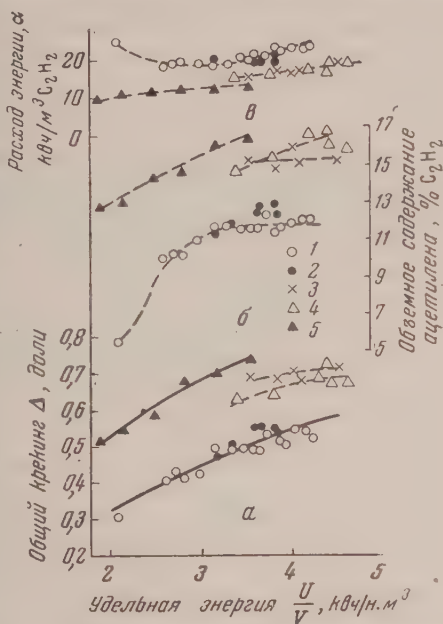
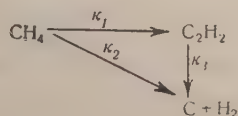


Рис. 3. Зависимость от удельной энергии: а — общего крекинга, б — концентрации ацетилена в конечном газе и в — расхода энергии для разных давлений. 1 — давление  $\sim 1$  атм, сила тока 0,4—2,5 А; 2 — давление 435—337 мм, сила тока 2,5 А; 3 — давление 300—295 мм, сила тока 2,5 А; 4 — давление  $\sim 150$  мм, сила тока 4,5 А; 5 — давление 100—70 мм, сила тока 2,5 А

\* Более подробно применимость этой схемы рассмотрена в других работах. В данной работе для полного суждения о ее применимости экспериментальных данных недостаточно.

Однако применявшийся прежде способ написания уравнений привод для реакций в разряде к выводу о том, что кинетические константы являются функцией мощности и что более постоянным оказывается отношение констант к мощности разряда [6, 10].

Как показано Е. Н. Ереминым [16], более детальное рассмотрение возникающих здесь соотношений позволяет выразить общую степень превращения метана (общий крекинг —  $\Delta$ ) в виде функции удельной энергии:

$$\Delta = 1 - e^{-(k_1+k_2)U/N_0}, \quad (1)$$

где  $U$  — мощность разряда, а  $N_0$  — количество метана (в молях или других единицах), поступающее в зону реакции в единицу времени. Если  $U$  заменить объемным расходом метана в единицу времени  $v$ , приведенным к нормальным условиям, формула (1) перепишется в виде:

$$\Delta = 1 - e^{-(k_1+k_2)U/v}. \quad (2)$$

При этом величина  $U/v$  совпадает по размерности с ранее упоминавшейся удельной энергией и выражается в  $вт\cdot ч/л$  или  $квт\cdot ч/м^3$ . Физический смысл и размерность кинетических констант ясны из соотношения (1) — это количество метана, реагирующее на единицу затраченной энергии при  $\Delta = 0$ . Иными словами, эти константы являются мерой энергетической эффективности химического действия разряда.

На рис. 3, а кривые 1 (для атмосферного давления) и 5 (для давления 70—100 мм) построены по формуле (2) с соответственными значениями суммы констант  $k_1 + k_2$ , равными 0,196 и 0,373  $м^3/квт\cdot ч^*$ . Видно, что рассчитанные кривые вполне удовлетворительно описывают экспериментальные данные, и что сумма констант или энергетическая эффективность разряда для пониженного давления почти вдвое больше по сравнению с атмосферным явлением. Следовательно, и с этой точки зрения очевидна значительная (приблизительно в два раза) активация метана при указанном понижении давления.

Как уже упоминалось, подобное же явление имеет место и при чисто термическом проведении реакции при высоких температурах. Это, несомненно, указывает на общность механизмов превращения метана в высоковольтной дуге и при высокотемпературном пиролизе. Предполагая вернуться к этому механизму в специальной статье, укажем здесь, что понижение давления может способствовать более успешному использованию радикалов и атомов, возникающих при первичном распаде метана по схеме:



в общем цепном превращении метана. Повышение давления ускоряет процесс обратной рекомбинации.

В заключение следует указать, что абсолютные значения расходов энергии, полученные в настоящей работе, не следует рассматривать в качестве предельно достижимых. Они получены в аппарате весьма малого объема и малой производительности. Так, объем канала нижнего электрода, охлаждаемого снаружи водой и являющегося основной зоной реакции, составляет всего около 3 мл. В этом объеме развивалась мощность, достигавшая нескольких (почти четырех в опыте № 444 табл. 1) киловатт. Конечно, непроизводительные потери энергии в этих условиях весьма значительны. Они, несомненно, могут быть снижены при переходе

\* В работах [10, 16] с укрупненной установкой, т. е. с аппаратурой, резко отличающейся от описанной в настоящей статье, было получено для давлений 40—150 мм значение  $k_1 + k_2$ , равное 0,343  $м^3/квт\cdot ч$ . Такое близкое совпадение энергетических эффективностей указывает, что сумма  $k_1 + k_2$  действительно может рассматриваться в качестве постоянной, характеризующей процесс в разряде при данных физико-химических условиях (давление, высоковольтная дуга).

аппаратам больших размеров и производительности. Поэтому приво-  
дятся здесь значения расходов энергии следует рассматривать как отно-  
сительные. В то же время нет оснований ожидать существенного измене-  
ния других показателей ( $\Delta U \% \text{ C}_2\text{H}_2$ ) при переходе к аппаратуре  
большого масштаба.

### Выводы

1. В реакторе особой конструкции изучалась реакция превращения  
метана в ацетилен в высоковольтной дуге переменного тока при давле-  
ниях 0,1—1 атм.
2. Показано, что уменьшение давления в указанных пределах резко  
активирует реакцию. Активация выражается в увеличении при равных  
удельных энергиях степени общего превращения метана и концентрации  
ацетилена, а также в снижении расхода энергии.
3. При помощи предложенного ранее [16] метода кинетической обра-  
ботки результатов показано, что при уменьшении давления от атмосфер-  
ного до 70—100 мм энергетическая эффективность высоковольтной дуги  
отношении изучаемой реакции возрастает в два раза.

Московский государственный университет  
им. М. В. Ломоносова

Поступила  
4. V. 1957

### ЛИТЕРАТУРА

1. F. Fischer u K. Peters, Brennstoffchemie, 10 (6), 108, 1929.
2. K. Peters u A. Pranscike, Brennstoffchemie, 11 (12), 239, 1930.
3. K. Peters u O. Wagner, Z. physik. Chemie, A, 153, 161, 1931.
4. Д. К. Коллер, Химия твердого топлива, 7, 803, 1936.
5. Е. Н. Еремин, М. З. Альтшуллер, З. И. Кирьяшкина и В. В.  
Иголин, Ж. прикл. химии, 20, 5, 1947.
6. А. Б. Ценципер, Диссертация, Москва, 1954.
7. Н. П. Божко и Д. Л. Оршанский, Химия твердого топлива, 7, 59, 1936.
8. Н. П. Божко и И. А. Косякова, Ж. прикл. химии, 11, 48, 1938.
9. Н. П. Божко, Сборник к 20-летию ГИПХ, 306, 1939.
10. Е. Н. Еремин, Докт. диссертация, раздел 1, Москва, 1950. Химическая про-  
мышленность, № 2, 1958.
11. С. С. Васильев, Н. И. Кобозев и Е. Н. Еремин, Ж. физ. химии,  
7, 619, 1936.
12. А. Энгель и М. Штенбек, Физика и техника электрического разряда в га-  
зах, 2, 167, ОНТИ, М.—Л., 1935.
13. Rudder et Biedermann, Bull. Soc. Chim., 47, 704, 1930.
14. Н. И. Кобозев и Е. Н. Еремин, ДАН СССР, 33, 223, 1941.
15. Н. И. Кобозев, Л. И. Каштанов и С. М. Кобрин, Ж. общ. химии,  
5, 143, 1934.
16. Е. Н. Еремин, Ж. физ. химии (принята к печати).

## THE CONVERSION OF METHANE TO ACETYLENE IN THE HIGH VOLTAGE ARC

### I. THE EFFECT OF PRESSURE

E. N. Eremin, N. I. Kobozev and B. G. Ludkovskaya

#### Summary

The conversion of methane to acetylene in an alternating current high voltage arc  
has been studied at pressures 0.1—1.0 atm in an especially designed reactor. It has  
been shown that within the above range decrease in pressure sharply activates the reac-  
tion. The activation at equal specific power consumption is manifested in an increase  
in the over-all conversion of methane and in the concentration of acetylene, as well as  
in the decrease in over-all power consumption. With the aid of the previously suggested  
kinetic method of data treatment it has been shown that on lowering the pressure from  
atmospheric to 70—100 mm the power effectivity of the high voltage arc with  
reference to the reaction increases twofold.



# АКТИВИРУЮЩЕЕ ВЛИЯНИЕ СУЛЬФАТА КОБАЛЬТА НА КАТАЛИЗ Н<sub>2</sub>O<sub>2</sub> ХРОМАТАМИ НАТРИЯ

Г. Л. Петрова и Г. А. Богданов

Известно, что соли хрома оказывают каталитическое действие на распад Н<sub>2</sub>O<sub>2</sub> [1].

Каталитическая активность солей хрома возрастает в присутствии солей элементов подгруппы железа.

В предыдущих наших статьях [2, 3] приведены результаты исследования каталитического разложения перекиси водорода одним хроматом натрия и при сопряженном его действии с сульфатом никеля.

В данной работе было изучено активирующее действие сульфата кобальта на катализ перекиси водорода в кислой среде хроматом натрия, и для сравнения проведены некоторые наблюдения активирующего влияния сульфата железа.

## Экспериментальная часть

Методика проведения кинетических опытов была описана ранее [2, 3].

Каталитический распад Н<sub>2</sub>O<sub>2</sub> при совместном действии солей хрома и кобальта является гомогенным. Реакционную смесь окрашена в начале процесса в коричнево-фиолетовый цвет, затем, по мере уменьшения концентрации перекиси водорода, вследствие ее разложения, интенсивность коричнево-фиолетового окрашивания ослабевает, цвет переходит в желто-розовый.

Таблица 1

Температура, °C	$\frac{v_{Cr+Ni}}{v_{Cr}}$	$\frac{v_{Cr+Co}}{v_{Cr}}$
15	1,3	1,8
25	1,2	1,2
35	1,5	2,6
45	1,9	4,1
55	2,0	6,8

При проведении опытов растворы катализаторов вводились в реакционную смесь последовательно: сначала CoSO<sub>4</sub>, затем, после установления температурного равновесия, Na<sub>2</sub>CrO<sub>4</sub>.

Во всех случаях объем реакционной смеси равнялся 24 мл, из которых — 20 мл раствора Н<sub>2</sub>O<sub>2</sub> и по 2 мл каждого из растворов катализаторов.

Результаты опытов представлены на рисунках.

На рис. 1 представлены результаты исследования относительной каталитической активности одного хромата натрия и совместного присутствия его с солями элементов подгруппы железа.

Кривые 1, 2, 3, 4, 5, изображенные сплошными линиями, иллюстрируют действие одного хромата натрия при температурах, соответственно равных 15, 25, 35, 45 и 55°.

Кривые 1', 2', 3', 4', 5', представленные пунктиром, отображают совместное влияние двух катализаторов Na<sub>2</sub>CrO<sub>4</sub> + NiSO<sub>4</sub>; кривые 1'', 2'', 3'', 4'', 5'', отмеченные точками, отвечают сопряженному действию Na<sub>2</sub>CrO<sub>4</sub> + CoSO<sub>4</sub> при тех же температурах.

Все опыты выполнены при следующих условиях:  $c_{H_2O_2} = 0,16$  M;  $c_{H_2SO_4} = 0,00125$  M;  $c_{Cr} = 0,005$  M;  $c_{Ni} = 0,01$  M;  $c_{Co} = 0,01$  M.

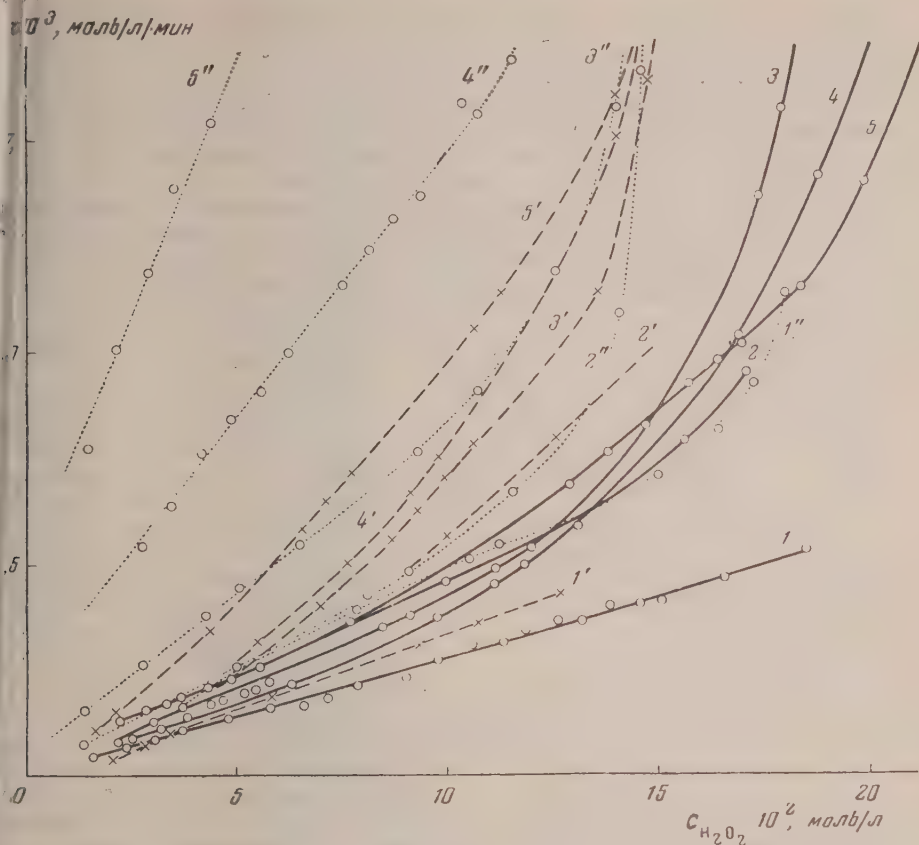


Рис.1

В табл. 1 сравниваются относительные средние скорости распада перекиси водорода под влиянием вышеуказанных катализаторов; скорость распада  $\text{H}_2\text{O}_2$  при действии одного хромата натрия условно принята за единицу.

Анализ кривых и данные таблицы позволяют сделать следующие выводы.

1. Кинетика каталитического разложения перекиси водорода одним хроматом натрия имеет некоторое сходство с кинетикой катализа  $\text{H}_2\text{O}_2$  в присутствии  $\text{Na}_2\text{CrO}_4$  и солей никеля или кобальта.

2. Скорость распада перекиси водорода возрастает от прибавления к хромату натрия в качестве активатора сульфата никеля или кобальта, причем наибольшее каталитическое действие оказывает присутствие соли кобальта.

3. Чем выше температура, тем больше разница в каталитическом влиянии одним хроматом натрия и при сопряженном его действии с солями никеля и кобальта, т. е.

$$d \frac{v_{\text{Cr}+\text{Ni}}}{v_{\text{Cr}}} \Big| dT > 0 \text{ и } d \frac{v_{\text{Cr}+\text{Co}}}{v_{\text{Cr}}} \Big| dT > 0.$$

Особенно наибольшее активирующее влияние соли кобальта проявляется при 45 и 55°. Напротив, при 25° промотирующее влияние солей никеля и кобальта одинаково и является наименьшим.

Еще большее каталитическое действие на распад перекиси водорода оказывают соли железа, которые сами по себе, отдельно взятые, катали-

зируют распад  $\text{H}_2\text{O}_2$  \*. Таким образом, активирующее действие солей элементов подгруппы железа возрастает с уменьшением номера элемента в системе Д. И. Менделеева.

Как и в прежних работах, первая серия опытов была посвящена изучению влияния начальной концентрации субстрата на скорость катализа.

Начальная концентрация перекиси водорода изменялась в пределах от 0,08 до 0,40 М, опыты проведены при  $c_{\text{H}^+} = 0,00125$  М и  $15^\circ$ .

Эта серия опытов привела к выводу, что кинетическое течение процесса распада перекиси водорода почти не зависит от исходной концентрации субстрата: кривые, полученные с разными концентрациями  $\text{H}_2\text{O}_2$  практически накладываются друг на друга, лучшее совпадение кривых наблюдается в области малых концентраций перекиси водорода.

Установленная закономерность указывает на то, что промежуточные соединения образуются мгновенно и обратимо.

Влияние концентрации  $\text{CoSO}_4$  на скорость катализа. По данным имеющимся в литературе, соли кобальта, а именно:  $\text{CoSO}_4$  концентрации 0,02 М и  $\text{Co}(\text{C}_2\text{H}_3\text{O}_2)_2$  концентрации 0,005—0,05 М в условно нейтральной среде катализируют распад перекиси водорода; наибольшей каталитической способностью обладает уксуснокислый кобальт [4].

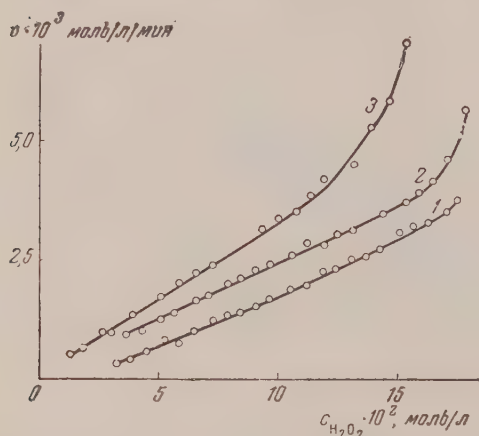


Рис. 2

Робертсон изучал ускоряющее действие хлорида кобальта на распад  $\text{H}_2\text{O}_2$  бихроматом калия. Автор установил, что активация является логарифмической функцией от количества прибавленного  $\text{CoCl}_2$  [5].

Наши опыты, проведенные в кислой среде с одним сульфатом кобальта в условиях:  $c_{\text{H}_2\text{O}_2} = 0,17$  М;  $c_{\text{H}_2\text{SO}_4} = 0,00125$  М;  $c_{\text{CoSO}_4} = 0,03$  М, показали, что при  $25^\circ$  за 25 мин. выделилось только 0,5 мл кислорода, при  $35^\circ$  за 11 мин. выделился 1 мл  $\text{O}_2$ , а при  $45^\circ$  1 мл кислорода выделяется за 6 мин.

Таким образом, в указанных условиях один сульфат кобальта проявляет небольшую каталитическую активность в отношении перекиси водорода; реакционная смесь — розового цвета и гомогенна. С ростом температуры каталитическое влияние возрастает.

На рис. 2 приведены результаты опытов с различными концентрациями сульфата кобальта при  $15^\circ$ ;  $c_{\text{H}^+} = 0,005$  М;  $c_{\text{H}_2\text{SO}_4} = 0,00125$  М и  $c_{\text{H}_2\text{O}_2} = 0,18$  М.

Кривым 1, 2, 3 соответствуют концентрации кобальта: 0,005, 0,01 и 0,03 М.

Из рисунка видно, что распад  $\text{H}_2\text{O}_2$  при любой концентрации соли кобальта на значительном протяжении идет приблизительно по уравнению первого порядка.

При увеличении концентрации соли кобальта в два раза от 0,005 до 0,01 М скорость катализа перекиси водорода возрастает приблизительно в 1,6 раза.

Дальнейшее увеличение концентрации сульфата кобальта до 0,03 М меньше сказывается на скорости каталитического разложения  $\text{H}_2\text{O}_2$ ;

\* Кинетические кривые, изображающие распад  $\text{H}_2\text{O}_2$  под влиянием солей железа, не представлены.

увеличении концентрации  $\text{CoSO}_4$  в 6 раз скорость катализа увеличится в 2,2 раза; следовательно, прямой пропорциональности между концентрацией катализатора и скоростью реакции не сохраняется.

Количественное влияние концентраций соли никеля и кобальта различно: изменение концентрации соли никеля в 10 раз увеличивает скорость процесса распада  $\text{H}_2\text{O}_2$  всего лишь в 1,2 раза [3].

Влияние концентрации ионов  $\text{H}^+$  на процесс катализа. Величина pH оказывает сильное и своеобразное влияние на скорость течения каталитических процессов [6].

При изменении концентрации ионов водорода активность катализаторов изменяется.

Влияние концентрации кисты при сопряженном действии бромата натрия и сульфата кобальта иллюстрируется рис. 3.

Поставленные с этой целью опыты выполнены при  $15^\circ$  и  $c_{\text{H}_2\text{O}_2} = 0,17 \text{ M}$ ;  $c_{\text{Cr}} = 0,005 \text{ M}$ ;  $c_{\text{Co}} = 0,01 \text{ M}$ .

Для создания кислой среды применялась серная кислота, концентрация варьировалась от  $6,25 \cdot 10^{-4}$  до  $50,00 \cdot 10^{-4} \text{ M}$ , т. е. изменялась в 8 раз.

Кинетические кривые 1, 2,

4 отвечают концентрациям  $\text{H}_2\text{SO}_4$ , соответственно равным  $6,25 \cdot 10^{-4}$ ,  $2,50 \cdot 10^{-4}$ ,  $25,00 \cdot 10^{-4}$ ,  $50,00 \cdot 10^{-4} \text{ M}$ .

При любой концентрации ионов  $\text{H}^+$  изучаемый катализ остается гомогенным.

Из приведенного рисунка видно, что для всех концентраций водородных ионов скорость в самом начале реакции падает и кривые имеют резкие переломы в начале опыта, но в отношении последующего хода кривых данный катализ следует различать при  $c_{\text{H}^+} < c_{\text{Cr}}$  и  $c_{\text{H}^+} \geq c_{\text{Cr}}$ .

1. При концентрации ионов  $\text{H}^+$  от  $6,25 \cdot 10^{-4}$  до  $25,00 \cdot 10^{-4} \text{ M}$  наблюдается явное увеличение скорости реакции при уменьшении pH среды. При увеличении концентрации кислоты в два раза скорость увеличивается на всем протяжении реакции в среднем приблизительно в 2 раза.

После резкого падения в начале опыта скорость каталитического распада перекиси водорода далее убывает постепенно по наличной концентрации субстрата по прямой линии, соответствующей приблизительно уравнению первого порядка.

2. При последующем увеличении концентрации серной кислоты  $c_{\text{H}_2\text{SO}_4} = c_{\text{Na}_2\text{CrO}_4} = 0,005 \text{ M}$  скорость катализа  $\text{H}_2\text{O}_2$  после резкого падения в начале реакции постепенно возрастает и затем процесс разложения перекиси водорода протекает приблизительно при постоянной скорости, т. е. наблюдается почти нулевой порядок реакции вплоть до наличной концентрации субстрата  $c_{\text{H}_2\text{O}_2} = 0,045 \text{ M}$ , после чего кривая скорости вдруг сразу поднимается, достигая максимума скорости при  $c_{\text{H}_2\text{O}_2} = 0,019 \text{ M}$ , и вновь резко падает до нуля; перекись водорода оказывается разложенной количественно.

Дальнейшее увеличение концентрации кислоты в условиях  $c_{\text{H}^+} \geq c_{\text{Cr}}$  вызывает уменьшение скорости реакции.

Таким образом, изменение концентрации ионов водорода привело к переходу кинетического течения процесса от реакции первого порядка к более сложной кривой с резко выраженным максимумом скорости в конце реакции.

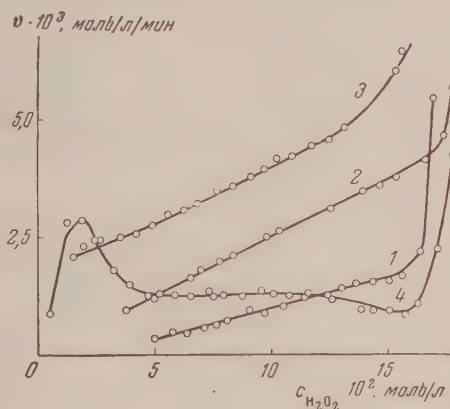


Рис. 3



Такой своеобразный переход течения каталитического процесса в относительно большой концентрации  $\text{H}_2\text{SO}_4$  объясняется образованием надхромовых кислот и их преобладающей ролью в катализе.

Следовательно, изменение концентрации ионов  $\text{H}^+$  сказывается только на абсолютном значении скорости реакции, но также влияет и характер кинетических кривых, поэтому фактор кислотности играет в этой реакции исключительно большую роль.

Влияние температуры на скорость катализа. Эта серия опытов проводилась при постоянных концентрациях:  $\text{C}_{\text{H}_2\text{O}_2} = 0,16 \text{ M}$ ;  $\text{C}_{\text{H}_2\text{SO}_4} = 0,00125 \text{ M}$ ;  $\text{C}_{\text{Cr}} = 0,005 \text{ M}$ ;  $\text{C}_{\text{Co}} = 0,01 \text{ M}$ . Температура изменялась от до  $55^\circ$ .

Общий характер зависимости скорости реакции от температуры иллюстрируется кинетическими кривыми 1, 2, 3, 4, 5 (рис. 4). Кривые получены при разных температурах, отличающихся друг от друга на  $10^\circ$ .

По правилу Вант-Гоффа при увеличении температуры на  $10^\circ$  скорость реакции возрастает 2—4 раза.

Катализ перекиси водорода одним хроматом натрия и при совместном присутствии его сульфатом никеля не подчиняется правилу Вант-Гоффа [2, 3].

При внимательном рассматривании кинетических кривых можно сделать заключение, что при данной паре катализаторов наблюдается то же неподчинение классическому правилу Вант-Гоффа при  $15$  и  $25^\circ$ .

Для всех температур в начале процесса наблюдается падение кривых, затем скорость на протяжении почти всего хода реакции падает приблизительно по прямой линии, соответствующей уравнению первого порядка.

Если опытные данные рис. 4 представить в координатах  $\frac{1}{v}$  и  $\frac{1}{c}$ , то получаются прямые линии независимо от температуры, как это передает рис. 5.

Отсюда следует, что ход кривых подчиняется уравнению:  $\frac{1}{v} = \frac{1}{c} a + b$ .

Для характеристики кинетики данного каталитического процесса были вычислены порядок реакции  $n$ , температурный коэффициент  $\gamma$ , энергия активации  $E$ , константа скорости  $k$ , фактор частоты  $k_0$ , значения величин  $a$  и  $b$ .

Средние данные вычислений сведены в табл. 2.

Таблица 2

Температура, $^\circ\text{C}$	№ кривых	$n$	$\gamma$	$E$ , ккал	$k$ , моль/л/мин	$k_0$ , моль/л/мин	$a$	$b$
15	1	1,06	1,18	2,8	0,0282	$0,38 \cdot 10^1$	40	0
25	2	1,15	1,66	7,4	0,0369	$9,86 \cdot 10^3$	43	-45
35	3	0,90	1,93	11,1	0,0363	$2,72 \cdot 10^6$	21	+20
45	4	1,00	2,02	14,4	0,0768	$6,10 \cdot 10^8$	11	+40
55	5	0,75			0,0959	$3,78 \cdot 10^9$	4	+30

Как видно, порядок реакции остается приблизительно постоянным и процесс распада перекиси водорода следует уравнению первого порядка. Температурный коэффициент  $\gamma$ , энергия активации  $E$ , константа скорости  $k$  и фактор частоты  $k_0$  растут с повышением температуры.

Строго говоря, значения  $n$ ,  $\gamma$  и  $E$  не сохраняют постоянство при изменении концентрации  $\text{H}_2\text{O}_2$ : в начале реакции, в области относительно

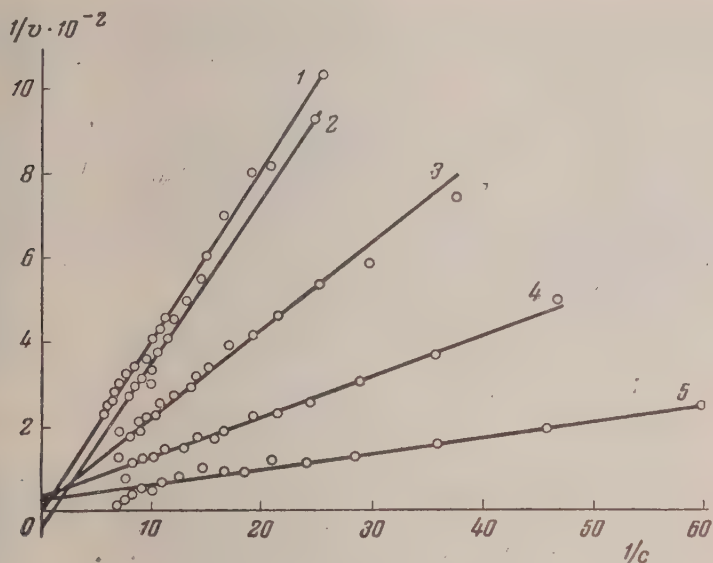


Рис. 5

большой концентрации субстрата, когда идет формирование промежуточных комплексов, они имеют наибольшие значения, затем, по мере распада перекиси водорода, эти величины постепенно незначительно уменьшаются.

На рис. 6 представлены кривые изменения энергии активации с температурой. Кривая 1 иллюстрирует изменение  $E$  при активации солью никеля, кривая 2 — солью кобальта.

При рассматривании представленного рисунка обращает на себя внимание совершенно различное расположение этих кривых.

В первом случае энергия активации с ростом температуры вначале падает, достигая минимума, а затем вновь увеличивается. Во втором случае  $E$  с повышением температуры все время увеличивается в диапазоне указанных температур.

При активировании солью никеля с повышением температуры порядок реакции вначале увеличивается, достигая 2 при  $35^\circ$ , а затем убывает.

Энергия активации, фактор частоты и температурный коэффициент, начиная с  $25^\circ$ , имели аномальные значения: при  $35^\circ$  наблюдались максимальные значения этих величин, а затем они относительно быстро уменьшались при повышении и при понижении температуры. Что же касается величин  $a$  и  $b$ , то для соли никеля величины  $a$  имеют наибольшие значения, а  $b$ , наоборот, кроме  $5^\circ$ , имеют отрицательные значения [3].

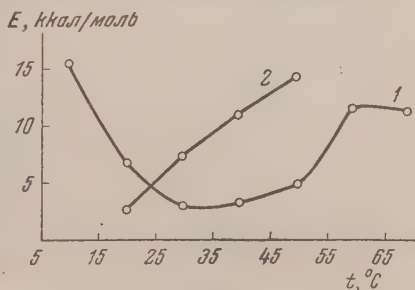


Рис. 6

Подводя итог по выявлению сравнительного действия двух активаторов — сульфата никеля и сульфата кобальта, — следует указать, что в отношении влияния ионов  $H^+$  наблюдается близкое сходство этих процессов, что же касается хода изменения энергии активации, температурного коэффициента, фактора частоты в зависимости от температуры, он весьма различен для активирования солью никеля и солью кобальта.

**Перхроматы кобальта.** Как известно, главнейшая причина катализа в растворах — образование промежуточных соединений, которые возникают на первых стадиях процесса и обуславливают дальнейшее его протекание.

Поэтому последним этапом исследования и самым трудоемким явилось выделение и изучение промежуточных комплексов.

С этой целью вначале получался осадок коричневого цвета при реакции между хроматом натрия и сульфатом кобальта. Полученный осадок отфильтровывался при отсасывании вакуум-насосом и неоднократно промывался водой. Осадок анализировался на кобальт и хром, состав его отвечал формуле  $CoCrO_4$ .

Свежеприготовленный влажный хромат кобальта, немного охлажденный, небольшими порциями при непрерывном размешивании постепенно прибавлялся к 10 мл 30%-ной  $H_2O_2$ , охлажденной сухим льдом почти до температуры ее плавления. Осадок хромата кобальта растворяется в перекиси водорода, поэтому реакционная смесь окрашивалась в коричневый цвет.

К реакционной смеси после 10-минутного перемешивания добавлялось 50—60 мл охлажденного сухим льдом этилового спирта. После прибавления спирта смесь еще раз тщательно перемешивалась и оставлялась на сухом льду на 1,5—2 часа для завершения реакции. За это время из раствора выпадал осадок коричневого цвета. Осадок отфильтровывался при отсасывании и охлаждении воронки снаружи сухим льдом, затем промывался сильно охлажденным спиртом 4—5 раз.

Полученное вещество анализировалось на содержание в нем перекисного кислорода. Количество перекисного кислорода определялось газометрически. Для этого небольшое количество продукта помещалось в предварительно взвешенную, охлажденную на сухом льду, тугоплавкую пробирку. Пробирка быстро присоединялась к газовой бюретке и вещество подвергалось разложению сначала при комнатной температуре, а затем при нагревании на газовой горелке до удаления перекисного кислорода.

Остаток после удаления перекисного кислорода высушивался до постоянного веса, взвешивался и анализировался на содержание в нем хрома и кобальта.

Хром определялся персульфатно-серебряным методом, а кобальт — весовым методом. В начале кобальт окислялся  $H_2O_2$  в щелочной среде до  $Co(OH)_3$ , а дальше количественное определение его проводилось по известному в литературе методу Кнорре — Ильинского [7].

Состав сухого остатка после удаления перекисного кислорода соответствовал формуле  $CoCrO_4$ .

Выделенное количество перекисного кислорода рассчитывалось на 1 моль сухого остатка.

В различных опытах были получены следующие отношения числа молей выделившегося кислорода к 1 молю  $CoCrO_4$ : 1 : 0,57; 1 : 0,40; 1 : 0,61; 1 : 0,76; 1 : 0,76 (среднее — 1 : 0,62).

Следовательно, на 1 моль  $CoCrO_4$  приходится 1 атом перекисного кислорода, что отвечает формуле  $CoCrO_5$ .

В других сериях опытов, проводимых при более низкой температуре, отношение числа молей  $CoCrO_4$  и  $O_2$  было приблизительно равно 1 : 1, что дало нам повод допустить существование весьма лабильного продукта состава  $CoCrO_6$ .



Полученные перхроматы кобальта нестойки и в воде и на воздухе, они разлагаются с выделением перекисного кислорода и могут храниться только при низкой температуре.

Возможно, в выделенных соединениях содержится кристаллизационная вода, которая не была определена вследствие их неустойчивости.

### Выводы

1. Активирующее действие солей элементов подгруппы железа возрастает с уменьшением номера элемента в периодической системе Менделеева, т. е. при переходе от никеля к железу.

2. Ионы кобальта в кислой среде активируют процесс каталитического распада перекиси водорода хроматом натрия.

Активирующее действие соли кобальта растет с увеличением температуры, особенно оно велико при 45 и 55°.

3. Ионы водорода своеобразно влияют на скорость катализа  $\text{H}_2\text{O}_2$ : при  $c_{\text{H}^+} < c_{\text{Cr}}$  наблюдается приблизительно прямая пропорциональность между скоростью реакции и концентрацией кислоты  $v \approx kc_{\text{H}^+}$ ; на большом протяжении кинетические кривые отвечают уравнению первого порядка;

при  $c_{\text{H}^+} \gg c_{\text{Cr}}$  имеется обратная закономерность — скорость катализа тем меньше, чем больше концентрация ионов  $\text{H}^+$  —  $v < \frac{k}{c_{\text{H}^+}}$ ; кинетические кривые имеют резко выраженный максимум в конце реакции.

4. Из сопоставления активирующего действия ионов никеля и ионов кобальта следует:

а) при увеличении концентрации соли кобальта в 6 раз скорость реакции растет в 2,2 раза, а изменение концентрации соли никеля в 10 раз вызывает увеличение скорости всего лишь в 1,2 раза;

б) температурный коэффициент, энергия активации, фактор частоты при активировании солью кобальта с повышением температуры растут, отличие от катализа  $\text{H}_2\text{O}_2$ , в присутствии соли никеля, когда указанные величины проходят через явно выраженный минимум в зависимости от температуры.

5. Непосредственным синтезом доказано образование общих для хрома и кобальта промежуточных комплексов.

Поступила  
8. V. 1957

### ЛИТЕРАТУРА

- Е. И. Шпитальский, ЖРХ-ХО, ч. хим., 42, 1085, 1910; Е. И. Шпитальский и Н. И. Кобозев, Zs. phys. Chem., 127, 129, 1927; Н. И. Кобозев и Э. Е. Гольбрайх, Ж. физ. химии, 14, 1550, 1940.  
Г. А. Богданов и Г. Л. Петрова, Ж. физ. химии, 29, 84, 1955.  
Г. А. Богданов и Г. Л. Петрова, Ж. физ. химии, 32, 746, 1205, 1958.  
М. О. Хармандарян и Э. А. Алексеева, ЖРХО, 62, 1677, 1930.  
Robertson, J. Am. Chem. Soc., 48, 2072, 1926.  
Г. А. Богданов, Ж. физ. химии, 26, 766, 1952.  
А. М. Дымов, Технический анализ металлов, Металлургиздат, 1944; Ф. М. Перельман, А. Я. Зворыкин и Н. В. Гудима, Кобальт, Изд-во АН СССР, 1949.

### THE ACTIVATING EFFECT OF COBALT SULFATE ON THE SODIUM CHROMATE CATALYSIS OF $\text{H}_2\text{O}_2$

G. L. Petrova and G. A. Bogdanov

#### Summary

The activating influence of cobalt sulfate and partially of iron sulfate on the catalytic decomposition of  $\text{H}_2\text{O}_2$  by sodium chromate has been investigated.

The activation by the cobalt salt increases with the temperature, being especially high at temperatures equal to 45 and 55°C.



The  $H^+$  ion concentration affects both the rate of the process as well as the character of the kinetic curves:

a) For  $c_{H^+} < c_{Cr}$  there is an approximately direct proportionality between the rate of reaction and the  $H^+$  ion concentration.

b) For  $c_{H^+} \geq c_{Cr}$  a reverse relationship is observed, the rate falling with increasing concentration and at the end of the reaction the curves have a well defined maximum.

Cobalt ions exhibit a greater activating effect than nickel salts. Especially effective are iron salts. Hence the less the atomic number of the elements of the iron subgroup is, the greater is the activating effect of their salts on the catalysis of hydrogen peroxide by sodium chromate.

The temperature coefficient, activation energy, frequency factor increase with temperature on activating with cobalt ions, whereas on activation with nickel the quantities pass through a minimum.

The effect of  $H^+$  ions on the course of the catalysis is quite similar for both cobalt or nickel activation, whereas the values for change in activation energy, temperature coefficient, frequency factor and reaction order with the temperature are quite different for these activators. As a result of the study the proposed intermediate complexes common to both chromium and cobalt have been synthesized.

---

ОЦЕНКА АКТИВНОСТЕЙ ИОНОВ В СМЕСИ РАСТВОРОВ ХЛОРИДОВ  
С ХЛОРИСТЫМ НАТРИЕМ

Н. В. Аксельруд и В. В. Спиваковский

В ряде случаев бывает необходимо определить активность ионов металла в растворах электролита, зависимость коэффициента активности которого от концентрации известна (или может быть определена одним из методов установления коэффициентов активности растворов электролитов). Если для этого металла нет обратимого электрода, но активность иона может быть измерена, то коэффициент активности (и активность) катиона  $\gamma_+$  легко рассчитать из коэффициентов активности электролита  $\pm$  и аниона  $\gamma_-$ , поскольку эти три величины связаны равенством  $\gamma_{\pm} =$

$$= (\gamma_+ \gamma_-)^{\frac{1}{n+m}},$$

в котором  $m$  — валентность аниона, а  $n$  — катиона. Таким образом, в подобных случаях задача оказывается довольно простой. Гораздо хуже обстоит дело в том случае, когда нужно определить коэффициент активности (активность) катиона в смеси двух электролитов.

При изучении состава и произведений активностей основных хлоридов ряда металлов нам необходимо было уметь определять активности всех трех ионов, образующих эти соли. Потенциометрическое определение активностей ионов хлора и гидроксидов не связано с затруднениями. Непосредственное же измерение активностей ионов металла в ряде случаев оказалось невозможным из-за отсутствия соответствующих образцовых электродов. Поскольку изучаемые системы представляли собой смесь растворов хлоридов данного металла и NaCl, произвести расчет активности ионов изучаемого металла указанным выше способом не представлялось возможным.

Поэтому возникла необходимость разработать метод оценки активности катионов в растворе смеси хлорида изучаемого металла с NaCl.

Льюис [1] установил, что в любом разбавленном растворе смеси сильных электролитов одинакового валентного типа коэффициент активности каждого электролита зависит только от общей концентрации. Однако это правило является только предельным и справедливо при бесконечном разбавлении. Для применения указанного правила к смеси электролитов разных валентных типов было введено понятие ионной силы и сформулирован общий принцип: в разбавленных растворах электролитов коэффициент активности данного электролита одинаков для всех растворов одной и той же ионной силы. Однако применимость правила ионной силы не выходит за пределы дебаевской области концентраций.

В реальных условиях чаще всего приходится иметь дело с большими концентрациями.

Мы попытались оценить активность катионов в смеси хлоридов по составу растворов, активности аниона и среднему коэффициенту активности раствора хлорида без NaCl, так как средние коэффициенты активности растворов хлоридов для многих металлов экспериментально определены в довольно широком интервале концентраций.

Для этого мы поступили следующим образом. Приготовили ряд систем  $MCl_n - NaCl - H_2O$ , где  $M - Zn^{2+}, Cd^{2+}$  и  $In^{3+}$ . В этих системах непосредственно измеряли активности катионов капаящими амальгам-

ными электродами и ионов хлора — хлорсеребряным электродом. Амагамные электроды калибровались по растворам соответствующих перхлоратов, а хлорсеребряный — по растворам NaCl. Затем по коэффициент активности ионов подсчитали средние коэффициенты активности  $Zn(CdCl_2, InCl_3)$  по формуле  $\gamma_{\pm}$

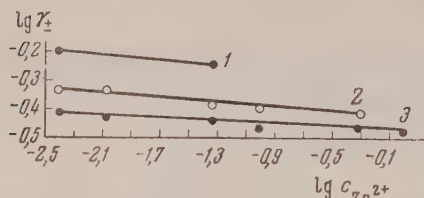


Рис. 1. Зависимость  $\lg \gamma_{\pm}$  от  $\lg c_{Zn^{2+}}$ :  
1 —  $c_{Cl^-} = 0,1$ ; 2 —  $c_{Cl^-} = 1$  и 3 —  $c_{Cl^-} = 2$  г-ион/л

Для определения концентрационной поправки рассмотрим график зависимости  $\lg \gamma_{\pm}$  от  $\lg c_m$  при постоянных концентрациях хлора (рис. 1, 2 и 3).

Средний наклон полученных прямых для этих металлов равен  $0,05 \pm 0,01$ . Отсюда для этих систем можно написать выражение:

$$\lg (\gamma_{\pm})_x = \lg (\gamma_{\pm})_0 + k [\lg (c_m)_0 - \lg (c_m)_x],$$

где  $k$  — наклон, равный  $\pm 0,05$ ;  $(\gamma_{\pm})_x$  — искомый средний коэффициент активности хлорида в смеси с NaCl;  $(\gamma_{\pm})_0$  — средний коэффициент активности чистого раствора хлорида металла с той же концентрацией хлора,

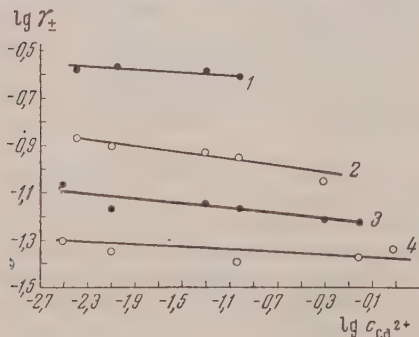


Рис. 2. Зависимость  $\lg \gamma_{\pm}$  от  $\lg c_{Cd^{2+}}$ :  
1 —  $c_{Cl^-} = 0,2$ ; 2 —  $c_{Cl^-} = 1$ ; 3 —  $c_{Cl^-} = 2$ ; 4 —  $c_{Cl^-} = 4$  г-ион/л

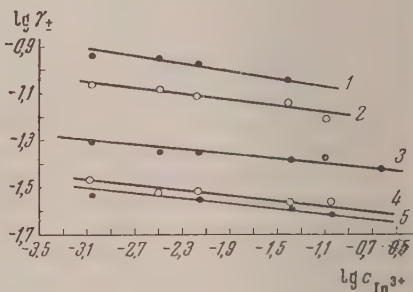


Рис. 3. Зависимость  $\lg \gamma_{\pm}$  от  $\lg c_{In^{3+}}$ :  
1 —  $c_{Cl^-} = 0,15$ ; 2 —  $c_{Cl^-} = 0,3$ ; 3 —  $c_{Cl^-} = 1$ ; 4 —  $c_{Cl^-} = 3$ ; 5 —  $c_{Cl^-} = 4$  г-ион/л

что и в изучаемой смеси;  $(c_m)_0$  и  $(c_m)_x$  — концентрации изучаемого металла, соответственно, в этом чистом растворе и в данной смеси.

Из уравнения следует, что

$$(\gamma_{\pm})_x = (\gamma_{\pm})_0 \left[ \frac{(c_m)_0}{(c_m)_x} \right]^k,$$

тогда

$$(\gamma_{\pm})_x (c_m)_x^k = (\gamma_{\pm})_0 (c_m)_0^k = \text{const.}$$

Таблица 1

Расчет  $\lg \gamma_{\pm}$  хлористого цинка в смесях с хлористым натрием

Цинк			Хлор			$\lg \gamma_{\pm}$
$\lg c$	$\lg a$	$\lg \gamma_{+}$	$\lg c$	$\lg a$	$\lg \gamma_{-}$	
0,516	1,77	1,25	0,828	-0,38	-1,21	-0,39
0,487	1,61	1,12	0,798	-0,37	-1,17	-0,41
0,410	0,98	0,57	0,718	-0,29	-1,01	-0,48
0,281	0,40	0,12	0,584	-0,25	-0,83	-0,51
0,000	-0,22	-0,22	0,301	-0,30	-0,60	-0,47
0,000	-0,31	-0,31	0,477	-0,14	-0,62	-0,51
-0,032	-0,45	-0,42	0,584	-0,04	-0,02	-0,55
-0,301	-0,72	-0,42	0,000	-0,40	-0,40	-0,41
-0,319	-0,76	-0,44	0,292	-0,17	-0,46	-0,46
-0,319	-0,91	-0,59	0,468	0,00	-0,47	-0,51
-0,319	-1,22	-0,90	0,586	+0,15	-0,44	-0,59
-1,013	-1,54	-0,53	-0,699	-0,94	-0,24	-0,34
-1,013	-1,53	-0,52	-0,301	-0,60	-0,30	-0,37
-1,013	-1,54	-0,53	0,000	-0,32	-0,32	-0,39
-1,013	-1,75	-0,74	0,301	-0,02	-0,32	-0,46
-1,013	-2,05	-1,04	0,477	+0,17	-0,31	-0,56
-1,032	-2,45	-1,42	0,602	+0,34	-0,26	-0,64
-1,328	-1,72	-0,39	-1,000	-1,16	-0,16	-0,24
-1,328	-1,82	-0,49	-0,699	-0,91	-0,21	-0,30
-1,328	-1,89	-0,56	-0,301	-0,54	-0,24	-0,35
-1,328	-1,89	-0,56	0,000	-0,29	-0,29	-0,38
-1,328	-2,12	-0,79	0,301	+0,05	-0,25	-0,43
-1,328	-2,46	-1,13	0,477	+0,24	-0,24	-0,54
-1,328	-2,83	-1,50	0,602	+0,41	-0,19	-0,63
-2,070	-2,31	-0,24	-1,699	-1,75	-0,05	-0,11
-2,070	-2,44	-0,37	-1,000	-1,18	-0,18	-0,24
-2,070	-2,47	-0,40	-0,699	-0,87	-0,17	-0,24
-2,070	-2,55	-0,48	-0,301	-0,52	-0,22	-0,31
-2,070	-2,54	-0,47	0,000	-0,25	-0,25	-0,33
-2,070	-2,81	-0,74	0,301	+0,05	-0,25	-0,42
-2,070	-3,22	-1,15	0,477	+0,24	-0,24	-0,54
-2,070	-3,58	-1,51	0,602	+0,41	-0,19	-0,63
-2,366	-2,57	-0,20	-2,000	-1,97	+0,03	-0,05
-2,368	-2,64	-0,24	-1,699	-1,65	+0,05	-0,05
-2,398	-2,70	-0,30	-1,000	-1,14	-0,14	-0,19
-2,398	-2,74	-0,34	-0,699	-0,86	-0,16	-0,22
-2,398	-2,87	-0,47	-0,301	-0,53	-0,23	-0,31
-2,398	-2,94	-0,54	0,000	-0,23	-0,23	-0,33
-2,398	-3,16	-0,76	0,301	+0,06	-0,24	-0,41
-2,398	-3,55	-1,15	0,477	+0,33	-0,15	-0,48
-2,398	-3,95	-1,55	0,602	+0,48	-0,12	-0,60

Исходя из этого уравнения можно сформулировать следующую зависимость: при постоянной суммарной эквивалентной концентрации смеси хлорида металла с NaCl (постоянная концентрация хлора) произведение среднего коэффициента активности данного хлорида ( $\gamma_{\pm}$ ) на его концентрацию в степени  $k$  есть постоянная величина.

Если ввести поправку на изменение состава раствора, то  $\gamma_{\pm}$  для постоянной эквивалентной концентрации смеси хлоридов может быть получена с достаточной точностью. Эта поправка вызвана тем, что в растворах изменяется соотношение концентраций хлорида изучаемого металла и хлористого натрия.

Поскольку средние коэффициенты активности растворов хлоридов для большинства металлов определены, можно, пользуясь выведенным эмпирическим соотношением, определить средние коэффициенты активности электролита в смеси. Зная  $\gamma_{\pm}$  и  $\gamma_{Cl-}$ , можно вычислить  $\gamma_{Mn+}$ .

При пользовании этой зависимостью для вычисления среднего коэффициента активности необходимо знать знак поправки, т. е. знак коэффициента  $k$ .



Таблица 1

Расчет  $\lg \gamma_{\pm}$  хлористого кадмия в смесях с хлористым натрием

Кадмий			Хлор			$\lg \gamma_{\pm}$
$\lg c$	$\lg a$	$\lg \gamma_{+}$	$\lg c$	$\lg a$	$\lg \gamma_{-}$	
0,59	+0,17	-0,42	0,89	-1,01	-1,90	-1,44
0,47	-0,35	-0,82	0,75	-0,87	-1,62	-1,31
0,28	-0,99	-1,27	0,58	-0,77	-1,35	-1,31
-0,01	-1,54	-1,53	0,30	-0,77	-1,07	-1,22
-0,01	-2,23	-2,22	0,47	-0,37	-0,84	-1,30
-0,01	-2,68	-2,67	0,59	-0,13	-0,72	-1,37
-0,31	-1,75	-1,44	0,00	-0,86	-0,86	-1,05
-0,31	-2,60	-2,29	0,30	-0,38	-0,68	-1,21
-0,31	-3,19	-2,88	0,48	-0,06	-0,54	-1,32
-0,31	-3,54	-3,23	0,60	+0,09	-0,51	-1,42
-1,02	-2,09	-1,07	-0,70	-1,08	-0,38	-0,61
-1,02	-2,71	-1,69	-0,30	-0,61	-0,31	-0,77
-1,02	-3,21	-2,19	0,00	-0,33	-0,33	-0,95
-1,02	-3,86	-2,84	0,30	-0,01	-0,31	-1,16
-1,02	-4,32	-3,30	0,48	+0,19	-0,29	-1,29
-1,02	-4,79	-3,77	0,60	+0,40	-0,20	-1,39
-1,31	-2,20	-0,89	-1,00	-1,26	-0,26	-0,47
-1,31	-2,62	-1,31	-0,70	-0,92	-0,22	-0,59
-1,31	-3,10	-1,79	-0,30	-0,55	-0,25	-0,77
-1,31	-3,59	-2,28	0,00	-0,26	-0,26	-0,93
-1,31	-4,21	-2,90	0,30	+0,04	-0,26	-1,14
-1,31	-4,70	-3,39	0,48	+0,28	-0,20	-1,26
-1,31	-5,19	-3,88	0,60	+0,43	-0,17	-1,40
-2,05	-2,57	-0,52	-1,70	-1,79	-0,09	-0,23
-2,05	-3,10	-1,05	-1,00	-1,15	-0,15	-0,45
-2,05	-3,43	-1,38	-0,70	-0,87	-0,17	-0,57
-2,05	-3,87	-1,82	-0,30	-0,52	-0,22	-0,76
-2,10	-4,37	-2,27	0,00	-0,22	-0,22	-0,91
-2,10	-4,94	-2,84	0,30	-0,01	-0,31	-1,16
-2,10	-5,39	-3,29	0,48	+0,26	-0,22	-1,25
-2,10	-5,78	-3,68	0,60	+0,42	-0,18	-1,35
-2,40	-2,60	-0,20	-2,00	-2,00	-0,00	-0,07
-2,40	-2,90	-0,50	-1,70	-1,76	-0,06	-0,21
-2,40	-3,40	-1,00	-1,00	-1,14	-0,14	-0,42
-2,40	-3,86	-1,46	-0,70	-0,84	-0,14	-0,58
-2,40	-4,20	-1,80	-0,30	-0,49	-0,19	-0,73
-2,40	-4,69	-2,29	0,00	-0,24	-0,24	-0,87
-2,52	-5,33	-2,81	0,30	+0,11	-0,19	-1,07
-2,52	-5,84	-3,32	0,48	+0,33	-0,15	-1,21
-2,52	-6,28	-3,76	0,60	+0,52	-0,08	-1,30

Для определения знака  $k$  мы построили график (рис. 4)  $\gamma_{\pm} = f(\lg c_{\text{св}})$  для различных хлоридов и их смесей с NaCl. Значения средних коэффициентов активности хлоридов металлов получены нами, а для HCl и смеси 0,01 N HCl + NaCl — взяты у Харнеда и Оуэна [2]. Из рис. 4 следует, что кривая для смеси двух хлоридов находится между кривыми для соответствующих чистых хлоридов. Так, например, кривая для 0,01 N HCl + NaCl находится между кривыми для HCl и NaCl. То же мы имеем для кривой смеси  $\text{ZnCl}_2 + \text{NaCl}$  — она находится между кривыми для чистых  $\text{ZnCl}_2$  и NaCl.

Отсюда следует, что  $k$  берется с отрицательным знаком, если кривая для данного хлорида лежит выше кривой для NaCl (например, HCl), и с положительным знаком — в случае кривой, лежащей ниже кривой для NaCl. В наших примерах для систем с хлористым цинком, кадмием и индием  $k$  берется с положительным знаком.

Следует отметить, что Льюисом было установлено, что отклонение  $\gamma_{\pm}$  от простого закона происходит в таком направлении, что коэффициент

Таблица 3

Расчет  $\lg \gamma_{\pm}$  хлористого индия в смесях с хлористым натрием

Индий			Хлор			$\lg \gamma_{\pm}$
$\lg c$	$\lg a$	$\lg \gamma_{+}$	$\lg c$	$\lg a$	$\lg \gamma_{-}$	
-0,14	-3,98	-3,84	0,38	-0,52	-0,90	-1,64
-0,14	-4,51	-4,37	0,51	-0,22	-0,73	-1,64
-0,62	-4,22	-3,60	-0,09	-0,80	-0,71	-1,43
-0,62	-4,40	-3,78	-0,04	-0,69	-0,65	-1,43
-0,62	-5,20	-4,58	0,26	-0,22	-0,48	-1,51
-0,62	-5,52	-4,90	0,44	0,00	-0,44	-1,55
-0,62	-5,88	-5,26	0,56	+0,17	-0,39	-1,60
-1,09	-4,33	-3,24	-0,54	-1,08	-0,54	-1,22
-1,09	-5,48	-4,39	-0,02	-0,40	-0,38	-1,38
-1,09	-6,04	-4,95	0,28	-0,06	-0,34	-1,50
-1,03	-6,29	-5,26	0,46	+0,11	-0,35	-1,57
-1,03	-6,54	-5,51	0,58	+0,26	-0,32	-1,62
-1,40	-4,25	-2,85	-0,83	-1,28	-0,45	-1,05
-1,40	-4,91	-3,51	-0,53	-0,88	-0,35	-1,14
-1,38	-5,96	-4,58	-0,01	-0,33	-0,32	-1,39
-1,38	-6,33	-4,95	0,29	-0,04	-0,33	-1,49
-1,38	-6,70	-5,32	0,47	+0,14	-0,33	-1,58
-1,38	-6,94	-5,56	0,59	+0,32	-0,27	-1,59
-2,21	-4,25	-2,04	-1,52	-1,75	-0,23	-0,68
-2,15	-5,45	-3,30	-0,82	-1,02	-0,20	-0,98
-2,15	-5,85	-3,70	-0,52	-0,76	-0,24	-1,11
-2,15	-6,68	-4,53	0,00	-0,29	-0,29	-1,35
-2,15	-7,11	-4,96	0,30	-0,01	-0,31	-1,48
-2,15	-7,39	-5,24	0,48	+0,20	-0,28	-1,52
-2,15	-7,65	-5,50	0,60	+0,37	-0,23	-1,55
-2,57	-4,23	-1,66	-1,82	-1,99	-0,17	-0,55
-2,57	-4,64	-2,07	-1,52	-1,67	-0,15	-0,63
-2,48	-5,76	-3,28	-0,82	-0,99	-0,17	-0,95
-2,48	-6,21	-3,73	-0,52	-0,73	-0,21	-1,09
-2,48	-7,06	-4,58	0,00	-0,27	-0,27	-1,35
-2,48	-7,51	-5,03	0,30	+0,01	-0,29	-1,48
-2,48	-7,80	-5,32	0,48	+0,22	-0,26	-1,53
-2,48	-7,98	-5,50	0,60	+0,37	-0,23	-1,55
-3,05	-4,28	-1,23	-2,22	-2,31	-0,09	-0,38
-3,05	-4,94	-1,89	-1,82	-1,86	-0,04	-0,50
-3,05	-5,19	-2,14	-1,52	-1,62	-0,10	-0,62
-3,05	-6,33	-3,28	-0,82	-0,98	-0,16	-0,94
-3,05	-6,71	-3,66	-0,52	-0,72	-0,20	-1,07
-3,05	-7,50	-4,45	0,00	-0,25	-0,25	-1,30
-3,05	-8,07	-5,02	0,30	+0,04	-0,26	-1,46
-3,05	-8,24	-5,19	0,48	+0,25	-0,23	-1,47
-3,05	-8,65	-5,60	0,60	+0,43	-0,17	-1,53

активности данного электролита возрастает в присутствии другого электролита, имеющего более высокий собственный коэффициент активности. Наш вывод о знаке коэффициента  $k$  находится в согласии с заключением Льюиса.

Из изложенного следует, что если для хлорида изучаемого металла известны средние коэффициенты активности для ряда концентраций  $\text{MCl}_n$ , то коэффициент активности для иона металла, находящегося в смеси растворов  $\text{MCl}_n$  и  $\text{NaCl}$ , может быть рассчитан. Для этого необходимо знать концентрацию ионов металла и концентрацию и активность ионов хлора в изучаемом растворе.

Пользуясь этим, мы вычислили средние коэффициенты активности хлоридов цинка, кадмия, индия и соляной кислоты в смеси с  $\text{NaCl}$ . На рис. 5 сплошные линии представляют экспериментально определенную зависимость  $\gamma_{\pm}$  хлоридов от  $\lg c_{\text{Cl}^-}$ , а точки соответствуют вычисленным значениям. В случае смеси  $\text{HCl} + \text{NaCl}$  поправка начинает вводиться

от границы области Дебая ( $\lg c_{\text{Cl}^-} = -0,7$ ). Из рис. 5 видно, что наблюдается вполне удовлетворительное совпадение экспериментальных значений с вычисленными.

Подобный же подход, по-видимому, возможен и в случае смесей других электролитов, но величины  $k$  в таких системах должны быть иными. Найденная закономерность позволила нам оценить активности ионов ряда редкоземельных элементов в смеси растворов их хлоридов с NaCl.

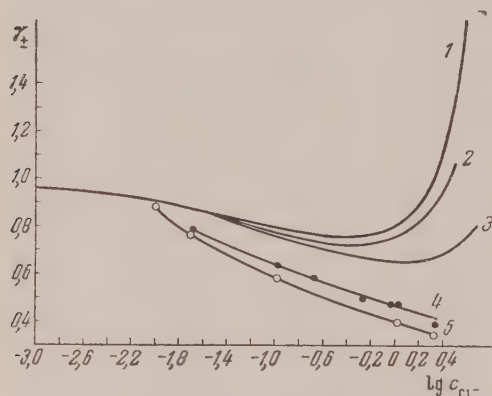


Рис. 4

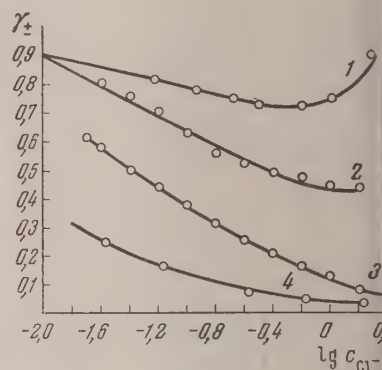


Рис. 5

Рис. 4. Зависимость  $\gamma_{\pm}$  от  $\lg c_{\text{Cl}^-}$  для растворов хлоридов металлов и их смесей с NaCl: 1 — HCl; 2 — 0,01 N HCl + NaCl; 3 — NaCl; 4 — 0,0085 N ZnCl<sub>2</sub> + NaCl и 5 — ZnCl<sub>2</sub>.

Рис. 5. Зависимость  $\gamma_{\pm}$  хлоридов от  $\lg c_{\text{Cl}^-}$  в растворах смеси электролитов. Сплошной линией показана экспериментально найденная зависимость  $\gamma_{\pm}$  от  $\lg c_{\text{Cl}^-}$ , а кружками — вычисленные величины: 1 — 0,01 N HCl + NaCl; 2 — 0,004 N ZnCl<sub>2</sub> + NaCl; 3 — 0,004 N CdCl<sub>2</sub> + NaCl и 4 — 0,009 N InCl<sub>3</sub> + NaCl.

Полученные величины использовались для изучения основных хлоридов этих редкоземельных элементов. Совпадение результатов таких исследований с данными, полученными независимыми методами, является косвенным подтверждением правильности примененного метода расчета активностей ионов в смеси их хлоридов с NaCl.

### Выводы

Из экспериментальных данных по активностям ионов в смеси электролитов ZnCl<sub>2</sub>—NaCl, CdCl<sub>2</sub>—NaCl и InCl<sub>3</sub>—NaCl в водных растворах, а также по имеющимся в литературе данным для системы HCl—NaCl выведена эмпирическая зависимость, позволяющая оценить коэффициенты активности хлорида в смеси с NaCl.

Институт общей и неорганической химии  
АН УССР

Поступила  
10. V. 1957

### ЛИТЕРАТУРА

1. Льюис и Рендалл, Химическая термодинамика, ОНТИ, Л., 1936.
2. Г. Харнед и Б. Оуэн, Физическая химия растворов электролитов, ИЛ, М., 1952.

### AN ESTIMATION OF THE IONIC ACTIVITIES IN SOLUTIONS OF MIXTURES OF CHLORIDES AND SODIUM CHLORIDE

N. V. Aksetrood and V. B. Spivakovsky

### Summary

From experimental data on ionic activities in mixtures of the electrolytes ZnCl<sub>2</sub>—NaCl, CdCl<sub>2</sub>—NaCl and InCl<sub>3</sub>—NaCl as well as from reported data on the system HCl—NaCl an empirical expression has been derived for evaluating the activity coefficient of chloride in a mixture with NaCl.

# КИНЕТИКА И МЕХАНИЗМ КАТАЛИТИЧЕСКИХ ПРЕВРАЩЕНИЙ АЦЕТИЛЕНА

## II. О НЕКОТОРЫХ ВОПРОСАХ МЕХАНИЗМА РЕАКЦИЙ ПРИСОЕДИНЕНИЯ РАЗЛИЧНЫХ МОЛЕКУЛ К АЦЕТИЛЕНУ

Р. М. Флид

Каталитические реакции присоединения к ацетилену молекул воды, алкоидоводородов, уксусной кислоты, цианистого водорода и т. д. могут быть осуществлены как в жидкой, так и в паровой (газовой) фазах. В качестве катализаторов применяются соли двухвалентной ртути, одновалентной меди, в некоторых случаях соли цинка, кадмия, серебра и других металлов. При жидкофазном проведении процессов к указанным солям добавляются еще кислота и соли электролитов. Эти реакции считают обычно однотипными по характеру и стадиям присоединения, и при их рассмотрении предлагается один и тот же механизм.

Полученные нами [1—3] экспериментальные данные позволяют осветить некоторые вопросы механизма этих реакций, отличающиеся по своей трактовке от изложенных в литературе.

В литературе можно встретить три точки зрения на механизм каталитического присоединения различных аддендов к ацетилену.

Критическое рассмотрение взглядов на механизм каталитического присоединения различных молекул к ацетилену. А. Карозерс, А. Д. Петров и другие [4—7], исходя из работ Нефа и Ингольда [8—10], считают, что роль катализатора сводится к изомеризации ацетиленов в изоацетилен. Реакция присоединения молекулы адденда НА к ацетилену протекает в две стадии.

Первой стадией, наиболее медленной, определяющей скорость всего процесса, является стадия изомеризации ацетиленов в изоацетилен под действием катализатора



Второй стадией, протекающей быстро, является присоединение молекулы адденкта к чрезвычайно реакционноспособной молекуле изоацетиленов



(где А = ОН, Сl, Br, J, CN, CH<sub>3</sub>COO и т. д.).

Сомнительность указанного механизма заключается в следующем:

1. Отсутствуют экспериментальные данные, подтверждающие возможность изомеризации ацетиленов в изоацетилен (ацетиленов). Существование изоацетиленов энергетически не оправдано [11, 12]. Совершенно непонятен и механизм изомеризации ацетиленов под действием катализатора.

2. Механизм реакций присоединения молекул НА к ацетилену и его гомологам (метилацетилен, диметилацетилен и т. д.), судя по условиям проведения процессов, должен быть одинаковым. Однако образование изоформы из гомологов ацетиленов (например, диметилацетиленов) вообще невозможно.

3. Непонятно и специфическое действие катализатора на протекание того или иного процесса. Действительно, если механизм действия катализатора сводится лишь к изомеризации ацетиленов в изоацетилен, то присоединение любой молекулы адденкта, независимо от его природы, должно протекать в одних и тех же условиях и определяться природой катализатора.

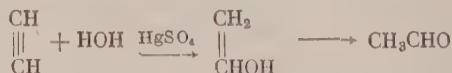
Однако факты противоречат указанному утверждению. Так, например, соли двухвалентной ртути, способствующие присоединению к ацетилену молекул Н<sub>2</sub>О, СН<sub>3</sub>COOH, НХ (Х — Сl, Br, J), не способны катализировать реакцию присоединения



спиртов с образованием простых виниловых эфиров или димеризацию ацетилен. В присутствии солей цинка и кадмия присоединение уксусной кислоты происходит в интервале 170—240°, а воды — в интервале 270—400° С и т. д.

Б. П. Долгов [13] и П. Г. Сергеев [14] воскрешают, старые представления А. П. Эстекова [15] при рассмотрении процесса гидратации ацетилен в присутствии солей двухвалентной ртути, считают, что:

под действием катализатора происходит присоединение к ацетилену молекул воды с образованием винилового спирта или кислоты с образованием алкеносерной кислоты



или



изомеризация в первом случае и гидролиз во втором приводят к образованию альдегида.

Неправомерность указанной точки зрения видна из следующих фактов:

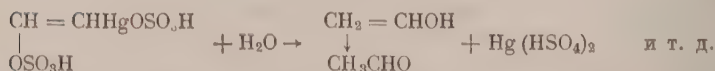
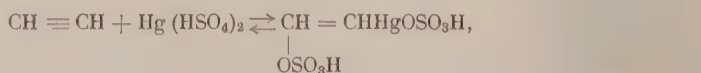
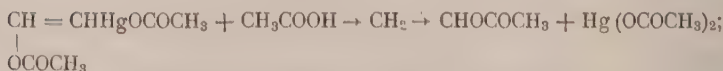
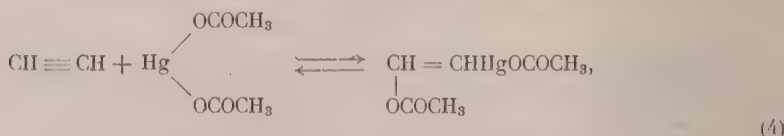
Действительно, известно, что под действием концентрированной  $\text{H}_2\text{SO}_4$  или  $\text{H}_3\text{PO}_4$  гидратация ацетилен может протекать в незначительной степени. Однако в присутствии солей ртути процесс идет со значительно большей скоростью.

К чему же сводится действие катализатора? Этот вопрос остается открытым.

Гидратации в паровой фазе может протекать и в отсутствие кислоты, например в присутствии трех замещенных фосфатов цинка и кадмия. Следовательно, образование алкеносерной или другой алкенокислоты вообще невозможно. Кроме того, нами было показано [1], что и при жидкофазной гидратации в присутствии солей двухвалентной ртути образование ацетальдегида наблюдается и без добавления в контактный раствор кислоты.

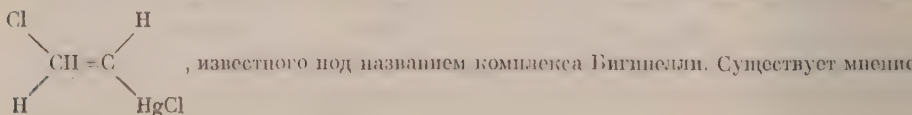
В случае катализа сулемой (вместо  $\text{H}_2\text{SO}_4$ ) в присутствии разбавленной  $\text{HCl}$  в качестве промежуточного продукта должен образоваться хлористый винил. Однако последний не образуется. Известно, что хлористый винил в условиях проведения процесса гидратации не подвергается гидролизу.

Основываясь на экспериментальных данных о возможности взаимодействия ацетилен и его гомологов с солями ртути, меди и серебра с образованием соответствующих комплексов, ряд исследователей [16—20] предлагают следующий механизм взаимодействия молекул адденда  $\text{HA}$  с ацетиленом:

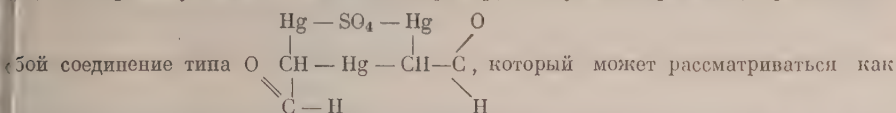


Из предлагаемого механизма следует, что:

Первой стадией является образование ртутно-ацетиленового комплекса, которому некоторые исследователи приписывают формулу трансхлорвинилмеркурхлорида

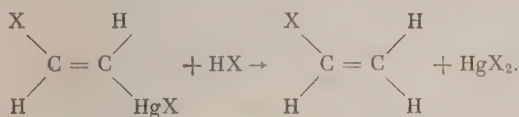


[3], что промежуточный комплекс, например, в случае гидратации, представляет



комплекс альдегида с солями ртути. По мнению некоторых исследователей [6, 18, 21], подобного рода нерастворимые, выпадающие в осадок, комплексы и являются собственно катализаторами процесса, т. е. даже в случае жидкофазного процесса предпологается участие катализатора в твердой фазе.

Второй стадией, наиболее медленной и определяющей скорость всего процесса, является «сольволиз» этого комплекса:



Какой вывод делается, исходя из фактов, согласно которым образование комплекса протекает достаточно легко уже при низких температурах, а их разложение в этих условиях протекает медленно. Оно ускоряется с повышением температуры и кислотности среды. В случае гидратации ацетилен, естественно, происходит гидролиз комплекса.

Таким образом в случае гидратации ацетилен имеют два катализатора: соль ртути, участвующая в стадии образования ртутно-ацетиленового комплекса, и кислота, катализирующая гидролиз указанного комплекса.

Изложенный механизм распространяется как на жидкофазные, так и на твердофазные каталитические реакции присоединения различных аддендов к ацетилену.

Подтверждение данного механизма исследователи находят в том, что подобного рода комплексы в ряде случаев действительно выделены. При взаимодействии комплекса с HCl образуется хлористый винил, при гидролизе — ацетальдегид и т. д. Основываясь на данном механизме, делаются попытки предсказать выбор катализатора для того или иного процесса.

Основное положение подобного рода предсказаний заключается, как это и следует из вышеизложенного, в утверждении, что катализатором может служить соединение, способное к образованию комплекса с ацетиленом.

По нашему мнению, вышеизложенный механизм каталитического взаимодействия ацетилен с различными молекулами аддендов не является универсальным и в большинстве случаев противоречит фактам.

В стационарных условиях процессы жидкофазного каталитического присоединения различных молекул к ацетилену, как правило, проводятся при повышенных температурах (80—100°), обеспечивающих непрерывный отвод компонентов реакции из контактного раствора. Это является обязательным при проведении процессов в производственных условиях. Выпадение в некоторых случаях осадков, представляющих собой различные комплексы ацетилен с солями ртути, меди и других, не способствуют реакции, а, наоборот, приводят к дезактивации контактного раствора. Это особенно четко проявляется в процессах жидкофазной гидратации ацетилен, синтеза нитрила акриловой кислоты и димеризации ацетилен. Поэтому для сохранения стабильной активности контактных растворов в течение возможно более длительного времени выбирают условия, при которых шламообразование было бы наименьшим. Кроме повышения температуры, это достигается еще повышением кислотности и добавлением солей, обеспечивающих большую стойкость ацидокомплексов в контактных растворах. Это дает нам основание полагать, что комплексы различного состава, имеющие характер нерастворимых осадков, являются не промежуточными, а побочными продуктами реакции.

А. П. Несмеяновым и сотрудниками [22—24] при изучении комплексов между ацетиленом и различными солями показано, что в определенных условиях  $\text{Pb}^{2+}$ ,  $\text{Sn}^{4+}$  и другие способны к комплексообразованию с ацетиленом. Однако соли указанных элементов ни в одном случае не могут быть использованы в качестве катализаторов. Таким образом способность ацетилен к образованию комплексов с некоторыми солями в ряде случаев, может быть, и является необходимым, но еще недостаточным условием для использования последних в качестве катализаторов.

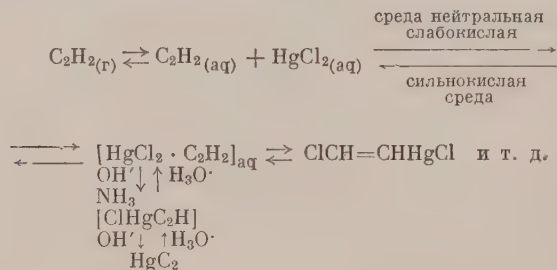
Известно, что ни соли цинка, ни соли кадмия не образуют никаких комплексов с ацетиленом. Однако в ряде случаев они используются в качестве катализаторов (гидратация, синтез винилацетата и др.).

Поневрно представлена и роль кислоты при жидкофазной гидратации ацетилен. Если, по мнению авторов, роль ее сводится к ускорению гидролиза комплекса, то при повышении концентрации кислоты следовало бы ожидать ускорения реакции. В дей-

ствительности, как нами было замечено [1], повышение концентрации кислоты в контактном растворе приводит сначала к повышению, а затем к снижению скорости гидратации. Более того, в определенных условиях в присутствии тех же солей ртути процесс гидратации можно проводить и без добавления кислоты извне.

Влияние различных условий на характер взаимодействия ацетилена с контактными растворами. Многочисленными исследованиями [25] установлено, что состав и природа образующихся комплексов между ацетиленом и солями различных металлов: ртути, меди, серебра и других, существенно зависят от температуры, кислотности среды и природы аниона соли.

Известно, что в ряду кислот ацетилен занимает промежуточное положение между аммиаком и водой  $\text{NH}_3 < \text{C}_2\text{H}_2 < \text{H}_2\text{O}$ . При наличии акцептора протона ацетилен способен к ионизации по типу:  $\text{C}_2\text{H}_2 \rightleftharpoons \text{C}_2\text{H}^- + \text{H}^+$ . Ацетилен реагирует с комплексообразователем по типу донорно-акцепторного взаимодействия, при котором ацетилен отдает, а комплексообразователь притягивает пару  $\pi$ -электронов. Это вызывает, в свою очередь, с одной стороны, ослабление связи центрального иона ( $\text{Hg}^{++}$ ,  $\text{Cu}^+$ ,  $\text{Ag}^+$  и др.) со связанным с ним анионом, и, с другой стороны, облегчает отдачу ацетиленом протона. Последнее достаточно убедительно показано А. А. Клебанским и сотрудниками [26], наблюдавшими повышение кислотности раствора при поглощении ацетилена контактными растворами, содержащими полухлористую медь. Аналогичная картина наблюдалась нами и при поглощении ацетилена солями ртути. Повышение рН раствора способствует облегчению отрыва протона от ацетилена и переходу металла ( $\text{Hg}^{++}$ ,  $\text{Cu}^+$ ,  $\text{Ag}^+$  и др.) в комплексный катион, что ведет к усилению его акцепторной способности и притяжению пары  $\pi$ -электронов ацетилена. Наоборот, понижение рН раствора способствует переводу металла в комплексный анион [27], следствием чего является ослабление его акцепторной способности к притяжению  $\pi$ -элементов ацетилена. Кроме того, равновесие кислотной ионизации ацетилена смещается влево. Поэтому при изменении среды получается гамма соединений — карбиды, металлоорганические, квазикомплексные и комплексные соединения различного состава, выпадающие в осадок и не растворимые в контактных растворах. Таким образом изменение среды влияет не только количественно, но и качественно на характер взаимодействия ацетилена с контактными растворами. На примере взаимодействия с сулемой влияние среды может быть иллюстрировано следующей схемой:



При одном и том же катионе ( $\text{Hg}^{++}$ ,  $\text{Cu}^+$  и др.) существенную роль играет природа связанного с ним аниона. Чем больше константа нестойкости растворенной соли, тем труднее он образует комплексный анион и его взаимодействие с ацетиленом при одном и том же значении рН раствора. Мерой акцепторной способности контактного раствора к  $\pi$ -электронам ацетилена, как нами было показано [1, 3], может служить величина его окислительного потенциала. Этим и можно объяснить, например, тот факт, что даже в сильноокислой среде нитрат серебра образует карбиды, а не комплексы с ацетиленом. Активность соответствующих солей  $\text{Hg}^{++}$ ,



$\text{Ag}'$  по отношению к ацетилену понижается в зависимости от природы аниона по следующему ряду:

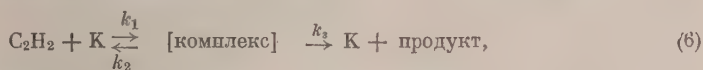


Повышение окислительного потенциала растворов этих солей может быть достигнуто введением в раствор вместо кислот их солей [1]. Таким образом роль солей-электролитов, добавляемых в контактный раствор, сводится не только и не столько к повышению растворимости соли-катализатора, как, например, при растворении полухлористой меди или сульфата ртути, но, главным образом, к повышению устойчивости контактного раствора в результате снижения величины его окислительного потенциала и изменению характера взаимодействия ацетилена с контактным раствором.

С повышением температуры, при прочих равных условиях, устойчивость комплекса любого состава изменяется. Полученные нами данные по изучению растворимости ацетилена в различных солях в зависимости от температуры [3] показывают, что это изменение происходит не только количественно, но и качественно. Меняются характер взаимодействия и прочность возникающих связей, о чем свидетельствует изменение значений  $\Delta H$  и  $\Delta S$ . Это взаимодействие ослабевает с солями  $\text{Hg}''$ ,  $\text{Cu}'$ ,  $\text{Ag}'$ , но усиливается с солями  $\text{Zn}''$  и  $\text{Cd}''$ .

О тройном комплексе и условиях его образования. Из вышеизложенного, а также из фактического материала по описанию условий проведения жидкофазных каталитических реакций присоединения различных аддендов к ацетилену видно, что ни в одном случае ацетилен не взаимодействует непосредственно с солями ртути, меди, серебра. Все эти соли находятся в растворе в состоянии гидратированных комплексных анионов  $[\text{Hg}(\text{SO}_4)_2]'$ ,  $[\text{HgCl}_3]'$ ,  $[\text{CuCl}_2]'$ ,  $[\text{Cu}_2\text{Cl}_3]'$  и т. д. Ацетилен при пропускании в раствор непосредственно может взаимодействовать только с таким гидратированным комплексным анионом. Таким образом, если и образуется какой-либо промежуточный комплекс, то он может представлять собой не двойной, а тройной комплекс. Из этого следует, что катализатор должен обладать сродством и быть способным к комплексообразованию не только с ацетиленом, но и с молекулой адденда, присоединяемой к ацетилену.

Взаимодействие ацетилена с катализатором в контактном растворе может быть изображено следующим образом:



где  $\text{K}$  — катализатор.

В стационарных условиях

$$v = \frac{k_1 k_3}{k_2 + k_3} [\text{C}_2\text{H}_2] [\text{K}] \quad (7)$$

при низких температурах 20–40°, судя по некоторым кинетическим данным [18, 21, 28]  $k_2 \gg k_1$  и  $v \gg K k_3 [\text{C}_2\text{H}_2] [\text{K}]$ , где  $K$  — константа равновесия образования комплекса.

Скорость реакции определяется стадией превращения комплекса. При повышенных температурах (95–100°), судя по нашим данным [1, 3],  $k_2 \ll k_3$  и  $v = k_1 [\text{C}_2\text{H}_2] [\text{K}]$ . В этом случае скорость процесса определяется скоростью образования комплекса или, что, по нашему мнению, правильнее, скоростью активации. Если активация ацетилена происходит по типу донорно-акцепторного взаимодействия, то при активации адденда ( $\text{HON}$ ,  $\text{HCN}$ ,  $\text{CH}_3\text{COOH}$ ,  $\text{HX}$  и др.) имеет место ионно-дипольное взаимодействие. С повышением температуры в случае солей  $\text{Hg}''$ ,  $\text{Cu}'$ ,  $\text{Ag}'$  сродство по донорно-акцепторному типу уменьшается, что приводит



к ослаблению взаимодействия между катализатором и ацетиленом. К было ранее отмечено, это приводит не только к количественному, но и качественному изменению этого взаимодействия. Это позволяет нам высказать предположение, что активация ацетилена заключается в деформации вследствие частичного оттягивания пары  $\pi$ -электронов катализатору. В зависимости от процесса, необходимая степень деформации определяется выбором условий, обеспечивающим максимальную избирательность (состав контактного раствора, температура, время контакта). В общем виде это может быть изображено следующей схемой:



Подобного рода взгляды, как известно, высказывались и при рассмотрении других каталитических процессов. Образующийся активированный комплекс приходится в поле окружающих молекул, которые воздействуют на него, приводят к непрерывному его изменению вплоть до образования конечных продуктов. Поэтому вряд ли имеются какие-либо физические основания рассматривать суммарный процесс протекающим через ряд последовательных кинетических стадий, тем более что сопряженное протекание процесса энергетически более выгодно, так как приводит к снижению активационного барьера.

Возможность того или иного соединения активировать ацетилен присоединяемый к нему адденд, которое может быть выражено в стремлении к комплексообразованию, является необходимым, но еще недостаточным условием для использования его в качестве катализатора. Из предыдущего рассмотрения следует, что для осуществления процесса должны быть созданы условия, обеспечивающие возможность образования тройного активного комплекса.

Если катализатор обладает большим сродством к ацетилену, чем к адденду (НА), то преимущественно взаимодействовать будет один ацетилен. Вследствие этого можно ожидать образования комплексов различного состава вплоть до карбидов или же полимеризацию ацетилена. В случае, если сродство катализатора к адденду (НА) больше, чем к ацетилену, то активация последнего будет незначительной, и присоединение к нему адденда будет незначительным или вообще не будет иметь места. Скорость активации, являясь кинетической характеристикой, зависит от величины химического потенциала как термодинамической характеристики, выражающей стремление к комплексообразованию катализатора с компонентами реакции. Об этом свидетельствуют полученные нами данные [1, 3], согласно которым существует взаимосвязь между величиной окислительного потенциала контактного раствора, как меры акцепторной способности к притяжению пары  $\pi$ -электронов ацетилена и скоростью реакции. В этом случае наблюдается линейная зависимость между  $\lg k$  и  $\varepsilon$ , выражаемой уравнением

$$\ln k = \alpha + B\varepsilon,$$

где  $k$  — константа скорости,  $\alpha$  и  $B$  — постоянные;  $\varepsilon$  — значение окислительного потенциала.

Таким образом катализатор как бы распределяется между ацетиленом и присоединяемой к последнему молекулой. Значение «коэффициента распределения» между катализаторами (К) и компонентами А и В должно определяться разностью изменения свободных энергий образования соединений КА и КВ в данных конкретных условиях процесса.

Высказанное положение проиллюстрируем следующими примерами:

1. В случае газофазного гидрохлорирования ацетилена на катализаторе  $\text{HgCl}_2$ /уголь наблюдается следующее явление: если через катали-

Пр, предварительно продутый азотом, пропускают смесь  $C_2H_2$  и  $HCl$ , активность его все время падает, наблюдается полимеризация ацетилена и выделение металлической ртути. При этом адсорбционные коэффициенты  $C_2H_2$  и  $HCl$  на применяемых носителях одинаковы [29]. Произведенный нами приближенный расчет «коэффициента распределения» катализатора между  $C_2H_2$  и  $HCl$  (при образовании комплексов  $HgCl_2 \cdot C_2H_{2_{гв}}$  и  $HgCl_2 \cdot HCl_{гв}$  при  $120^\circ C$   $K = \frac{k_1}{k_2} \approx 150$ ). Эти данные показывают, что преимущественно должна иметь место активация ацетилена катализатором, которая и приводит к реакции его полимеризации и восстановления сулемы до металлической ртути. С целью предотвращения указанного явления и создания условий, обеспечивающих избирательное направление процесса в сторону синтеза хлористого винила, необходимо, чтобы исходная смесь содержала огромный избыток  $HCl$  ( $HCl/C_2H_2 \approx 150$ ). Так как это практически неосуществимо, то положение может быть улучшено тем, что катализатор будет предварительно насыщен  $HCl$ . Действительно, после предварительного насыщения катализатора газоразным  $HCl$  выход хлористого винила в этих же условиях достиг 95—100%. Катализатор работал длительное время избирательно, не снижая своей активности. Напомним, что в производственных условиях при приготовлении катализатора наряду с сулемой наносятся в значительных количествах и другие хлориды, в частности  $BaCl_2$ , образующий комплекс с сулемой  $Ba(HgCl_3)_2$ .

2. При жидкофазном синтезе нитрила акриловой кислоты контактный состав состоит из  $CuCl$ ,  $NH_4Cl$  и  $HCl$  [30]. Известна большая склонность ацетилена к образованию различных купро-комплексов. Однако исходная смесь содержит большой избыток ацетилена ( $C_2H_2 : HCN \approx 10 : 1$ ). Указанный факт может быть объяснен только тем, что сродство  $Cu$  к  $HCN$  больше, чем к ацетилену. Понижение соотношения  $C_2H_2 : HCN$  в указанных условиях приводит к образованию неактивного цианида меди, устойчивого и выпадающего в осадок.

Вышеизложенное позволяет нам сформулировать следующее положение: для избирательного проведения процесса исходная смесь должна содержать избыток того компонента, к которому в данных конкретных условиях катализатор обладает меньшим сродством. Детальный анализ фактического материала показывает, что эти условия, хотя и эмпирические, выполняются и в других каталитических превращениях ацетилена (жидко- и парофазная гидратация и т. д.). Это имеет место и при проведении многих кислотно-каталитических процессов. Мы здесь не касаемся многих вопросов (структурно-химические свойства элементов соединения которых могут быть использованы в качестве катализаторов, способ приготовления катализатора, специфическое влияние поверхности в гетерогенных процессах и т. д.), имеющих несомненно весьма существенное значение при изучении процессов. Вместе с тем мы полагаем, что затронутые нами вопросы могут помочь в правильном подходе к изучению механизма каталитических превращений ацетилена и, в особенности, в путях изыскания новых эффективных ртутных катализаторов для таких процессов, как жидкофазная гидратация, гидрохлорирование ацетилена и т. д.

### Выводы

1. Критически рассмотрены существующие взгляды на механизм некоторых каталитических превращений ацетилена.

2. Высказаны положения о том, что:

а) катализатор должен быть способен к комплексообразованию как с ацетиленом, так и с присоединяемой к нему молекулой. В стационарных условиях, при активации компонентов, образуется тройной неустойчивый, вероятнее всего, активный комплекс ацетилен — катализатор — адденд.

В ряде случаев скорость суммарной реакции определяется скоростью активации компонентов;

б) для обеспечения максимальной избирательности исходная смесь должна содержать избыток того компонента, к которому в данных конкретных условиях катализатор обладает меньшим сродством.

Московский институт тонкой химической технологии  
им. М. В. Ломоносова

Поступила  
10. V. 1957

#### ЛИТЕРАТУРА

1. Р. М. Флид, И. М. Моисеева, Е. М. Калмыкова, Ж. физ. химии, **31**, 904, 1957.
2. Р. М. Флид, В. А. Миронов, Докл. АН СССР, **114**, 1957.
3. Р. М. Флид, Ю. Ф. Голынец, Ж. прикл. химии (в печати); Ю. Ф. Голынец, Канд. диссертация, МИТХТ, 1954.
4. W. H. Carothers, J. Am. Soc., **53**, 4203, 1931.
5. Н. Козлов, Ж. прикл. химии, **10**, 116, 1937.
6. Е. Н. Мартинсон, Н. И. Кобозев, Ж. физ. химии, **21**, 85, 1947.
7. А. Д. Петров, Успехи химии, **21**, 250, 1952.
8. E. N. Ingold, J. Chem. Soc., **125**, 1528, 1924.
9. Lawrie, Am. Chem. J., **36**, 487, 1906.
10. I. U. Nef, Ann., **29**, 8332, 1897; **308**, 264, 1899.
11. H. Biltz, Ber., **46**, 143, 1913; **60**, 2413, 1927.
12. A. Peratoner, R. Spalino, Ber., **34**, 2718, 1901.
13. Б. И. Долгов, Катализ в органической химии, ГХИ, стр. 394, 1949.
14. А. Е. Чичибабин, Основные начала органической химии, изд. 5-е, ГХИ, стр. 339, 342, 412, 1953.
15. А. П. Эльтеков, ЖРФХО, **9**, 232, 1877.
16. А. И. Клебanskiй, В. Д. Титов, Ж. прикл. химии, **20**, 1005, 1947.
17. О. А. Чалтыкян, Ж. общ. химии, **18**, 1626, 1943.
18. Г. А. Поспелова, И. Я. Шляпникох, Н. И. Кобозев, Л. А. Николаев, Ж. физ. химии, **21**, 65, 1947.
19. С. Арутюнян, С. Марутян, Каучук и резина, № 2, **36**, 1937.
20. F. Kainer, Koll. Ztschr., **113**, 121, 1949.
21. Schwabe, Voigt, Z. Ph. Ch., **203**, 383, 1954.
22. Р. Х. Фрейдлина, А. Н. Несмеянов, ДАН СССР, **26**, 59, 1940.
23. А. Н. Несмеянов, Р. Х. Фрейдлина, А. Кочетков, А. Е. Борисов и др. Изв. АН СССР, Отд. хим. наук, **137**, 146, 150, 241, 252, 631, 657, 1947; **147**, 647, 1946; **105**, 189, 289, 657, 1947; **127**, 445, 1948; **422**, 565, 567, 570, 578, 582, 1949.
24. А. Н. Несмеянов, Ж. общ. химии, **21**, 2093, 1951.
25. Ю. Ньюлэнд и Р. Фогт, Химия ацетиленов, ГИИЛ, стр. 67—150, 1947.
26. З. Ф. Доблер, Кандидатская диссертация, ВНИИСХ, 1954.
27. Р. М. Флид и Н. И. Моисеев, Ж. прикл. химии, **27**, 1145, 1954.
28. R. N. Frieman, E. R. Kennedy, H. I. Lucas, J. Am. Ch. Soc., **59**, 722, 1937.
29. F. Patat, P. Weidlich, Helv. Chim. Acta, **3**, 783, 1949.
30. Дж. Копенхавер, М. Бигелоу, Химия ацетиленов. ИИЛ, стр. 171, 1954.

#### THE KINETICS AND MECHANISM OF THE CATALYTIC CONVERSION OF ACETYLENE

##### II. ON SOME QUESTIONS CONCERNING THE MECHANISM OF ADDITION OF VARIOUS MOLECULES TO ACETYLENE

R. M. Flid

Summary

A critical examination has been made of existing conceptions on the mechanism of some catalytic conversions of acetylene.

The following principles have been suggested:

The catalyst should be capable of complexing both with acetylene and with the molecule being added. Under steady state conditions a ternary unstable, probably, acetylene—catalyst—addend complex is formed during activation of the components. In a number of cases the over-all rate is determined by the rate of activation of the components.

To obtain the maximum selectivity the initial mixture should contain an excess of the component towards which under the given conditions the catalyst has the least affinity.



НЕКОТОРЫЕ ВОПРОСЫ ТЕРМОДИНАМИКИ  
МНОГОКОМПОНЕНТНЫХ ГЕТЕРОГЕННЫХ СИСТЕМ1. ОБ УСЛОВИЯХ РАВНОВЕСИЯ ТРЕХКОМПОНЕНТНЫХ ТРЕХФАЗНЫХ  
СИСТЕМ*А. В. Сторонкин*

Целью настоящей статьи является обсуждение ряда вопросов термодинамики многокомпонентных гетерогенных систем различных типов. Особого внимания заслуживают вопросы, связанные с влиянием давления, температуры и состава на равновесие трех фаз. Обычно эти вопросы ввиду их сложности обсуждаются с помощью геометрического метода. Отдавая должное геометрическому методу, особенно в связи с его наглядностью, следует указать, что для решения неизученных вопросов термодинамики многофазных систем прежде всего необходим аналитический подход. Хотя принципиальные основы этого подхода были разработаны еще Гиббсом [1], до сих пор еще не все сделано, чтобы условия равновесия многофазных систем придать формы, удобные для решения различных конкретных вопросов термодинамики многофазных систем.

С математической точки зрения наиболее удобно избрать в качестве переменных состояния давление, температуру и химические потенциалы. Однако поскольку изменения химических потенциалов невозможно задать по желанию или предсказать, такой выбор переменных в практическом отношении является весьма неудобным.

В настоящей статье будут рассмотрены условия равновесия трехкомпонентных трехфазных систем, выраженные через давление, температуру, молярные доли и массы фаз и позволяющие учитывать тип фазового процесса.

Условия равновесия, выраженные через давление, температуру  
и молярные доли

Для того чтобы вывести условия равновесия трехкомпонентных трехфазных систем в переменных состоянии — давление, температура и молярные доли, будем рассматривать трехфазную систему как совокупность двух двухфазных систем, имеющих общую фазу. В качестве общей фазы необходимо брать фазу, содержащую все три компонента. Если же система содержит несколько трехкомпонентных фаз, то в качестве общей фазы надо брать ту фазу, в переменных которой желательно выразить условия равновесия трехфазной системы.

Как известно, равновесие многокомпонентных двухфазных систем описывается обобщенным дифференциальным уравнением Ван-дер-Ваальса [2]. Для трехфазной системы существует два дифференциальных уравнения Ван-дер-Ваальса. Для того чтобы их записать в общем виде, припишем трем сосуществующим фазам индексы  $i$ ,  $k$  и  $l$ , которые могут принимать значения 1, 2 и 3. Возьмем в качестве общей фазы  $i$ -ую фазу. Тогда трехфазную систему можно рассматривать как совокупность двух двухфазных систем, одна из которых состоит из  $i$ -ой и  $k$ -ой фаз, а другая



из  $i$ -ой и  $l$ -ой фаз. В соответствии с этим условием для трехфазной системы справедливы следующие уравнения:

$$\begin{aligned} V_{ik} dp &= \eta_{ik} dT + \varphi_1^{(ik)} dx_1^{(i)} + \varphi_2^{(ik)} dx_2^{(i)}, \\ V_{il} dp &= \eta_{il} dT + \varphi_1^{(il)} dx_1^{(i)} + \varphi_2^{(il)} dx_2^{(i)}. \end{aligned} \quad (1)$$

Здесь

$$V_{ik} = V^{(k)} - V^{(i)} - \sum_{q=1}^2 (x_q^{(k)} - x_q^{(i)}) \cdot \left( \frac{\partial V}{\partial x_q} \right)^{(i)}, \quad (2)$$

$$\eta_{ik} = \eta^{(k)} - \eta^{(i)} - \sum_{q=1}^2 (x_q^{(k)} - x_q^{(i)}) \left( \frac{\partial \eta}{\partial x_q} \right)^{(i)}, \quad (3)$$

$$\varphi_1^{(ik)} = \zeta_{11}^{(i)} (x_1^{(k)} - x_1^{(i)}) + \zeta_{12}^{(i)} (x_2^{(k)} - x_2^{(i)}), \quad (4)$$

$$\varphi_2^{(ik)} = \zeta_{12}^{(i)} (x_1^{(k)} - x_1^{(i)}) + \zeta_{22}^{(i)} (x_2^{(k)} - x_2^{(i)}), \quad (5)$$

$$\zeta_{qs} = \frac{\partial^2 \zeta}{\partial x_q \partial x_s}. \quad (6)$$

Выражения для коэффициентов  $V_{il}$ ,  $\eta_{il}$ ,  $\varphi_1^{(il)}$  и  $\varphi_2^{(il)}$  имеют аналогичный вид и могут быть получены из формул (2) — (5), если в последних индексе  $k$  заменить на индекс  $l$ . Употребляемые в формулах (1) — (6) символы имеют следующий смысл:  $\zeta$  — молярный термодинамический потенциал Гиббса,  $V$  — молярный объем,  $p$  — давление,  $\eta$  — молярная энтропия,  $T$  — температура,  $x$  — молярная доля. Верхние индексы относятся к фазам, нижние — к компонентам системы.

Коэффициенты  $V_{ik}$  и  $V_{il}$  являются дифференциальными молярными объемными эффектами для процессов образования соответственно  $k$ -ой и  $l$ -ой фаз из  $i$ -ой фазы. Коэффициенты  $\eta_{ik}$  и  $\eta_{il}$  имеют аналогичный смысл. Поэтому величины

$$\begin{aligned} Q_{ik} &= T \cdot \eta_{ik}, \\ Q_{il} &= T \cdot \eta_{il} \end{aligned} \quad (7)$$

являются дифференциальными молярными теплотами образования  $k$ -ой и  $l$ -ой фаз из  $i$ -ой фазы.

Система дифференциальных уравнений (1) выражает условия равновесия трехкомпонентной системы в переменных  $p$ ,  $T$ ,  $x_1^{(i)}$  и  $x_2^{(i)}$ . Она линейна относительно дифференциалов указанных переменных. Путем исключения одного из дифференциалов получим четыре разных по форме, но эквивалентных по содержанию дифференциальных уравнения, которые можно рассматривать как дифференциальные уравнения семейств поверхностей в системе координат  $p - x_1^{(i)} - x_2^{(i)}$ ,  $T - x_1^{(i)} - x_2^{(i)}$ ,  $p - T - x_1^{(i)}$  и  $p - T - x_2^{(i)}$ . Полагая, что одна из переменных постоянна, из этих уравнений возможно вывести выражения для производных  $\left( \frac{dp}{dx_1^{(i)}} \right)_T$ ,  $\left( \frac{dp}{dx_2^{(i)}} \right)_T$ ,  $\left( \frac{dx_2^{(i)}}{dx_1^{(i)}} \right)_T$ ,  $\left( \frac{dT}{dx_1^{(i)}} \right)_p$ ,  $\left( \frac{dT}{dx_2^{(i)}} \right)_p$ ,  $\left( \frac{dx_2^{(i)}}{dx_1^{(i)}} \right)_p$ ,  $\left( \frac{dp}{dT} \right)_{x_1^{(i)}}$ ,  $\left( \frac{dp}{dT} \right)_{x_2^{(i)}}$ ,  $\left( \frac{dp}{dx_1^{(i)}} \right)_{x_2^{(i)}}$ ,  $\left( \frac{dp}{dx_2^{(i)}} \right)_{x_1^{(i)}}$ ,  $\left( \frac{dT}{dx_1^{(i)}} \right)_{x_2^{(i)}}$  и  $\left( \frac{dT}{dx_2^{(i)}} \right)_{x_1^{(i)}}$ , описывающих равновесие в трехкомпонентных трехфазных системах [3].

Поскольку

$$\begin{vmatrix} \varphi_1^{(ik)} & \varphi_2^{(ik)} \\ \varphi_1^{(il)} & \varphi_2^{(il)} \end{vmatrix} = \begin{vmatrix} \zeta_{11}^{(i)} & \zeta_{21}^{(i)} \\ \zeta_{12}^{(i)} & \zeta_{22}^{(i)} \end{vmatrix} \cdot \begin{vmatrix} x_1^{(k)} - x_1^{(i)} & x_2^{(k)} - x_2^{(i)} \\ x_1^{(l)} - x_1^{(i)} & x_2^{(l)} - x_2^{(i)} \end{vmatrix}, \quad (8)$$

то согласно условиям устойчивости относительно непрерывных изменений состояния

$$\Delta_2^{(i)} = \begin{vmatrix} \zeta_{11}^{(i)} & \zeta_{21}^{(i)} \\ \zeta_{12}^{(i)} & \zeta_{22}^{(i)} \end{vmatrix} > 0, \quad (9)$$

то производные для изотермических и изобарических условий можно записать следующим образом:

$$\left( \frac{dp}{dx_1^{(i)}} \right)_T = \frac{\delta_x^{(i)}}{\begin{vmatrix} V_{ik} & \varphi_2^{(ik)} \\ V_{il} & \varphi_2^{(il)} \end{vmatrix}} \cdot \Delta_2^{(i)}; \quad (10)$$

$$\left( \frac{dp}{dx_2^{(i)}} \right)_T = \frac{\delta_x^{(i)}}{\begin{vmatrix} \varphi_1^{(ik)} & V_{ik} \\ \varphi_1^{(il)} & V_{il} \end{vmatrix}} \cdot \Delta_2^{(i)}; \quad (11)$$

$$\left( \frac{dx_2^{(i)}}{dx_1^{(i)}} \right)_T = - \frac{\begin{vmatrix} \varphi_1^{(ik)} & V_{ik} \\ \varphi_1^{(il)} & V_{il} \end{vmatrix}}{\begin{vmatrix} \varphi_2^{(ik)} & V_{ik} \\ \varphi_2^{(il)} & V_{il} \end{vmatrix}}; \quad (12)$$

$$\left( \frac{dT}{dx_1^{(i)}} \right)_p = - \frac{\delta_x^{(i)}}{\begin{vmatrix} \eta_{ik} & \varphi_2^{(ik)} \\ \eta_{il} & \varphi_2^{(il)} \end{vmatrix}} \cdot \Delta_2^{(i)}; \quad (13)$$

$$\left( \frac{dT}{dx_2^{(i)}} \right)_p = - \frac{\delta_x^{(i)}}{\begin{vmatrix} \varphi_1^{(ik)} & \eta_{ik} \\ \varphi_1^{(il)} & \eta_{il} \end{vmatrix}} \cdot \Delta_2^{(i)}; \quad (14)$$

$$\left( \frac{dx_2^{(i)}}{dx_1^{(i)}} \right)_p = - \frac{\begin{vmatrix} \varphi_1^{(ik)} & \eta_{ik} \\ \varphi_1^{(il)} & \eta_{il} \end{vmatrix}}{\begin{vmatrix} \varphi_2^{(ik)} & \eta_{ik} \\ \varphi_2^{(il)} & \eta_{il} \end{vmatrix}}. \quad (15)$$

В уравнениях (10), (11), (13) и (14) под  $\delta_x^{(i)}$  подразумевается компонентный определитель, имеющий вид

$$\delta_x^{(i)} = \begin{vmatrix} x_1^{(k)} - x_1^{(i)} & x_2^{(k)} - x_2^{(i)} \\ x_1^{(l)} - x_1^{(i)} & x_2^{(l)} - x_2^{(i)} \end{vmatrix}. \quad (16)$$

При выводе термодинамических дифференциальных уравнений, не только описывающих состояния равновесия трехкомпонентной трехфазной системы, но и учитывающих тип фазового процесса, будет встречаться

определитель

$$\delta_x = \begin{vmatrix} x_1^{(1)} & x_1^{(2)} & x_1^{(3)} \\ x_2^{(1)} & x_2^{(2)} & x_2^{(3)} \\ 1 & 1 & 1 \end{vmatrix}. \quad (1)$$

Легко убедиться, что справедливы равенства

$$\delta_x \quad \delta_x^{(1)} \quad \dots \quad \delta_x^{(2)} = \delta_x^{(3)}, \quad (1)$$

где выражения для  $\delta_x^{(1)}$ ,  $\delta_x^{(2)}$  и  $\delta_x^{(3)}$  могут быть получены с помощью формулы (16), если индексам  $i$ ,  $k$  и  $l$  соответственно приписать следующие значения:

- а)  $i = 1, \quad k = 2, \quad l = 3;$
- б)  $i = 2, \quad k = 1, \quad l = 3;$
- в)  $i = 3, \quad k = 1, \quad l = 2.$

Ометим, что дифференциальные выражения (10, —(15) можно рассматривать как дифференциальные уравнения проекций пространственных кривых, изображающих состояния трехкомпонентных трехфазных систем при изотермических или изобарических условиях. Действительно если в (1) ввести условие постоянства температуры, то получим дифференциальное уравнение пространственной кривой в системе координат  $p - x_1^{(i)} - x_2^{(i)}$ . Дифференциальными уравнениями проекций этой кривой на координатные плоскости  $p - x_1^{(i)}$ ,  $p - x_2^{(i)}$  и  $x_1^{(i)} - x_2^{(i)}$  являются соответственно соотношения (10) — (12). Для изобарических условий из (1) получаем дифференциальное уравнение пространственной кривой в системе координат  $T - x_1^{(i)} - x_2^{(i)}$ . Поэтому соотношения (13) — (15) можно рассматривать как дифференциальные уравнения проекций указанной кривой на координатные плоскости  $T - x_1^{(i)}$ ,  $T - x_2^{(i)}$  и  $x_1^{(i)} - x_2^{(i)}$ . Таким образом соотношения (10) — (12) и (13) — (15) позволяют исследование пространственных кривых, изображающих состояние трехкомпонентных трехфазных систем, свести к исследованию их проекций.

Укажем, что уравнения (10) и (11) описывают, в частности, зависимость давления пара трехкомпонентных растворов, находящихся в равновесии с твердой фазой или другой жидкой фазой, от состава. Соотношение (12) является дифференциальным уравнением изотерм растворимости. Уравнения (13) и (14) описывают, в частности, зависимости температур плавления трехкомпонентных эвтектических смесей от состава. Уравнение (15) является дифференциальным уравнением изобарических кривых составов (например, эвтектической кривой составов).

### Условия равновесия, учитывающие тип фазового процесса

Выведенные выше условия равновесия описывают лишь изменения состояния равновесия трехкомпонентной трехфазной системы и не учитывают тип фазового процесса, протекающего в гетерогенной системе. Между тем, даже в одной и той же системе в зависимости от ее природы и характера изменения параметров состояния могут протекать, вообще говоря, различные фазовые процессы, приводящие к неодинаковым результатам. Отсюда следует, что для полной характеристики равновесного гетерогенного процесса необходимо не только задать условия его равновесного протекания, но и учесть возможность различных способов его протекания.

В случае двухфазных систем  $F_1 - F_2$  возможны только два фазовых процесса:



Первый из них приводит к увеличению массы фазы  $F_2$  за счет массы фазы  $F_1$ , а второй — к противоположному изменению масс сосуществующих фаз.

Поскольку число возможных фазовых процессов в гетерогенной системе равно факториалу числа сосуществующих фаз ( $r!$ ), то оно резко возрастает при увеличении числа сосуществующих фаз.

В случае трехфазных систем  $F_1 - F_2 - F_3$  возможны следующие шесть типов фазовых процессов:

$$F_1 \rightarrow F_2 + F_3 (dm^{(1)} < 0, dm^{(2)} > 0, dm^{(3)} > 0), \quad (I)$$

$$F_2 + F_3 \rightarrow F_1 (dm^{(1)} > 0, dm^{(2)} < 0, dm^{(3)} < 0), \quad (II)$$

$$F_2 \rightarrow F_1 + F_3 (dm^{(1)} > 0, dm^{(2)} < 0, dm^{(3)} > 0), \quad (III)$$

$$F_1 + F_3 \rightarrow F_2 (dm^{(1)} < 0, dm^{(2)} > 0, dm^{(3)} < 0). \quad (IV)$$

$$F_3 \rightarrow F_1 + F_2 (dm^{(1)} > 0, dm^{(2)} > 0, dm^{(3)} < 0), \quad (V)$$

$$F_1 + F_2 \rightarrow F_3 (dm^{(1)} < 0, dm^{(2)} < 0, dm^{(3)} > 0), \quad (VI)$$

где в скобках указаны знаки изменений масс сосуществующих фаз  $dm^{(1)}$ ,  $dm^{(2)}$  и  $dm^{(3)}$  для соответствующих типов фазовых процессов.

Процессы (I) и (II), (III) и (IV), (V) и (VI) относительно друг друга являются прямыми и обратными фазовыми процессами. Путем соответствующих изменений параметров состояния системы возможно осуществлять переходы от прямого процесса к обратному, и наоборот. Но возможны переходы и другого рода. Так, например, процесс (I) может перейти в процесс (IV), и наоборот. При этих переходах будут выполняться условия:  $dm^{(1)} < 0$ ,  $dm^{(2)} > 0$  и  $dm^{(3)} = 0$ . Для переходов от процесса (I) к процессу (VI) и от процесса (VI) к процессу (I) справедливы условия:  $dm^{(1)} < 0$ ,  $dm^{(2)} = 0$  и  $dm^{(3)} > 0$ . И вообще переход от одних фазовых процессов к другим характеризуется тем, что приращения масс фаз, роль которых в фазовых процессах изменяется, становятся равными нулю.

Из изложенного следует, что типы фазовых процессов могут быть охарактеризованы знаками приращений масс сосуществующих фаз [4].

Так, например, по знакам производных  $\left(\frac{dm^{(1)}}{dT}\right)_p$ ,  $\left(\frac{dm^{(2)}}{dT}\right)_p$  и  $\left(\frac{dm^{(3)}}{dT}\right)_p$ , описывающих влияние изменения температуры на массы сосуществующих фаз при изобарических условиях, можно сказать о том, какой фазовый процесс протекает в трехфазной системе при повышении температуры и какой — при понижении. Аналогичные выводы можно сделать по знакам производных  $\left(\frac{dm^{(1)}}{dp}\right)_T$ ,  $\left(\frac{dm^{(2)}}{dp}\right)_T$  и  $\left(\frac{dm^{(3)}}{dp}\right)_T$ , характеризующих влияние изменения давления на массы сосуществующих фаз при изотермических условиях.

Для вывода условий равновесия, учитывающих тип фазового процесса, предположим, что трехкомпонентная трехфазная система материально изолирована от среды. Иначе говоря, предположим, что система не обменивается со средой частицами веществ.

Условия материальной изоляции для трехкомпонентной трехфазной системы можно записать следующим образом:

$$\left. \begin{aligned} x_1^{(1)}m^{(1)} + x_1^{(2)}m^{(2)} + x_1^{(3)}m^{(3)} &= m_1, \\ x_2^{(1)}m^{(1)} + x_2^{(2)}m^{(2)} + x_2^{(3)}m^{(3)} &= m_2, \\ m^{(1)} + m^{(2)} + m^{(3)} &= m, \end{aligned} \right\} \quad (19)$$

где  $m_1$ ,  $m_2$  (общие числа молей 1-го и 2-го компонентов) и  $m$  (масса системы, выраженная в молях) — постоянные величины.

Автором статьи было показано [5], что если число уравнений  $i$ , выражающих условия материальной изоляции, больше числа фаз  $r$ , то число



степеней свободы  $n$ -компонентной системы равно

$$f = n + 2 - i.$$

Если же число указанных уравнений меньше или равно числу сосуществующих фаз ( $i \leq r$ ), то условия материальной изоляции не сказываются на числе степеней свободы системы и, следовательно, справедлива обычная формула

$$f = n - r + 2.$$

При  $i \geq r$  невозможны изменения масс фаз без изменения их состава. В этом случае массы фаз могут рассматриваться как параметры состояния.

Согласно изложенному, условия материальной изоляции (19) сказываются на числе степеней свободы трехкомпонентной трехфазной системы, поскольку  $i = r = 3$ . При выполнении условий (19) массы фаз являются переменными состояниями. Путем дифференцирования (19) получим:

$$\left. \begin{aligned} x_1^{(1)} dm^{(1)} + x_1^{(2)} dm^{(2)} + x_1^{(3)} dm^{(3)} + m^{(1)} dx_1^{(1)} + m^{(2)} dx_1^{(2)} + m^{(3)} dx_1^{(3)} &= 0, \\ x_2^{(1)} dm^{(1)} + x_2^{(2)} dm^{(2)} + x_2^{(3)} dm^{(3)} + m^{(1)} dx_2^{(1)} + m^{(2)} dx_2^{(2)} + m^{(3)} dx_2^{(3)} &= 0, \\ dm^{(1)} + dm^{(2)} + dm^{(3)} &= 0. \end{aligned} \right\} \quad (21)$$

С помощью системы уравнений (22) дифференциалы масс фаз можно выразить через дифференциалы молярных долей, характеризующих состав сосуществующих фаз. Решая (22) как систему линейных относительно  $dm^{(1)}$ ,  $dm^{(2)}$  и  $dm^{(3)}$  уравнений, после некоторых преобразований получим:

$$dm^{(1)} = -\frac{1}{\delta_x} \begin{vmatrix} m^{(1)} dx_1^{(1)} + m^{(2)} dx_1^{(2)} + m^{(3)} dx_1^{(3)} & x_1^{(2)} - x_1^{(3)} \\ m^{(1)} dx_2^{(1)} + m^{(2)} dx_2^{(2)} + m^{(3)} dx_2^{(3)} & x_2^{(2)} - x_2^{(3)} \end{vmatrix}, \quad (23)$$

$$dm^{(2)} = -\frac{1}{\delta_x} \begin{vmatrix} m^{(1)} dx_1^{(1)} + m^{(2)} dx_1^{(2)} + m^{(3)} dx_1^{(3)} & x_1^{(2)} - x_1^{(1)} \\ m^{(1)} dx_2^{(1)} + m^{(2)} dx_2^{(2)} + m^{(3)} dx_2^{(3)} & x_2^{(2)} - x_2^{(1)} \end{vmatrix}, \quad (24)$$

$$dm^{(3)} = \frac{1}{\delta_x} \begin{vmatrix} m^{(1)} dx_1^{(1)} + m^{(2)} dx_1^{(2)} + m^{(3)} dx_1^{(3)} & x_1^{(1)} - x_1^{(2)} \\ m^{(1)} dx_2^{(1)} + m^{(2)} dx_2^{(2)} + m^{(3)} dx_2^{(3)} & x_2^{(1)} - x_2^{(2)} \end{vmatrix}, \quad (25)$$

где определитель  $\delta_x$  выражается по формуле (17).

Уравнения (23) — (25) позволяют выразить производные масс фаз по давлению и температуре через производные молярных долей по тем же переменным. Так, поделив левые и правые части уравнений (23) — (25) на  $dp$  при условии постоянства температуры и подставив значения производных молярных долей по давлению из формул (10) и (11), получим выражения для производных  $\left(\frac{dm^{(1)}}{dp}\right)_T$ ,  $\left(\frac{dm^{(2)}}{dp}\right)_T$  и  $\left(\frac{dm^{(3)}}{dp}\right)_T$ . Аналогичным образом с помощью формул (13), (14) и (23) — (25) можно получить выражения для производных  $\left(\frac{dm^{(1)}}{dT}\right)_p$ ,  $\left(\frac{dm^{(2)}}{dT}\right)_p$  и  $\left(\frac{dm^{(3)}}{dT}\right)_p$ .

Таким образом, с учетом (18) для изотермических условий получим

$$\begin{aligned} \left(\frac{dm^{(1)}}{dp}\right)_T &= -\frac{1}{(\delta_x)^2} \left\{ \frac{m^{(1)}}{\Delta_2^{(1)}} \left[ (x_1^{(2)} - x_1^{(3)}) \begin{vmatrix} V_{12}\varphi_1^{(12)} \\ V_{13}\varphi_1^{(13)} \end{vmatrix} + \right. \right. \\ &\quad \left. \left. + (x_2^{(2)} - x_2^{(3)}) \begin{vmatrix} V_{12}\varphi_2^{(12)} \\ V_{13}\varphi_2^{(13)} \end{vmatrix} \right] - \right. \\ &\quad \left. - \frac{m^{(2)}}{\Delta_2^{(2)}} \left[ (x_1^{(2)} - x_1^{(3)}) \begin{vmatrix} V_{21}\varphi_1^{(21)} \\ V_{23}\varphi_1^{(23)} \end{vmatrix} + (x_2^{(2)} - x_2^{(3)}) \begin{vmatrix} V_{21}\varphi_2^{(21)} \\ V_{23}\varphi_2^{(23)} \end{vmatrix} \right] + \right. \\ &\quad \left. + \frac{m^{(3)}}{\Delta_2^{(3)}} \left[ (x_1^{(2)} - x_1^{(3)}) \begin{vmatrix} V_{31}\varphi_1^{(31)} \\ V_{32}\varphi_1^{(32)} \end{vmatrix} + (x_2^{(2)} - x_2^{(3)}) \begin{vmatrix} V_{31}\varphi_2^{(31)} \\ V_{32}\varphi_2^{(32)} \end{vmatrix} \right] \right\}, \end{aligned} \quad (26)$$

$$\begin{aligned} \left(\frac{dm^{(2)}}{dp}\right)_T = & -\frac{1}{(\delta_x)^2} \left\{ \frac{m^{(1)}}{\Delta_2^{(1)}} \left[ (x_1^{(3)} - x_1^{(1)}) \left| \frac{V_{12}\varphi_1^{(12)}}{V_{13}\varphi_1^{(13)}} \right| + \right. \right. \\ & \left. \left. + (x_2^{(3)} - x_2^{(1)}) \left| \frac{V_{12}\varphi_2^{(12)}}{V_{13}\varphi_2^{(13)}} \right| \right] - \right. \\ & \left. - \frac{m^{(2)}}{\Delta_2^{(2)}} \left[ (x_1^{(3)} - x_1^{(1)}) \left| \frac{V_{21}\varphi_1^{(21)}}{V_{23}\varphi_1^{(23)}} \right| + (x_2^{(3)} - x_2^{(1)}) \left| \frac{V_{21}\varphi_2^{(21)}}{V_{23}\varphi_2^{(23)}} \right| \right] + \right. \\ & \left. + \frac{m^{(3)}}{\Delta_2^{(3)}} \left[ (x_1^{(3)} - x_1^{(1)}) \left| \frac{V_{31}\varphi_1^{(31)}}{V_{32}\varphi_1^{(32)}} \right| + (x_2^{(3)} - x_2^{(1)}) \left| \frac{V_{31}\varphi_2^{(31)}}{V_{32}\varphi_2^{(32)}} \right| \right] \right\}, \quad (27) \end{aligned}$$

$$\begin{aligned} \left(\frac{dm^{(3)}}{dp}\right)_T = & -\frac{1}{(\delta_x)^2} \left\{ \frac{m^{(1)}}{\Delta_2^{(1)}} \left[ (x_1^{(1)} - x_1^{(2)}) \left| \frac{V_{12}\varphi_1^{(12)}}{V_{13}\varphi_1^{(13)}} \right| + \right. \right. \\ & \left. \left. + (x_2^{(1)} - x_2^{(2)}) \left| \frac{V_{12}\varphi_2^{(12)}}{V_{13}\varphi_2^{(13)}} \right| \right] - \right. \\ & \left. - \frac{m^{(2)}}{\Delta_2^{(2)}} \left[ (x_1^{(1)} - x_1^{(2)}) \left| \frac{V_{21}\varphi_1^{(21)}}{V_{23}\varphi_1^{(23)}} \right| + (x_2^{(1)} - x_2^{(2)}) \left| \frac{V_{21}\varphi_2^{(21)}}{V_{23}\varphi_2^{(23)}} \right| \right] + \right. \\ & \left. + \frac{m^{(3)}}{\Delta_2^{(3)}} \left[ (x_1^{(1)} - x_1^{(2)}) \left| \frac{V_{31}\varphi_1^{(31)}}{V_{32}\varphi_1^{(32)}} \right| + (x_2^{(1)} - x_2^{(2)}) \left| \frac{V_{31}\varphi_2^{(31)}}{V_{32}\varphi_2^{(32)}} \right| \right] \right\}. \quad (28) \end{aligned}$$

Очевидно, что производные (26) — (28) удовлетворяют условию

$$\left(\frac{dm^{(1)}}{dp}\right)_T + \left(\frac{dm^{(2)}}{dp}\right)_T + \left(\frac{dm^{(3)}}{dp}\right)_T = 0. \quad (29)$$

Для изобарических условий справедливы следующие выражения:

$$\begin{aligned} \left(\frac{dm^{(1)}}{dT}\right)_p = & \frac{1}{(\delta_x)^2} \left\{ \frac{m^{(1)}}{\Delta_2^{(1)}} \left[ (x_1^{(2)} - x_1^{(3)}) \left| \frac{\eta_{12}\varphi_1^{(12)}}{\eta_{13}\varphi_1^{(13)}} \right| + \right. \right. \\ & \left. \left. + (x_2^{(2)} - x_2^{(3)}) \left| \frac{\eta_{12}\varphi_2^{(12)}}{\eta_{13}\varphi_2^{(13)}} \right| \right] - \right. \\ & \left. - \frac{m^{(2)}}{\Delta_2^{(2)}} \left[ (x_1^{(2)} - x_1^{(3)}) \left| \frac{\eta_{21}\varphi_1^{(21)}}{\eta_{23}\varphi_1^{(23)}} \right| + (x_2^{(2)} - x_2^{(3)}) \left| \frac{\eta_{21}\varphi_2^{(21)}}{\eta_{23}\varphi_2^{(23)}} \right| \right] + \right. \\ & \left. + \frac{m^{(3)}}{\Delta_2^{(3)}} \left[ (x_1^{(2)} - x_1^{(3)}) \left| \frac{\eta_{31}\varphi_1^{(31)}}{\eta_{32}\varphi_1^{(32)}} \right| + (x_2^{(2)} - x_2^{(3)}) \left| \frac{\eta_{31}\varphi_2^{(31)}}{\eta_{32}\varphi_2^{(32)}} \right| \right] \right\}, \quad (30) \end{aligned}$$

$$\begin{aligned} \left(\frac{dm^{(2)}}{dT}\right)_p = & \frac{1}{(\delta_x)^2} \left\{ \frac{m^{(1)}}{\Delta_2^{(1)}} \left[ (x_1^{(3)} - x_1^{(1)}) \left| \frac{\eta_{12}\varphi_1^{(12)}}{\eta_{13}\varphi_1^{(13)}} \right| + (x_2^{(3)} - x_2^{(1)}) \left| \frac{\eta_{12}\varphi_2^{(12)}}{\eta_{13}\varphi_2^{(13)}} \right| \right] - \right. \\ & \left. - \frac{m^{(2)}}{\Delta_2^{(2)}} \left[ (x_1^{(3)} - x_1^{(1)}) \left| \frac{\eta_{21}\varphi_1^{(21)}}{\eta_{23}\varphi_1^{(23)}} \right| + (x_2^{(3)} - x_2^{(1)}) \left| \frac{\eta_{21}\varphi_2^{(21)}}{\eta_{23}\varphi_2^{(23)}} \right| \right] + \right. \\ & \left. + \frac{m^{(3)}}{\Delta_2^{(3)}} \left[ (x_1^{(3)} - x_1^{(1)}) \left| \frac{\eta_{31}\varphi_1^{(31)}}{\eta_{32}\varphi_1^{(32)}} \right| + (x_2^{(3)} - x_2^{(1)}) \left| \frac{\eta_{31}\varphi_2^{(31)}}{\eta_{32}\varphi_2^{(32)}} \right| \right] \right\}, \quad (31) \end{aligned}$$

$$\begin{aligned} \left(\frac{dm^{(3)}}{dT}\right)_p = & \frac{1}{(\delta_x)^2} \left\{ \frac{m^{(1)}}{\Delta_2^{(1)}} \left[ (x_1^{(1)} - x_1^{(2)}) \left| \frac{\gamma_{12}\varphi_1^{(12)}}{\gamma_{13}\varphi_1^{(13)}} \right| + (x_2^{(1)} - x_2^{(2)}) \left| \frac{\gamma_{12}\varphi_2^{(12)}}{\gamma_{13}\varphi_2^{(13)}} \right| \right] - \right. \\ & - \frac{m^{(2)}}{\Delta_2^{(2)}} \left[ (x_1^{(1)} - x_1^{(2)}) \left| \frac{\gamma_{21}\varphi_1^{(21)}}{\gamma_{23}\varphi_1^{(23)}} \right| + (x_2^{(1)} - x_2^{(2)}) \left| \frac{\gamma_{21}\varphi_2^{(21)}}{\gamma_{23}\varphi_2^{(23)}} \right| \right] + \\ & \left. + \frac{m^{(3)}}{\Delta_2^{(3)}} \left[ (x_1^{(1)} - x_1^{(2)}) \left| \frac{\gamma_{31}\varphi_1^{(31)}}{\gamma_{32}\varphi_1^{(32)}} \right| + (x_2^{(1)} - x_2^{(2)}) \left| \frac{\gamma_{31}\varphi_2^{(31)}}{\gamma_{32}\varphi_2^{(32)}} \right| \right] \right\}. \quad (3) \end{aligned}$$

Производные (30) — (32) удовлетворяют условию:

$$\left(\frac{dm^{(1)}}{dT}\right)_p + \left(\frac{dm^{(2)}}{dT}\right)_p + \left(\frac{dm^{(3)}}{dT}\right)_p = 0. \quad (35)$$

Выведенные уравнения (26) — (28) и (30) — (32) позволяют: а) описать изменения состояния равновесия трехкомпонентной трехфазной системы; б) учесть типы фазовых процессов, протекающих в гетерогенной системе; и в) установить условия, при которых один фазовый процесс переходит в другой. Они являются совершенно общими, поскольку применимы к любой трехкомпонентной трехфазной системе, независимо от того, какие фазовые процессы в ней возможны.

С помощью уравнений (26) — (28) и (30) — (32) можно вывести частные уравнения, которые учитывают изменения составов, лишь затрачиваемых в результате фазового процесса фаз. Вышеперечисленные типы фазовых процессов можно разбить на две группы: а) группа фазовых процессов, в результате которых уменьшается масса лишь одной фазы (процессы (I), (III) и (V), и б) группа фазовых процессов, в результате которых уменьшаются массы двух фаз (процессы (II), (IV) и (VI)).

Полагая для первой группы фазовых процессов, что массы образующихся в результате фазового процесса фаз равны нулю, из уравнений (26) — (28) и (30) — (32) получим уравнения, учитывающие изменение состава фазы, масса которой уменьшается. Так для процесса (1) получим следующие уравнения:

$$\left(\frac{dm^{(1)}}{dp}\right)_T = -\frac{1}{(\delta_x)^2} \frac{m^{(1)}}{\Delta_2^{(1)}} \left[ (x_1^{(2)} - x_1^{(3)}) \left| \frac{V_{12}\varphi_1^{(12)}}{V_{13}\varphi_1^{(13)}} \right| + (x_2^{(2)} - x_2^{(3)}) \left| \frac{V_{12}\varphi_2^{(12)}}{V_{13}\varphi_2^{(13)}} \right| \right], \quad (34)$$

$$\left(\frac{dm^{(2)}}{dp}\right)_T = -\frac{1}{(\delta_x)^2} \frac{m^{(1)}}{\Delta_2^{(1)}} \left[ (x_1^{(3)} - x_1^{(1)}) \left| \frac{V_{12}\varphi_1^{(12)}}{V_{13}\varphi_1^{(13)}} \right| + (x_2^{(3)} - x_2^{(1)}) \left| \frac{V_{12}\varphi_2^{(12)}}{V_{13}\varphi_2^{(13)}} \right| \right], \quad (35)$$

$$\left(\frac{dm^{(3)}}{dp}\right)_T = -\frac{1}{(\delta_x)^2} \frac{m^{(1)}}{\Delta_2^{(1)}} \left[ (x_1^{(1)} - x_1^{(2)}) \left| \frac{V_{12}\varphi_1^{(12)}}{V_{13}\varphi_1^{(13)}} \right| + (x_2^{(1)} - x_2^{(2)}) \left| \frac{V_{12}\varphi_2^{(12)}}{V_{13}\varphi_2^{(13)}} \right| \right], \quad (36)$$

$$\left(\frac{dm^{(1)}}{dT}\right)_p = \frac{1}{(\delta_x)^2} \frac{m^{(1)}}{\Delta_2^{(1)}} \left[ (x_1^{(2)} - x_1^{(3)}) \left| \frac{\gamma_{12}\varphi_1^{(12)}}{\gamma_{13}\varphi_1^{(13)}} \right| + (x_2^{(2)} - x_2^{(3)}) \left| \frac{\gamma_{12}\varphi_2^{(12)}}{\gamma_{13}\varphi_2^{(13)}} \right| \right], \quad (37)$$

$$\left(\frac{dm^{(2)}}{dT}\right)_p = \frac{1}{(\delta_x)^2} \frac{m^{(1)}}{\Delta_2^{(1)}} \left[ (x_1^{(3)} - x_1^{(1)}) \left| \frac{\gamma_{12}\varphi_1^{(12)}}{\gamma_{13}\varphi_1^{(13)}} \right| + (x_2^{(3)} - x_2^{(1)}) \left| \frac{\gamma_{12}\varphi_2^{(12)}}{\gamma_{13}\varphi_2^{(13)}} \right| \right], \quad (38)$$

$$\left(\frac{dm^{(3)}}{dT}\right)_p = \frac{1}{(\delta_x)^2} \frac{m^{(1)}}{\Delta_2^{(1)}} \left[ (x_1^{(1)} - x_1^{(2)}) \left| \frac{\gamma_{12}\varphi_1^{(12)}}{\gamma_{13}\varphi_1^{(13)}} \right| + (x_2^{(1)} - x_2^{(2)}) \left| \frac{\gamma_{12}\varphi_2^{(12)}}{\gamma_{13}\varphi_2^{(13)}} \right| \right]. \quad (39)$$

Для второй группы фазовых процессов аналогичным образом получим уравнения, учитывающие изменения составов двух фаз, массы которых уменьшаются.

Разумеется, что условие равенства нулю масс образующихся фаз справедливо лишь для бесконечно малых фазовых процессов. Однако уравнения, полученные из (26)—(28) и (30)—(32) путем применения этого условия, справедливы для конечных фазовых процессов. Это в конечном итоге объясняется тем, что состояния равновесия гетерогенной системы, зависят от величин масс фаз, если последние не диспергированы. В случае двухфазных систем раствор — пар таким путем можно получить уравнения, описывающие процессы открытого испарения. Уравнения (27)—(39) были выведены другим способом Шрейнмакерсом [4] для трехкомпонентных систем, состоящих из двух твердых фаз и расплава.

### Выводы

Выведены термодинамические уравнения, позволяющие: а) описать изменения состояния равновесия трехкомпонентной трехфазной системы переменных давление — температура — молярные доли — массы фаз; б) учесть типы фазовых процессов, протекающих в гетерогенной системе; в) установить условия, при которых один фазовый процесс переходит другой.

Ленинградский государственный университет  
им. А. А. Жданова

Поступила  
11. V. 1957

### ЛИТЕРАТУРА

1. Д. В. Гиббс, Термодинамические работы, М.—Л., 1950.
2. А. В. Сторонкин, Ж. физ. химии, 15, 50, 1941.
3. А. В. Сторонкин, Вестник ЛГУ, 2, 115, 1954.
4. Die heterogenen Gleichgewichte vom Standpunkte der Phasenlehre von Dr. H. W. Bakhuis Roozeboom. Drittes Heft. Die ternären Gleichgewichte. Erster Teil. Systeme mit nur einer Flüssigkeit ohne Mischkristalle und ohne Dampf von Dr. F. A. H. Schreinemakers. Braunschweig, 1911.
5. А. В. Сторонкин, Вестник ЛГУ, 16, 74, 1956.

## SOME PROBLEMS CONCERNING THE THERMODYNAMICS OF MULTICOMPONENT HETEROGENEOUS SYSTEMS

### 1. EQUILIBRIUM CONDITIONS OF TRICOMPONENT, TRIPHASE SYSTEMS

*A. V. Storonkin*

#### Summary

Thermodynamic equations have been derived permitting: a) a description of the changes in the equilibrium states of tricomponent triphase systems in the variables pressure—temperature—molar fractions—phase masses; b) an account of the types of phase processes taking place in a heterogeneous system; c) the establishment of conditions under which a given phase process makes a transition to another one.



## ИССЛЕДОВАНИЕ СКОРОСТИ РАСТВОРЕНИЯ И СТАЦИОНАРНОГО ПОТЕНЦИАЛА АМАЛЬГАМЫ ЦИНКА В СОЛЯНОЙ КИСЛОТЕ

С. А. Николаева и Л. Дужи

Исследование кинетики растворения металлов в кислотах представляет несомненный интерес с точки зрения более глубокого понимания закономерностей гетерогенного процесса. Данная работа находится в непосредственной связи с циклом работ по исследованию кинетики растворения металлов в кислотах, проведенных под руководством проф. Я. В. Дурдина [1—6].

Кинетика растворения амальгамы цинка в соляной кислоте исследована в работе Вагнера и Трауда [7]. В этой работе авторами было показано, что растворение амальгамы цинка происходит по электрохимическому механизму без участия локальных элементов, т. е. что скорость растворения цинка определяется анодным процессом выхода ионов металла в раствор и катодным процессом выделения водорода. Детальное исследование кинетики растворения металлического цинка было проведено в работах К. А. Дворкина и Я. В. Дурдина [5, 6]. В этих работах была исследована зависимость скорости растворения и стационарного потенциала монокристаллического цинка очень высокой степени чистоты от концентрации кислоты, от интенсивности перемешивания раствора и от температуры. Как показали результаты опытов, растворение металлического цинка происходит по электрохимическому механизму с температурным коэффициентом  $\sim 2$  при увеличении температуры на  $10^\circ$ .

Так же как и у кадмия [4], стационарный потенциал цинка смещается с повышением концентрации соляной кислоты в отрицательную сторону. Однако при исследовании металлического цинка, авторы указывают, что даже небольшие изменения в физической структуре металла сильно сказываются на скорости его растворения [5]. Чтобы избежать влияния физической неоднородности поверхности, нами было предпринято исследование кинетики растворения амальгамы цинка.

## Экспериментальная часть

**Методика эксперимента.** Реактивы, употреблявшиеся в опытах, подвергались специальной очистке. Цинк марки х. ч. дополнительно очищался фракционной дистилляцией в вакууме. Ртуть очищалась предварительно путем промывания в разбавленной азотной кислоте, содержащей 5%  $\text{Hg}_2(\text{NO}_3)_2$ , после чего дистиллировалась в вакууме. Соляная кислота получалась из дважды перекристаллизованного хлористого калия и серной кислоты марки х. ч. Хлористый цинк получался из очищенных нами металлического цинка и соляной кислоты.

Во всех опытах была использована 3,5% амальгама цинка, которая приготовлялась путем растворения цинка в ртути. Эта амальгама имеет твердую фазу при комнатной температуре, но при температуре опытов она была жидкой. Спектральный анализ, который был произведен на кафедре аналитической химии Тартуского государственного университета старшим лаборантом Э. Недаком, показал, что в использованной нами амальгаме цинка, кроме цинка и ртути, были еще следы меди (дуга постоянного тока на угольных электродах).

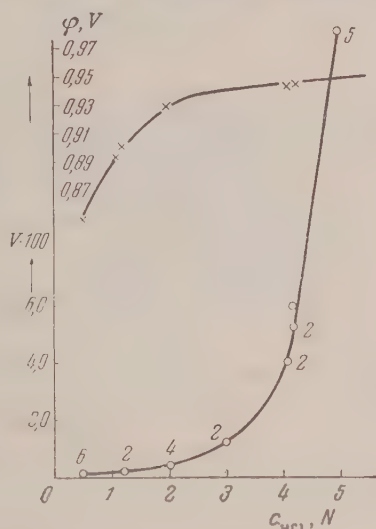
Все опыты проводились при  $50 \pm 0,1^\circ$  по методике, описанной в работах [4, 5]. Вспомогательным электродом служил насыщенный каломельный полуэлемент. Реакционный сосуд имел объем 400 мл, так что концентрация соляной кислоты во время опыта практически оставалась постоянной. Скорость растворения  $v$  измерялась ко-

пением водорода, выделявшегося в одну минуту с  $1 \text{ см}^2$  поверхности амальгамы. Начальная рабочей поверхности амальгамы была  $13,8 \text{ см}^2$ . Объем водорода приводился к нормальным условиям. Опыты проводились с перемешиванием и без перемешивания раствора. Скорость перемешивания раствора характеризовалась числом оборотов мешалки прибора  $\omega$  в одну минуту.

**Результаты опытов.** В начале каждого опыта при растворении амальгамы цинка наблюдался индукционный период, во время которого скорость растворения и стационарный потенциал устанавливались до некоторой постоянной величины. Наличие индукционного периода в данном случае связано, по-видимому, с установлением температурного режима в начале опыта, а также с надуванием пузырьков водорода на поверхности амальгамы в начальный период опыта.

Скорость растворения амальгамы цинка исследовалась в области концентраций от 0,5 до 5 N HCl. Результаты этих опытов показаны на рис. 1. Данные относятся к условиям перемешивания раствора  $\omega = 250$  об/мин. Как видно из рисунка, зависимость  $v$  от концентрации соляной кислоты имеет вид обычной показательной кривой, наблюдавшейся при растворении хрома, железа, кадмия и цинка [1—6], а также в случае катодного процесса выделения водорода на ртути [10]. По данным рис. 1 составлена табл. 1, в которой даны средние значения скоростей растворения, а также стационарных потенциалов в разных концентрациях соляной кислоты.

Из рис. 1 и табл. 1 видно, что величина стационарного потенциала  $\phi$  делается более отрицательной при увеличении концентрации соляной кислоты. По сравнению со стационарным потенциалом монокристаллического цинка [6] в тех же концентрациях соляной кислоты, стационарный потенциал амальгамы цинка более отрицателен в среднем примерно на 50—60 mV.



Зависимость скорости растворения ( $v$ ) и стационарного потенциала ( $\phi$ ) растворяющейся амальгамы цинка от концентрации HCl. Цифры у точек на кривой скорости растворения — число опытов, из которых вычислялась средняя величина данной точки

Таблица 1

Зависимость  $v$  и  $\phi$  от концентрации HCl

$C_{HCl}, N$	0,5	1,0	1,5	2,0	3,0	4,0	5,0
$v$	0,0007	0,0012	0,0025	0,0040	0,0120	0,0355	0,156
$\phi$ V (НКЭ)	—0,850	—0,888	—0,912	—0,930	—0,940	0,944	—0,948

Влияние перемешивания раствора является одним из факторов, помогающих выяснить механизм протекания гетерогенного процесса. Опыты по изучению влияния перемешивания раствора на скорость растворения амальгамы цинка показали, что оно практически отсутствует в HCl

от 0,5 до 2,0  $N$  концентрации, и весьма заметно в более концентрированных растворах кислоты. Причиной влияния перемешивания раствора скорость растворения амальгамы цинка может быть практическая равновесность ее стационарного потенциала [4], [11]. В пользу такого предположения говорит то обстоятельство, что перемешивание раствора изняет также величину стационарного потенциала. При  $\omega = 250$  об/мн. стационарный потенциал более отрицателен, чем при  $\omega = 0$ . Изменение скорости растворения связано с изменением стационарного потенциала уравнения Тафеля, приведенного к виду:

$$\varphi_2 - \varphi_1 = b \lg \frac{v_1}{v_2},$$

где  $v_1$  и  $\varphi_1$  — скорость растворения и стационарный потенциал соответственно  $\omega = 250$  об/мин., а  $v_2$  и  $\varphi_2$  — условию  $\omega = 0$ ; рассчитанное значение  $b$  при  $50^\circ$  равно 0,128 V.

В табл. 2 приведены экспериментальные и рассчитанные величины отношения скоростей растворения при перемешивании и без перемешивания раствора.

Как видно из таблицы, экспериментальные и рассчитанные величины  $v_1/v_2$  довольно хорошо совпадают между собой.

Таблица 2

Влияние перемешивания раствора на скорость растворения и на стационарный потенциал растворяющейся амальгамы цинка

$c_{HCl}, N$	$v_1/v_2$ опытн.	$\Delta\varphi, mV$	$v_1/v_2$ расч.	$c_{HCl}, N$	$v_1/v_2$ опытн.	$\Delta\varphi, mV$	$v_1/v_2$ расч.
0,5	1,0	2	1,0	4,2	1,75	32	1,8
1,2	1,0	7	1,1	5,0	1,53	—	—
2,0	1,0	8	1,1	5,0	1,53	—	—
3,0	1,3	21	1,4	5,0	1,49	—	—
4,1	1,8	27	1,65				

Нами была исследована температурная зависимость данного процесса. Величины полученных значений температурных коэффициентов приведены в табл. 3.

Как видно из таблицы, среднее значение температурного коэффициента равно 2,1. Высокое значение температурного коэффициента говорит

Таблица 3

Зависимость скорости растворения амальгамы цинка от температуры

$c_{HCl}, N$	$v_t + 10^{10} v_t$
4,11	2,13
4,11	2,19
4,23	2,0
2,0	2,0

о том, что скорость растворения амальгамы цинка при данном стационарном потенциале контролируется электрохимической стадией. Влияние же перемешивания раствора на скорость растворения амальгамы цинка обусловлено тем, что стационарный потенциал амальгамы цинка определяется концентрацией ионов цинка у растворяющейся поверхности. Перемешивание раствора уменьшает эту концентрацию и благодаря этому стационарный потенциал смещается в более отрицательную сторону, что увеличивает скорость катодного процесса выделения водорода, а следовательно, и скорость растворения амальгамы цинка. Чтобы проверить справедливость этого предположения, мы изменяли концентрацию ионов цинка у поверхности амальгамы путем добавления в раствор кислоты хлористого калия или хлористого цинка. В первом случае концентрация ионов цинка будет снижена за счет увеличения степени комплексо-



образования\*, а во втором случае концентрация ионов цинка будет увеличена. При этом между изменением величины стационарного потенциала и изменением скорости растворения амальгамы цинка должно наблюдаться соотношение (1).

Нами были проведены соответствующие опыты и результаты их представлены в табл. 4, где величины  $\eta_1$  и  $\varphi_1$  относятся к чистой кислоте,  $\eta_2$  и  $\varphi_2$  — к кислоте, содержащей соль.

Таблица 4

Влияние добавки солей  $KCl$  и  $ZnCl_2$  на скорость растворения и на стационарный потенциал амальгамы цинка

$c_{HCl}, N$	Концентр. добавл. соли, $N$	$v_1/v_2$ эксп.	$\varphi_1 - \varphi_2, mV$	$v_1/v_2$ расч.
1,09	0,25 $ZnCl_2$	2,04	-44	2,05
2,0	0,25 $ZnCl_2$	2,12	-39	1,96
0,45	1,0 $KCl$	0,75	+15	0,78
0,54	2,0 $KCl$	0,50	+51	0,44
0,51	1,0 $KCl$	0,72	+21	0,71

Мы видим, что в данном случае получается вполне хорошее совпадение экспериментальных и рассчитанных величин.

### Обсуждение результатов

Полученные экспериментальные данные показывают, что закономерности, которые определяют кинетику растворения амальгамы цинка в соляной кислоте, аналогичны закономерностям, определяющим кинетику растворения металлического кадмия в соляной кислоте [4]. Закономерности кинетики растворения кадмия были объяснены с точки зрения практической равновесности его стационарного потенциала. Это объяснение впоследствии нашло подтверждение в работах Л. Киша [12], В. И. Кравцова и И. С. Логиновой [13].

Поведение амальгамы цинка в соляной кислоте также может быть объяснено практической равновесностью ее стационарного потенциала. В этом случае скорость растворения амальгамы определяется скоростью катодного процесса выделения водорода при данном потенциале, зависящем от концентрации ионов цинка у растворяющейся поверхности.

Попытаемся сравнить относительное увеличение скорости растворения амальгамы цинка при возрастании концентрации соляной кислоты с увеличением скорости катодного процесса выделения водорода на ртути. Под «относительным увеличением скорости процесса» ( $w$ ) подразумевается отношение скорости процесса в соляной кислоте данной концентрации к скорости процесса в 1  $N$  кислоте. Такие сравнения были проделаны в работе Я. В. Дурдина для хрома [3] и в работе Я. В. Дурдина и С. А. Николаевой для кадмия [4]. Данные для катодного процесса

Таблица 5

Сравнение относительного увеличения скорости растворения цинка и амальгамы цинка с увеличением скорости катодного процесса выделения водорода на ртути

$c_{HCl}, N$	1	3	5
$w' Zn$	1	4,6	38
$w'$ амальгамы $Zn$	1	10,0	130
$w$ (катодного процесса) $Hg$	1	6,1	65
$w Zn$	1	2,6	13
$w$ амальгамы $Zn$	1	4,0	43

\* Склонность цинка к комплексообразованию хорошо подтверждается данными [8].



выделения водорода взяты из работы З. А. Иофа и В. Степановой [4] и пересчитаны так, как это было сделано в работе [4], а данные для цинка — из работы К. А. Дворкина [6].

Величины относительных скоростей даны в табл. 5, где значения представляют собой экспериментальные отношения скоростей соответствующих процессов, а  $w$  — отношение этих скоростей, когда скорость процесса в кислоте данной концентрации пересчитана на постоянный потенциал, равный стационарному потенциалу в 1 *N* соляной кислоте. Расчет производился по формуле [3, 4]:

$$\lg w' = \lg w - \frac{\Delta \varphi}{b}. \quad (1)$$

Увеличение скорости растворения при постоянном потенциале должно быть величиной того же порядка, что и увеличение скорости катодного процесса выделения водорода в том случае, когда адсорбционные процессы на сравниваемом электроде происходят аналогично тому, как это имеет место на ртутном катоде. Поэтому строго количественного совпадения в данном случае мы не можем ожидать. Величины же  $w$  амальгамы Zn имеют более близкое значение к соответствующим величинам  $w$  катодного процесса Hg, а не к величинам  $w$  Zn. Это и понятно, поскольку протекание катодного процесса на амальгамах, согласно Бокрису [14], мало отличается от протекания его на чистой ртути в отсутствие адсорбционных явлений.

Как отмечалось в работах [4–6], вопрос о влиянии перемешивания является наиболее трудным при объяснении закономерностей кинетики растворения металлического кадмия и цинка. В данном случае при растворении амальгамы цинка этот вопрос решается гораздо легче, причем не только качественно, но и количественно. Однако, если сравнить изменение влияния перемешивания раствора на скорость растворения с увеличением концентрации кислоты в случае амальгамы цинка с одной стороны, а также в случае металлического кадмия и цинка — с другой, то можно заметить, что в первом случае оно возрастает с увеличением концентрации соляной кислоты, достигая максимального значения в области 4 *N* соляной кислоты. Во втором случае влияние перемешивания раствора на скорость растворения непрерывно падает с увеличением концентрации соляной кислоты. Такое кажущееся на первый взгляд несоответствие может быть объяснено следующим образом. Влияние перемешивания раствора на процесс растворения зависит от перепада концентраций ионов исследуемого металла у его поверхности и в растворе.

Чем больше эта разница, тем больше влияние перемешивания раствора. В нашем случае мы можем считать концентрацию ионов цинка в растворе практически равной нулю. Поверхностная же концентрация ионов металла является функцией его скорости растворения. Поэтому при очень малых скоростях растворения мало или практически отсутствует влияние перемешивания раствора на скорость растворения. По мере увеличения скорости растворения в связи с ростом концентрации ионов цинка у поверхности должно возрастать и влияние перемешивания раствора. Однако при очень высоких скоростях растворения, наблюдаемых в случае концентрированных растворов соляной кислоты, интенсивное выделение пузырьков водорода приводит к резкому увеличению роли автоперемешивания и в отсутствие дополнительного вращения мешалки. Отсюда мы можем сделать вывод, что влияние перемешивания раствора на скорость растворения металлов, растворяющихся при практически равновесном потенциале, должно иметь максимум в некоторой области концентраций. Следует отметить, что этот вывод справедлив только в том случае, когда отсутствуют другие факторы, также влияющие на скорость растворения, как, например, закрывание поверхности растворяющегося металла газообразным водородом, на что указывалось в работах [4, 5].

## Выводы

1. Исследованы скорость растворения и потенциал растворяющейся амальгамы цинка в  $\text{HCl}$  от 0,5 до 5  $N$ .

2. Изучено влияние перемешивания, температурный коэффициент и влияние добавки солей  $\text{ZnCl}_2$  и  $\text{KCl}$  на кинетику растворения амальгамы цинка.

3. Полученные результаты хорошо согласуются с предположением о том, что скорость растворения амальгамы цинка определяется скоростью катодного процесса выделения водорода при данном стационарном потенциале, определяемом концентрацией ионов цинка у растворяющейся поверхности амальгамы.

Государственный университет  
Тарту

Поступила  
13. V. 1957

## ЛИТЕРАТУРА

1. Я. В. Дурдин и А. М. Маркевич, Ж. общ. химии, 19, 2131, 1949.
2. Я. В. Дурдин и М. А. Оранская, Ж. общ. химии, 21, 604, 1951.
3. Я. В. Дурдин, Ж. общ. химии, 22, 2, 1952.
4. Я. В. Дурдин и С. А. Николаева, Вестн. ЛГУ, № 5, 163, 1955.
5. К. А. Дворкин и Я. В. Дурдин, Вестн. ЛГУ, № 4, 99, 1956.
6. К. А. Дворкин, Диссертация ЛГУ, 1949.
7. C. Wagner, W. Traudt, Z. Elektrochem., 44, 391, 1938.
8. H. Gerischer, Z. Elektrochem., 202, 302, 1953.
9. Я. В. Дурдин и С. А. Николаева, Вестник ЛГУ, № 4, 83, 1956.
10. З. А. Иофа и В. А. Степанова, Ж. физ. химии, 19, 125, 1945.
11. Я. М. Колотыркин, Ж. физ. химии, 25, 1248, 1951.
12. Л. Киш, Исследование кинетики электродных процессов на хrome, кадмии и амальгаме кадмия в связи с электрохимической теорией растворения металлов, автореф. канд. диссертации, ЛГУ, 1956.
13. В. И. Кравцов и И. С. Логинава, Ж. физ. химии, 31, 2438, 1957.
14. Y. O'M Bockris, Chem. Rev., 43, 525, 1948.

# A STUDY OF THE RATE OF DISSOLUTION AND POTENTIAL OF ZINC AMALGAM DISSOLVING IN HYDROCHLORIC ACID

S. A. Nikolaeva and L. Lumi

## Summary

The rate of dissolution and the steady state potential of zinc amalgam dissolving in 0.5 to 5  $N$   $\text{HCl}$  have been investigated. Stirring was found to affect both the dissolution rate and the steady state potential of the amalgam. The addition of  $\text{ZnCl}_2$  shifted the potential to the positive, lowering the dissolution rate; addition of  $\text{KCl}$  led to a negative shift, increasing the rate. The results obtained are in good agreement with the view that the rate of zinc amalgam dissolution is determined by the rate of hydrogen evolution at the cathode at the given steady state potential, which is determined by the concentration of zinc ions at the dissolving zinc amalgam surface.

## ТЕОРИЯ АДсорбЦИОННО-ТЕРМИЧЕСКОГО РАЗДЕЛЕНИЯ

*Е. В. Вагин и А. А. Жужовицкий*

Среди различных способов извлечения и разделения смесей в химической и нефтяной промышленности все большее значение приобретают адсорбционные методы. Особенно широкое распространение получают различные варианты хроматографического метода Цвета. Одним из вариантов этого метода является адсорбционно-термическое разделение, основанное на движении адсорбционной полосы вдоль слоя адсорбента под влиянием перемещающегося температурного поля.

Несмотря на наличие значительного числа опубликованных работ, а также широкое использование процесса в промышленности, не сформулирована еще теория адсорбционно-термического разделения.

Рассмотрение Виртом [1] адсорбционно-термического разделения на основе аналогии с ректификацией, а также предложенное Яновским [2] толкование процесса с позиции теории вытеснительного анализа Тизелуса [3] являются весьма приближенными решениями задачи.

В настоящем сообщении излагаются основные положения общей теории адсорбционно-термического разделения, в основу которой положена динамика процесса.

В первой части будет рассмотрен процесс формирования фронта одного вещества при термической десорбции и установлены зависимости, определяющие положение фронта веществ с линейными и лентмюровскими изотермами адсорбции. В этой части сообщения обсуждены вопросы распределения нескольких веществ в процессе адсорбционно-термического разделения, а также размывания границ соприкосновения компонентов.

Целесообразно вначале кратко обсудить физические причины, вызывающие термическое разделение. Как известно, все хроматографические методы основываются на различных скоростях перемещения адсорбированных веществ вдоль слоя адсорбента, что объясняется разной адсорбируемостью компонентов. Метод термического разделения отличается от других методов природой фактора, вызывающего это движение.

При движении печи вдоль слоя происходит нагревание адсорбента и, следовательно, десорбция адсорбата. Благодаря возникающему локальному повышению давления появляется гидродинамическое течение, которое приводит для случая смеси к разделению веществ.

Разберем простейший случай термической десорбции — распределения в температурном поле одного вещества.

Пусть длина слоя адсорбента бесконечно велика, температурное поле в печи задано и не зависит от времени, причем в сечении, перпендикулярном оси колонны, температуры всех точек одинаковы. Пусть печь, создающая это температурное поле, движется с некоторой скоростью. Допустим, что скорость адсорбции бесконечно велика, а продольная диффузия отсутствует.

На рис. 1 изображены отдельные этапы формирования фронта вещества на адсорбенте. Позиции б соответствуют начальному положению, при котором на адсорбент нанесено некоторое количество вещества. Остальное пространство в колонне занято газом-носителем, адсорбция которого равна нулю. Газ-носитель может входить и удаляться из адсорбера.



Перемещение температурного поля из  $\theta_1$  в  $\theta_2$  вызывает соответствующее перемещение адсорбированного вещества из  $\sigma_1$  в  $\sigma_2$ . При этом изменяется характер распределения вещества, так как на участке слоя с адсорбированным веществом температура переменна, а давление постоянно. Количество же адсорбированного вещества при постоянном давлении определяется температурой в соответствии с уравнением изобары адсорбции  $a = f(T)$ . Количество вещества, адсорбированного на задней грани, будет непрерывно уменьшаться, а сама грань будет неподвижна относительно слоя адсорбента. Вещество, адсорбированное с задней части фронта, адсорбируется в передней части фронта, причем количество адсорбированного на единицу адсорбента вещества на передней грани будет постоянно, так как температура в этом месте по-прежнему еще равна начальной температуре. Адсорбция вещества в передней части фронта приводит к движению передней грани относительно слоя адсорбента. Формирование фронта заканчивается тогда, когда в каждом сечении количество вещества и температура будут находиться в полном соответствии, определяемом изобарой  $a(T)$ , и в дальнейшем стабильный фронт будет двигаться по слою со скоростью, равной скорости печи. Это состояние изображено на рис. 1 позицией 2.

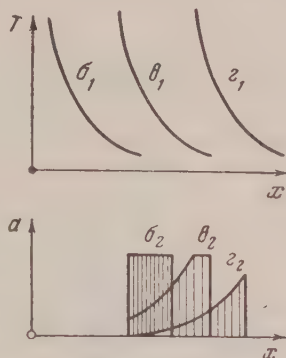


Рис. 1

Таким образом, после окончания формирования фронта перемещающемуся полю температур соответствует перемещающееся с такой же скоростью распределение адсорбированного вещества. Связь между температурным полем и распределением вещества определяется уравнением изобары. В частности, для линейной изотермы адсорбции:

$$a = Ae^{Q/RT}. \quad (1)$$

Для случая десорбции одного вещества заданные зависимости  $a(T)$  при  $P = \text{const}$  и  $T(x)$  исчерпывает задачу и представляет возможность найти температуру  $T_1$ , определяющую положение передней грани образовавшегося фронта.

### Термическая десорбция одного вещества

Рассмотрим задачу о движении полосы, содержащей один компонент.

Обозначим количество адсорбированного вещества на единицу сечения адсорбера через  $a_0$ , температуру, соответствующую передней грани сформированного фронта, — через  $T_1$ . Пусть  $a(T)$  — уравнение изобары, а  $T(x)$  (см. рис. 2) перемещается вдоль слоя со скоростью  $W_n$ . Началу координат ( $x = 0$ ) соответствует бесконечно большая температура.

Элементарное количество адсорбированного вещества будет равно

$$da = a(T) dx \quad (2)$$

или выражая  $x$  через  $T$ ,

$$da = a(T) \frac{1}{T'(x)} \cdot dT \quad (2')$$

Все количество адсорбированного вещества составит

$$a_0 = \int_0^{T_1} a(T) \frac{1}{T'(x)} dT. \quad (3)$$



Так как  $x$  однозначно определяет  $T$ , то  $a(T) \frac{1}{T'(x)} = \varphi(T)$  и

$$a_0 = \int_{\infty}^{T_1} \varphi(T) dT. \quad (3)$$

Из выражения (3') может быть определена температура  $T_1$ .

Чтобы определить длину слоя, которую занимает стабильный фронт вещества, проинтегрируем уравнение (2) по  $x$ :

$$a_0 = \int_0^l a(T) dx. \quad (4)$$

Так как  $T = T(x)$ , то

$$a_0 = \int_0^l f(x) dx. \quad (4')$$

Из уравнения (4') может быть определена величина  $l$ .

Из основных уравнений термической десорбции (3') и (4') следует, что увеличение количества адсорбированного вещества вызывает уменьшение  $T_1$  и увеличение  $l$ .

Разберем несколько частных случаев термической десорбции одного вещества.

### Термическая десорбция газа с линейной изотермой адсорбции

Изобара адсорбции газа с линейной изотермой определяется уравнением (1).

Пусть температурное поле характеризуется равнобочной гиперболой:

$$T = \frac{E}{x}. \quad (5)$$

Определим по уравнению (4') длину слоя, занимаемую стабильным фронтом газа:

$$a_0 = \int_0^l A e^{Qx/RE} dx.$$

После интегрирования получаем длину фронта  $l$ :

$$l = \frac{RE}{Q} \ln \left( 1 + \frac{a_0 Q}{ARE} \right). \quad (6)$$

Температура передней грани фронта  $T_1$  определяется из (5) и (6).

$$T_1 = \frac{Q}{R} \frac{1}{\ln \left( 1 + \frac{a_0 Q}{ARE} \right)}. \quad (7)$$

Из формулы (7) видно, что при прочих равных условиях уменьшение величины  $E$  понижает температуру передней грани фронта. Из этого же уравнения следует, что при прочих равных условиях увеличение адсорбционной емкости адсорбента приводит к повышению температуры передней грани фронта.

### Термическая десорбция газа с изотермой адсорбции Ленгмюра

Изобара адсорбции по Ленгмюру выражается уравнением:

$$a = \frac{Ae^{\frac{Q}{RT}}}{1 + Be^{\frac{Q}{RT}}} \quad (8)$$

Температурное поле, так же как и для предыдущего случая, описывается равнобочной гиперболой (5).

Воспользуемся уравнением (4) и определим длину слоя, занимаемую стабильным фронтом газа:

$$a_0 = \int_0^l \frac{Ae^{Qx/RE}}{1 + Be^{Qx/RE}} dx,$$

откуда

$$l = \frac{RE}{Q} \ln \frac{(1 + B)e^{a_0 QB/ARE} - 1}{B} \quad (9)$$

Так же как и уравнение (6), уравнение (9) описывает логарифмическую зависимость длины фронта от свойства адсорбента и адсорбата, величины, характеризующей температурное поле и количества нанесенного на адсорбент газа.

Для определения температуры передней грани фронта воспользуемся уравнениями (5) и (9):

$$T_1 = \frac{Q}{R} \cdot \frac{1}{\ln \frac{1}{B} [(1 + B)e^{a_0 QB/ARE} - 1]} \quad (10)$$

Уравнение (10) показывает, что при прочих равных условиях (в том числе и равных количествах нанесенного вещества  $a_0$ ) чем меньше  $E$ , тем ниже температура передней грани фронта.

Уравнение (10), так же как и уравнение (7), выведено для случая термической десорбции одного вещества при условии бесконечно большой температуры на горячем конце адсорбера. Представляет интерес определение температуры переднего фронта вещества в случае конечной температуры на горячем конце адсорбера. Если задаться длиной адсорбера  $L$ , то температура переднего фронта  $T_L$  будет равна

$$T_L = \frac{Q}{R} \frac{1}{\ln \frac{1}{B} \left[ \frac{(1 + B)e^{\frac{a_0 QB}{ARE}} - 1}{1 - e^{\frac{a_0 QB}{ARE} - \frac{QL}{RE}}} \right]} \quad (10')$$

Вывод формулы (10') аналогичен выводу формулы (10).

### Распределение веществ в процессе адсорбционно-термического разделения

Рассмотрим механизм процесса термического разделения смеси нескольких газов.

Оставим в силе принятые раньше приближения, будем считать скорость сорбции бесконечно большой, а продольную диффузию — отсутствующей.

Движение температурного поля вызывает в каждом сечении десорбцию одних компонентов и адсорбцию других и, как результат этих процессов, течение газов через адсорбент.

Для любого  $i$ -го компонента разделяемой смеси справедливы уравнения

$$-\frac{\partial \alpha_i}{\partial x} = \frac{\partial a_i}{\partial t} \quad (1)$$

$$a_i = f(c_1, c_2, \dots, c_n, T). \quad (2)$$

где  $x$  — расстояние от начала слоя,  $t$  — время,  $\alpha$  — линейная скорость потока,  $c_i$  — концентрация,  $a_i$  — величина адсорбции,  $T$  — температура.

Уравнение (11) является основным уравнением динамики сорбции, выражает материальный баланс вещества, уравнение (12) — термическое уравнение адсорбции одного компонента из газовой смеси. Системы уравнений, аналогичные системе (11), (12), встречаются в ряде работ по динамике сорбции [4, 5, 6]. Отличие написанных выше выражений от уравнений в указанных работах заключается в том, что в нашем случае температура  $T$  является функцией  $x$  и  $t$ . Эта зависимость целиком определяется законом движения печи, так как мы будем полагать, что температура в любой точке адсорбента точно равна температуре печи в этом месте.

Таким образом, зависимость

$$T = T(x, t) \quad (13)$$

должна быть задана законом движения и характеристикой печи.

Для термической десорбции характерно непостоянство  $\alpha$ , поэтому  $\alpha$  в уравнении (11) введено под знак дифференциала. Система уравнений (11) и (12) содержит для  $n$  компонентов  $(2n + 1)$  неизвестных функций, так как кроме  $c_i$  и  $a_i$  искомой функцией является и  $\alpha$ . Число же уравнений равно  $2n$ .

Недостающее уравнение вытекает из требования постоянства давления во всех точках адсорбента:

$$T \sum_{i=1}^n c_i = B. \quad (14)$$

Это уравнение справедливо для смеси идеальных газов. Здесь  $B = \frac{P}{R}$ , где  $P$  — общее давление в системе, а  $R$  — газовая постоянная.

Таким образом, система уравнений (11), (12), (13) и (14) при соответствующих краевых и начальных условиях позволяет определить искомое распределение веществ в любой момент времени.

Для случая асимптотического распределения, перемещающегося со скоростью  $w$ , все концентрации  $c_i$ , величины адсорбции  $a_i$  и, следовательно, скорости  $\alpha$  могут быть связаны одной общей переменной  $y$ , которая имеет вид:

$$y = x - wt. \quad (15)$$

Уравнение (15) является уравнением движения волны, где  $w$  — скорость движения адсорбционной волны, равная скорости движения печи.

После замены переменных  $x$  и  $t$  в уравнении (11) имеем

$$\frac{d\alpha_i}{dy} = w \frac{da_i}{dy}.$$

Интегрирование этого уравнения дает:

$$\alpha_i = w a_i + K.$$

Постоянная интегрирования  $K = 0$ , так как  $c_i = 0$  соответствует  $a_i = 0$ ; следовательно,

$$\alpha_i = w a_i. \quad (16)$$

Последнее уравнение вместе с уравнением (14) и термическим уравнением адсорбции (12) образует алгебраическую систему уравнений, характеризующую асимптотическое распределение.

Остановимся на некоторых частных случаях термического разделения и определим для них асимптотическое распределение.

### Асимптотическое распределение веществ с линейными изотермами адсорбции

В рассматриваемом случае все компоненты разделяемой смеси имеют линейные изотермы адсорбции  $a_i = \Gamma_i c_i$  с неравнозначными коэффициентами адсорбции  $\Gamma_i$ , зависящими лишь от температуры.

Уравнение (16) принимает вид:

$$\alpha = \Gamma_i w. \quad (17)$$

Скорость потока  $\alpha$  в данный момент и в данной точке величина постоянная. Поэтому из уравнения (17) следует, что коэффициенты адсорбции всех компонентов  $\Gamma_i$  равны между собой, что противоречит исходным условиям.

Это означает, что в асимптотическом распределении компоненты не могут сосуществовать. Единственным распределением, отвечающим уравнению (17), является полное разделение компонентов при соблюдении уравнения (14).

Для разбираемого случая асимптотическое распределение компонентов представится в следующем виде: в зоне высоких температур разместится компонент с наибольшим коэффициентом адсорбции. Закон распределения адсорбированного количества этого вещества определится его изобарой адсорбции, так как во всех точках слоя давление должно быть постоянным. Далее расположатся чистые компоненты в соответствии со своей адсорбируемостью. Такое асимптотическое распределение при термическом разделении смеси газов с линейными изотермами адсорбции представлено на рис. 3.

Следовательно, для предсказания асимптотического распределения необходимо знать лишь изобары адсорбции отдельных компонентов.

Остановимся кратко на физическом толковании полученных результатов. Уравнение (17) определяет скорость движения компонентов по слою. Эта скорость зависит лишь от коэффициента адсорбции  $\Gamma_i$  данного компонента. Поэтому менее адсорбирующее вещество в любом месте слоя при любых составах адсорбированной и газовой фаз будет двигаться быстрее всех других компонентов. Одинаковые скорости перемещения по слою  $w$  компоненты могут приобрести только в том случае, если они расположатся в разных температурных зонах. Следовательно, при достаточно большой длине слоя должно установиться асимптотическое распределение компонентов в различных температурных зонах в соответствии с их адсорбируемостью.

### Асимптотическое распределение веществ с изотермами адсорбции Ленгмюра

Как известно, адсорбция любого  $i$ -го компонента из смеси, подчиняющейся уравнению Ленгмюра, описывается уравнением

$$a_i = \frac{\Gamma_i c_i}{1 + \frac{1}{z} \sum_{n=1}^m \Gamma_n c_n}.$$

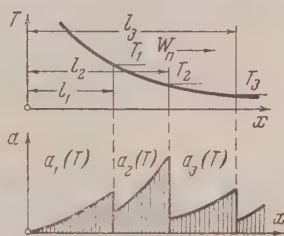


Рис. 3



Здесь  $\Gamma_i$  — коэффициент адсорбции данного газа при  $c \rightarrow 0$ , а  $z$  — число адсорбционных центров,  $m$  — число компонентов в смеси,  $n$  варьирует от 1 до  $m$ .

Рассматриваемое уравнение может быть переписано следующим образом:

$$\frac{a_i}{c_i} = \frac{\Gamma_i}{1 + \frac{1}{z} \sum_1^m \Gamma_n c_n}. \quad (18)$$

Тогда уравнение движения искомого асимптотического распределения (16) примет вид:

$$\alpha = w \frac{\Gamma_i}{1 + \frac{1}{z} \sum_1^m \Gamma_n c_n}. \quad (19)$$

Для всех  $m$  компонентов в уравнении (19) знаменатель — величина однозначная. Скорость потока  $\alpha$  и скорость движения асимптотического распределения  $w$ , как указывалось выше, в данный момент и в данном сечении величины постоянные для любого компонента. Поэтому из уравнения (19) вновь следует парадоксальный вывод равенства коэффициентов адсорбции  $\Gamma_i$  всех компонентов.

Следовательно, для случая термического разделения смеси, описываемой уравнением Ленгмюра, в асимптотическом распределении компоненты не могут сосуществовать, а четко разделяются и располагаются в различных температурных зонах печи. Распределение

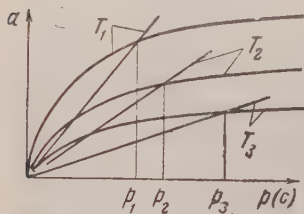


Рис. 4

компонентов в рассматриваемом случае аналогично распределению веществ с линейными изотермами адсорбции.

Однако такое благоприятное для разделения распределение компонентов имеет место не для всех термических уравнений адсорбции. Рассмотрим в качестве примера смесь двух газов, один из которых имеет линейную, а другой выпуклую независимые изотермы. Пусть эти изотермы пересекаются при некотором зависящем от температуры давлении  $P_2$ , как это показано на рис. 4. Это означает, что изобары для давления в адсорбционной колонне, например  $P_2$ , пересекаются при некоторой температуре  $T_2$ . При всех температурах выше  $T_2$  давление, соответствующее пересечению изотерм, будет больше  $P_2$ , т. е. в области, которая не представляет интереса для разбираемого случая. В области же ниже давления  $P_2$  при температурах выше  $T_2$  изотермы не пересекаются (см. рис. 4). Это означает, что отношение  $\frac{a}{c}$  (или  $\frac{a}{P}$ ), входящее в уравнение (16), в рассматриваемой области давлений (от 0 до  $P_2$ ) больше у вещества, обладающего выпуклой изотермой. Следовательно, это вещество будет двигаться медленнее и не сможет сосуществовать со вторым веществом, обладающим линейной изотермой адсорбции.

При температуре  $T_2$  отношение  $\frac{a}{c}$  равнозначно для обоих компонентов, поэтому, начиная с температуры  $T_2$  и ниже, к первому компоненту будет прибавляться все большее количество второго. При этом парциальное давление первого компонента равно давлению пересечения изотерм, а парциальное давление второго дополняет первое до  $P_2$ . В результате при некоторых количественных отношениях компонентов в исходной

в распределении окажется область, где оба компонента будут перемешаны.

Существенно, что это распределение является устойчивым. Действительно, возможно другое, неустойчивое распределение, также удовлетворяющее уравнению (16). В этом распределении часть лучше адсорбирующего вещества займет область выше температуры  $T_2$ . Ниже температуры  $T_2$  разместится все чистое второе вещество, вслед за которым при более низких температурах расположится остаток первого.

Такое распределение удовлетворяет уравнению (16), но оно легко перейдет в описанное выше устойчивое распределение при любом импульсе, приводящем к перемешиванию.

Рассмотренный случай адсорбционной ацеотропии не является единственно возможным. Если адсорбция компонентов протекает независимо, то разделение при криволинейных изотермах не всегда будет иметь место. Действительно, например для бинарной смеси, можно найти две концентрации, удовлетворяющие при данной температуре двум требованиям (14) и (16).

### Положение компонентов в асимптотическом распределении

Оставим в силе все допущения и ограничения, сделанные для случая адсорбции одного вещества. Будем считать известными изобары каждого вещества смеси и уравнение температурного поля  $T = T(x)$ .

Из ранее изложенного следует, что в результате процесса термического разделения в адсорбционной колонке с некоторого момента может становиться асимптотическое распределение веществ, определяющееся их адсорбционным сродством с адсорбентом (см. рис. 3).

Это асимптотическое распределение движется по слою со скоростью  $w$ .

Из сделанного нами допущения об отсутствии продольной диффузии следует, что постоянство давления в каждом сечении слоя обеспечивается давлением одного компонента.

Определим характеристические температуры  $T_1, T_2, T_3, \dots$ , фиксирующие положение каждого фронта вещества в температурном поле.

Введем следующие обозначения:

$a_{01}$  — количество нанесенного на единицу сечения адсорбера первого вещества,

$a_{02}$  — количество нанесенного второго вещества и т. д.

$a_1(T)$  — уравнение изобары первого вещества,

$a_2(T)$  — уравнение изобары второго вещества и т. д.

Остальные обозначения оставим прежними. Для первого вещества справедливо выражение (3) и  $T_1$  может быть найдена из уравнения

$$a_{01} = \int_{\infty}^{T_1} a_1(T) \frac{1}{T'(x)} dT. \quad (20)$$

Составляя дифференциальные уравнения, аналогичные (2'), для второго, третьего и т. д. веществ и интегрируя эти уравнения в соответствующих температурных пределах, имеем:

$$a_{02} = \int_{T_1}^{T_2} a_2(T) \frac{1}{T'(x)} dT. \quad (20')$$

Применяя уравнения (20), (20') и т. д., определяем  $T_1, T_2, \dots, T_m$ .

### О размывании границ соприкосновения компонентов

Теоретическая выходная кривая для случая термического разделения без учета влияния кинетики процесса, продольной диффузии и других реальных размывающих факторов имеет вид прямоугольной с пеньки (пунктирная кривая на рис. 5). Положение вертикального участка выходной кривой зависит от характеристической температуры, которая, как это было выше показано, может быть определена теоретически.

Продольная диффузия и кинетика процесса размывают переходную область выходной кривой. Характер протекания выходной кривой в этом случае изображен на рис. 5 сплошной линией.

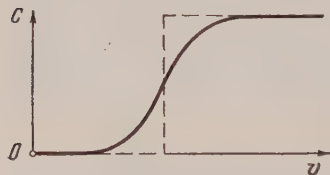


Рис. 5

Таким образом, в отличие от идеального процесса, в котором появление вещества фиксируется строго определенной температурой  $T_x$ , для реального процесса характерен интервал температур, определяющий переход от одного вещества к другому. Характеристическая температура в этом случае, естественно, должна находиться внутри этого интервала.

Определим форму выходной кривой, учитывая влияние на последнюю продольной диффузии.

Дифференциальное уравнение процесса с учетом продольной диффузии запишется в следующем виде:

$$-\frac{\partial \alpha c}{\partial x} + \frac{\partial}{\partial x} \left( D \frac{\partial c}{\partial x} \right) = \frac{\partial a}{\partial t}, \quad (23)$$

где  $D$  — коэффициент продольной диффузии, а остальные обозначения приняты прежними.

Будем искать стационарное решение в виде волны  $c = f(y)$ ;  $y = x - wt$ :

$$-\frac{d\alpha c}{dy} + \frac{d}{dy} \left( D \frac{dc}{dy} \right) = -w \frac{da}{dy}. \quad (24)$$

Интегрирование этого уравнения дает:

$$-\alpha c + D \frac{dc}{dy} = -wa + B_1.$$

Постоянная интегрирования  $B_1 = 0$ , так как при  $c = 0$ ,  $a = 0$  и  $\frac{dc}{dy} = 0$ ,

$$D \frac{dc}{dy} = \alpha c - wa. \quad (25)$$

Для прямолинейной изотермы  $a = \Gamma c$  равенство (25) запишется

$$D \frac{dc}{dy} = \alpha c - w \Gamma c$$

или

$$D \frac{d \ln c}{dy} = \alpha - w \Gamma. \quad (26)$$

Интегрирование этого уравнения осложнено тем, что  $\alpha$  является некоторой неизвестной функцией  $y$ .

Напишем уравнение (26) для сечения колонны, расположенного на расстоянии  $x$  от начала «печи».

Для первого вещества имеем:  $D \frac{d \ln c_1}{dx} = \alpha - w \Gamma_1$ .

Для второго вещества:  $D \frac{d \ln c_2}{dx} = \alpha - w \Gamma_2$ .

Исключаем  $\alpha$ :

$$D \frac{d \ln \frac{c_1}{c_2}}{dx} = w (\Gamma_2 - \Gamma_1). \quad (27)$$

Здесь следует отметить, что коэффициент диффузии в гранулированном теле прямо пропорционален линейной скорости  $\alpha$ , которая в нашем случае является величиной переменной. Для упрощения математических выкладок будем приближенно считать коэффициент диффузии постоянным, понимая под  $D$  некоторую усредненную величину, отличную от истинного коэффициента диффузии.

Решение уравнения (27) дает:

$$D \ln \frac{N_1}{N_2} = w \int_0^z (\Gamma_2 - \Gamma_1) dz. \quad (28)$$

Здесь  $N_1$  и  $N_2$  — молярные доли первого и второго вещества,  $z$  — длина слоя, причем  $z = 0$  при  $N_1 = N_2$ .

Как известно, для прямолинейной изотермы:  $\Gamma = Ae^{Q/RT}$ .

Если температурное поле описывается линейным законом  $T = T_x - \gamma z$ ,

$$\text{то } \Gamma = Ae^{Q/RT_x} \left(1 - \frac{\gamma z}{T_x}\right).$$

Здесь  $T_x$  — характеристическая температура. При  $\frac{\gamma z}{T_x}$ , значительно

меньшим единицы

$$\begin{aligned} \Gamma &\approx Ae^{\frac{Q(1+\gamma z/T_x)}{RT_x}} = A \cdot e^{Q/RT_x} \cdot e^{Q\gamma z/RT_x^2}, \\ \Gamma &= \rho e^{\sigma z}, \end{aligned} \quad (29)$$

где

$$\rho = Ae^{Q/RT_x}, \quad \sigma = \frac{Q\gamma}{RT_x^2}.$$

Интегрируя (28) совместно с (29), получаем

$$D \ln \frac{N_1}{N_2} = w \left[ \frac{1}{\sigma_2} (\Gamma_2 - \Gamma_2^x) - \frac{1}{\sigma_1} (\Gamma_1 - \Gamma_1^x) \right]. \quad (30)$$

В уравнении (30)  $\Gamma_1^x$  и  $\Gamma_2^x$  — коэффициенты адсорбции первого и второго компонентов при характеристической температуре.

Наряду с продольной диффузией существенным фактором, размывающим границу соприкосновения компонентов, является конечность скорости адсорбции.

Рассмотрим влияние этого фактора на размывание выходной кривой.

Дифференциальные уравнения процесса для случая веществ с прямолинейными изотермами образуют систему:

$$-\frac{\partial \alpha c}{\partial x} = \frac{\partial a}{\partial t}, \quad (31)$$

$$\frac{\partial a}{\partial t} = \beta \left( c - \frac{a}{\Gamma} \right). \quad (32)$$

В этой системе уравнение (31) является основным уравнением динамики сорбции, а уравнение (32) — уравнением кинетики сорбции, в котором  $\beta$  — кинетический коэффициент.

Найдем стационарное решение этой системы. Пусть по-прежнему  $y = x - wt$ , тогда интегрирование первого уравнения дает  $\alpha c = wa$ .



Уравнение кинетики (32) примет вид:  $-w \frac{da}{dy} = \beta \left( c - \frac{a}{\Gamma} \right)$ . Решая уравнение совместно с уравнением (16), получим:

$$-\alpha \frac{dc}{dy} = \beta c \left( 1 - \frac{\alpha}{\Gamma w} \right). \quad (6)$$

Уравнение (33) может быть преобразовано:

$$\frac{\alpha^2}{\beta} \cdot \frac{d \ln c}{dy} = \alpha - w\Gamma.$$

Полученное уравнение совпадает с уравнением (26), если принять  $D = \frac{\alpha^2}{\beta}$ .

Следовательно, конечность скорости адсорбции действует аналогично продольной диффузии с коэффициентом  $D = \frac{\alpha^2}{\beta}$ .

Таким образом, влияние на размывание границы соприкосновения продольной диффузии и конечности скорости сорбции описывается одним общим уравнением (30). В этом случае  $D^*$  является общим эффективным коэффициентом диффузии.

Анализ уравнения (30) затруднен некоторой сложностью функции, стоящей в квадратной скобке. Однако эта функция может быть несколько упрощена:

$$D^* \ln \frac{N_1}{N_2} = w \left[ \frac{\rho_2}{\sigma_2} (e^{\sigma_2 z} - 1) - \frac{\rho_1}{\sigma_1} (e^{\sigma_1 z} - 1) \right].$$

Разложив в ряд экспоненциальную функцию и ограничившись тремя первыми членами, будем иметь:

$$\ln \frac{N_1}{N_2} = \frac{w}{D^*} \left[ z (\rho_2 - \rho_1) + \frac{z^2}{2} (\rho_2 \sigma_2 - \rho_1 \sigma_1) \right]. \quad (34)$$

Уравнение (34) показывает, что размывание выходной кривой уменьшается с увеличением различия в адсорбционных свойствах разделяемых газов, увеличением скорости движения температурного поля и уменьшением общего коэффициента диффузии. Уменьшению размывания выходной кривой способствует также увеличение градиента температурного поля и понижение температуры  $T_x$ .

Приведенные теоретические положения были проверены экспериментально. Данные опытов подтвердили справедливость теоретических выводов.

### Выводы

1. Дана теория адсорбционно-термического разделения газов, в основу которой положено допущение равенства давления в слое сорбента. При бесконечно большой скорости сорбции и отсутствии продольной диффузии в процессе термической десорбции устанавливается распределение адсорбированного вещества, соответствующее температурному полю, причем скорости движения температурного поля и распределения равны между собой. Для определения положения фронта адсорбированного вещества в температурном поле необходимо знать общее количество вещества, изобару адсорбции и закон распределения температур по длине слоя.

2. Доказано, что смеси газов с линейными изотермами адсорбции и изотермами Лангмюра должны полностью разделиться. Для этого случая даны зависимости, определяющие положение каждого компонента в температурном поле.

3. Выведено уравнение, описывающее размывание границ соприкосновения компонентов. Показано, что влияние как продальной диффузии, и конечности скорости сорбции на размывание границ соприкосновения компонентов описывается одним общим уравнением.

Институт кислородного  
машиностроения

Поступила  
5. V. 1957

#### ЛИТЕРАТУРА

- H. Wirth, Monatshefte f. Chemie, 84, 1, 156, 1953.  
М. И. Яновский, Диссертация МИХМ, 1947.  
A. Tiselius, Arkiv Kem. Mineral Geol., 16A, 18, 1943.  
А. А. Жукович, Я. Л. Забежинский, А. Н. Тихонов, Ж. физ. химии, 19, 253, 1945.  
М. М. Дубинин, С. Я. Явич, Ж. прикл. химии, 9, 1191, 1936.  
E. Wicke, Angew. Chemie, 13, 15, 1947.

#### THE THEORY OF THERMO-ADSORPTION SEPARATION

*E. V. Vagin, A. A. Zhukhovitsky*

#### S u m m a r y

The theory of the thermo-adsorption separation of gases has been presented with the assumption of pressure equality in the adsorbent layer. On infinite adsorption rate and absence of longitudinal diffusion in the process of thermo-desorption the adsorbate becomes distributed in correspondence with the temperature field, the rate of motion of the latter and the rate of distribution of the motion being equal to each other. In order to determine the position of the adsorbate front in the temperature field one must know the total amount of adsorbate, the adsorption isobar and the law of the temperature distribution along the adsorbent layer.

It has been shown that gas mixtures with linear or Langmuir adsorption isotherms should completely separate. For this case an equation has been presented determining the position of each component in the temperature field.

An expression has been derived for boundary spread between components. It has been shown that the effect both of longitudinal diffusion and of finite adsorption rate on the boundary spread may be described by a single equation.

ОКИСЛЕНИЕ БЕНЗОЛА В ФЕНОЛ В ЖИДКОЙ ФАЗЕ  
ПРИ ТЕМПЕРАТУРАХ, БЛИЗКИХ К КРИТИЧЕСКОЙ

Е. Т. Денисов и Н. М. Эмануэль

Возможность снижения температуры реакции при осуществлении процессов прямого окисления углеводородов имеет большое значение, поскольку это позволяет проводить окисление более «мягко», без развития глубокого горения. Недавно один из нас обратил внимание на целесообразность перевода ряда процессов высокотемпературного газофазного окисления на режимы низкотемпературного жидкофазного окисления [1]. При этом для стимулирования реакции с успехом могут применяться газовое иницирование, действие проникающих излучений и солевые катализаторы (катионы переменной валентности).

Очевидно, что верхней границей повышения температуры при осуществлении жидкофазных реакций окисления является критическая температура. Во многих случаях при температурах, близких к критической, удается наблюдать достаточно интенсивно развивающиеся процессы окисления. Таким образом вопрос о проведении реакций окисления при температурах, близких к критической, приобретает известную широту.

Реакция прямого окисления бензола в фенол представляет большой теоретический и практический интерес.

Бензол является одним из наиболее трудно окисляющихся углеводородов. Устойчивость его к окислению молекулярным кислородом объясняется прежде всего большой прочностью С — Н связи в молекуле бензола (102 ккал/моль). Изучению кинетики окисления бензола в газовой фазе в струе и в статических условиях посвящено много работ (см., например, [2, 3]). В результате было установлено, что при газофазном окислении бензола образуются фенол, смолы, окись углерода, двуокись углерода, вода. Окисление протекает с заметной скоростью при температурах 600—700°, имеет отчетливо выраженный самоускоряющийся характер в начале развития процесса, а затем довольно быстро затормаживается. Работы по изучению окисления бензола в жидкой фазе, по-видимому, отсутствуют\*. Есть указания, что бензол в жидкой фазе практически не окисляется [4].

Как уже упоминалось, окисление углеводородов в жидкой фазе протекает при гораздо более низких температурах, нежели окисление в газовой фазе. Например, циклогексан в газовой фазе окисляется при температурах 300—400°, а в жидкой — при температуре 130—150°. Окисление *n*-бутана в газообразном состоянии происходит при температуре около 400°, а сжиженный бутан, как это было показано в работе [1], окисляется при температуре около 140°. Поэтому можно было ожидать, что бензол также будет окисляться в жидкой фазе, особенно при применении различных агентов, стимулирующих цепные процессы окисления.

Поскольку критическая температура для бензола равна 288°, а критическое давление — 48 атм, то окисление жидкого бензола осуществля-

\* Мы не рассматриваем в статье работ по окислению бензола в водных и фтористоводородных растворах.

нами при температурах 230—270° (большинство опытов было проведено при температуре 250°) и давлении 50 атм. Опыты проводились в автоклавной установке, предназначенной для изучения кинетики гомогенных процессов [5]. В каждом опыте в автоклав загружалось 10 мл бензола, автоклав нагревался до заданной температуры, и при давлении 50 атм пропускалась смесь азота с кислородом состава 1 : 1 со скоростью 20 л/час. По ходу опыта отбирались пробы окисленного бензола и анализировались на содержание фенола. На калориметре регистрировалась оптическая плотность окисленного бензола, которая характеризовала накопление смол.

Опыты показали, что бензол окисляется с заметной скоростью в жидкой фазе при температуре 250°. В качестве продуктов реакции появляются фенол и смолы. Образование фенола было доказано качественно проведением реакции диазотирования с бензиновой кислотой. Количественный анализ на фенол проводился йодометрически [6]. По-

скольку можно было ожидать, что фенолы также могут бромироваться, давая завышенное содержание фенола, то этот вопрос был выяснен следующим образом. В нескольких опытах продукты окисления после отгонки непрореагировавшего бензола подвергались перегонке с паром. Количество фенола, отогнавшегося с паром, оказалось равным количеству фенола, определенному в окисленном бензоле. Таким образом образующиеся при окислении смолы не мешают количественному анализу на фенол. Накопление смол сопровождалось изменением окраски окисляемого бензола (бесцветный — желтый — оранжевый — красный — темно-красный) и количественно характеризовалось изменением оптической плотности бензола. Заметных количеств хинонов обнаружено не было. На рис. 1 показаны кинетические кривые накопления фенола и изменения оптической плотности окисляемого бензола. Из рисунка видно, что накопление фенола сначала ускоряется, потом в течение довольно продолжительного времени идет с постоянной скоростью и, наконец, замедляется. Кинетическая кривая изменения оптической плотности аналогична кинетической кривой накопления фенола. Максимальная концентрация фенола, достигнутая в этом опыте, невелика — 1,8 ммоль/л, т. е. 0,16 мол. %.

Поэтому было существенно рассмотреть окисление бензола при воздействии добавок различных веществ, стимулирующих процессы окисления. Поскольку циклогексан достаточно легко окисляется при температурах 130—140°, можно было ожидать, что окисление бензола пойдет более быстро при добавке к нему циклогексана. Опыты по окислению бензола с добавкой 2 мол. % циклогексана действительно указывают на ускорение циклогексаном этой реакции (рис. 2): при 230° окисление бензола с 2% циклогексана идет даже несколько быстрее, нежели окисление чистого бензола при 250°. При окислении бензола с добавкой циклогексана через два часа после начала реакции в пробах окисленного бензола появляется осадок дикарбоновых кислот, образовавшихся, по-видимому, в результате окисления циклогексана.

Более сильное стимулирование окисления бензола было достигнуто в опыте с добавкой 1 мол. % циклогексанона при температуре окисления 250° (рис. 3). В этом опыте максимальная концентрация фенола составляет 0,5 мол. % и достигается через 1½ часа от начала реакции. Циклогексанон окисляется с образованием дикарбоновых кислот, которые

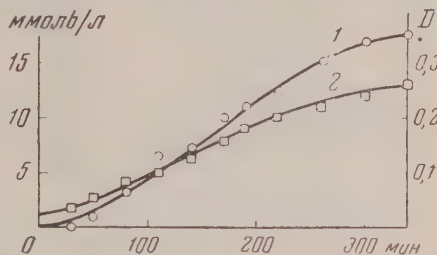


Рис. 1. Окисление бензола при 250°: 1 — накопление фенола; 2 — изменение оптической плотности окисляемого бензола



оттитровывались щелочью. Максимумы концентраций кислот и фенола близки друг к другу и достигаются одновременно. Интересно отметить, что образование кислот путем окисления циклогексанона и накопления фенола прекращаются одновременно и при наличии около 0,3 молекул непрореагировавшего циклогексанона.

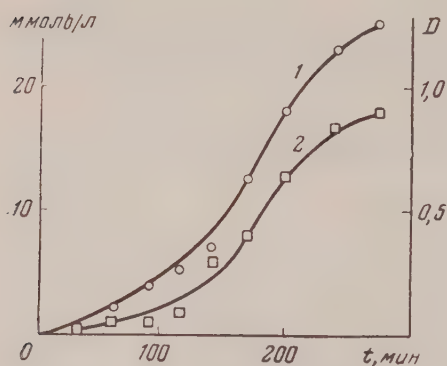


Рис. 2

Рис. 2. Окисление бензола при  $230^{\circ}$  в присутствии 2 мол.% циклогексана: 1 — кинетическая кривая накопления фенола; 2 — изменение оптической плотности окисленного бензола

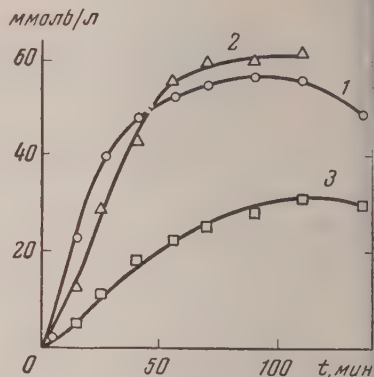


Рис. 3

Рис. 3. Кинетические кривые: 1 — накопления фенола, 2 — образования дикарбоновых кислот из циклогексанона и 3 — изменения оптической плотности реагирующей среды в опыте с добавкой в бензол 1 мол.% циклогексана при  $250^{\circ}$

Хорошо известно, что процессы окисления парафиновых, наftenовых алкилароматических и непредельных углеводородов сильно ускоряются в присутствии растворимых в углеводороде солей металлов переменной валентности. Можно было ожидать

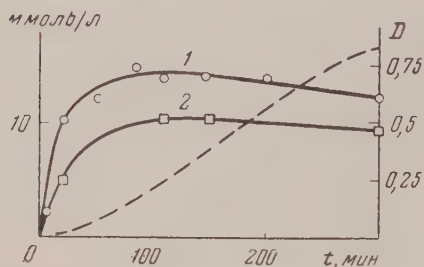


Рис. 4. Окисление бензола при  $250^{\circ}$  в присутствии 0,15 мол.%  $\text{St}_2\text{Co}$  и 2% циклогексана. 1 — накопление фенола; 2 — изменение оптической плотности окисляемого бензола

ускорения окисления бензола такими катализаторами. Однако опыт с 0,15 мол.% стеарата кобальта привел к обратным результатам (рис. 4). Накопление фенола в присутствии стеарата кобальта очень скоро прекратилось, его максимальная концентрация оказалась невысокой — 0,11 мол.%. При этом в течение всего опыта наблюдалось интенсивное образование сажи. В конце опыта (через 5 час. от начала окисления) количество образовавшейся сажи составило 4 вес. %.

Таким образом стеарат кобальта, являющийся хорошим катализатором при окислении различных углеводородов, не только не катализировал окисления бензола, но, наоборот, направляет процесс в сторону образования сажи.

Эффективным приемом стимулирования процессов окисления является предложенный одним из нас метод газового инициирования [7]. В настоящей работе был поставлен ряд опытов по окислению бензола в жидкой фазе при газовом инициировании двуокисью азота. Двуокись азота получалась путем разложения азотнокислого свинца при прокаливании. Несколько миллилитров жидкой двуокиси азота помещалось в специальную ловушку автоклавной установки и замораживалось сухим льдом. В момент достижения в автоклаве температуры окисления ловушка

размораживалась и нагревалась до комнатной температуры. Смесь газа и кислорода (1 : 1), проходя через ловушку, насыщалась двуокисью азота (до содержания 2% по объему) и поступала в автоклав с окисляющимся бензолом. Опыты показали, что газовое инициирование является наиболее эффективным способом ускорения процесса жидкофазного окисления бензола. Максимальная концентрация фенола в опытах с газовым инициированием составляет более 0,8 мол. % при 250° и 1,1 мол. % при 267° (рис. 5).

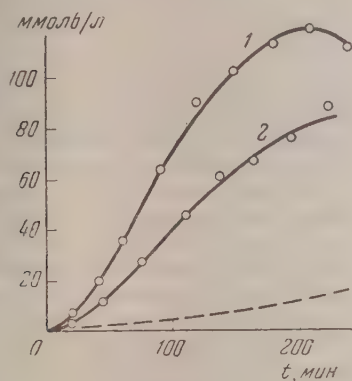


Рис. 5

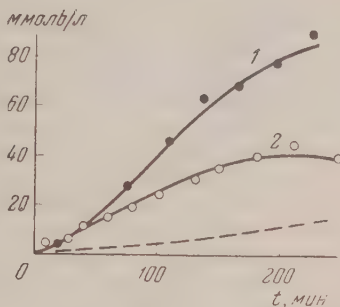


Рис. 6

рис. 5. Кинетические кривые накопления фенола в опытах по окислению бензола при непрерывном газовом инициировании двуокисью азота для различных температур: 1—267°; 2—250°

рис. 6. Кинетические кривые накопления фенола: 1 — в опыте с непрерывным газовым инициированием двуокисью азота и 2 — в опыте с начальным 40-минутным газовым инициированием при температуре 250°. Пунктиром показана кинетическая кривая накопления фенола в опыте без инициирования

В обоих опытах пропускание двуокиси азота через окисляющийся бензол продолжалось в течение всего процесса окисления.

Интересно отметить, что непрерывное инициирование двуокисью азота при добавке к бензолу 1% циклогексана приводит к более медленному развитию реакции, в ходе которой достигается максимальная концентрация фенола в 0,45 мол. % при 250° (вместо 0,8 мол. % без добавки циклогексана). Среди продуктов окисления бензола при газовом инициировании двуокисью азота качественно установлено наличие нитробензола.

Инициирование окисления бензола двуокисью азота только в течение некоторого начального периода реакции приводит после прекращения инициирования к более медленному протеканию реакции (рис. 6). Таким образом целесообразно проводить стимулирование окисления бензола при помощи двуокиси азота в течение всего процесса. Следует, однако, отметить, что и после начального инициирования реакция идет довольно быстро и до большей максимальной концентрации фенола, нежели в опытах без инициирования. За исключением опыта со стеаратом кобальта во всех случаях кинетические кривые накопления фенола имеют S-образный вид. Поэтому в качестве кинетической характеристики накопления фенола можно принять величину максимальной скорости этого процесса. Кроме того, характерной величиной является также максимальный выход фенола. В таблице приведены значения этих двух величин в различных опытах.

Несомненно, что изложенные в настоящей работе данные дают лишь первое представление о кинетике жидкофазного окисления бензола и о способах стимулирования этого процесса. На основании этих данных еще трудно делать те или иные выводы о конкретном механизме окисления бензола в жидкой фазе. Однако нам представляется возможным об-

$t, ^\circ\text{C}$	Условия	Скорость обр. фенола, ммоль/л·мин	Фенол, мол. %	Глубина окисления, вес. %
250		0,07	0,16	0,7
230	2% $\text{C}_6\text{H}_{12}$	0,18	0,23	6,5
250	1% $\text{C}_6\text{H}_{10}\text{O}$	1,7	0,5	6
250	$\text{NO}_2$ непрер.	0,49	0,8	5,3
250	$\text{NO}_2$ 40 мин.	0,23	0,33	2
250	$\text{NO}_2 + 1\% \text{C}_6\text{H}_{12}$	0,31	0,48	2,7
267	$\text{NO}_2$ непрер.	0,88	1,1	4

судить некоторые общие вопросы механизма данной реакции, а имен-  
но вопрос о цепном механизме окисления бензола и о самотор-  
можении цепной реакции с вырожденными разветвлениями. Д-  
газофазного окисления бензола при высоких температурах предпола-  
га-ся цепной механизм окисления [2, 3]. Можно ожидать, что и в жид-  
кой фазе бензол будет окисляться также по цепному механизму.  
э-том свидетельствуют полученные в настоящей работе факты. К эт-  
фактам относятся: ускоряющее действие добавок циклогексана и цик-  
гексанона, которые сами окисляются при более низких температурах  
цепному механизму, и свободные радикалы, образующиеся при их оки-  
лении, индуцируют окисление бензола; сильное воздействие на реакц-  
газового инициатора — двуокиси азота, который ускоряет окислен-  
других жидких углеводородов: характерный для цепных вырожден-  
разветвленных реакций S-образный вид кинетических кривых накоп-  
ления фенола; наконец, самоторможение процесса и его практически по-  
ная остановка при небольшой глубине окисления. Все эти факты указ-  
ывают на цепной механизм окисления бензола.

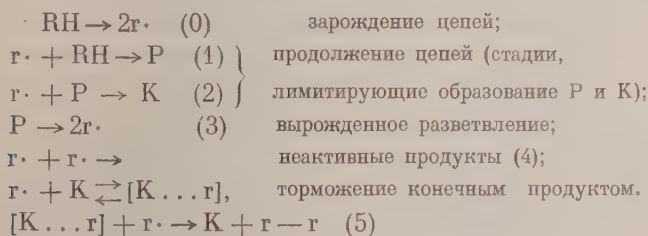
Из работ по газофазному окислению бензола и фенола [2, 3, 8] из-  
стно, что фенол легче окисляется по сравнению с бензолом. Можно ож-  
дать поэтому, что фенол и при жидкофазном окислении не только обр-  
зуется, но и расходуется. В силу этого максимальные концентраци-  
фенола в наших опытах можно трактовать двойным образом: или как сле-  
ствие промежуточного характера этого продукта (скорость расходовани-  
фенола становится равной скорости его образования), или как резуль-  
тат самоторможения реакции. Имеющиеся в нашем распоряжении эксп-  
риментальные данные позволяют сделать выбор между такими двумя  
возможными трактовками. К концу каждого опыта, наряду с уменьше-  
нием скорости образования фенола, наблюдается замедление образовани-  
смола, что отчетливо видно по изменению оптической плотности окислен-  
ного бензола. Иными словами, наблюдается «затухание» всех процессо-  
в реагирующей смеси. Максимальная концентрация фенола очень чув-  
ствительна к способу и интенсивности иницирования цепей. Это обстоя-  
тельство не согласуется с предположением о том, что максимальная кон-  
центрация фенола обусловлена динамическим равновесием. Наиболее  
убедительным доказательством самозатормаживающегося характера реак-  
ции является опыт по окислению бензола с добавкой 1% циклогексанона.  
В этом случае образование фенола из бензола и дикарбоновых кислот и  
циклогексанона прекращается одновременно и при наличии 0,3% неизрас-  
ходовавшегося циклогексанона.

Таким образом максимальная концентрация фенола связана с само-  
торможением окисления бензола. Как известно, медленное самоускорение  
процессов окисления углеводородов находит себе объяснение в рамках  
цепной теории реакции с вырожденными разветвлениями, созданной  
Н. Н. Семеновым [9]. В связи с этим представляется интересным рас-  
смотреть наиболее общие схемы цепных вырожденно-разветвленных  
самозатормаживающихся реакций и результаты такого рассмотрения  
сопоставить с полученными экспериментальными данными.



Ускорение реакции в начальный период ее протекания естественное и его связать с накоплением продуктов, облегчающих зарождение цепей. Ускорение цепной реакции может явиться результатом накопления продуктов, ингибирующих процесс путем замены активных радикалов на малоактивные. Полную остановку реакции могут вызвать только такие продукты, которые приводят к обрыву реакционных цепей, т. е. реагируют с активными свободными радикалами, образуя радикалы, практически неактивные. Наиболее простой и в то же время достаточно близкий к реальным процессам окисления является следующая модельная схема цепной вырожденно-разветвленной реакции:  $RH \rightarrow P \rightarrow K$ . Промежуточный молекулярный продукт  $P$ , образующийся и расходуемый одним путем, облегчает зарождение свободных радикалов в реакции. Конечный продукт  $K$  образуется цепным путем из  $P$  и приводит к замедлению реакции, увеличивая скорость обрыва цепей. Механизм торможения можно считать таким, какой установлен для ингибирования фенолами, нафталами и аминами [10].

Общая схема реакции следующая:



Анализ этой схемы с применением метода стационарных концентраций дает

$$\begin{aligned} \frac{d[P]}{dt} &= (k_1[RH] - k_2[P]) \sqrt{\frac{w_0 + 2k_3[P]}{k_4 + k_5[K]}}, \\ \frac{d[K]}{dt} &= k_2[P] \sqrt{\frac{w_0 + 2k_3[P]}{k_4 + k_5[K]}}, \end{aligned}$$

или в безразмерных переменных

$$\begin{aligned} \frac{d\pi}{d\tau} &= (1 - \pi) \sqrt{\frac{\omega_0 + \pi}{1 + \alpha\xi}}, \\ \frac{d\xi}{d\tau} &= \pi \sqrt{\frac{\omega_0 + \pi}{1 + \alpha\xi}}, \end{aligned}$$

где

$$\begin{aligned} \pi &= \frac{[P]}{P_{\max}}, \quad P_{\max} = \frac{k_1[RH]}{k_2}, \quad \xi = \frac{[K]}{P_{\max}}, \quad \omega_0 = \frac{w_0}{2k_3 P_{\max}}, \\ \tau &= k_2 \sqrt{\frac{2k_3 P_{\max}}{k_4}} t, \quad \alpha = \frac{k_5 P_{\max}}{k_4}. \end{aligned}$$

При малых значениях параметра  $\alpha$  ( $\alpha < 1$ ) кинетическая кривая  $\pi$  не «чувствует» торможения и описывается при  $\sqrt{\omega_0} \ll 1$  формулой  $\pi = \left( \frac{e^\tau - 1}{e^\tau + 1} \right)^2$ .

При этом кривая  $\pi$  вначале имеет самоускоряющийся характер, затем скорость начинает падать и при  $\tau \rightarrow \infty$ ,  $\pi \rightarrow 1$ . При больших значениях параметра  $\alpha$  накопление промежуточного продукта происходит замедленно, кривая  $\pi = f(\tau)$  имеет более пологий вид, предельная концентрация  $\pi = 1$  достигается тем позже от начала реакции, чем больше  $\alpha$ . Величина предельной концентрации промежуточного про-



дукта при этом не меняется и не зависит от эффективности торможения, характеризуемой параметром  $\alpha$ , и от интенсивности инициирования цепей, характеризуемой величиной  $\omega_0$ . По достижении предельной концентрации промежуточного продукта не должно наблюдаться уменьшения его концентрации, т. е. не должно быть отчетливо выраженного максимума (при небольшой глубине реакции).

На опыте наблюдается сильная зависимость максимальной концентрации фенола от интенсивности инициирования цепей и отчетливо выраженный максимум, после чего концентрация фенола начинает уменьшаться. Следовательно, рассмотренная нами схема не объясняет полностью наблюдающихся экспериментальных фактов. Рассмотрение других аналогичных схем, а именно, схемы с квадратичным обрывом цепей и с линейным обрывом на ингибирующем конечном продукте, схемы с линейным обрывом цепей в реакции без ингибитора при линейном обрыве цепей на ингибирующем продукте, схем с ингибированием на молекулу продукта, образующегося параллельно с продуктом Р, приводит к аналогичным выводам, что и разобранная выше схема.

Полученные экспериментальные данные можно более полно объяснить, исходя из представления о цепном механизме окисления бензола и учитывая изменение состава радикалов в реакции по мере накопления продуктов окисления. Торможение реакции связано с изменением состава радикалов в сторону накопления малоактивных радикалов. В рассмотренной выше схеме было сделано предположение, что малоактивные радикалы не реагируют как с углеводородом, так и с промежуточным продуктом. Однако вполне можно ожидать, что эти радикалы, практически не реагируя с прочной молекулой бензола, будут с заметной скоростью реагировать с более реакционноспособным промежуточным продуктом — фенолом. В этом случае можно ожидать иной картины для накопления промежуточного продукта. Допустим, что в реакции имеются два сорта свободных радикалов — активные, концентрацию которых обозначим через  $n_1$ , реагирующие как с  $RH$ , так и с  $P$ , и малоактивные  $n_2$ , реагирующие только с  $P$ . Малоактивные радикалы образуются в результате реакции активных радикалов с конечным продуктом  $K$  (константа  $k_5$ ). По условию стационарности концентрации свободных радикалов в цепной вырожденно-разветвленной реакции имеем

$$\frac{dn_1}{dt} = w_0 + 2k_3[P] - k_4 n_1 n - k_5[K] n_1 = 0, \quad \frac{dn_2}{dt} = k_5[K] n_1 - k_4 n n_2 = 0;$$

откуда

$$n = n_1 + n_2 = \sqrt{\frac{w_0 + 2k_3[P]}{k_4}}; \quad n_1 = \frac{k_4 n^2}{k_4 n + k_5[K]}; \quad n_2 = \frac{k_5[K]}{k_4 n} \frac{k_4 n^2}{k_4 n + k_5[K]}$$

Для скорости накопления промежуточного продукта  $P$  получаем уравнение

$$\frac{d[P]}{dt} = k_1[RH] n_1 - k_2[P] n_1 - k'_2[P] n_2$$

или, полагая для большей простоты расчета  $k_2 = k'_2$ , получаем

$$\begin{cases} \frac{d[P]}{dt} = k_1[RH] n_1 - k_2[P] n, \\ \frac{d[K]}{dt} = k_2[P] n. \end{cases}$$

В безразмерных переменных получаем уравнения

$$\frac{d\pi}{d\tau} = \left( \frac{V\omega_0 + \pi}{V\omega_0 + \pi + \alpha\xi} - \pi \right) \sqrt{\omega_0 + \pi}, \quad \frac{d\xi}{d\tau} = \pi \sqrt{\omega_0 + \pi},$$

где обозначения  $\pi$ ,  $\xi$ ,  $\tau$ ,  $\omega_0$  и  $\alpha$  те же, что и выше.

Если скорость вырожденного разветвления намного меньше скорости постоянного инициирования цепей, то для скорости образования  $\pi$  получится более простое уравнение

$$\frac{d\pi}{d\tau} = \left( \frac{V_{\omega_0}}{V_{\omega_0} + \alpha\xi} - \pi \right) V_{\omega_0},$$

$$\pi_{\text{макс}} = \frac{V_{\omega_0}}{V_{\omega_0} + \alpha\xi},$$

т. е. максимальная концентрация промежуточного продукта в такой реакции тем выше, чем выше постоянная скорость инициирования цепей. Этот вывод качественно согласуется с нашими экспериментальными данными по окислению бензола при инициировании двуокисью азота. Если, наоборот,  $\omega_0 \ll \pi_{\text{макс}}$ , то нетрудно получить следующее выражение для максимальной концентрации промежуточного продукта

$$\pi_{\text{макс}} = \left[ \frac{\alpha\xi}{2} \left( \sqrt{1 + \frac{4}{\alpha^2\xi^2}} - 1 \right) \right]^2,$$

откуда видно, что с увеличением  $\alpha$   $\pi_{\text{макс}}$  уменьшается, а при  $\alpha \rightarrow 0$   $\pi_{\text{макс}} \rightarrow 1$ .

Таким образом, согласно этой схеме, величина максимальной концентрации промежуточного продукта тем меньше, чем сильнее ингибирование продуктами окисления, и при достаточно сильном самоторможении (при достаточно больших значениях параметра  $\alpha$ )  $\pi_{\text{макс}}$  может быть намного меньше единицы, т. е. максимальная концентрация промежуточного продукта в такой реакции может быть намного меньше его предельной концентрации, определяемой динамическим равновесием. Этот вывод также согласуется с экспериментальными данными. Наконец, согласно рассмотренной модели, концентрация промежуточного продукта, достигнув максимума, начинает уменьшаться. Это связано со следующим обстоятельством. По мере накопления конечного продукта, ингибирующего процесс, скорость образования промежуточного продукта уменьшается из-за уменьшения концентрации активных радикалов  $M_1$ , а скорость расходования промежуточного продукта остается пропорциональной его концентрации. При достижении промежуточным продуктом максимальной концентрации конечный продукт образуется с максимальной скоростью. Это приводит к дальнейшему уменьшению скорости образования промежуточного продукта, т. е. к появлению отчетливо выраженного максимума. Таким образом эта вторая схема, учитывающая изменение состава радикалов в реакции и их различную реакционную способность по отношению к конечному и промежуточному продуктам, позволяет качественно объяснить кинетические особенности протекания процесса окисления бензола в жидкой фазе.

### Выводы

1. Показана возможность жидкофазного окисления бензола в фенол при температурах, близких к критической. Изучена кинетика этого процесса. Рассмотрены различные способы стимулирования жидкофазного окисления бензола добавками легко окисляющихся веществ (циклогексан, циклогексанон), катализаторов (стеарат кобальта), а также при помощи газового инициирования. Установлено, что наилучшим способом стимулирования реакции жидкофазного окисления бензола в фенол является непрерывное газовое инициирование процесса двуокисью азота.

2. Кинетическая картина реакции согласуется с представлением о цепном механизме окисления бензола в жидкой фазе и указывает на

наличие самоторможения процесса продуктами окисления. В связи с этим в работе рассмотрены некоторые общие схемы самоторможения цепей вырожденно-разветвленных реакций. Хорошее качественное согласие с данными эксперимента дает цепная схема, учитывающая возможно реакций малоактивных свободных радикалов с промежуточным молекулярным продуктом.

Академия наук СССР  
Институт химической физики

Поступила  
15. V. 1957

#### ЛИТЕРАТУРА

1. Н. М. Эмануэль, ДАН СССР, **111**, 1286, 1956.
2. П. Н. Хоффе и соавт., Ж. физ. химии, **28**, 1386, 1395, 1555, 1954.
3. R. G. W. Norrish, F. R. S. и G. W. Taylor, Proc. Roy. Soc., **234A**, 16 (1956).
4. П. Н. Червезуков и С. Э. Крейн. Окисляемость минеральных масел. Госхимиздат, 1955.
5. Н. В. Березин и А. А. Емелин, А. А. Константинов, Ав. изобр. пат. 15, 1954.
6. К. Бауер, Анализ органических соединений. Изд-во иностр. лит-ры, 1953.
7. Н. М. Эмануэль, Ж. физ. химии, **30**, 847, 1956.
8. П. Н. Хоффе, Ж. физ. химии, **28**, 772, 1954.
9. П. Н. Семенов. Цепные реакции. ОНТИ. Госхимиздат, 1934.
10. C. E. Butler, G. S. Hammond, C. E. Hamilton, J. Sen. Jern. Amer. Chem. Soc., **77**, 3233, 3238, 1955.

#### THE LIQUID PHASE OXIDATION OF BENZENE TO PHENOL AT TEMPERATURE NEAR THE CRITICAL

*E. T. Denisov and N. M. Emanuel*

#### Summary

It has been shown that benzene may be oxidized to phenol at temperatures near the critical. The kinetics of the process have been studied. Various ways of activating the process by the addition of readily oxidized substances (cyclohexane, cyclohexanone), catalysts (cobalt stearate), and also by gaseous initiation have been examined. The best way of activating the reaction has been found to be continuous gaseous initiation with nitrogen dioxide.

The kinetic picture of the reaction is in agreement with conceptions as to the chain mechanism of oxidation of benzene in the liquid phase and points out to the existence of autoretardation of the process by the oxidation products. In this connection a number of general schemes of autoretardation of degenerate branching chain reactions have been discussed in the report. Good qualitative agreement with experimental data is given by the chain mechanism taking into account the possibility of the reaction of little active free radicals with the intermediate reaction products.



## О ЗАРЯЖЕНИИ ПОВЕРХНОСТИ ПОЛУПРОВОДНИКА ПРИ АДСОРБЦИИ

*Ф. Ф. Волькенштейн*

При химической адсорбции, когда волновые функции адсорбированной частицы и решетки адсорбента в достаточной мере перекрываются, адсорбированные атомы или молекулы, размещенные на поверхности полупроводника, могут рассматриваться как «примеси», нарушающие строго периодическую структуру решетки адсорбента. В энергетическом спектре кристалла они могут быть изображены локальными поверхностными уровнями акцепторного и донорного типа, расположенными в запрещенном участке между валентной зоной и зоной проводимости.

Такое рассмотрение адсорбированных частиц как «примесей» на поверхности кристалла было проведено автором еще в 1948 г. [1]. При таком рассмотрении адсорбтив и адсорбент выступают как единая система. Причем автоматически обеспечивается участие адсорбированных атомов молекул в электронном хозяйстве решетки.

При установлении электронного равновесия акцепторные поверхностные локальные уровни частично заполняются электронами, а донорные уровни — дырками, что означает локализацию этих электронов или дырок на адсорбированных частицах (или около них). Это приводит к заряджению поверхности.

Вопросу о заряджении поверхности при хемосорбции специально посвящена целая серия теоретических работ, появившихся за границей за последние годы (Эгрен и Дюга [2], Жермен [3], Энгель и Хауффе [4]). Во всех этих работах, объединенных под общим названием «Randschichttheorie der Adsorption», рассматривается, однако, лишь один тип хемосорбции, а именно, хемосорбция, обусловленная ионной связью. При этом совсем игнорируются другие возможные типы связей, осуществляющиеся при хемосорбции («слабая» и «прочная» гомеополлярные связи).

В настоящей работе рассматривается вопрос о заряджении поверхности при учете различных сосуществующих форм хемосорбции. Показывается, что знак поверхностного заряда, возникающего при хемосорбции, определяется не только природой адсорбированных частиц (как это предполагается в Randschichttheorie), но в то же время и характером их связей с поверхностью.

### Различные формы хемосорбции

В предыдущих работах [5—7] было показано, что хемосорбированная частица (молекула или атом) может служить центром локализации для свободного электрона решетки, и в то же время та же частица на том же адсорбенте может являться центром локализации для свободной дырки, выполняя, таким образом, одновременно как функции акцептора, так и функции донора. Иначе говоря, хемосорбированная частица может рассматриваться как некий структурный дефект, нарушающий строго периодическую структуру решетки и обладающий одновременно как определенным сродством к свободному электрону, так и определенным сродством к свободной дырке.

Структурные дефекты подобного рода, обладающие одновременно как акцепторными, так и донорными свойствами, хорошо известны в теории



твёрдого тела. Примером может служить  $F$ -центр, который, как известно, может захватывать свободный электрон, превращаясь при этом в так называемый  $F'$ -центр (что приводит к изменению окраски кристалла), и в то же время может захватывать свободную дырку, что приводит к исчезновению  $F$ -центра (и сопровождается обесцвечиванием кристалла).

Было показано, что локализация свободного электрона или дырки в хемосорбированной частице (или около нее) вызывает изменение характера ее связи с поверхностью, приводя к упрочнению этой связи. Делокализация такого электрона или дырки, наоборот, сопровождается ослаблением этой связи.

Соответственно этому следует различать, как мы уже неоднократно отмечали, две формы хемосорбции: 1) «слабую» хемосорбцию, при которой хемосорбированная частица остается электрически нейтральной и при которой связь между частицей и решеткой осуществляется без участия свободного электрона или свободной дырки кристаллической решетки; 2) «прочную» хемосорбцию, при которой хемосорбированная частица удерживает около себя свободный электрон или свободную дырку кристаллической решетки (и представляет собой, таким образом, электрически заряженное образование) и при которой свободный электрон или свободная дырка принимает непосредственное участие в хемосорбционной связи. Заметим, что термины «слабая» и «прочная» имеют здесь условный смысл: речь идет всего лишь о менее прочной и более прочной формах хемосорбции.

Так как при «прочной» хемосорбции к участию в связи привлекается или свободный электрон или свободная дырка, то мы можем различать два типа такой «прочной» связи, которые мы здесь назовем: а) акцепторной связью (или  $n$ -связью), если в связи участвует свободный электрон, захваченный адсорбированной частицей; б) донорной связью (или  $p$ -связью), если в связи участвует захваченная адсорбированной частицей свободная дырка.

Заметим, что как акцепторная, так и донорная связь могут быть по своей природе или чисто ионной связью, или чисто гомеоплярной связью, или, в общем случае, связью смешанного типа в зависимости от того, как распределяется электрон или дырка, участвующие в связи, между адсорбированной частицей и адсорбционным центром, т. е. в зависимости от того, каков характер локализации этого электрона или этой дырки (что определяется природой адсорбтива и природой адсорбента)\*.

Заметим далее, что, как это ранее нами отмечалось [10, 8, 11], свободные электроны и дырки на поверхности кристалла играют роль свободных валентностей поверхности — положительных и отрицательных, соответственно. Таким образом, «слабая» хемосорбция представляет собой такую форму хемосорбции, которая осуществляется без участия свободных валентностей поверхности, в то время как «прочная» хемосорбция означает вовлечение в игру свободной валентности поверхности, которая при этом локализуется и связывается с валентностью адсорбируемой частицы. Мы получаем акцепторную или донорную форму «прочной» хемосорбции в зависимости от того, какая именно свободная валентность поверхности (положительная или отрицательная) используется при этом.

Таким образом, характер связи адсорбированной частицы с решеткой адсорбента существенно различен, в зависимости от того, участвует ли в этой связи свободный электрон решетки, захваченный частицей, или захваченная ею свободная дырка, или же связь осуществляется вовсе

\* В предыдущих работах автора [7—9], в которых в качестве адсорбата рассматривался одновалентный электроположительный атом, донорная связь называлась нами ионной связью; акцепторная связь — «прочной» гомеоплярной или двухэлектронной связью (связь типа  $H_2$ ), а «слабая» связь — «слабой» гомеоплярной или одноэлектронной связью (связь типа  $H^+_2$ ).

частицы свободных электронов или дырок решетки. В двух первых случаях мы имеем дело с «прочной» хемосорбцией, соответственно, акцепторного или донорного типа, в то время как третий случай соответствует «слабой» хемосорбции. Мы получаем, таким образом, различные формы хемосорбции, способные превращаться друг в друга в результате локализации на адсорбированной частице (или делокализации) свободного электрона или свободной дырки.

### Зарядение поверхности при наличии различных форм хемосорбции

Определим относительное содержание различных форм хемосорбции, соответствующее установившемуся электронному равновесию. Пусть из общего числа  $N$  молекул, адсорбированных на единице поверхности,  $N^0$  молекул находятся в электрически нейтральном состоянии, т. е. в состоянии «слабой» связи,  $N^-$  молекул связано с электроном (акцепторная связь), а  $N^+$  молекул связано с дыркой (донорная связь). Видно,

$$N^0 + N^- + N^+ = N. \quad (1)$$

Примем обозначения:

$$\eta^0 = \frac{N^0}{N}, \quad \eta^- = \frac{N^-}{N}, \quad \eta^+ = \frac{N^+}{N}. \quad (2)$$

Эти величины характеризуют относительное содержание различных форм адсорбции или, иначе говоря, вероятности того, что адсорбированная молекула будет находиться в том или ином состоянии (характеризуемом тем или иным типом связи с поверхностью).

Если считать эти состояния невырожденными\*, то, согласно статистике Ферми, будем иметь

$$\frac{N^-}{N^0 + N^-} = \frac{1}{1 + e^{(v^- - \epsilon)/kT}} \quad (3)$$

$$\frac{N^+}{N^0 + N^+} = \frac{1}{1 + e^{(\epsilon - v^+)/kT}},$$

где  $\epsilon$  — уровень химического потенциала, отсчитываемый на поверхности кристалла от потолка валентной зоны,  $v^+$  — энергия сродства адсорбированной частицы (находящейся в состоянии «слабой» связи с поверхностью) к свободной дырке,  $(u - v^+)$  — энергия ионизации, а  $(u - v^-)$  — энергия сродства к свободному электрону для той же частицы,  $u$  — ширина запрещенного участка между валентной зоной и зоной проводимости (рис. 1).

Из (3) получаем

$$\begin{aligned} \eta^0 &= \frac{1}{1 + 2e^{-\frac{\Delta v}{kT}} \operatorname{ch} \frac{v - \epsilon}{kT}}, \\ \eta^- &= \frac{e^{-\frac{v - \epsilon}{kT} - \frac{\Delta v}{kT}}}{1 + 2e^{-\frac{\Delta v}{kT}} \operatorname{ch} \frac{v - \epsilon}{kT}}, \\ \eta^+ &= \frac{e^{\frac{v - \epsilon}{kT} - \frac{\Delta v}{kT}}}{1 + 2e^{-\frac{\Delta v}{kT}} \operatorname{ch} \frac{v - \epsilon}{kT}}, \end{aligned} \quad (4)$$

\* Более общий случай (учет вырождения) рассмотрен Ш. М. Коганом (статья находится в печати).

где приняты обозначения:

$$v = \frac{1}{2}(v^- + v^+),$$

$$\Delta v = \frac{1}{2}(v^- - v^+).$$

Заметим, что в случае, когда электронный (дырочный) газ в полупроводнике невырожден, формулы (4) совпадают с формулами, уже полученными нами ранее из закона действующих масс (см. формулу (13) в [7]).

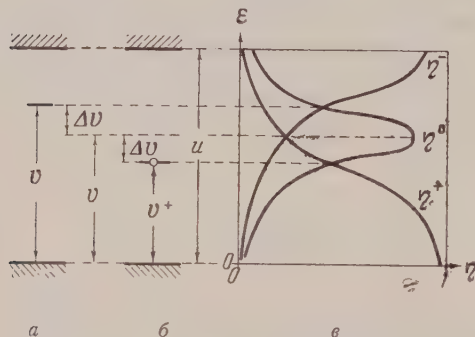


Рис. 1

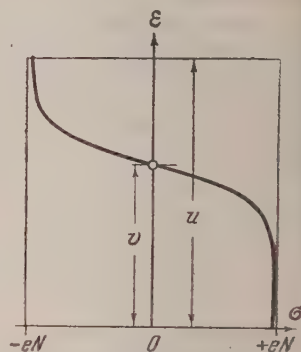


Рис. 2

Мы видим на основании (4), что относительное содержание различных форм адсорбции, соответствующее равновесию, определяется (при прочих равных условиях) положением уровня химического потенциала  $\epsilon$  на поверхности кристалла. Зависимость  $\eta^0$ ,  $\eta^-$ ,  $\eta^+$  от  $\epsilon$  изображена на рис. 1, в. При перемещении уровня  $\epsilon$  снизу вверх (от валентной зоны к зоне проводимости)  $\eta^-$  монотонно возрастает,  $\eta^+$  монотонно падает, а  $\eta^0$  проходит через максимум.

В предельном случае, если

$$e^{\frac{v-\epsilon}{kT}} \gg 1, \quad (6a)$$

мы имеем, согласно (4),  $\eta^+ \gg \eta^-$ , что означает, что практически все адсорбированные частицы являются донорами. Если же при том же заданном  $v$  мы имеем

$$e^{\frac{\epsilon-v}{kT}} \gg 1, \quad (6б)$$

то  $\eta^+ \ll \eta^-$  и, следовательно, те же частицы выступают в роли акцепторов.

Заметим, что в качестве частных случаев мы можем иметь  $v^- > u$  или  $v^+ < 0$  (рис. 1, а, б), это означает, что, соответственно, акцепторный или донорный тип связи для данной частицы на данном адсорбенте вовсе не осуществляется.

От относительного содержания различных возможных форм адсорбции зависит характер заряженности и степень заряженности поверхности, т. е. величина и знак суммарного электрического заряда, сосредоточенного на поверхности. Обозначим через  $\sigma$  плотность поверхностного заряда. В общем случае мы имеем, согласно (4)

$$\sigma = e(\eta^+ - \eta^-)N = \frac{2e^{-\Delta v/kT} \operatorname{sh} \frac{v-\epsilon}{kT}}{1 + 2e^{-\Delta v/kT} \operatorname{ch} \frac{v-\epsilon}{kT}} eN, \quad (7)$$

где  $e$  — абсолютная величина заряда электрона.

Зависимость  $\sigma$  от  $\varepsilon$  изображена схематически на рис. 2. Мы видим, что при  $\varepsilon < v$  поверхность заряжена положительно, при  $\varepsilon > v$  она заряжена отрицательно, а при  $\varepsilon = v$  она остается электрически нейтральной, несмотря на присутствие на ней адсорбированных частиц.

Таким образом, электрическая нейтральность поверхности еще не является критерием того, что химическая адсорбция вообще отсутствует (т. е. что мы имеем дело в этом случае с физической адсорбцией), а свидетельствует лишь о том, что для данных молекул (или атомов) на данной поверхности при данных условиях акцепторная и донорная типы связи равновероятны, т. е. представлены в одинаковой степени.

### Факторы, влияющие на заряджение поверхности

В результате заряджения поверхности между объемом и поверхностью полупроводника возникает некоторая разность потенциалов (которую мы обозначим через  $\Delta\varepsilon$ ), вследствие чего энергетические зоны вблизи поверхности полупроводника оказываются искривленными, как это изображено на рис. 3 или на рис. 4, на которых плоскость  $x = 0$  представляет

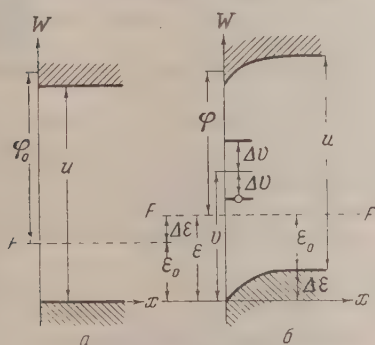


Рис. 3

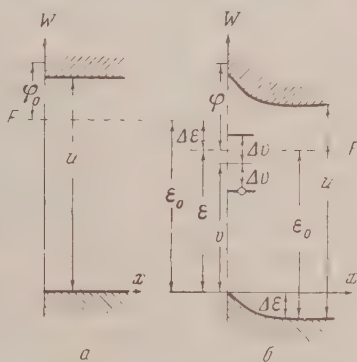


Рис. 4

собой адсорбирующую поверхность. Рис. 3, а и 4, а относятся к полупроводнику с чистой поверхностью ( $N = 0$ ), рис. 3, б соответствует положительно заряженной поверхности ( $N \neq 0$ , случай  $\varepsilon < v$ ), а рис. 4, б — отрицательно заряженной поверхности ( $N \neq 0$ , случай  $\varepsilon > v$ ).

Мы видим, что появление хемосорбированных атомов или молекул вызывает сдвиг уровня химического потенциала (уровень  $FF$  на рис. 3 и 4) на поверхности кристалла на величину  $\Delta\varepsilon$ :

$$\Delta\varepsilon = \varepsilon - \varepsilon_0, \quad (8)$$

где  $\varepsilon_0$  — уровень химического потенциала на поверхности кристалла (отсчитываемый от потолка валентной зоны) в случае чистой поверхности ( $N = 0$ ), а  $\varepsilon$  — в случае поверхности, содержащей на себе хемосорбированные частицы ( $N \neq 0$ ). В случае положительно заряженной поверхности имеем  $\Delta\varepsilon > 0$  (рис. 3); при отрицательно заряженной поверхности имеем  $\Delta\varepsilon < 0$  (рис. 4).

Заметим, что на рис. 3, б и 4, б уровень Ферми в глубине кристалла изображен расположенным на том же расстоянии от валентной зоны, как и в кристалле, обладающем чистой поверхностью, изображенном на рис. 3, а и 4, а. Это значит, что в глубине при достаточном удалении от поверхности, кристалл предполагается нами электрически нейтральным.



Величина  $\varepsilon$ , которая, как мы видели, однозначно определяет относительное содержание на поверхности различных форм хемосорбции [см. формулы (4)] и тем самым величину и знак поверхностного заряда [см. формулу (7)], сама в свою очередь однозначно определяется через  $\varepsilon_0$ .

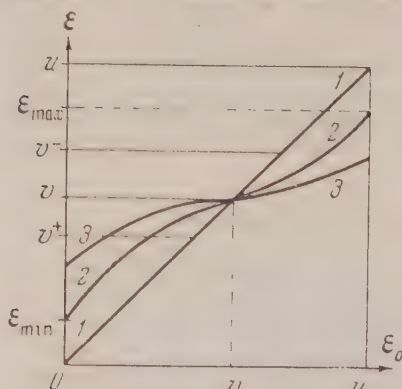


Рис. 5

$N$ , т. е. зависит от природы кристалла и от общего числа адсорбированных на его поверхности частиц:

$$\varepsilon = f(\varepsilon_0, N).$$

Зависимость  $\varepsilon$  от  $\varepsilon_0$  (при заданном  $N$ ) имеет вид, как это можно показать, схематически изображенный на рис. 5. Различные кривые на этом рисунке соответствуют различным значениям  $N$  и перенумерованы в порядке возрастания  $N$ . Прямая 1—1 соответствует значению  $N = 0$ .

Мы видим (рис. 5), что при перемещении уровня химического потенциала внутри кристалла снизу вверх, от потолка валентной зоны до

дна зоны проводимости, т. е. при изменении  $\varepsilon_0$  от  $\varepsilon_0 = 0$  до  $\varepsilon_0 = U$ , уровень  $\varepsilon$  на поверхности кристалла также монотонно перемещается снизу вверх от  $\varepsilon = \varepsilon_{\min}$  до  $\varepsilon = \varepsilon_{\max}$ , где  $0 \leq \varepsilon_{\min} < \varepsilon_{\max} \leq U$ .

Положение уровня химического потенциала внутри кристалла (т. е. значение  $\varepsilon_0$ ) определяется природой кристалла, а также природой и концентрацией примесей и различных структурных дефектов внутри кристалла; положение уровня  $\varepsilon$  (рис. 5 или рис. 1, а, б) определяется как природой кристалла, так в то же время природой адсорбированных частиц.

Таким образом, если для адсорбированных частиц данного сорта на данном адсорбенте осуществляется условие (6а), то для частиц того же сорта на другом адсорбенте может оказаться выполняющимся условие (6б). Это значит, что одни и те же молекулы, адсорбированные на данном полупроводнике, могут выполнять функции доноров, а будучи адсорбированы на другом полупроводнике — могут выполнять функции акцепторов. Физически это свидетельствует о том, что в этих двух случаях осуществляются различные типы связи адсорбированных частиц с решеткой адсорбента (в первом случае — в основном донорная, во втором случае — в основном акцепторная связь).

Более того, подвергая данный образец той или иной обработке, можно перемещать уровень химического потенциала  $\varepsilon_0$ . Таким образом, если для данного образца осуществляется условие (6а), то для другого образца того же самого полупроводника может оказаться выполняющимся условие (6б). Иначе говоря, одни и те же по своей природе молекулы могут играть роль доноров или роль акцепторов в зависимости не только от химической природы полупроводника, но и от биографии каждого данного образца, служащего адсорбентом.

Рассмотрим в заключение случай, когда одновременно с адсорбцией происходит некоторое растворение адсорбированного вещества в объеме кристалла. Положим, что на поверхности полупроводника адсорбированы, например, атомы водорода и при этом осуществляется условие (6а), т. е. адсорбированные атомы водорода выполняют функции доноров, заряжая поверхность положительно. Предположим, что при этом часть атомов водорода проникает в решетку кристалла, образуя раствор внедрения. Атомы водорода, внедренные в междоузлия решетки, являются типичными донорами. Полупроводник обогащается, таким образом, донорной примесью. Всякая же донорная примесь, вводимая в кристалл, всегда

вызывает перемещение уровня химического потенциала  $\epsilon_0$  вверх, т. е. в сторону зоны проводимости (вправо на рис. 5). При достаточной концентрации этой примеси, т. е. при достаточном количестве растворенного водорода, условие (6а) может оказаться смещенным условием (6б). При этом атомы водорода, остающиеся адсорбированными на поверхности, теряют свои донорные свойства и превращаются в акцепторы. Таким образом, если при малых количествах поглощенного водорода поверхность адсорбента заряжается положительно, то при достаточном поглощении знак поверхностного заряда может оказаться измененным, и поверхность может оказаться заряженной отрицательно.

### Эффекты, обусловленные зарядением поверхности

Искривление энергетических зон, происходящее в результате хемосорбции, имеет своим следствием следующие два эффекта: а) изменение работы выхода, б) изменение электропроводности полупроводника. Оба эти эффекта теоретически были подробно исследованы В. В. Сандомирским [12—14].

Пусть  $\varphi$  и  $\kappa$  — работа выхода и электропроводность полупроводника при наличии на его поверхности хемосорбированных атомов или молекул;  $\varphi_0$  и  $\kappa_0$  — те же величины для полупроводника с чистой поверхностью. Мы имеем

$$\varphi = \varphi_0 + \Delta\varphi,$$

$$\kappa = \kappa_0 + \Delta\kappa.$$

Заметим (рис. 3 и 4), что  $\Delta\varphi = -\Delta\epsilon$ . Заметим далее, что  $|\Delta\kappa|$  тем больше, чем больше  $|\Delta\epsilon|$ . При заданном  $|\Delta\epsilon|$  величина  $|\Delta\kappa|$  тем больше, чем меньше размеры кристалла (чем больше его поверхность по сравнению с объемом). Знаки  $\Delta\varphi$  и  $\Delta\kappa$  определяются знаком электрического заряда  $\sigma$ , сосредоточенного на поверхности полупроводника. Мы имеем

$$\begin{aligned} \text{в случае } n\text{-полупроводника: } & \left\{ \begin{array}{l} \text{если } \sigma > 0, \text{ то } \Delta\varphi < 0 \text{ и } \Delta\kappa > 0, \\ \text{если } \sigma < 0, \text{ то } \Delta\varphi > 0 \text{ и } \Delta\kappa < 0, \end{array} \right\} \\ \text{в случае } p\text{-полупроводника: } & \left\{ \begin{array}{l} \text{если } \sigma > 0, \text{ то } \Delta\varphi < 0 \text{ и } \Delta\kappa < 0, \\ \text{если } \sigma < 0, \text{ то } \Delta\varphi > 0 \text{ и } \Delta\kappa > 0. \end{array} \right\} \end{aligned} \quad (9)$$

Таким образом, по знаку  $\Delta\kappa$  (если при этом известен тип проводимости в полупроводнике) или по знаку  $\Delta\varphi$  можно судить об акцепторной или донорной роли адсорбированных частиц, иначе говоря, о характере их связи с поверхностью. Так как характер этой связи определяется, как мы видели не только природой адсорбтива, но в то же время природой и биографией адсорбента, то можно ожидать, вопреки распространенному мнению, что один и тот же адсорбтив на одном адсорбенте может выступать в роли донора, а на другом — в роли акцептора, что может быть определено по знаку  $\Delta\varphi$  или по знаку  $\Delta\kappa$ .

Экспериментальные данные по определению  $\Delta\varphi$  пока еще весьма немногочисленны (см., например, [15]). Существует, однако, целый ряд экспериментальных работ, посвященных определению  $\Delta\kappa$  (см., например, [15—18]). Эти работы свидетельствуют, как будто, о существовании различных типов связи (акцепторная или донорная связи) при хемосорбции. Так, например, по данным В. И. Ляшенко и И. И. Стенко [15] молекула  $\text{CO}_2$  при адсорбции на  $\text{Cu}_2\text{O}$  выступает в роли акцептора, а на  $\text{MnO}_2$ , по данным С. Ю. Еловича и Л. Я. Марголис [18], — в роли донора. Молекула  $\text{CO}$  на  $\text{Cu}_2\text{O}$  по одним данным является акцептором [15], а по другим — донором [16].

Заметим, однако, что в то время как знак  $\Delta\varphi$  всегда является однознач-

ным критерием акцепторной или донорной роли адсорбированных частиц, знак  $\Delta\kappa$ , определенный экспериментально, не всегда является таким однозначным критерием. При толковании экспериментальных данных в этом последнем случае следует соблюдать некоторую осторожность. Здесь должны быть приняты во внимание следующие три обстоятельства:

1. Прежде всего надо быть уверенным, что наблюдаемое изменение электропроводности действительно обусловлено адсорбцией, а не проникновением газовых атомов или молекул в объем кристалла. В последнем случае кристалл обогащается «примесью», и происходящее при этом изменение электропроводности является тривиальным. При этом надо особо подчеркнуть, что чужеродные атомы или молекулы, растворенные в объеме кристалла, выступают в роли доноров или в роли акцепторов в зависимости не только от того, какова их природа, но также в зависимости и от того, каков характер их внедрения в кристалл: образуют ли они с решеткой полупроводника раствор внедрения или раствор замещения.

Так, например, атомы Li, внедренные в решетку NiO, являются донорами, если они размещены в междоузельях решетки (раствор внедрения), но те же атомы Li оказываются акцепторами, если они располагаются в узлах решетки, замещая собой ионы никеля (раствор замещения). Атомы хлора в решетке ZnO выполняют, наоборот, функции акцепторов в случае раствора внедрения, но превращаются в доноры, коль скоро мы переходим к раствору замещения, при котором атомы хлора замещают собой ионы кислорода, располагаясь в соответствующих узлах решетки.

Таким образом, если чужеродные атомы какого-либо определенного сорта в адсорбированном состоянии играют роль, например, акцепторов, вызывая изменение электропроводности в определенном направлении, то эти же атомы, будучи растворены в объеме кристалла, могут оказывать допорогами и тем самым вызывать изменение электропроводности в противоположном направлении.

2. Чтобы по знаку  $\Delta\kappa$  судить о знаке  $\sigma$ , т. е. об акцепторной или донорной роли адсорбированных молекул, надо быть уверенным, кроме того, в том, что в условиях эксперимента, мы имеем дело с областью «примесной», а не «собственной» проводимости полупроводника, служащего адсорбентом. Надо быть уверенным, иначе говоря, что адсорбент обладает чисто электронной или чисто дырочной проводимостью, а не проводимостью смешанного типа [см. (9)]. Действительно, в этом последнем случае, как это можно показать, адсорбция всегда должна приводить к повышению электропроводности ( $\Delta\kappa > 0$ ), независимо от того, каков знак заряда  $\sigma$ , возникающего на поверхности вследствие адсорбции.

3. Надо быть уверенным, наконец, в том, что адсорбция, вызывая изменение величины электропроводности, не изменяет при этом природы носителей тока, т. е. что к исходной электронной или дырочной проводимости полупроводника не прибавляется вследствие адсорбции ионная составляющая, обусловленная участием в проводимости самих адсорбированных атомов или молекул, которые, будучи переведены в ионное состояние, могут перемещаться по поверхности кристалла (или сквозь решетку при растворении в ней), участвуя, таким образом, в переносе тока.

Участие адсорбированных частиц в переносе тока должно приводить во всех случаях к увеличению проводимости ( $\Delta\kappa > 0$ ) независимо от знака  $\sigma$ .

### Выводы

Ответ на вопрос о том, выполняют ли данные, адсорбированные на поверхности полупроводника молекулы, акцепторные или донорные функции, т. е. вызывают ли они, соответственно, отрицательное или по-



Электрическое заряджение поверхности, определяется не только природой этих молекул (природой адсорбтива), как это обычно считают и как это падают во всех работах, Randschichttheorie, но и характером их связи с поверхностью, который определяется природой обеих компонентов, участвующих в связи (адсорбтива и адсорбента).

Относительное содержание различных форм хемосорбции, а вместе с тем знак и абсолютная величина результирующего электрического заряда, сосредоточенного на поверхности, определяется, при прочих равных условиях, положением уровня химического потенциала на поверхности кристалла.

Академия наук СССР  
Институт физической химии  
Москва

Поступила  
15. V. 1957

#### ЛИТЕРАТУРА

- Ф. Ф. Волькенштейн, Ж. физ. химии, 22, 311, 1948.
- P. Aigrain и C. Dugas, Zs. Electrochem., 56, 363, 1952.
- J. E. Germain, C. R., 238, 236, 345, 1954; J. Chem. phys., 51, 263, 1954.
- H. J. Engel и K. Hauffe, Zs. Elektrochem., 57, 762, 1953; H. J. Engel, Halbleiterprobleme, № 1, 249, 1954; K. Hauffe, Angew. Chem., 67, 189, 1955.
- Ф. Ф. Волькенштейн, Ж. физ. химии, 26, 1462, 1952.
- Ф. Ф. Волькенштейн, Ж. физ. химии 27, 422, 1954.
- Ф. Ф. Волькенштейн и С. З. Рогинский, Ж. физ. химии, 29, 485, 1955.
- Ф. Ф. Волькенштейн, сб. Проблемы кинетики и катализа, 8, 79, 1955.
- Ф. Ф. Волькенштейн, УФН, 60, 249, 1956.
- Ф. Ф. Волькенштейн, Изв. АН СССР, отд. хим. наук, 788, 972, 1953.
- В. В. Воеводский, Ф. Ф. Волькенштейн и Н. Н. Семенов, сб. Вопросы химической кинетики, катализа и реакционной способности, 423, 1955.
- В. Б. Сандомирский, кандидатская диссертация, 1955 (Ин-т физ. химии АН СССР).
- Ф. Ф. Волькенштейн и В. Б. Сандомирский, сб. Проблемы кинетики и катализа, 8, 189, 1955.
- В. Б. Сандомирский, Изв. АН СССР, сер. физич., 211, 1957.
- В. И. Ляшенко и И. И. Степко, сб. Проблемы кинетики и катализа, 8, 180, 1955.
- W. E. Garner, T. J. Gray, F. S. Stone, Proc. R. Soc., A197, 296, 1949.
- И. А. Мясников и С. Я. Пшежецкий, сб. Проблемы кинетики и катализа, 8, 175, 1955.
- С. Ю. Елович и Л. Я. Марголис, Изв. АН СССР, сер. физ., 21, 206, 1957.

#### THE CHARGING OF A SEMICONDUCTOR SURFACE DURING ADSORPTION

*Th. Wolkenstein*

##### Summary

The fundamental conclusion we arrive at on considering the problem of the charging of a semiconductor surface, taking into account the various forms of chemisorption, is the following:

The answer to the question do the given molecules adsorbed on the semiconductor surface fulfill donor or acceptor functions; i. e., do they lead, respectively, to a positive or negative charge on the surface is determined not only by the nature of the molecules (nature of the adsorbate), as is usually considered and as is postulated in all works of the boundary layer theory, but also by the nature of their bond with the surface, which is determined by the nature of both components participating in the bond (adsorbate and adsorbent).

The relative content of the various forms of chemisorption and with it the sign and absolute value of the resultant electric charge concentrated on the surface is determined, all other conditions being equal, by the position of the chemical potential level at the crystal surface.

Account of the various possible and co-existing forms of chemisorption enables one to understand how one and the same adsorbed molecules may cause both the negative as well as the positive charging of the surface by the adsorbent, i. e. in some cases will lead to an increase and in others to a decrease in the conductivity of the semiconductor possessing a given type of conductivity.



РАЗДЕЛЕНИЕ ЯДЕРНЫХ ИЗОМЕРОВ  $\text{Hg}^{195}$  и  $\text{Hg}^{197}$ 

В. Д. Нефедов и Е. Н. Синоптова

Со времени предсказания [1] и открытия [2, 3] ядерной изомерии особенно большие успехи были достигнуты в изучении физической стороны этого интересного явления. Были найдены многочисленные методы получения и идентификации ядерных изомеров, изучены характер изменений и схемы их распада, установлены основные закономерности в пространственности изомерных пар атомных ядер и создана теория ядерной изомерии [4—11]. Вместе с тем было обнаружено, что превращение изомерных ядер сопровождается своеобразными химическими эффектами [12]. Изучение химических изменений, сопутствующих изомерным переходам показало, что причиной их в общем случае не может явиться нарушение химических связей вследствие отдачи при эмиссии возбужденными ядрами фотона или электрона конверсии. Действительно, если учесть, что энергия  $\gamma$ -квантов, испускаемых при изомерных переходах, составляет величины порядка 100 keV, то в случае средних и тяжелых ядер энергии отдачи должна составлять всего лишь доли eV [13], что явно недостаточно для нарушения химической связи атомов в соединениях [14]. Наблюдаемые при изомерных переходах нарушения химической связи не являются также и результатом отдачи, происходящей при эмиссии электронов конверсии, так как в этом случае энергия отдачи, как правило, не превышает энергию связи атомов в соединении. Действительная причина химических изменений при изомерных переходах была впервые объяснена Сегр $\ddot{a}$ , Хельфордом, Сибгоргом и Купером [15, 16] и подтверждена экспериментально в работе [17]. Согласно развитым этими авторами представлениям, механизм, обеспечивающий нарушение химических связей при изомерных переходах, состоит в образовании (вследствие внутренней конверсии и процесса Оже) многократно заряженного атома и последующей диссоциации молекулы соединения. Последняя происходит благодаря тому, что исходное взаимное расположение атомов в молекуле при этом уже не будет соответствовать минимуму потенциальной энергии системы (молекулы).

Тесно связанное с внутренней конверсией явление нарушения химических связей при изомерных переходах лежит в основе разделения генетически связанных ядерных изомеров\*. Химические изменения, происходящие при распаде метастабильных ядер, представляют большой теоретический и практический интерес и являются предметом многочисленных исследований [19—41].

В настоящей работе рассмотрен вопрос о разделении генетически связанных друг с другом ядерных изомеров ртути ( $\text{Hg}^{195}$  и  $\text{Hg}^{195m}$ ;  $\text{Hg}^{197}$  и  $\text{Hg}^{197m}$ ).

В литературе описаны методы разделения ядерных изомеров брома [15, 42—44], селена [45], теллура [17], индия [46, 47], олова [48], рутения [49] и свинца [50]. Если принять во внимание, что в настоящее время

\* Ядерные изомеры, не связанные друг с другом генетически, естественно, не могут быть разделены этим методом. Подобный случай наблюдается у ядерных изомеров  $\text{Sn}^{129}$  [18].

известно около 120 пар изомерных ядер, то станет ясным, что успехи, достигнутые в этой области, весьма невелики. Между тем, разделение ядерных изомеров может иметь большое значение в расшифровке сложных ядерных превращений, сопровождающихся возникновением значительного числа радиоактивных изотопов, часть из которых существует в генетически связанных друг с другом изомерных состояниях. Вопросы разделения ядерных изомеров представляют также большой интерес для экспериментальных исследований в области  $\beta$ - и  $\gamma$ -спектроскопии, определения коэффициентов внутренней конверсии и т. п. Кроме того, ядерные изомеры в ряде случаев могут служить теми идеальными индикаторами, в которых отсутствуют какие бы то было изотопные эффекты.

Применяемая в настоящей работе однородная смесь радиоактивных изотопов получалась активацией химически чистой металлической ртути в урановом реакторе. Согласно имеющимся литературным данным, при облучении ртути нейтронами в реакции  $(n, \gamma)$  и  $(n, 2n)$  возникают следующие радиоактивные изотопы:  $\text{Hg}^{197}$ ,  $\text{Hg}^{199}$ ,  $\text{Hg}^{203}$ ,  $\text{Hg}^{205}$  [51—63], причем  $\text{Hg}^{197}$  и  $\text{Hg}^{199}$  могут существовать, соответственно, в двух и трех генетически связанных изомерных состояниях.

Так как с момента окончания облучения до начала разделения проходило не менее шести суток, то можно было предполагать, что в синтезированном нами исходном препарате диэтилртути присутствовали лишь  $\text{Hg}^{203}$  ( $T = 47$  дней),  $\text{Hg}^{197m_2}$  ( $T = 24$  часа) и  $\text{Hg}^{197}$  ( $T = 64.5$  часов) [70]. Однако, как видно из дальнейшего, неожиданно для нас мы обнаружили в изучаемых препаратах наряду с вышеперечисленными изотопами присутствие ядерных изомеров  $\text{Hg}^{197}$ .

Идея метода, примененного для разделения ядерных изомеров ртути, была аналогична той, которая лежала в основе методов разделения ядерных изомеров других элементов (Br, Se, Sn, Te и т. д.). Как уже отмечалось выше, суть метода состоит в использовании явления нарушения химических связей при изомерном переходе, осуществляемом путем внутренней конверсии. Возможность подобного механизма нарушения химической связи в случае изомерной пары  $\text{Hg}^{197m_2}$  и  $\text{Hg}^{197}$  обеспечивается высокими коэффициентами конверсии ( $\sim 5$ ), обусловленными большим порядковым номером ртути, высокой мультипольностью перехода и малой энергией излучения.

Исходное ядро  $\text{Hg}^{197m_1}$ , находящееся в метастабильном состоянии, может претерпевать два различных превращения [51—63]. Одно из этих превращений совершается путем  $K$ -захвата и приводит к образованию метастабильного состояния  $\text{Au}^{197m}$ . Такое превращение составляет 3% от общего числа превращений, испытываемых ядрами  $\text{Hg}^{197m_2}$ . В остальных 97% случаев совершается переход ядра  $\text{Hg}^{197m_2}$  в промежуточное состояние  $\text{Hg}^{197m_1}$ . Энергия этого перехода составляет 165 keV. Период полураспада метастабильного состояния  $\text{Hg}^{197m_2}$  равен 24 час. Коэффициент внутренней конверсии для этого перехода равен 4,6 [11]. При переходе из промежуточного состояния  $\text{Hg}^{197m_1}$  в основное излучается  $\gamma$ -квант с энергией 134 keV. Коэффициент конверсии в  $K$ -оболочку равен 0,5. Период полураспада промежуточного состояния составляет  $8 \cdot 10^{-9}$  сек. Прямого перехода  $\text{Hg}^{197m_2}$  в основное состояние не обнаружено. Схема превращения изомера  $\text{Hg}^{197m_2}$  изображена на рис. 1. Поскольку в случае  $\text{Hg}^{197m_2}$  мы имеем дело с двумя последовательными конвертированными

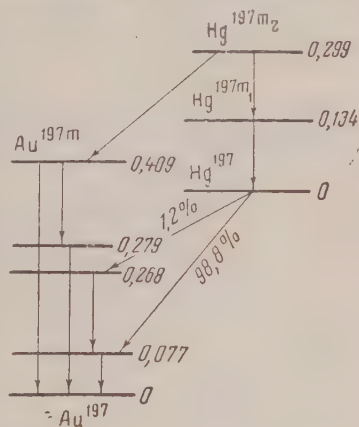


Рис. 1. Схема распада  $\text{Hg}^{197m}$

ными переходами на переход в промежуточный уровень происходит в основном путем внутренней конверсии, то можно ожидать, что практически каждый такой переход будет сопровождаться нарушением химической связи ртути в исходном соединении. Если этот процесс происходит необратимо, то в результате изомерного перехода значительная часть яд  $\text{Hg}^{197}$  в основном состоянии будет находиться в препарате диэтилртути в виде простейших неорганических форм. При этом чрезвычайно трудна задача разделения ядерных изомеров сводится к гораздо более легкой задаче разделения различных химических форм одного и того же элемента. Ввиду того что одна из этих форм (неорганическая) существует в очень малых концентрациях, то для выделения ее может быть применен метод адсорбции на осадках с сильно развитой поверхностью.

Результаты, полученные в нашей лаборатории при проведении систематических исследований в области изотопного обмена [64—67], позволили нам прийти к выводу о том, что полные алифатические производные ртути могут явиться теми соединениями, в которых процесс нарушения химических связей при изомерных переходах будет необратим. Таким соединением и явилась диэтилртуть, которая синтезировалась следующим образом. Облученная металлическая ртуть переводилась в дихлорид действием смеси соляной и азотной кислот. Полученный  $\text{Hg}^*\text{Cl}_2$  сушился, добавлялся для увеличения массы равным количеством неактивного хлорида ртути и применялся в дальнейшем для синтеза диэтилртути. Для этого готовился реактив Гриньяра исходными соединениями для получения которого служили бромистый этил, магний и эфир. Действием меченого хлорида ртути на реактив Гриньяра была получена диэтилртуть. Очистка последней достигалась перегонкой в вакууме. Подробное описание методики синтеза можно найти в работах [68, 69]. В целом синтез и очистка диэтилртути занимали 36—40 час.

Полученный таким образом препарат радиоактивной диэтилртути разделялся на несколько порций. Для накопления основного состояния  $\text{Hg}^{197}$  одна из этих порций выдерживалась в течение 54 час., а другие порции сохранялись для дальнейших экспериментов. Были выполнены опыты по выделению основного состояния  $\text{Hg}^{197}$ , которые заключались в следующем. Диэтилртуть разбавлялась ацетоном в отношении объема 1 : 3. К полученному раствору добавлялось 0,4 мл ацетонового раствора перманганата калия, содержащего 9,1 мг  $\text{KMnO}_4$  на 1 мл раствора, и две капли 30%-ной перекиси водорода. Образующийся бурый осадок двуокиси марганца отфильтровывался под вакуумом, промывался ацетоном, эфиром и сушился. Так как активность препарата была слишком велика, то для дальнейших измерений использовалась только небольшая его часть.

Имелись все основания предполагать, что процесс очистки радиоактивной диэтилртути (перегонка в вакууме) должен приводить к освобождению ее от основного состояния  $\text{Hg}^{197}$ , присутствующего в препарате в виде простейших неорганических форм. Дальнейшее накопление последних в диэтилртути будет происходить по хорошо известному закону:

$$N_2 = f \frac{\lambda_1}{\lambda_2 - \lambda_1} N_1^0 (e^{-\lambda_1 t} - e^{-\lambda_2 t}),$$

где  $N_2$  — количество атомов  $\text{Hg}^{197}$  в основном состоянии в виде простейших неорганических форм;  $f$  — коэффициент, показывающий, какая часть атомов  $\text{Hg}^{197}$  в основном состоянии оказывается в результате изомерного перехода в неорганической форме;  $\lambda_1$  и  $\lambda_2$  — постоянные распада, соответственно, метастабильного и основного состояний  $\text{Hg}^{197}$ ,  $N_1^0$  — число атомов  $\text{Hg}^{197m_2}$  в препарате диэтилртути, взятом для разделения.

Нетрудно видеть, что активность препаратов, полученных в результате разрушения исходной диэтилртути, в основном должна быть связана с присутствием в них сравнительно долгоживущего радиоактивного изотопа ртути  $\text{Hg}^{203}$ . Активность же, обусловленная наличием ядерных изомеров  $\text{Hg}^{197}$ , должна быть весьма незначительной. Было разумно поэтому процесс разделения ядерных изомеров проводить при условии



Максимального накопления основного состояния  $\text{Hg}^{197}$ . Время максимального накопления можно найти из соотношения

$$t_{\text{макс}} = \frac{0,2303}{\lambda_2 - \lambda_1} \lg \frac{\lambda_2}{\lambda_1} = 54,5 \text{ час.}$$

Сам факт разделения ядерных изомеров может быть установлен сравнением кривых распада активности препаратов ртути, полученных в ре-

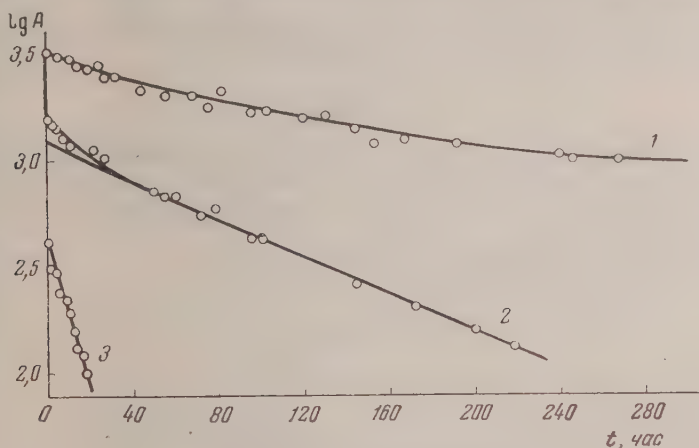


Рис. 2. Кривые спада активностей: 1—исходного препарата диэтилртути и 2—препарата, полученного в результате разделения ядерных изомеров; прямая 3 получена разложением кривой 2, ( $T_{\text{эксп}} \text{Hg}^{197} = 65$  час.  $T_{\text{эксп}} \text{Hg}^{195} = 9$  час.)

зультате разрушения и в результате опытов по разделению ядерных изомеров. Критерием полноты разделения может служить соотношение активностей  $\text{Hg}^{197}$  и  $\text{Hg}^{203}$ . При этом  $\text{Hg}^{203}$  является своего рода репером. Трехкратное разделение ядерных изомеров по вышеописанной методике дало совпадающие результаты, изображенные графически на рис. 2.

Как следует из рис. 2, кривая распада активности препарата ртути, полученного в результате разрушения  $\text{Hg}(\text{C}_2\text{H}_5)_2$ , показывает присутствие в нем лишь незначительной короткоживущей активности, принадлежащей ядерным изомерам  $\text{Hg}^{197}$ . Подавляющая же часть активности обусловлена  $\text{Hg}^{203}$ . В противоположность этому кривая распада препарата, полученного в результате разделения ядерных изомеров, показывает наличие лишь короткоживущих активностей, которые, как было выяснено при ближайшем рассмотрении, принадлежали основным состояниям  $\text{Hg}^{195}$  и  $\text{Hg}^{197}$ . Как уже отмечалось выше, для нас явилось неожиданностью присутствие основного состояния  $\text{Hg}^{195}$  в препаратах радиортути после разделения ядерных изомеров. В литературных источниках, имеющих в настоящее время, отмечается лишь возможность получения  $\text{Hg}^{195}$  по реакциям  $\text{Au}(d, 4n)$  и  $\text{Au}(p, 3n)$  [18]. Единственным объяснением присутствия основного состояния  $\text{Hg}^{195}$  в препаратах радиортути, полученных в результате разделения ядерных изомеров, может служить ее образование из  $\text{Hg}^{195m}(T = 40 \text{ часов})$  при облучении ртути в урановом реакторе по реакции  $\text{Hg}^{196}(n, 2n) \text{Hg}^{195m}$ .

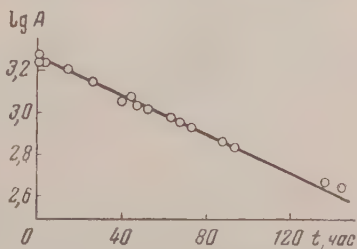


Рис. 3. Кривая распада фракции ртути ( $T_{\text{эксп}} \text{Hg}^{197} = 65$  час.)



То, что наблюдаемые нами короткоживущие активности принадлежат изотопам ртути, было дополнительно показано методом химической идентификации. Для этого выделенная на двуокиси марганца радиоактивная ртуть растворялась в  $\text{HCl}$  в присутствии миллиграммовых количеств носителей золота, ртути и таллия. Измерение активности отдельных фракций показало, что активность следует за ртутью. Одна из кривых распада активности  $\text{HgS}$ , снятая спустя 100 час. после разделения ядерных изомеров, приведена на рис. 3.

В заключение авторы сердечно благодарят профессора А. Н. Муринова за ценные указания и интерес к работе.

### Выводы

1. Разработан метод разделения ядерных изомеров  $\text{Hg}^{199}$  и  $\text{Hg}^{200}$ .
2. Установлен факт образования  $\text{Hg}^{199m}$  за счет реакции  $\text{Hg}^{199}(n, \gamma) \text{Hg}^{199m}$  при облучении ртути в реакторе быстрыми нейтронами.

Ленинградский государственный университет  
имени А. А. Жданова

Поступила  
15. V. 1957

### ЛИТЕРАТУРА

1. F. Soddy, Nature, 99, 414 433, 1917.
2. O. Hahn, Berichte, 54, 1131, 1921.
3. V. V. Kourtchatow, I. Kourtchatow, L. Mousowski, L. Roussinow, C. R. 200, 1201, 1935.
4. C. F. Weizsäcker, Naturwiss., 24, 813, 1936.
5. И. Н. Дмитриев, Успехи физ. наук, 19, 4, 535, 1938.
6. Н. Н. Дмитриев, Успехи физ. наук, 21, 1, 60, 1939.
7. А. С. Карамян и Л. И. Русинов, Ж. эксперим. и теор. физики, 19, 7, 651, 1949.
8. Л. И. Русинов, Успехи физ. наук, 25, 2, 144, 1941.
9. A. Segre, A. C. Helmholtz, Reviews of Modern Physics, 21, 271, 1949; см. также Э. Сегре и А. Гельмгольц, Успехи физ. наук, 45, 3, 357, 1951.
10. А. С. Кривохатский, Успехи химии, 24, 3, 302, 1955.
11. М. И. Корсунский, Изомерия атомных ядер, Гос. изд-во технико-теор. литературы, М., 1954.
12. А. Н. Несмеянов, Л. А. Сазонов и И. С. Сазонова, Успехи химии, 22, 2, 133, 1953.
13. R. R. Edwards, T. H. Davies, Nucleonics, 2, 44, 1948.
14. Т. Коттрелл, Прочность химических связей, Изд-во иностр. литер. М., 1956.
15. E. Segre, R. S. Halford, G. T. Seaborg, Phys. Rev., 55, 321, 1939.
16. E. P. Cooper, Phys. Rev., 61, 1, 1942.
17. G. T. Seaborg, J. J. Livingood, J. W. Kennedy, Phys. Rev., 57, 363, 1940.
18. Г. Сиборг, И. Перлман и Дж. Холлендер, Таблицы изотопов, Изд-во иностр. литер., М., 1956.
19. G. Edward, J. Willard, J. Am. Chem. Soc., 64, 1342, 1942.
20. A. Reid, Phys. Rev., 69, 539, 1946.
21. R. Williams, J. Chem. Phys., 16, 513, 1948.
22. W. Koski, J. Amer. Chem. Soc., 70, 425, 1948.
23. W. Hamill, J. Young, J. Chem. Phys., 17, 215, 1949.
24. W. Burgess, T. H. Davies, R. R. Edwards, H. Gest, C. W. Stanley, R. R. Williams, C. D. Coryell, J. chim. phys., 45, 165, 1948.
25. А. С. Карамян, ДАН СССР, 68, 2, 269, 1949.
26. L. Fridman, W. Libby, J. Chem. Phys., 17, 647, 1949.
27. G. Kayas, J. Phys. Radium, 11, 195, 1950.
28. S. Wexler, P. Davies, J. Chem. Phys., 18, 376, 1950.
29. H. Hamill, R. Williams, H. Schwarz, J. Am. Chem. Soc., 72, 2813, 1950.
30. S. Goldhaber, R. Chieng, J. Willard, J. Am. Chem. Soc., 73, 2271, 1951.
31. S. Goldhaber, J. Willard, J. Am. Chem. Soc., 74, 318, 1952.
32. P. C. Capron, J. Chim. Phys., 49, 29, 1952.
33. M. Fox, W. Libby, J. Chem. Phys., 20, 487, 1952.
34. C. Coffin, W. Jamieson, J. Chem. Phys., 20, 1324, 1952.
35. W. Hamill, J. Young, J. Chem. Phys., 20, 888, 1952.
36. R. Chieng, J. Willard, J. Am. Chem. Soc., 74, 6213, 1952.

1. J. Horning, J. Willard, J. Am. Chem. Soc., 75, 461, 1953.
2. G. Gavoret, J. chim. phys., 50, 183, 1953.
3. N. Ivanoff, G. Gavoret, J. chim. phys., 50, 524, 1953.
4. W. Rice, J. Willard, J. Am. Chem. Soc., 75, 6156, 1953.
5. Ан. Н. Несмеянов, Л. И. Гусева, Л. И. Тихонова и А. К. Заборский, ДАН СССР, 103, 1041, 1955.
6. Л. И. Русинов, и А. С. Карамян, ДАН СССР, 55, 7, 603, 1947.
7. P. C. Carron, G. Stokking, M. Van Meersche, Nature, 157, 806, 1946.
8. D. C. Devault, W. F. Libby, Phys. Rev., 55, 322, 1939.
9. A. Langsdorf, E. Segre, Phys. Rev., 57, 105, 1940.
10. G. S. Goldsmith, E. Beuler, J. Phys. and Coll. Chem., 54, 5, 711, 1950.
11. Von E. Jacobi, Helv. chim. acta, 35, 1480, 1952.
12. В. Нефедов, Г. Лепнев, Е. Синотова и М. Торопова, Ж. физ. химии, 31, 354, 1957.
13. W. Herr, Z. Naturforsch. 9A, 180, 1954.
14. E. C. Campbell, F. Nelson, Phys. Rev., 91, 499, 1953.
15. P. Scherrer, K. Bainbridge, Phys. Rev., 59, 977, 1941.
16. C. Wu, G. Friedlander, Phys. Rev., 60, 747, 1941.
17. G. E. Valley, Phys. Rev., 60, 167, 1941.
18. K. Bainbridge, H. Anderson, Phys. Rev., 60, 473, 1941.
19. A. C. Helmholtz, Phys. Rev., 61, 204, 1942.
20. G. Friedlander, C. Wu, Phys. Rev., 63, 227, 1943.
21. M. Wiedenbleck, Phys. Rev., 68, 1, 1945.
22. H. Frauenfelder, P. Gugelot, O. Huber, H. Medicus, P. Preisverk, P. Scherer, R. Steffen, Phys. Rev., 73, 1270, 1948.
23. O. Huber, R. Steffen, P. Humbel, Helv. phys. acta, 21, 192, 1948.
24. F. Gowen, Phys. Rev., 77, 138, 1950.
25. M. Deutsch, W. Wright, Phys. Rev., 77, 139, 1950.
26. H. Frauenfelder, M. Walter, W. Zünti, Phys. Rev., 77, 557, 1950.
27. O. Huber, F. Humbel, H. Schneider, A. de Shalit, W. Zünti, Helv. Phys. acta, 24, 127, 1951.
28. В. Нефедов и Е. Синотова, Сб. работ по радиохимии, стр. 113, Изд-во Ленинградского гос. ун-та, 1955.
29. В. Нефедов, Е. Синотова и Н. Фролов, Ж. физ. химии, 30, 2356, 1956.
30. Е. Н. Синотова, Ж. неорг. химии, 2, 185, 1957.
31. В. Д. Нефедов, Е. Н. Синотова и В. И. Кацапов, Ж. физ. химии, 30, 1867, 1956.
32. Л. Г. Макарова и А. Н. Несмеянов, Синтетические методы в области металлоорганических соединений ртути, Изд-во АН СССР, М.—Л., 1945.
33. C. S. Marvel, V. L. Gould, J. Amer. Chem. Soc., 44, 153, 1922.
34. Б. С. Джеленов и Л. К. Пеккер, Схемы распадов радиоактивных изотопов, Изд-во АН СССР, 1957.

# SEPARATION OF THE NUCLEAR ISOMERS $Hg^{105}$ AND $Hg^{107}$

*V. D. Nefedov, E. N. Siotova*

## Summary

A method has been developed for separating the nuclear isomers  $Hg^{105}$  and  $Hg^{107}$ . It has been established that  $Hg^{105m}$  is formed through the reaction  $Hg^{106} (n, 2n) Hg^{105m}$  on irradiating mercury in a reactor with quick neutrons.

## ВЛИЯНИЕ КОМПОНЕНТОВ ОКСИДНОГО РАСПЛАВА НА ЕГО МЕЖФАЗНОЕ НАТЯЖЕНИЕ С ЖЕЛЕЗОМ

С. И. Попель

С величиной межфазного натяжения на границе железо—оксидная фаза ( $\sigma$ ) тесно связана устойчивость шлаковых включений в стали [1—3]. Адсорбируемость того или другого компонента на границе раздела фаз оказывает известное влияние на кинетику окисления примесей и удаления их из металла.

Однако влияние важнейших компонентов шлака на величину  $\sigma$  в настоящее время не изучалось. Результаты измерений, полученные для системы чугуи — шлак [4], не могут быть перенесены на малоуглеродистую сталь, так как поверхностный слой в чугуне насыщен углеродом [5], связь которого с оксидным расплавом может быть существенно иной, чем у железа. Поэтому представляло интерес выяснить влияние таких компонентов, как  $\text{CaO}$ ,  $\text{SiO}_2$ ,  $\text{Al}_2\text{O}_3$  и  $\text{FeO}$ , на межфазное натяжение железа на границе с оксидной фазой, составы которой близки к простейшим доменным и сталеплавильным шлакам.

### Экспериментальная часть

Межфазное натяжение определялось по описанной ранее методике [6], включающей рентгеностемку капли железа в оксидном расплаве.

Металлической фазой служило технически чистое железо. Шлаки получались предварительным сплавлением химически чистых окислов  $\text{SiO}_2$ ,  $\text{CaO}$ ,  $\text{Al}_2\text{O}_3$  и  $\text{Fe}_2\text{O}_3$  в корундовых или железных тиглях. Последние применялись для изготовления сплавов, содержащих 2% и более окислов железа. Провсвечивались железистые шлаки в тиглях, выточенных из плавленной магнезии.

При расчетах значений  $\sigma$  плотность железа принималась равной  $7,15 \text{ г/см}^3$  [7], а плотности шлаков определялись экспериментально [8], для некоторых сплавов их находили интерполяцией. Значения межфазного натяжения рассчитывались с по-

Таблица 1

Межфазное натяжение железа на границе со сплавами  
 $\text{CaO—SiO}_2\text{—Al}_2\text{O}_3$  при  $1550\text{—}1580^\circ\text{C}$

Состав сплава, вес. %			Плотность шлака, $\text{г/см}^3$	Средние значения $\sigma$ , $\text{эрг/см}^2$
$\text{CaO}$	$\text{SiO}_2$	$\text{Al}_2\text{O}_3$		
40	60	0	2,70	1090
60	37,5	2,5	2,84	1060
40	44	16	2,65	1110
47	37	16	2,78	1120
12	67	21	2,65	1100
25	54	21	2,70	1200
32	47	21	2,90	1240
45	34	21	3,00	1150
62	17	21	2,72	1150
39	35	26	2,90	1160
47	27	26	3,00	1200
45	—	55	3,20	1290

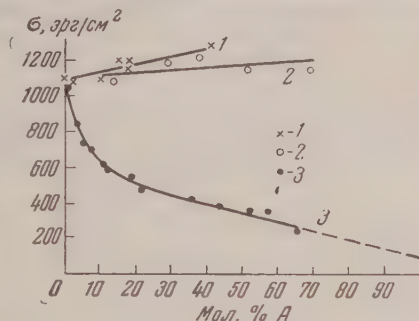
ью графиков [5, 9]. Их различие для сплавов одного и того же состава достигало

В первой серии опытов изучалось влияние компонентов тройной системы  $\text{CaO} - \text{Al}_2\text{O}_3$  на величину  $\sigma$ . Исходные составы сплавов, плотности и средние значения межфазного натяжения приведены в табл. 1. За время опыта концентрации компонентов несколько менялись. Шлаковый расплав обычно обогащался окисью алюминия (на 2—4%) и закисью железа (до 0,2—1,0%). При повышенной концентрации 2 имело место восстановление кремния в металл до 0,3%.

Изменение межфазного натяжения в зависимости от концентрации  $\text{O}_2$  и  $\text{CaO}$  иллюстрируют кривые 1 и 2 рисунка.

Значения  $\sigma$  в данной системе велики (1030—1290  $\text{эрг/см}^2$ ) и сравнительно слабо меняются с составом. Можно отметить лишь незначительное

Влияние состава оксидной фазы на ее межфазное натяжение на границе с железом при 1580°. А: 1 —  $\text{Al}_2\text{O}_3$  (шлак  $\text{CaO} - \text{Al}_2\text{O}_3$ ; ~ 40% (мол.)  $\text{CaO}$ ); 2 —  $\text{CaO}$  (шлак  $\text{CaO} - \text{SiO}_2 - \text{Al}_2\text{O}_3$ ; ~ 13% (мол.)  $\text{Al}_2\text{O}_3$ ; 3 —  $\text{FeO} + \text{Fe}_2\text{O}_3$  (шлак  $\text{CaO} - \text{SiO}_2 - \text{FeO}$ , до 50%  $\text{FeO}$ ; концентрация  $\text{SiO}_2$  ~ 30% (мол.))



повышение межфазного натяжения при введении вместо двуокиси кремния окиси алюминия (кривая 1) или окиси кальция (кривая 2).

В данном случае, как и для чугуна, влияние компонентов на величину качественно такое же, как и на поверхностное натяжение шлаков [10].

В следующих опытах выяснялось изменение межфазного натяжения при введении закиси железа \*. Увеличение содержания  $\text{FeO}$  до 50% осуществлялось заменой окиси кальция закисью железа в сплавах ортосиликатного состава, а при более высоких концентрациях — смешением фаялита с юститом.

Во время опытов составы шлаков менялись главным образом вследствие взаимодействия с материалом тигля. Однако сопоставление величин  $\sigma$ , относящихся к сплавам с одинаковым содержанием окислов железа, но заметно различающихся концентрацией  $\text{MgO}$ , не обнаружило заметного влияния окиси магния на межфазное натяжение. Его поведение, по-видимому, как и на границе шлак — газ [10], подобно окиси кальция.

Составы сплавов после опытов и величины межфазного натяжения приведены в табл. 2.

Из этих данных следует, что с повышением концентрации закиси железа межфазное натяжение интенсивно убывает, причем первые порции  $\text{FeO}$  влияют сильнее последующих (кривая 3, рисунок). Таким образом, закись железа является поверхностноактивным компонентом по отношению к границе металл — шлак.

### Обсуждение результатов

Высокое межфазное натяжение на границе железа с расплавом  $\text{CaO} - \text{SiO}_2 - \text{Al}_2\text{O}_3$  и его малое изменение с составом свидетельствует о сильном притяжении поверхностных атомов  $\text{Fe}$  объемом металла и о сравнительно

\* Влияние закиси железа на межфазное натяжение изучалось совместно с Г. Ф. Коноваловым.



слабом взаимодействии их с ближайшими ионами шлака. Последнее обусловлено большим различием в строении контактирующих слоев обеих фаз, и, в частности, незначительными концентрациями в них родственных частиц. Небольшое понижение  $\sigma$  при обогащении шлака двуокисью кремния обусловлено главным образом восстановлением Si. Частицы FeSi слабее связаны с окружающими атомами железа и вытесняются в поверхностный слой металла [11, 12].

Таблица 2

Межфазное натяжение железа на границе с оксидной фазой, содержащей FeO

Состав шлака, вес. %						Плотность шлака, г/см <sup>3</sup>	$\sigma$ , эрг/см <sup>2</sup> *
FeO	Fe <sub>2</sub> O <sub>3</sub>	CaO	SiO <sub>2</sub>	MgO	Al <sub>2</sub> O <sub>3</sub>		
1,3	0,03	58,5	29,2	5,9	2,5	2,70	1060
4,2	0,4	52,3	28,6	6,3	2,5	2,78	860
6,2	0,9	52,4	30,1	7,4	2,5	2,81	750
7,9	1,6	43,2	28,1	8,6	6,0	2,85	710
12,5	2,1	40,9	28,8	12,4	2,5	2,93	620
13,1	2,0	42,6	28,9	9,4	2,0	3,0	590
20,8	3,3	32,0	26,5	13,0	2,5	3,10	560
24,0	4,4	29,5	29,4	11,5	1,1	3,23	490
37,2	8,0	12,0	21,3	17,3	3,2	3,60	440
47,5	2,4	1,5	18,0	21,5	2,0	3,67	390
56,1	6,0	1,0	16,9	18,3	1,4	3,72	370
59,2	7,1	0,9	15,5	14,4	1,8	3,80	360
62,9	5,6	2,1	12,4	12,5	1,2	3,81	360
68,6	4,3	—	17,9	9,2	—	3,90	260
85,6	7,0	—	—	7,4	—	4,33	мало*

\* Капля весом 11 г полностью растекается.

Наряду с этим известное влияние должно оказывать изменение межфазного взаимодействия, вызванное заменой в шлаке одних ионов другими. Например, можно ожидать некоторого возрастания  $\sigma$  с повышением концентрации катионов кальция за счет ослабления связи оксидной фазы с железом, поскольку Ca и Fe не образуют ни растворов, ни соединений.

Обращает внимание параллелизм в изменении  $\sigma$  и поверхностного натяжения сплавов CaO — SiO<sub>2</sub> — Al<sub>2</sub>O<sub>3</sub>, хотя причина изменений последнего несколько иная. Как отмечалось ранее [10], поверхностное натяжение шлака убывает при обогащении его двуокисью кремния вследствие более низкой энергии взаимодействия кислорода, расположенного в поверхностном слое, с катионами расплава.

Интенсивное понижение межфазного натяжения от введения закиси железа обусловлено прежде всего заметной растворимостью FeO в металлической фазе и высокой поверхностной активностью в ней кислорода. Наличие в железе 0,21% O (концентрация, близкая к насыщению при 1600°) понижает его поверхностное натяжение на 500—600 эрг/см<sup>2</sup> [13, 14].

Межфазное натяжение убывает сильнее. Понижение  $\sigma$  при 70% FeO в шлаке достигает 1000 эрг/см<sup>2</sup> (кривая 3). Следовательно, наряду с ослаблением связи между частицами в металлической фазе усиливается взаимодействие ее с оксидным расплавом. По мере обогащения последнего закисью железа структуры граничных слоев металла и шлака сближаются. Асимметрия силового поля, в котором находятся поверхностные частицы, сглаживается, что проявляется в дальнейшем понижением межфазного натяжения. При высоких концентрациях FeO поверхностный слой шлака ориентационно и размерно сочленяется с металлом, насы-

ным кислородом, в связи с чем межфазное натяжение убывает до весьма малых величин.

Таким образом, в данном случае, как и в изученных ранее системах [15], межфазное натяжение велико при незначительном содержании оксидного расплаве ионов, входящих в состав металла. С повышением концентрации родственных частиц в обеих фазах, например железа, хлорода, марганца [15], кремния [4] или углерода [16], наблюдается интенсивное понижение  $\sigma$ , свидетельствующее об их сильной адсорбции в межфазной границе. При насыщении поверхностных слоев контактирующих жидкостей родственными частицами имеет место более или менее совершенное ориентационное и размерное соответствие фаз, в связи с чем асимметрия силового поля на границе их раздела незначительна.

Рассмотренные выше результаты вскрывают влияние компонентов оксидного расплава на устойчивость неметаллических включений в стали. Низкое межфазное натяжение облегчает зарождение новой фазы. Однако усилии окислов железа в металлическом железе термодинамически более устойчивы. Чтобы они смогли коалесцировать и за небольшое время удалиться из стали, представляется целесообразным повысить межфазное натяжение за счет разбавления дисперсной фазы такими компонентами, как  $\text{CaO}$ ,  $\text{SiO}_2$  и  $\text{Al}_2\text{O}_3$ .

Скорость агрегации, как известно [17, 18], существенно зависит от стабилизирующего действия адсорбционных слоев, которое для подобных условий не изучено. Тем не менее, повышение межфазного натяжения с слишком малых значений, свойственных границе железо — закись железа, в известных пределах будет сопровождаться понижением устойчивости неметаллических включений.

Автор признателен профессору О. А. Есину за просмотр рукописи, советы и замечания.

### Выводы

1. Установлено, что межфазное натяжение железа на границе с расплавом  $\text{CaO} - \text{SiO}_2 - \text{Al}_2\text{O}_3$  велико ( $1030-1290 \text{ эрг/см}^2$ ) и слабо возрастает при замене двуокиси кремния окисью кальция или алюминия. Это пояснено значительно меньшей энергией взаимодействия атомов железа с ионами шлака, чем между собой.
2. Обнаружено интенсивное понижение межфазного натяжения при обогащении шлака закисью железа. Оно обусловлено растворением  $\text{FeO}$  в железе и адсорбцией ее со стороны обеих фаз.
3. Отмечено, что закись железа облегчает зарождение шлаковых включений в стали и повышает их термодинамическую устойчивость.

Уральский политехнический институт  
им. С. М. Кирова

Поступила  
15. V. 1957

### ЛИТЕРАТУРА

1. С. И. Сапиро, *Сталь*, 4, 311, 1950.
2. С. И. Попель и О. А. Есин, *Тр. Уральск. политехн. ин-та*, сб. 9, стр. 54, Металлургиздат, 1954.
3. Л. Л. Кунин, *Поверхностные явления в металлах*, Металлургиздат, стр. 193, 1955.
4. С. И. Попель, О. А. Есин и П. В. Гельд, *ДАН СССР*, 75, 227, 1950.
5. С. И. Попель, О. А. Есин и Ю. П. Никитин, *ДАН СССР*, 83, 253, 1952.
6. С. И. Попель, О. А. Есин и П. В. Гельд, *ДАН СССР*, 74, 1097, 1950.
7. S. Mellor, *Comprehensive Treatise on Inorg. a Theoret. Chem.*, 14, p. 11, 1934.
8. С. И. Попель, и О. А. Есин, *Ж. прикл. химии*, 29, 651, 1956.
9. С. И. Попель, Н. Н. Красовский, О. А. Есин и Ю. П. Никитин, *Тр. Уральск. политехн. ин-та*, сб. 49, стр. 76, Металлургиздат, 1954.
10. С. И. Попель и О. А. Есин, *Ж. неорган. химии*, 2, 632, 1957.
11. И. А. Андреев, *Тр. ЦНИИ ПКТИ*, № 2-3, 5, 1945.
12. П. В. Гельд, Н. В. Заимских, Н. Н. Серебрянников и Ю. П. Никитин, *Ж. прикл. химии*, 25, 687, 1952.

13. Б. В. Старк и С. И. Филиппов, Изв. АН СССР, отд. техн. наук, 3, 4, 1949.
14. F. A. Halden, W. D. Kingery, Journ. Phys. Chem., 59, 557, 1955.
15. Ю. П. Никитин и О. А. Есин, ДАН СССР, 107, 847, 1956.
16. С. И. Попель, О. А. Есин и Ю. П. Никитин, Тр. Уральск. политехн-та, сб. 49, стр. 76, 1954.
17. Б. Дерягин и М. Кусakov, Изв. АН СССР, отд. матем. и естеств. наук, 5, 1119, 1937.
18. П. А. Ребиндер и К. А. Поспелова, Вступительная статья в кн. В. Клейтона «Эмульсии», Изд. иностр. лит-ры, М., стр. 11, 1950.

---

## THE EFFECT OF THE COMPONENTS OF AN OXIDE MELT ON ITS INTERFACIAL TENSION WITH IRON

*S. I. Popel*

### Summary

With the aid of X-ray photography of an iron drop in an oxide melt the interfacial tension ( $\sigma$ ) has been determined at 1580° C.

In the case of the melts  $\text{CaO-SiO}_2\text{-Al}_2\text{O}_3$ , it is high (1060—1290  $\text{erg/cm}^2$ ) and slightly increases on changing the silicon dioxide for calcium or aluminum oxides. Enrichment of the oxide phase in ferrous oxide is accompanied by a large decrease in the interfacial tension.

The high  $\sigma$  values bear witness to weak interaction between the phases.

On introducing FeO to the slag both melts become enriched in related particles (iron and oxygen), the adsorption of which leads to decrease in the asymmetry of the field of force at the interfacial boundary, and, hence, to insignificant values of  $\sigma$ .

---

## ОПРЕДЕЛЕНИЕ КОЭФФИЦИЕНТОВ РАЗДЕЛЕНИЯ СМЕСИ ДИБУТИЛФТАЛАТ-ДИБУТИЛАЗЕЛААТ ПРИ ИСПАРЕНИИ В ВЫСОКОМ ВАКУУМЕ\*

В. А. Малюсов, Н. А. Малафеев и Н. М. Жаворонков

Процесс испарения в высоком вакууме (остаточное давление неконденсуемых газов порядка  $10^{-4}$  мм рт. ст.) может протекать в равновесных и неравновесных условиях. Равновесные условия могут иметь место при испарении в замкнутом сосуде без конденсатора, когда все молекулы после отрыва от поверхности испарения, вследствие отражения от стенок сосуда и столкновений между собой, в конце концов возвращаются в жидкую фазу. Неравновесные условия испарения существуют при молекулярной дистилляции в тех случаях, когда длина свободного пробега молекул того же порядка, что и расстояние от поверхности испарения до поверхности конденсации  $h$ .

В этом случае подавляющая часть молекул достигает поверхности конденсации без столкновений с другими молекулами. Повышение температуры приводит к увеличению количества испаряющихся молекул, уменьшению длины свободного пробега молекул, увеличению количества столкновений и, следовательно, к повышению доли молекул, не долетающих до поверхности конденсации и возвращающихся обратно на поверхность испарения. Поэтому повышение температуры в процессе испарения в высоком вакууме в случае молекулярной дистилляции должно приводить к переходу процесса неравновесного испарения в процесс равновесного испарения даже при наличии в системе конденсатора.

В настоящее время, если не считать работы Хикмана и Тревоя [1], определивших коэффициенты разделения при равновесном и неравновесном испарении для системы ди-2-этилгексилфталат—ди-2-этилгексилэбагинат, в литературе не имеется надежных данных по коэффициентам разделения в высоком вакууме.

Для исследования процесса многоступенчатой молекулярной дистилляции [5] удобно было иметь смесь, коэффициент разделения которой имел бы величину, равную 1,5—1,6, а компоненты этой смеси были бы легко доступны.

Смесью, удовлетворяющей этим требованиям, является смесь дибутилфталата и дибутилазелаата (ДБФ и ДБА), однако коэффициенты разделения для этой смеси как функция состава и температуры еще не были определены, если не считать данных Вильямса [3], полученных в условиях равновесного испарения только для температуры  $155^{\circ}$ .

Задачей настоящего исследования явилось определение коэффициентов разделения смеси ДБФ-ДБА в условиях неравновесного и равновесного испарения.

### Определение коэффициентов разделения в условиях неравновесного испарения

Определение коэффициентов разделения проводилось нами в тензи-метре с «падающей струей», который, по данным Хикмана и Тревоя [2],

\* В выполнении экспериментальной части работы принимала участие И. В. Аристова.



дает более устойчивые и надежные результаты, чем другие типы паратов.

На рис. 1 дана схема устройства тензиметра, отдельные элементы конструкции которого были нами несколько видоизменены по сравнению с конструкцией Хикмана и Тревоя [1]. В этом приборе струя циркулирующей нагретой жидкости окружена концентрически расположенным стеклянным конденсатором. Конденсатор по высоте был разделен на 3 зоны (верхнюю, среднюю и нижнюю) специальными выемками, являющимися

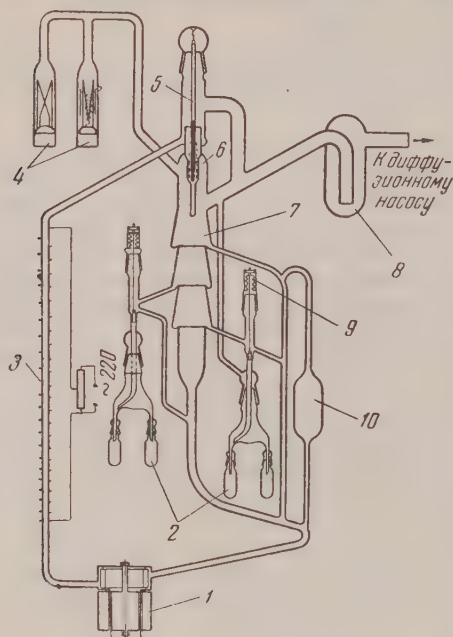


Рис. 1. Тензиметр с «падающей струей». 1 — циркуляционный насос; 2 — «пауки»; 3 — нагреватель; 4 — измерительные лампы; 5 — термометр; 6 — сетка; 7 — корпус тензиметра; 8 — ловушка; 9 — сильфонный клапан; 10 — резервуар

парат не работал. Измерение температуры жидкости осуществлялось с помощью калиброванной медно-константановой термопары 5, соединенной с потенциометром типа ПП (на рисунке вместо термопары изображен термометр). В тензиметре с «падающей струей» были определены коэффициенты разделения для смеси ДБФ-ДБА, при температурах 60, 80, 100 и 110° в интервале концентраций от 10 до 90 мол.% ДБФ. Расширить интервал температур не удалось, так как при температуре выше 110° поверхность струи покрывалась волнами, струя искривлялась, наблюдалось сильное разбрызгивание жидкости. При температурах ниже 60° скорость испарения крайне мала и поэтому эти температуры при практическом осуществлении молекулярной дистилляции едва ли будут иметь применение. Коэффициент разделения рассчитывался по формуле

$$\alpha_m = \frac{y(1-x)}{x(1-y)},$$

где  $y$  — мол.% ДБФ в дистилляте;  $x$  — мол.% ДБФ в струе.

Анализ составов дистиллята и жидкости производился измерением коэффициентов преломления. Экспериментальные данные приведены в табл. 1 и на рис. 2. Совпадение составов дистиллята, получаемого в сред-

собственными тензиметром 7 имел внутренний диаметр 30 мм и высоту средней и нижней зон соответственно 45 и 45 мм. Циркуляция жидкости осуществлялась с помощью шестеренчатого насоса 1 оригинальной конструкции [4], специально изготовленного для этой цели.

Для нагревания жидкости нагретательной линии насоса была намотана спираль из нихромовой проволоки. Степень нагрева регулировалась автотрансформатором. Жидкость из нагревателя 3 поступала в кольцевое пространство верхней части тензиметра, переливалась через край внутренней трубки и стекала по внутренней стенке в сливную трубку, имеющую внутренний диаметр 4,5 мм. Для лучшего распределения жидкое служила цилиндрическая сетка из нержавеющей проволоки. Для сбора дистиллята из средней и нижней зон тензиметра применялись два «паука» 2 с шестью пробирками каждый. «Пауки» были снабжены сильфонными клапанами 9. Резервуар 10 служил резервной емкостью для жидкости, когда а-

и нижней зонах (см. табл. 1), свидетельствует о хорошем перемешивании жидкости в струе, в результате чего состав поверхностного слоя, с которого и происходит испарение, оставался постоянным. Состав жидкости по высоте струи также практически совершенно не изменялся, так как скорость испарения была ничтожна по сравнению со скоростью циркуляции жидкости в тензиметре (диаметр струи обычно был равен 2—2,2 мм).

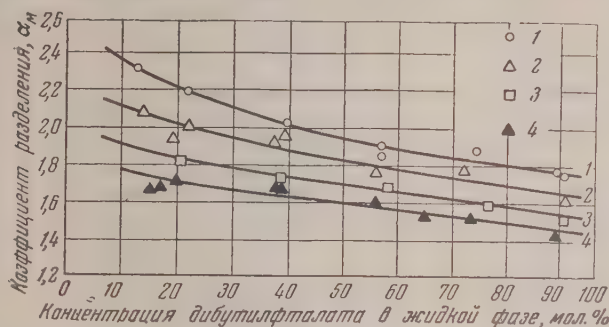


Рис. 2. Зависимость  $\alpha_m$  от концентрации дибутилфталата в жидкой фазе. 1 — температура 60; 2 — 80; 3 — 100; 4 — 110°

На рис. 2 представлена зависимость коэффициента разделения  $\alpha_m$  от концентрации ДБФ в жидкой фазе. Из рисунка видно, что коэффициент разделения для смеси ДБФ-ДБА уменьшается с ростом температуры и увеличением концентрации ДБФ.

Таблица 1

t, °C	Дистиллят средней зоны		Дистиллят нижней зоны		Остаток		$\alpha_m$
	$n_D^{20}$	мол.% ДБФ	$n_D^{20}$	мол.% ДБФ	$n_D^{20}$	мол.% ДБФ	
60	1,4519	25,4	1,4519	25,4	1,4460	12,8	2,32
60	1,4581	38,0	1,4581	38,0	1,4502	21,8	2,2
60	1,4680	57,1	1,4680	57,1	1,4588	39,5	2,03
60	1,4759	71,6	1,4759	71,6	1,4678	56,7	1,92
60	1,4756	71,0	1,4751	70,2	1,4679	56,8	1,86
60	1,4832	84,4	1,4833	84,5	1,4772	74,0	1,9
60	1,4890	93,9	1,4888	93,7	1,4864	89,6	1,79
60	1,4894	94,6	1,4894	94,6	1,4872	90,8	1,77
81	1,4515	24,8	1,4513	24,2	1,4464	13,6	2,09
80	1,4548	31,4	1,4548	31,4	1,4489	19,0	1,95
80	1,4570	35,8	1,4572	36,1	1,4501	21,6	2,02
80	1,4663	54,0	1,4663	54,0	1,4579	37,3	1,94
81	1,4675	56,0	1,4675	56,0	1,4586	39,1	1,98
80	1,4738	67,6	1,4750	70,0	1,4678	56,7	1,78
80	1,4820	82,2	1,4820	82,2	1,4760	71,9	1,80
80	1,4891	94,0	1,4891	94,0	1,4870	90,6	1,63
101	1,4550	31,7	1,4544	30,5	1,4495	20,3	1,82
100	1,4652	51,8	1,4652	51,8	1,4581	38,2	1,74
100	1,4750	70,0	1,4750	70,0	1,4684	57,8	1,70
100	1,4828	83,7	1,4828	83,7	1,4785	76,2	1,60
100	1,4889	93,5	1,4888	93,6	1,4870	90,6	1,52
111	1,4506	22,6	1,4504	22,2	1,4470	14,8	1,68
110	1,4515	24,6	1,4512	23,8	1,4476	16,2	1,69
110	1,4540	29,8	1,4539	29,7	1,4492	19,7	1,73
110	1,4545	50,5	1,4545	50,5	1,4578	37,6	1,69
110	1,4647	50,9	1,4647	50,9	1,4580	37,9	1,70
110	1,4732	66,8	1,4732	66,8	1,4672	55,5	1,61
110	1,4772	73,8	1,4770	73,4	1,4720	64,6	1,54
110	1,4811	80,6	1,4811	80,6	1,4769	73,3	1,53
110	1,4878	92,0	1,4878	92,0	1,4859	88,8	1,45

### Определение коэффициента разделения для смеси ДБФ-ДБА в условиях равновесного испарения

Для измерения коэффициента разделения для смеси ДБФ-ДБА в условиях равновесного испарения нами был использован куб с вращающимся барабаном, описанный Хикманом и Тревоем [2]. Специальные исследования упомянутых авторов дают основание полагать, что в аппарате такого типа получаются наиболее воспроизводимые данные. Конструкция прибора дана на рис. 3.

Куб представлял собой стеклянный цилиндр 1 диаметром 40 и длиной 70 мм, соединенный изогнутой трубкой с цилиндром 7, в который при помощи шлифа вставлялся конденсатор 6. Трубка 4 являлась байпасом. В пробке служил барабан 2 из нержавеющей стали, открытый на концах. Вращение барабана осуществлялось при помощи магнита 3. В свою очередь, вращение от электродвигателя к магниту 3 передавалось через червячную передачу. Выход паров из куба в конденсационное пространство был закрыт стальным шариком 5, который во время отбора проб при помощи магнита перемещался в специальный карман. Вакуум в системе создавался теми же вакуумными насосами, что и в тензиметре с «падающей струей». Куб был погружен до уровня нижнего конца конденсатора в термостат, заполненный глицерином. Термостат был снабжен мешалкой и нагревателями. Контактным термометром, соединенным с реле, обеспечивалось постоянство температуры глицерина с колебаниями не выше  $\pm 0,2^\circ$ . Во время опытов куб на одну четверть объема был заполнен смесью ДБФ-ДБА.

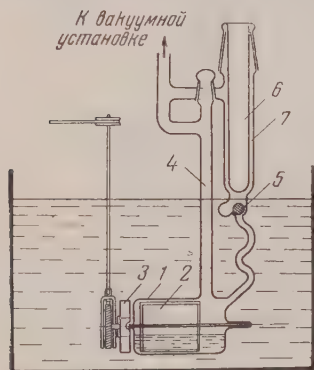


Рис. 3. Равновесный аппарат. 1 — корпус аппарата; 2 — металлический барабан; 3 — магнит; 4 — байпасная линия; 5 — металлический шарик; 6 — конденсатор; 7 — корпус конденсатора.

Прежде чем начать опыты по определению коэффициента разделения для смеси ДБФ-ДБА, необходимо было выяснить влияние на эффективность куба таких важных факторов, как продолжительность опыта, продолжительность отбора проб паровой фазы и температуры конденсатора. Данные этих предварительных испытаний позволили вывести заключение, что слишком быстрый отбор пробы приводит к заниженным результатам. Было найдено также, что температура конденсатора должна быть не выше  $80^\circ$ , а продолжительность выдержки аппарата до отбора пробы — в пределах от 10 до 60 мин. В наших опытах время отбора пробы при открытом шарике при  $t = 80^\circ$  составляло 15–60 мин.; при  $t = 100^\circ$  — 2–5 мин; при  $120^\circ$  — от 0,5 до 2 мин. или 5–8 мин. при закрытом шарике. В этих условиях объем пробы на конденсаторе составлял 0,1–0,2 см<sup>3</sup>.

Конденсатор обычно охлаждался жидким азотом или сухим льдом с ацетоном. При этом проба конденсата намерзала на внутренней поверхности конденсатора, который после охлаждения аппарата и снятия вакуума вынимался. Проведенные расчеты показали, что скорость отбора паров при взятии пробы по сравнению со скоростью испарения в кубе составляла величину от  $\frac{1}{100}$  до  $\frac{1}{300}$  и, таким образом, можно было считать, что равновесные условия при испарении не нарушались. Опыты проводились в пределах концентраций ДБФ в жидкости от 12,5 до 86 мол. % при трех температурах: 80, 100 и  $120^\circ$ . Каждый опыт повторяли от 3 до 7 раз и рассчитывалось среднее значение коэффициента разделения. Результаты измерений даны в табл. 2, а на рис. 4 представлена зависимость ко-



Таблица 2

$t, ^\circ\text{C}$	Концентрация ДБФ в жидкости, мол. %	Средняя величина $\alpha_p$	$t, ^\circ\text{C}$	Концентрация ДБФ в жидкости, мол. %	Средняя величина $\alpha_p$
80	12,8	1,96	120	47,4	1,47
100	12,6	1,77	80	59,0	1,69
120	12,6	1,65	100	59,0	1,60
80	28,2	1,76	120	59,0	1,52
100	27,8	1,71	80	72,4	1,70
80	36,0	1,77	100	72,4	1,57
100	36,0	1,65	120	72,4	1,47
120	36,0	1,58	80	86,0	1,55
80	47,4	1,72	100	86,0	1,54
100	47,4	1,62	120	86,0	1,405

коэффициента разделения  $\alpha_p$  от концентрации ДБФ в жидкости при температурах 80, 100 и 120°.

Кривая 4 отражает данные Вильямса [3] при температуре 155°, полученные автором в приборе типа Отмера. Характер изменения коэффициентов разделения для условий равновесного испарения тот же, что и для неравновесного испарения, т. е.  $\alpha_p$  уменьшается с ростом температуры и с ростом концентрации ДБФ в жидкой фазе.

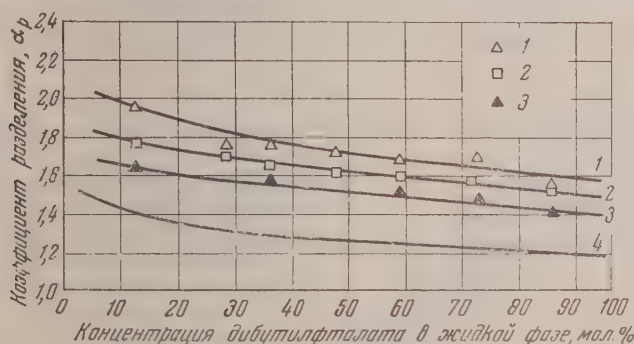


Рис. 4. Зависимость  $\alpha_p$  от концентрации дибутилфталата в жидкой фазе. 1 — температура 80; 2 — 100; 3 — 120; 4 — данные Вильямса для температуры 155°

На основании проведенных исследований мы имели возможность сравнить данные по величинам коэффициентов разделения, полученным в тензиметре с «падающей струей» в условиях неравновесной дистилляции и в равновесном аппарате в условиях равновесной дистилляции при одинаковых температурах. Соответствующие данные для темпе-

Таблица 3

$t, ^\circ\text{C}$	Концентрация ДБФ в жидкой фазе, мол. %	$\alpha_m$	$\alpha_p$	$\frac{\alpha_m}{\alpha_p}$	$t, ^\circ\text{C}$	Концентрация ДБФ в жидкой фазе, мол. %	$\alpha_m$	$\alpha_p$	$\frac{\alpha_m}{\alpha_p}$
30	10	2,12	1,98	1,070	100	10	1,90	1,79	1,060
	20	2,015	1,89	1,065		20	1,835	1,735	1,058
	30	1,94	1,82	1,065		30	1,78	1,69	1,052
	40	1,89	1,76	1,072		40	1,74	1,65	1,054
	50	1,83	1,71	1,070		50	1,70	1,62	1,050
	60	1,73	1,68	1,060		60	1,66	1,59	1,044
	70	1,75	1,645	1,062		70	1,62	1,56	1,040
	80	1,71	1,615	1,058		80	1,585	1,53	1,037
	90	1,675	1,585	1,056		90	1,55	1,50	1,034



ратуры 80 и 100° представлены в табл. 3 и на рис. 5, где сплошными линиями даны значения  $\alpha_m$ , а пунктирными линиями значения  $\alpha_p$ . Как и довало ожидать, коэффициенты разделения при испарении в высшем вакууме для равновесных условий имеют меньшие значения, чем при условии неравновесной дистилляции.

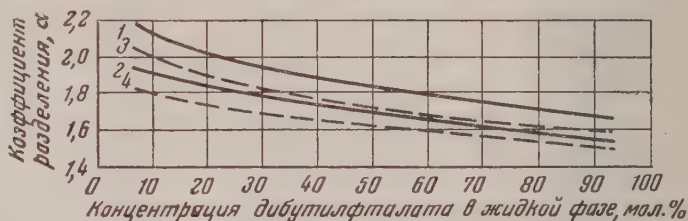


Рис. 5. Сравнение данных по  $\alpha_m$  и  $\alpha_p$  для температур 90 и 100°. 1 —  $\alpha_m$  при 80; 2 —  $\alpha_m$  при 100; 3 —  $\alpha_p$  при 80; 4 —  $\alpha_p$  при 100°

В то же самое время из табл. 3 видно, что с увеличением температуры отношение величин  $\frac{\alpha_m}{\alpha_p}$  стремится к единице, составляя для температуры 80° в среднем величину 1,07 и для температуры 100° величину 1,05. Соответствующий расчет из опытных данных для 110° дает среднее значение  $\frac{\alpha_m}{\alpha_p} = 1,03$ . Приближенно

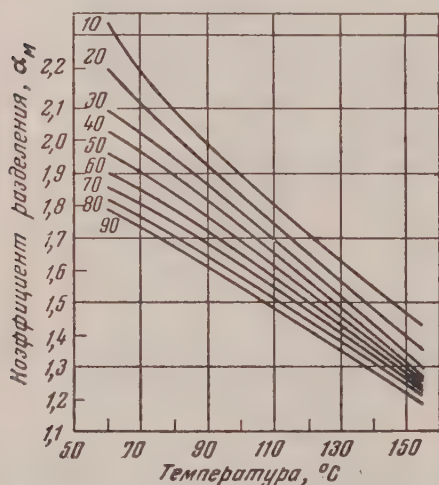


Рис. 6. Зависимость  $\alpha_m$  от температуры и состава для смеси ДБФ-ДБА. Цифры у кривых обозначают молярный процент дибутилфталата в жидкой фазе

позволяющих определять величины коэффициента разделения ( $\alpha_m$ ) в интервале концентраций от 10 до 90 мол. % ДБФ в жидкости и в интервале температур от 60 до 155°. При построении этих кривых использованы полученные нами данные по испарению в тензиметре с «падающей» струей при температурах 60, 80, 100 и 110°, а также данные Вильямса [3], полученные им при равновесном испарении в аппарате типа Отмера при 155°

### Выводы

В результате проведенных исследований показано, что:

1. Коэффициенты разделения смеси дибутилфталат — дибутилaze лаат при неравновесном испарении ( $\alpha_m$ ) больше коэффициентов разделения при равновесном испарении ( $\alpha_p$ )

величины  $\frac{\alpha_m}{\alpha_p}$  к единице с увеличением температуры подтверждает высказанное ранее положение о переходе процесса неравновесного испарения в равновесный процесс при повышении температуры.

Полученные данные позволяют с достаточным основанием сделать предположение о том, что при температуре 155° для системы ДБФ-ДБА даже в условиях молекулярной дистилляции отношение

будет равно единице. В соответствии с этим для расчета коэффициента разделения в процессе молекулярной дистилляции нами построена серия кривых (рис. 6)

По мере повышения температуры отношение коэффициентов разделения  $\frac{\alpha_M}{\alpha_P}$  в полном соответствии с теоретическими предпосылками стремится к единице, так как при этом имеет место постепенный переход не-новесного процесса испарения в равновесный.

Физико-химический институт  
им. Л. Я. Карпова  
Москва

Поступила  
16. V. 1957

#### ЛИТЕРАТУРА

1. C. D. Hickmann, O. J. Trevoу, Ind. Eng. Chem., 44, 8, 1882, 1952.
2. C. D. Hickmann, O. J. Trevoу, Ind. Eng. Chem., 44, 8, 1903, 1952.
3. W. Williams, Ind. Eng. Chem., 39, 6, 779, 1947.
4. А. Малафеев и Д. Н. Глазунов, Приборы и стенды, N-ПС 55-462, ИТЭИН, Москва, 1955.
5. А. Малюсов, Н. Н. Умняк, Н. А. Малафеев и Н. М. Жаворонков, ДАН СССР, 190, № 4, 828, 1956.

#### DETERMINATION OF THE SEPARATION COEFFICIENTS OF A MIXTURE OF DIBUTYLPHthalATE AND DIBUTYL AZELATE

*V. A. Malyusov, N. A. Malafeev, N. M. Zhavoronkov*

#### Summary

The separation coefficients of a dibutylphthalate — dibutylazellate mixture during equilibrium and non-equilibrium vaporization under high vacuum ( $1 \cdot 10^{-4}$  mm Hg residual gas pressure) have been determined.

It has been shown that the separation coefficients are of greater value for non-equilibrium ( $\alpha_M$ ) than equilibrium ( $\alpha_P$ ) vaporization. On raising the temperature the ratio tends to unity.

## КАТОДНАЯ ПОЛЯРИЗАЦИЯ В ТИТАНОСОДЕРЖАЩИХ ШЛАКАХ

В. И. Мусихин и О. А. Есин

Электродная поляризация в расплавленных солях известна давным-давно и носит в ряде случаев концентрационный характер [1]. Обнаруженная последнее время поляризация в жидких шлаках [2] еще мало изучена, однако и здесь можно ожидать замедленную диффузию. Действительно, по измерениям ряда авторов [3, 4] коэффициенты диффузии  $\text{CaO}$  и  $\text{SiO}_2$  в расплавах  $\text{CaO} - \text{Al}_2\text{O}_3 - \text{SiO}_2$  имеют в температурах  $1350-1580^\circ$  порядок величины  $(10^{-6}-10^{-7} \text{ см}^2 \text{сек}^{-1})$ , совпадающий с таковым в левыми расплавами [5], т. е. меньший, чем в водных растворах  $(10^{-5} \text{ см}^2 \text{сек}^{-1})$  [6].

В нижеследующем приводятся полученные нами данные, подтверждающие сказанное на примере титаносодержащих шлаков.

## Методика эксперимента

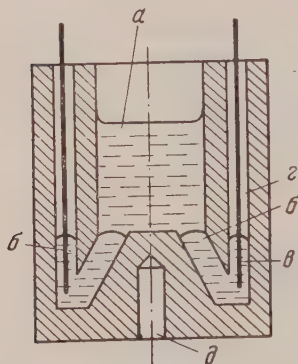


Рис. 1. Электролизер: *а* — отделение для шлака; *б* — отделение для электродов; *в* — вольфрамовые токоотводы; *г* — каналы для токоотводов; *д* — отделение для термопары

специальными наблюдениями за ходом поляризации спустя  $10^{-5}-10^{-6}$  сек. после выключения тока, осуществленными путем усиления сигнала, подаваемого на катодный осциллограф, было установлено отсутствие быстрых спадов потенциала.

Электролизер (рис. 1) изготовлялся из куска плавного магнетита, он имел одно общее отделение *а* для шлака и три *б* для жидких электродов. Токоотводами служили вольфрамовые стержни *в*, проходившие через каналы *г*. Контроль температуры осуществлялся *W* — Мо-термопарой, горячий спай которой помещался в отделение *д*. Electroдами во всех опытах были жидкие сплавы меди с титаном (3—5% Ti).

## Результаты измерений и их обсуждение

Некоторые из полученных данных представлены на рис. 2. Состав расплавов приведены в табл. 1. Кривые 1, 2, 3 и 4 (соответственно шлаки 1—4, табл. 1) относятся к температуре  $1400^\circ$  и обладают четко выраженными предельными плотностями тока ( $i_{\text{л}}$ ). Между последними и концентрацией двуокиси титана имеется прямая пропорциональность:

% $\text{TiO}_2$	0,5	0,8	1,1	1,55
$i_{\text{л}} \text{ а/см}^2$	0,055	0,093	0,125	0,190

соответствии с этим для расплава 5 (кривая 5) предельная плотность не достигается даже при  $4,4 \text{ а/см}^2$ , так как %  $\text{TiO}_2$  здесь очень высок.

Поскольку электроды содержат титан, а коэффициент диффузии в жидких металлах значительно больше, чем в шлаках [9, 10], в нашем случае

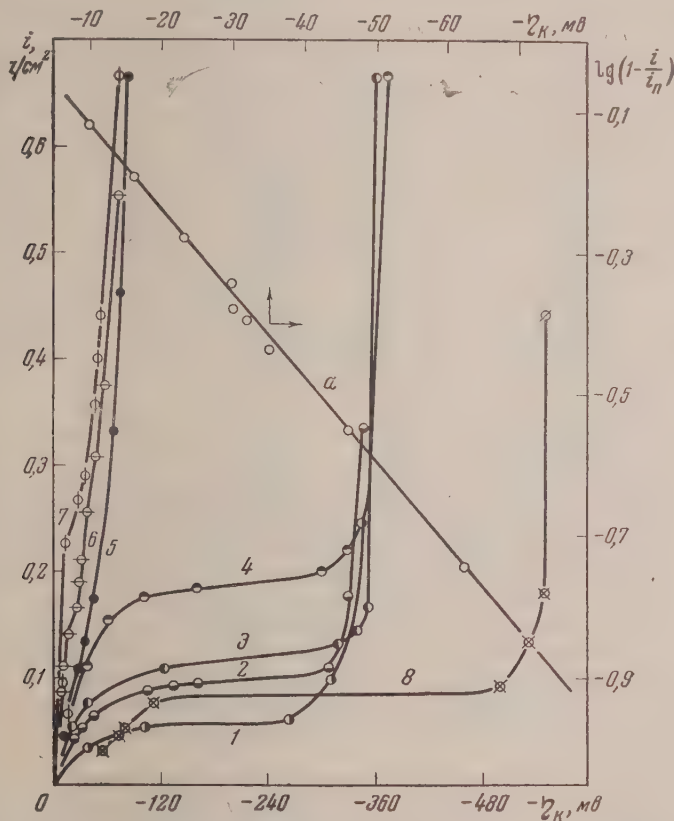


Рис. 2. Поляризационные кривые на  $\text{Cu-Ti}$ -катоде в системах:  $\text{CaO-MgO-Al}_2\text{O}_3\text{-B}_2\text{O}_3\text{-TiO}_2$  (1-5),  $\text{CaO-Al}_2\text{O}_3\text{-MgO-TiO}_2$  (6-7) и  $\text{CaO-B}_2\text{O}_3\text{-TiO}_2$  (8) при  $1400^\circ$ . Прямая  $a$  — в координатах  $\eta_K, \ln \left(1 - \frac{i}{i_n}\right)$

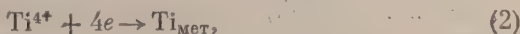
можно применить простейшее уравнение концентрационной поляризации ( $\eta_K$ )

$$\eta_K = \frac{RT}{nF} \ln \left(1 - \frac{i}{i_n}\right). \quad (1)$$

Точки первых участков поляризационных кривых (до предельной плотности тока), нанесенные на график в координатах

$$\eta_K, \dots \ln \left(1 - \frac{i}{i_n}\right),$$

хорошо укладываются на одной прямой ( $a$ , рис. 2) с угловым коэффициентом 0,08, что при температуре опыта отвечает  $n \cong 4$ . Таким образом, этот участок кривых соответствует процессу восстановления четырехвалентного титана до металлического:





а сопровождающая его поляризация является концентрационной и обусловлена замедленной диффузией ионов  $Ti^{4+}$ . Отсутствие быстрых спадов поляризации также свидетельствует о ее диффузионном характере. Кривые 1, 2, 3 и 4 поэтому можно рассматривать как полярограммы с волнам

Таблица 1

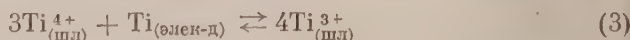
№	% CaO	% MgO	% $Al_2O_3$	% $B_2O_3$	% $TiO_2$
1	42,9	5,9	44,3	6,0	0,5
2	42,8	5,8	44,4	5,9	0,8
3	42,8	6,0	44,3	5,7	1,1
4	42,8	5,8	44,2	5,6	1,55
5	20,8	3,4	16,0	4,8	55,0
6	46,0	6,0	47,0	—	0,6
7	46,0	6,3	47,7	—	0,9
8	61,6	—	—	38,2	0,3
9	42,8	5,8	44,5	6,0	1,50
10	42,9	5,9	44,6	5,9	1,3
11	42,8	6,0	44,4	5,8	2,0

четырехвалентного титана, снятыми на фоне  $CaO$ ,  $MgO$ ,  $Al_2O_3$ ,  $B_2O_3$  при температуре  $1400^\circ$ .

В опытах с расплавами, не содержащими  $B_2O_3$  (шлаки и кривые 6 и 7 рис. 2, табл. 1), не было обнаружено при тех же температурах и концентрациях  $TiO_2$  ясно выраженных предельных токов. На кривых имелись лишь небольшие перегибы. По-видимому, в этом случае потенциалы осаждения титана и алюминия сближаются. Напротив, в шлаках без глинозема потенциал начала второй ветви значительно отодвигается в сторону более отрицательных значений (кривая 8, рис. 2). Вероятно, он отвечает выделению не растворимого в меди бора. Присутствие обоих окислов в шлаке приводит, по-видимому, к усилению связи глинозема с расплавом и повышает потенциал его осаждения. В этом случае предельные токи четко выявляются.

Промежуточные ступени восстановления, обнаруженные в водных растворах [11], на медно-титановом катоде нами не наблюдались, вероятно, вследствие значительной деполяризации при растворении  $Ti$  в  $Cu$ . Напротив, на катоде из сплава железа с фосфором (10% P) и титаном (2—3%  $Ti$ ), где деполяризация, по-видимому, мала, происходит главным образом перезарядка  $Ti^{4+}$  до  $Ti^{3+}$ . Действительно, в координатах  $\eta_{\text{и}}$ ,  $\ln(1 - i/i_{\text{и}})$  точки начального участка кривой 9 (рис. 3) укладываются, как и в предыдущем случае, на прямой б, угловой коэффициент которой отвечает  $n = 1,2-1,3$ .

Применимость в этом случае простейшего уравнения концентрационной поляризации обусловлена тем, что равновесие между электродом и шлаком



здесь сдвинуто вправо сильнее, чем для сплава  $Cu - Ti$ . Поэтому начальная концентрация  $Ti^{3+}$  в шлаке достаточно велика, чтобы пренебречь поляризацией, вызванной накоплением ионов трехвалентного титана.

Подтверждением сказанному является заметно меньший предельный ток, чем на медно-титановых катодах. Это указывает на понижение содержания  $Ti^{4+}$  в шлаке в результате протекания реакции (3).

Наряду с перезарядкой  $Ti^{4+}$  до  $Ti^{3+}$  на электроде  $Fe$ ,  $P$ ,  $Ti$  частично протекают, по-видимому, и процессы восстановления  $Ti^{3+}$  до  $Ti^{2+}$ ,  $Ti^{4+}$  до  $Ti^{2+}$  и  $Ti^{4+}$  до  $Ti$ , о чем свидетельствует коэффициент  $n$ , больший единицы.

На твердом вольфрамовом катоде, где деполяризация практически отсутствует, происходит также только перезарядка ионов титана. Так как в этом случае реакция (3) вообще не имеет места, то начальные концентрации ионов  $Ti^{3+}$  и  $Ti^{2+}$  очень малы. Концентрационная поляризация, свя-

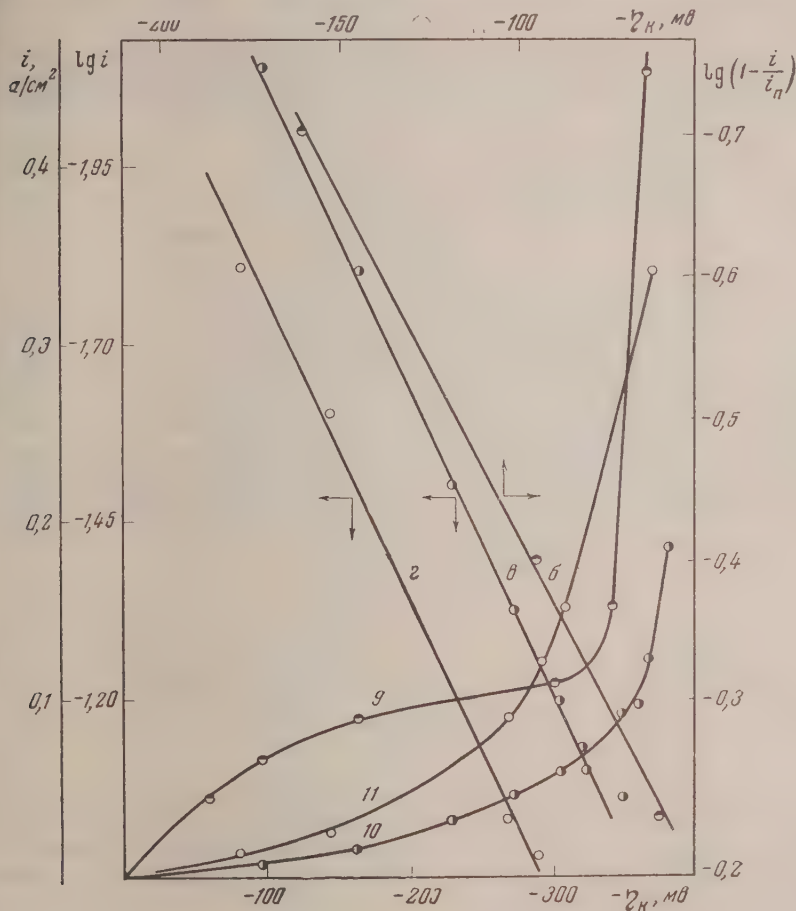


Рис. 3. Поляризационные кривые на Fe-P-Ti (9) и W- (10-11) катодах в системе  $CaO$ ,  $MgO$ ,  $Al_2O_3$ ,  $B_2O_3$  —  $TiO_2$  при  $1400^\circ$ . Прямые 6 — в координатах  $\eta_K$ ,  $\ln(1 - i/i_n)$ , 8 и 2 — в координатах  $\eta_K$ ,  $\ln i$

заянная с их накоплением в приэлектродном слое, будет доминирующей. Иначе говоря, в уравнении

$$\eta_K = -\frac{RT}{nF} \ln \left( 1 + \frac{i}{i_n} \right) + \frac{RT}{nF} \ln \left( 1 - \frac{i}{i_n} \right) \quad (4)$$

При очень низком содержании  $Ti^{3+}$  и  $Ti^{2+}$  отношение  $i/i_n$  даже при малых  $i$  значительно больше единицы и главную роль играет первое слагаемое. В соответствии с этим поляризационные кривые 10 и 11 (рис. 3) имеют вид простых логарифмиков:

$$\eta_K = a - \frac{RT}{nF} \ln i, \quad (5)$$

для которых  $n \approx 1$ , а начальные участки кривых 10, 11 в координатах  $\eta_K$  —  $\ln i$  укладываются в прямые (8 и 2, рис. 3).

## Выводы

1. При температурах 1375—1400° проведены измерения катодной поляризации для процессов восстановления ионов титана на Cu—Ti, Fe—P—Ti и W электродах в расплавах окислов CaO—MgO—Al<sub>2</sub>O<sub>3</sub>—B<sub>2</sub>O<sub>3</sub> содержащих небольшие добавки TiO<sub>2</sub>.

2. Показано, что поляризация, сопровождающая полное и частичное восстановление ионов титана, вызвана замедленной диффузией ионов расплаве.

Институт металлургии  
Уральского филиала АН СССР  
Свердловск

Поступила  
21. V. 1957

## ЛИТЕРАТУРА

1. Ю. К. Делимарский, Успехи химии, **23**, 767—779, 1954.
2. О. А. Есин и Л. К. Гаврилов, Ж. физ. химии, **29**, 566—575, 1955.
3. H. Towers, M. Paris and J. Chinman, J. of Metals, № 11, 1455, 1953.
4. T. Saido and K. Kawai, Chem. Abstr., **10**, № 21, 12641, 1954.
5. N. H. Nachtrieb, M. Steinberg, J. Am. Chem. Soc., **70**, 4613, 1948; J. Am. Chem. Soc., **2**, 3558, 1950.
6. А. Н. Фрумкин, В. С. Багоцкий, З. А. Иофа и Б. Н. Кабанов, Кинетика электродных процессов, стр. 80—81, Изд-во МГУ, М., 1952.
7. R. Piontelli and G. Montanelli, J. Chem. Phys., **23**, 1781, 1954.
8. R. Piontelli and G. Sternheim, J. Chem. Phys., **23**, 1358, 1955.
9. M. Paschke and H. Hartmann, Archiv Eisenhüttenw., **9**, 305, 1935.
10. И. С. Куликов и А. А. Жуховицкий, Производство и обработка стали, Сб. трудов Московского ин-та стали, 1954.
11. О. А. Есин, Ж. физ. химии, **14**, 731, 1940.

## CATHODIC POLARIZATION IN TITANIUM CONTAINING SLAGS

V. I. Musikhin and O. A. Esin

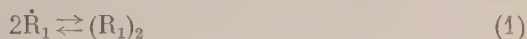
## Summary

The polarization accompanying the complete and partial reduction of titanium ions in melts of the oxides CaO—MgO—Al<sub>2</sub>O<sub>3</sub>—B<sub>2</sub>O<sub>3</sub>—TiO<sub>2</sub> on Cu, Ti, Fe, P, Ti and W cathodes has been measured at 1375—1400°C by the commutator method. The curves obtained are well described by concentration polarization equations, bearing evidence of the diffusion character of the process.

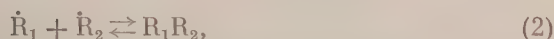
# О ПРИРОДЕ ОТРИЦАТЕЛЬНОГО ТЕМПЕРАТУРНОГО КОЭФФИЦИЕНТА СКОРОСТИ РЕКОМБИНАЦИИ РАДИКАЛОВ

*А. Д. Степухович*

Бимолекулярные, гомогенные реакции квадратичной рекомбинации свободных радикалов:

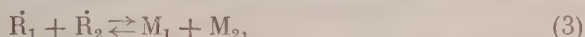


или



являются весьма распространенными в схемах превращений органических веществ по цепному механизму. Эти реакции термодинамически сопряжены с реакциями диссоциации соответствующих соединений  $(R_1)_2$  или  $R_1R_2$ . При помощи реакции рекомбинации обычно заканчиваются цепи в объеме, так как они сопровождаются исчезновением двух свободных валентностей.

Реакции (1) и (2) часто происходят как реакции диспропорционирования



в результате которых образуются предельная и непредельная молекулы углеводородов. Реакции, обратные (1), (2) и (3), могут, очевидно, служить источником получения радикалов.

При изучении кинетики бимолекулярной реакции рекомбинации  $CH_3$ -радикалов в широком интервале температуры (300—1100° K) было найдено отрицательное значение энергии активации [1]  $E_{\text{рек}} = -2,2 \pm 0,5$  ккал/моль. Это означает, что с возрастанием температуры скорость рекомбинации  $CH_3$ -радикалов уменьшается по закону  $e^{\frac{2700}{RT}}$ , т. е. при увеличении температуры, например, от 300 до 1000° K скорость уменьшается приблизительно в 25 раз.

Статистическое толкование энергии активации как разности между средней энергией активированных и нормальных молекул чисто формально допускает отрицательное значение этой величины. Тем не менее физически трудно представить, чтобы активированные молекулы обладали средней энергией, меньшей чем нормальные, так как процесс активации, согласно обычным представлениям, всегда связан с увеличением энергии частиц по сравнению с их нормальным состоянием.

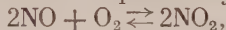
Отрицательное значение энергии активации физически означает, что для успешного прохождения реакции энергия должна не подводиться к реагирующим частицам, а отводиться от них. Действительно, в случае рекомбинации атомов H или каких-либо других (Br и др.)



известно, что реакция происходит как тримолекулярная, с участием какой-либо третьей частицы, забирающей избыточную кинетическую энергию молекулы в момент ее образования и тем самым позволяющей ей стабилизироваться в потенциальной яме [2]. Таким образом, в случае тримолекулярных реакций отрицательная энергия активации приобретает простой физический смысл — отводимой избыточной энергии в форме кинетической (или излучения), мешающей стабилизироваться молекулам продукта реакции.



В истории химии впервые отрицательный температурный коэффициент скорости был обнаружен именно в тримолекулярной реакции [3]



играющей важную роль в камерном процессе получения серной кислоты, в которой избыточную энергию в форме кинетической забирает одна разлетающихся молекул двуокиси.

Но отрицательное значение энергии активации в бимолекулярной реакции комбинации  $\text{CH}_3$  или других более сложных радикалов не имеет смысла, так как «емкость» сложных частиц в отношении распределения избыточной энергии обычно довольно велика, и при столкновении они должны сваливаться в потенциальную яму без участия третьей частицы, т. е. образуют одну молекулу чисто бимолекулярным путем и притом без отдачи энергии излучением. Энергия активации в таких реакциях должна быть положительной и близкой к нулю или просто равной нулю.

Как же объяснить наблюдаемое отрицательное значение энергии активации в таких случаях?

Можно дать простое и общее объяснение отрицательному температурному коэффициенту скорости реакции рекомбинации радикалов, предположив, что он выражает уменьшение стерического фактора бимолекулярной реакции с увеличением температуры [4], а энергия активации процесса рекомбинации равна нулю (или очень малая, но положительная величина).

Действительно, согласно полученному ранее закону изменения стерического фактора ( $s$ ) бимолекулярной реакции с изменением температуры имеем для  $\text{CH}_3$ -радикалов [4]

$$\frac{s_{T_2}}{s_{T_1}} = \left(\frac{T_1}{T_2}\right)^{3.5} \quad (6)$$

Увеличение температуры от 300 до 1000° К должно сопровождаться согласно (6), уменьшением стерического фактора бимолекулярной реакции рекомбинации  $\text{CH}_3$  приблизительно в 60 раз, что соответствует отрицательной энергии активации рекомбинации  $E_{\text{рек}} = -3,6 \text{ ккал}$ . Это меньше чем на 1 ккал отличается от найденной экспериментально и лежит на границе ошибок опыта в этой области измерений.

Обратимся теперь к экспериментальным данным [1] с тем, чтобы выяснить, насколько формула (6) хорошо передает их.

Согласно формуле для константы скорости бимолекулярной реакции

$$k = sz e^{-E/RT}, \quad (7)$$

отношение констант при различной температуре равно

$$\frac{k_1}{k_2} = \frac{s_1 z_1 e^{-E/RT}}{s_2 z_2 e^{-E/RT_2}} \quad (8)$$

При условии, что энергия активации рекомбинаций радикалов равна нулю, получаем

$$\frac{k_1}{k_2} = \frac{s_1 z_1}{s_2 z_2} \quad (9)$$

Принимая во внимание, что  $z \sim \sqrt{T}$ , имеем

$$\frac{k_1 T_1^{-1/2}}{k_2 T_2^{-1/2}} = \frac{s_1}{s_2} \quad (10)$$

Таким образом отношение значений  $kT^{-1/2}$ , экспериментально определяемой авторами [1], при двух различных температурах равно отношению стерических факторов реакции, в то время как в трактовке авторов это отношение равно отношению экспонент.

В таблице сопоставлены значения  $s_{T_1}/s_{T_2}$ , вычисленные по формуле (6) и по экспериментальным данным [1], а также по отношению экспонент при значениях нижней и верхней границ экспериментально найденной энергии активации ( $E_{\text{рек}} = -1700 \text{ ккал/моль}$ ;  $E_{\text{рек}} = -2700 \text{ ккал/моль}$ ).

Как видно, расчет по формуле (6) приводит к согласию с экспериментальными данными не худшему, чем вычисления по закону  $e^{E/RT}$ .

Причины отношений стерических факторов реакции рекомбинации метил-радикалов, вычисленные по экспериментальным данным [1] и формуле (6)

°K	$s_{\text{оп}} = kT^{-1/2}$ [1]	Интервал температуры	$\left[\frac{s_{T_1}}{s_{T_2}}\right]_{\text{оп}}$	$\left(\frac{T_2}{T_1}\right)^{3,5}$ (6)	$\frac{e^{1700/RT_1}}{e^{1700/RT_2}}$	$\frac{e^{2700/RT_1}}{e^{2700/RT_2}}$
434	0,655	434—466	1,21	1,28	1,14	1,24
466	0,540	466—502	1,04	1,28	1,14	1,23
502	0,520	502—551	1,25	1,38	1,16	1,27
551	0,414	551—617	1,20	1,48	1,18	1,30
617	0,344	617—713	1,42	1,69	1,21	1,35
713	0,242	—	—	—	—	—
1008	0,176	1008—1087	1,22	1,29	1,06	1,10
1087	0,144	—	—	—	—	—

Интересно, что расчет по формуле (6) повсюду дает величины отношения  $s_{T_1}/s_{T_2}$ , незначительно превышающие находимые из опыта. Для полного согласия с опытом достаточно допустить, что реакция рекомбинации радикалов имеет энергию активации порядка 0,5—1 ккал/моль.

Итак, причиной находимого отрицательного температурного коэффициента скорости бимолекулярных реакций рекомбинации радикалов (да других бимолекулярных реакций с нулевой или очень маленькой энергией активации) является уменьшение стерического фактора реакции с увеличением температуры, т. е. увеличение пространственных затруднений реакции. Физически это понятно, так как активированный комплекс в бимолекулярных реакциях является более упорядоченной конфигурацией. Образование его связано с отрицательной энтропией активации. Повышение температуры затрудняет образование этой конфигурации.

### Выводы

1. Показано, что отрицательный температурный коэффициент скорости рекомбинации радикалов на самом деле обусловлен уменьшением стерического фактора реакции с увеличением температуры. Это связано с отрицательной энтропией активации активированного комплекса в бимолекулярных реакциях, т. е. с более упорядоченной конфигурацией, осуществление которой с повышением температуры затрудняется.

2. Отрицательная энергия активации в бимолекулярных реакциях не имеет смысла, а расчет показывает, что реакция рекомбинации радикалов, по-видимому, имеет маленькую положительную энергию активации.

Саратовский государственный университет  
им. Н. Г. Чернышевского

Поступила  
21. V. 1957

### ЛИТЕРАТУРА

1. K. U. Ingold, F. P. Lossing, J. Chem. phys., 21, 368, 1953.
2. И. Кассель, Кинетика гомогенных газовых реакций, ОНТИ, Ленинград, 1937.
3. M. Bodenstein, Z. phys. Chem., 100, 82, 1924.
4. А. Д. Степухович, Успехи химии, 26, 263, 1956; Докл. АН СССР, 107, 436, 1956.

### ON THE NATURE OF THE NEGATIVE TEMPERATURE COEFFICIENT OF THE RATE OF RADICAL RECOMBINATION

A. D. Stepukhovich

#### Summary

It has been shown that the negative temperature coefficient of the rate of recombination of radicals is due to a lowering of the steric factor (5) of the reaction with rising temperature rather than the necessity of energy removal from the reaction. Calculations according to the relation  $s \sim T^{-3.5}$  agree satisfactorily with the experimental data.

The recombination reaction evidently possesses a very small positive value for the activation energy.

## РАДИАЦИОННОЕ ОКИСЛЕНИЕ АЗОТА

## III. НЕКОТОРЫЕ ВОПРОСЫ МЕХАНИЗМА РЕАКЦИИ И СОПОСТАВЛЕНИЕ С ДАННЫМИ ПО ЭЛЕКТРОРАЗРЯДУ

М. Т. Дмитриев

В статьях [1, 2] были изложены результаты исследования реакции окисления азота, вызываемой электронным ударом. В статье [3] были приведены результаты изучения кинетики этой реакции, вызываемой быстрыми электронами при атмосферном давлении. Для получения дополнительных данных о механизме радиационной реакции мы провели некоторые измерения в электрических разрядах. Сопоставление с данными, полученными при действии ионизирующих излучений, дает некоторые сведения также о механизме этого процесса в разрядах. В то же время следует иметь в виду особенности, присущие разряду, — местное повышение температуры, наличие электрического поля, каталитическое действие электродов, активированных разрядом.

Прежде всего надлежало выяснить, соответствует ли кинетика реакции в разряде кинетике радиационной реакции. Второй задачей работы являлось выяснение роли ионов в этой реакции в условиях разряда.

Измерения проводились в высокочастотном и других видах разряда. Энергия разряда определялась в калориметре. Окислы азота анализировались спектрофотометрически.

На рис. 1 приведена зависимость выхода  $\text{NO}_2$  от длительности разряда, полученная в статической системе. Процесс характеризуется установлением стационарного состояния. Такой же ход имеют зависимости выхода  $\text{NO}_2$  от времени пребывания газа в зоне разряда, полученные в проточной системе.

На рис. 2 приведена зависимость выхода  $\text{NO}_2$  от состава газовой смеси. Максимальные количества  $\text{NO}_2$  образуются в смеси состава 1 : 1. Эти данные, а также зависимости выхода  $\text{NO}_2$  от давления, измеренная при давлении до 1 мм рт. ст. в тихом, тлеющем, дуговом и высокочастотном разрядах, соответствуют уравнению второго порядка:

$$v = kP_{\text{N}_2} \cdot P_{\text{O}_2},$$

где  $v$  — скорость реакции,  $P_{\text{N}_2}$  и  $P_{\text{O}_2}$  — парциальные давления азота и кислорода,  $k$  — константа скорости реакции.

В табл. 1 приведены некоторые данные, указывающие на выполнение уравнения второго порядка в высокочастотном разряде.

Выполнимость уравнения второго порядка была нами установлена также при облучении азот-кислородных смесей при атмосферном давлении электронами с энергией 200 кэв [3], при давлении до 0,1 мм рт. ст. электронами с энергией 40 эВ [4] и в различных электрических разрядах при давлениях до 1 атм [5].

На выполняемость уравнения второго порядка в электрическом разряде было указано также Т. В. Заболоцким [6]. Таким образом, порядок реакции в электроразрядах такой же, как и при электронном ударе. Поскольку кинетика реакции однозначно связана с ее механизмом, можно



Таблица 1

Константа скорости второго порядка реакции окисления азота  
в высокочастотном разряде

Длительность разряда, мин.	Количество $\text{NO}_2$ , объемн. %	$k$ , $\text{см}^3/\text{мол} \cdot \text{сек} \cdot 10^{23}$	Молярная доля кисло- рода	$v$ , $\text{мол} \cdot \text{сек}^{-1} \cdot \text{см}^{-3} \cdot 10^{-18}$	$k$ , $\text{см}^3/\text{мол} \cdot \text{сек} \cdot 10^{23}$
1	0,45	1,62	0,1	0,93	1,64
2	0,85	1,67	0,2	1,71	1,68
3	1,25	1,65	0,3	2,16	1,62
4	1,60	1,60	0,4	2,48	1,62
5	2,00	1,62	0,5	2,61	1,65
6	2,40	1,63	0,5	2,63	1,66
7	2,65	1,56	0,6	2,56	1,68
8	3,10	1,63	0,7	2,18	1,64
9	3,45	1,61	0,8	1,67	1,65
10	3,80	1,61	0,9	0,91	1,59

полагать, что механизм реакции в электроразрядах не должен существенно отличаться от механизма этой реакции под электронным ударом (или не касаться дополнительного эффекта, связанного с высокой температурой газа в некоторых типах разряда).

Расчет для константы скорости обратной реакции, аналогичный приведенному в табл. 1, указывает на то, что реакция разложения  $\text{NO}_2$  также следует второму порядку. Молярная концентрация  $\text{NO}_2$  в высокочастотном разряде и при облучении быстрыми электронами в смеси 20%  $\text{O}_2$  + 80%  $\text{N}_2$  при температуре 0—30° составляет 5,5—%, т. е. значительно выше

равновесного значения термической реакции. Примерная оценка показывает, что эффективная константа скорости разложения  $\text{NO}_2$  примерно 50 раз больше константы скорости ее образования.

Зависимость выхода  $\text{NO}_2$  от силы разрядного тока была исследована при давлениях до 1 мм рт. ст. и 1 атм в высокочастотном и других разрядах. В изученном интервале (при мощности до 15 вт в условиях, когда обратной реакцией можно пренебречь) скорость реакции прямо пропорциональна силе тока. Пропорциональность скорости реакции интенсивности облучения была нами установлена также при облучении электронами и рентгеновскими лучами.

Измерения с раздельной активацией в разряде азота и кислорода были выполнены при атмосферном давлении. Было установлено, что при пропускании через разряд только азота реакция может быть осуществлена с тем же выходом, как при пропускании через разряд смеси обоих газов. Продолжительность жизни активного состояния азота оценена равной  $\sim 10^{-4}$  сек. Эта величина характеризует такие процессы, как рекомбинация атомов и нейтрализация ионов. Продолжительность жизни большин-

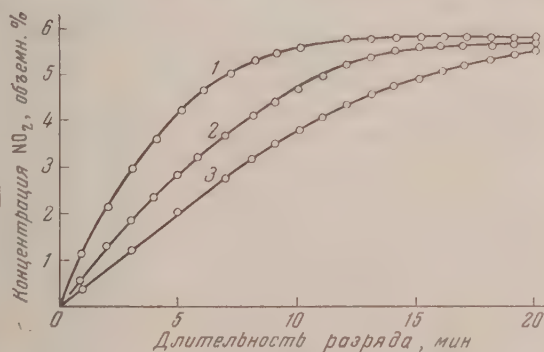


Рис. 1. Зависимость выхода двуокиси азота от длительности разряда. Смесь состава 20%  $\text{O}_2$  + 80%  $\text{N}_2$  при давлении 1 атм; сила тока: 1—33,5, 2—22 и 3—10,5 мА



ства возбужденных (не метастабильных) состояний молекулы азота значительно меньше ( $10^{-7} \div 10^{-8}$  сек.). При пропускании через разряд токо кислорода образуется в основном  $N_2O$  (в 5—8 раз меньшем количестве  $NO_2$  при пропускании смесей газов).

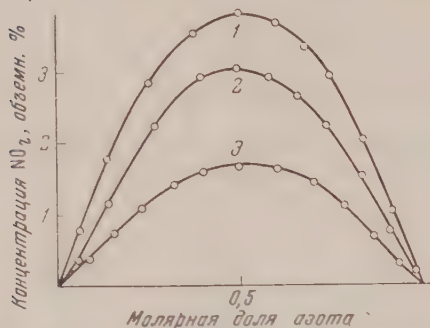


Рис. 2. Зависимость выхода двуокиси азота от состава смеси. Давление 1 атм; сила тока 10,5 мА. Длительность разряда: 1 — 7,5, 2 — 5 и 3 — 2,5 мин.

Уменьшение выхода  $NO_2$  при снятии 1 положительного иона составило 0,45 мол., а при снятии одного отрицательного заряда выход увеличился на 0,2 мол. Первая из величин соответствует выходу приблизительно 1,3 мол  $NO_2$  на 100 еВ. В то же время выход реакции на поглощенную энергию разряда составлял 1,7 молекул на 100 еВ. Соответственно этих величин показывает, что образование  $NO_2$  идет в основном за счет положительных ионов. Отметим, что эти цифры близки к выходу 1,3—2 мол на 100 еВ при действии быстрых электронов.

Зависимость выхода  $NO_2$  от частоты электрического разряда исследовалась при давлениях до 1 мм рт. ст. и 1 атм. Было установлено, что с ростом частоты (в интервале 0—500 кГц) выход реакции растет и достигает максимального выхода, характеризующего радиационную реакцию окисления азота. Выход радиационной реакции, полученный при облучении электронами, равен 6 мол  $NO_2$  на 100 еВ поглощенной энергии при низких давлениях (до 1 мм рт. ст.) и 2 мол. на 100 еВ при атмосферном давлении при температуре 20—40° [7]. Максимальная величина выхода в 6 мол  $NO_2$  на 100 еВ может быть получена также при давлениях 20—150 атм [1; 8].

На большую эффективность высокочастотного разряда в некоторых условиях по сравнению с разрядом низкой частоты было указано Н. П. Кобозевым, С. С. Васильевым и Е. Н. Ереминым [9], а также Т. В. Заболотным [6] и другими авторами. Этот же эффект проявляется в так называемом перекрестном разряде [10].

Эффект частоты, как нам кажется, связан с ролью процессов ионизации и рекомбинации противоположно заряженных ионов в реакции радиационного окисления азота. Тепловой эффект одного из таких процессов:

Были проведены измерения статической системе в высокочастотном разряде при атмосферном давлении, в которых производилось снятие заряженных частиц зонд. Было найдено, что в случае, когда на зонд собираются положительные ионы, выход  $NO_2$  уменьшается (по сравнению с реакцией без снятия ионов). В случае, когда на зонд собираются электроны или отрицательные ионы, в результате чего уменьшается нейтрализация положительных ионов в объеме, выход  $NO_2$  увеличивается. На рис. 3 приведены результаты этих измерений.

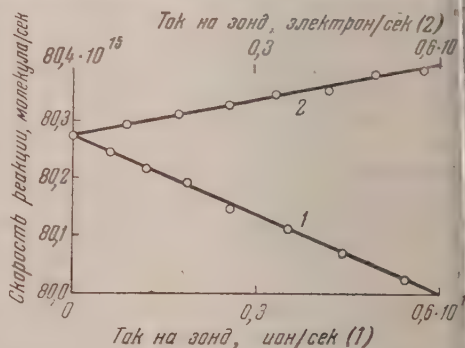


Рис. 3. Зависимость скорости реакции от тока на заряженных частиц на зонд. Смесь состава 10%  $O_2 + 90\%$   $N_2$  при давлении 1 атм. Длительность разряда 10 мин.

$N_2 + O_2 \rightarrow NO^+ + NO$  составляет 5,4 eV. По-видимому, дополнительный ток кинетической энергии реагирующих частиц не может способствовать протеканию этого процесса. Так, нами было установлено, что скорость ионов азота до 10—20 V резко снижает скорость реакции окисления электронным ударом \*. На это указывают также данные Поттера [11], который не обнаружил реакции между ионами  $N_2^+$  и молекулами  $O_2$  в масс-спектрометре при энергии ионов выше 9 эв.

В результате соударений с молекулами газа средняя кинетическая энергия ионов с ростом частоты при прочих равных условиях уменьшается, что облегчает непосредственное участие в реакции ионов азота. В то же время с ростом частоты электрического поля затрудняются такие процессы дезактивации, как рекомбинация ионов и обмен зарядами.

Следует отметить, что повышение частоты заряда не влияет заметным образом на обратную реакцию разложения оксидов азота. Это связано с тем, что в реакциях распада  $N_2O$ ,  $NO$  и  $NO_2$  основную роль играют процессы возбуждения молекул [12].

Были также произведены измерения, в которых исследовалось действие дополнительного электрического поля на реакцию окисления азота в высокочастотном разряде. Было установлено, что собирание, задержка или притягивание ионов из струи газа, прошедшей через разряд, несколько уменьшает выход реакции. Лишь в случае, когда ионы проскакивают электрическое поле, не нейтрализуясь, при больших скоростях пропускания, выход реакции остается прежним. Для подвижности ионов азота в этих экспериментах оценка дает  $1,45 \text{ см}^2/\text{Всек}$  (с точностью в 20%).

Примерно тот же количественный эффект дает замена электрического поля пучком металлической проволоки (вольфрам, молибден, медь). Данные, полученные нами, не подтверждают наблюдений Варни [13], который не обнаружил никакой дезактивации активированного в разряде азота в электрическом поле или на металлических сетках.

Следует подчеркнуть, что никаким подбором электрических полей для дезактивирующих поверхностей не удалось снизить выход реакции более чем на 20—30% даже в том случае, когда в разряде активировался только азот. Это, по-видимому, связано со значительной диссоциацией ионов  $N_2^+$  по мере выхода их из разрядной зоны, в то время как нейтрализация атомарных ионов уже не может оказать влияния на реакцию. На это указывают также наблюдения Джексона и Шиффа [14], обнаруживших в масс-спектре азота, пропущенного через разряд, резкое увеличение концентрации атомов азота (масса 14, потенциал появления 14,72 V). В этих же условиях возбужденных молекул азота обнаружено не было.

Таким образом, основными процессами при окислении азота в электрических разрядах, как и при электронном ударе, а также при действии других видов ионизирующей радиации, являются реакции атомов и ионов азота. В принципе некоторую роль в процессе окисления азота могут играть и возбужденные частицы, особенно метастабильные состояния возбужденной молекулы азота, продолжительность жизни которых намного больше, чем  $10^{-8} \div 10^{-7}$  сек. Так, по недавним измерениям Лихтена [15], продолжительность жизни метастабильного состояния молекулы азота  $^{13}\Sigma_u^+$  (образование при энергии электронов 7 eV) составляет  $\sim 10^{-2}$  сек., метастабильного состояния  $^4\Pi_g$  (образование при 8,6 eV) примерно  $1,7 \cdot 10^{-4}$  сек.

Однако эти состояния молекулы азота, по-видимому, верреакционно-способны. Так, нами была исследована реакция окисления азота под дей-

\* Энергия активации реакции иона азота  $N_2^+$  с молекулой кислорода равна лишь 0,32 eV. В интервале энергии ионов 1—30 eV зависимость скорости реакции от энергии ионов имеет вид:  $v = aE^{-0,4}$ , где  $E$  — энергия ионов,  $a$  — постоянная.

ствием электронного удара при давлении  $10^{-1}$  мм рт. ст. При этом давление между столкновениями молекулы азота с молекулой кислорода порядка  $1,2 \cdot 10^{-6}$  сек. Следовательно, вероятность столкновения возбужденной молекулы азота с молекулой кислорода в  $8,5 \cdot 10^3$  (для состояния  $A^3\Sigma_u^-$ ) и в  $1,4 \cdot 10^3$  (для состояния  $a^1\Pi_g$ ) больше вероятности самопроизвольного высвечивания возбужденной молекулы азота. Таким образом, если бы эти метастабильные состояния молекулы азота были бы реакционноспособны, то при энергии электронов 7—9 эВ могло бы быть отмечено начало реакции окисления азота. Однако, как нами было установлено, реакция при давлении 0,1 мм рт. ст. начинает заметно протекать лишь при энергии электронов, равной 16,2 эВ, что соответствует потенциалу ионизации молекулы азота. Таким образом, реакция начинается с образования положительных ионов азота  $N_2^+$ , которые могут или непосредственно вступить в реакцию [2] или, при рекомбинации с отрицательными молекулярными ионами кислорода, распасться на атомы. Диссоциация молекулярного иона на атом и атомарный ион может произойти и без рекомбинации противоположно заряженных ионов. В дальнейшем атомы и атомные ионы при взаимодействии с молекулярным кислородом также приводят к образованию окислов азота.

На слабую реакционную способность возбужденных молекул азота указывает также вид полученных нами зависимостей скорости реакции окисления азота под действием электронного удара и  $\gamma$ -излучения от давления газа в пределах от  $10^{-7}$  мм рт. ст. до 1 атм. Во всех случаях были получены плавные кривые, подчиняющиеся уравнению  $v = bP^n$ , где  $b$  — постоянная,  $n = 0,5 \div 2$ ; кривые не имели никаких резких подъемов, которые должны были бы быть, если бы возбужденные молекулы вступали в реакцию, поскольку продолжительность жизни возбужденных состояний ограничена всегда имеющейся вероятностью спонтанного испускания кванта.

Все сказанное относительно слабой реакционной способности возбужденных молекул азота естественно не относится к другим возбужденным частицам. Так, образование возбужденных ионов и атомов в процессах диссоциативной ионизации азота приводит к увеличению скорости реакции окисления азота. Как установил В. Н. Кондратьев [16], при энергии электронов около 32 эВ диссоциация молекулы сопровождается образованием возбужденных атомов азота. По данным Фроста и Мак-Дауэлла [17], при электронном ударе образование возбужденных атомов происходит при 26,66 эВ (состояние  $^3D$ ) и при 27,93 эВ (состояние  $^2P^0$ ). Все эти данные соответствуют наблюдавшемуся нами резкому увеличению эффективности реакции окисления азота после диссоциации ионов при энергии электронов более 24 эВ. Более точное значение критической энергии электронов при которой происходит диссоциативная ионизация с образованием возбужденных продуктов:  $N_2(^1\Sigma_g^+) \rightarrow N^+(^3P) + N(^4S^0)$ , равно 24,3 эВ [17, 18]. По данным Гутбира [19], для реакции иона азота  $N_2^+$  с молекулой водорода эффективное сечение процесса обратно пропорционально относительно скорости сталкивающихся частиц, т. е. так же быстро убывает с увеличением энергии иона, как и для реакции молекулярного иона азота с молекулой кислорода. Между реакциями молекулярного иона азота с молекулой кислорода и с молекулой водорода имеется очень много общего [12].

Выражаю благодарность проф. С. Я. Пшежецкому за обсуждение работы и ценные советы.

### Выводы

1. Кинетика реакции окисления азота в электрических разрядах, как и при действии электронного удара, описывается уравнением второго порядка.



2. Первичными элементарными процессами, приводящими к окислению азота в электрических разрядах и при электронном ударе, являются ионизация и диссоциация молекулярного азота. Продолжительность жизни живного состояния азота оценена равной  $\sim 10^{-4}$  сек. Не установлено значимого влияния на реакцию процессов ионизации кислорода.

Физико-химический институт  
им. Л. Я. Карпова

Поступила  
23. V. 1957

#### ЛИТЕРАТУРА

1. М. Т. Дмитриев и С. Я. Пшежецкий, Тр. I Всесоюзного совещания по радиационной химии, Изд-во АН СССР, М., стр. 26, 1958.
2. М. Т. Дмитриев и С. Я. Пшежецкий, Действие ионизирующих излучений на органические и неорганические системы, Изд-во АН СССР, М., стр. 145, 1958.
3. М. Т. Дмитриев и С. Я. Пшежецкий, там же, стр. 171.
4. С. Я. Пшежецкий и М. Т. Дмитриев, ДАН СССР, **103**, 647, 1955.
5. М. Т. Дмитриев и С. Я. Пшежецкий, Тезисы докладов I Всесоюзного совещания по радиационной химии, Изд-во АН СССР, М., стр. 5, 1957.
6. Т. В. Заболоцкий, Хим. наука и пром., **1**, № 6, 680, 1956.
7. С. Я. Пшежецкий и М. Т. Дмитриев, Атомная энергия, **3**, 350, 1957.
8. Р. Harteck, S. Dondes, Nucleonics, **14**, № 7, 22, 1956.
9. Н. И. Кобозев, С. С. Васильев, Е. П. Еремин, Ж. физ. химии, **10**, 543, 1937.
10. W. I. Cotton, Electrochem. Soc., **91**—34—A—H, 1947.
11. R. F. Potter, J. Chem. Phys., **22**, 974, 1954.
12. С. Я. Пшежецкий и М. Т. Дмитриев, Успехи химии, **26**, 725, 1957.
13. R. N. Varney, J. Chem. Phys., **23**, 866, 1955.
14. D. S. Jackson, H. I. Schiff, J. Chem. Phys., **23**, 2333, 1955.
15. W. Lichten, J. Chem. Phys., **26**, № 2, 306, 1957.
16. V. Kondratjew, Ztschr. Phys., **38**, 346, 1926.
17. D. C. Frost, C. A. McDowell, Proc. Roy. Soc., **236A**, 278, 1956.
18. H. D. Hagstrum, Rev. Mod. Phys., **23**, 185, 1951.
19. H. Gutbier, Z. Naturforsch., **12A**, 499, 1957.

### THE RADIATION OXIDATION OF NITROGEN

#### III. SOME QUESTIONS CONCERNING THE MECHANISM OF THE REACTION AND A COMPARISON WITH ELECTRICAL DISCHARGE DATA

*M. T. Dmitriev*

#### Summary

Measurements in the electrical discharge and under electronic impact have been carried out with the purpose of obtaining new data on the mechanism of the radiation oxidation of nitrogen. It has been found that the kinetics of the radiation oxidation of nitrogen are described by a second order equation. The primary elementary acts leading to the oxidation of nitrogen are the ionization of the latter and the subsequent dissociation of the molecular ion. No significant effect of oxygen ionization on the reaction has been observed.



# СОВРЕМЕННОЕ СОСТОЯНИЕ ИССЛЕДОВАНИЯ ДИАГРАММЫ СИСТЕМЫ БОР—УГЛЕРОД

Г. В. Самсонов

Впервые соединение бора с углеродом было получено Муассаном сплавлением в дуговой электродной печи шихты из борного ангидрида с сахарным коксом [1].

В дальнейшем карбиды бора, которым приписывались составы  $B_3C$ ,  $B_2C_2$ ,  $B_3C$ ,  $B_4C$ ,  $B_6C$ , получались в работах Мюльгаузера [2], Подсуса [3] и других, однако эти исследования не могли дать сколько-нибудь достоверных сведений о реальном фазовом составе карбидов, так как основывались на результатах валового химического анализа.



- $C_I-1b$
- $C_{II}-2c$
- $B_I-h_1$
- ⊗  $B_{II}-h_2$

Рис. 1. Структура карбида бора (по Жданову и Севастьянову)

Химическое соединение  $B_4C$ , плавящееся с разложением и образующееся при  $2250^\circ$  при перитектической реакции:  $B + ж. \text{фаза, богатая углеродом} \rightarrow B_4C$ . Карбид образует эвтектику с углеродом, содержащую 30,2% C и плавящуюся при  $2150^\circ$ . При исследовании обнаружена способность карбида бора растворять углерод и сделано предположение, что это соединение является фазой переменного состава.

Обнаружение перитектического распада  $B_4C$  при плавлении позволило объяснить механизм образования крупных монокристаллов карбида бора в печах сопротивления [7], а также проанализировать неудовлетворительные результаты производства карбида бора плавкой в дуговых печах [8].

Г. С. Жданов и Н. Г. Севастьянов [9], а также Клэрк и Хэрд [10] исследовали структуру карбида бора  $B_4C$ , установив, что он имеет ромбоэдрическую кристаллическую решетку с периодами  $a = 5,60$  и  $c = 12,1$  Å.

Г. С. Жданов, Н. Н. Журавлев и Л. С. Зевин [11] высказали предположение, что для веществ с ковалентными связями возможно образование твердых растворов замещения при условии сохранения направленности связей. В частности, для карбида бора возможно замещение части атомов углерода в положениях «1b» (рис. 1) атомами бора, которые, обладая  $sp$ -электронами, могут образовывать линейную валентную конфигурацию подобно атомам углерода. Детальное исследование этого вопроса [12] показало, что такое замещение углерода в  $B_{12}C_3$  ( $= B_4C$ ) с образованием  $B_{13}C_2$  ( $= B_{6,5}C$ ) действительно имеет место. При этом удалось уточнить периоды решетки  $B_4C$  ( $a = 5,498 \pm 0,002$  Å,  $c = 12,12 \pm 0,02$  Å), а также установить структуру и некоторые физико-химические свойства карбида  $B_{13}C_2$ . Этот карбид образуется диффузионным путем — замещением атомов углерода в  $B_{12}C_3$  атомами бора, склонен к распаду на бор и  $B_4C$ :



а также более тверд и устойчив по отношению к действию химических реагентов, чем  $B_4C$ .

Последнее показано, в частности, работой Давиля и Флюске [13], наблюдавшими различное поведение разных кристаллитов на шлифах карбида бора по отношению к растворителям, например к расплавленной калийной селитре, появление «рифления» на одних кристаллах и сохранение гладкой поверхности шлифа на других. В работе [14] Давиль вновь отмечает, что при отжиге горячепрессованного карбида бора в области 2000° происходит его превращение в другую кристаллическую модификацию, а при нагреве при 2000° выпадают включения в форме вытянутых зерен, похожих на обычные выделения графита.

Глазер, Москович и Пост [15] провели рентгенографическое исследование, а также измерение удельных весов и электросопротивления сплавов в системе В—С в пределах от 4 до 60 ат. % С. Ими показано, что период решетки и удельный вес сплавов непрерывно увеличиваются, а электросопротивление снижается в пределах от 4 до 2 ат. % С, что позволило им сделать вывод о наличии широкой области гомогенности соединения  $B_4C$ .

Аллен [16] исследовал периоды решетки и удельные веса сплавов, описываемых эмпирическими формулами  $B_4C$ ,  $B_{5,66}C$  и  $B_7C$ , установив возможность образования твердых растворов вычитания и замещения на основе карбида бора.

В связи с разнозначностью данных о свойствах сплавов бора с углеродом нами совместно с Н. Н. Журавлевым и И. Г. Амнуэль была проведена дальнейшая работа [17] по исследованию системы, для чего горячим прессованием смесей порошков 99,5%-ного бора и 99,8 %-ной сажи готовились образцы, содержащие от 5,11 до 72,5 % С, и измерялись их удельные веса, микротвердость и электросопротивление в сочетании с рентгенографическим исследованием. По результатам рентгеноанализа следует (рис. 2), что уже сплав, содержащий 5,11 вес. % С, имеет решетку, отличную от решетки бора. Структура основной фазы этого сплава может быть описана как структура карбида бора ( $B_{12}C_3$  или  $B_{13}C_2$ ).

В образце, содержащем 5,11 % С, наряду с линиями решетки карбида бора, обнаруживаются линии бора, что в совокупности с результатами металлографического исследования позволяет предположить наличие, кроме карбида бора, также твердого раствора углерода в боре. До 22,83 вес. % С сплавы содержат только линии  $B_4C$ . При содержании 24,07 вес. % С рентгенографическая картина меняется, однако характерный дублет карбида бора не исчезает.

Дальнейшее увеличение содержания углерода вызывает резкое изменение структуры сплавов; наряду с линиями свободного графита появляется большое число новых линий, наиболее отчетливо видных на рентгенограмме сплава, содержащего 72,5 % С.

Из полученных в работе данных следует, что удельный вес сплавов возрастает до содержания углерода 20 %, после чего начинает снижаться, что хорошо совпадает с данными Глазера [15].

Микротвердость сплавов, измеренная на приборе ПМТ-3 с нагрузкой в 40 г, также возрастает в зависимости от содержания углерода с 5,11 до 17,47 %, после чего резко понижается. Микротвердость основной фазы в сплаве, содержащем 42,50 % С, приблизительно равна микротвердости карбида бора, содержащего 17,47 % С.

Характер изменения электросопротивления с увеличением содержания углерода в сплавах позволяет предположить следующую картину. Электросопротивление бора составляет  $7,75 \cdot 10^5 \Omega \text{ см}$  [18], что объясняется, по-видимому, полной компенсацией связей атомов в кристалле бора. При добавлении к бору небольших количеств углерода происходит перестройка решетки бора в решетку карбида бора, однако не все вакантные места углеродных атомов по оси  $C-C-C$  заполнены, т. е. происходит декомпенсация связей и появление проводимости.

При дальнейшем увеличении содержания углерода в сплавах с бором происходит заполнение вакантных мест линий  $C-C-C$  и установление ковалентных связей, присущих решетке карбида бора, что влечет снижение электропроводности. Наименьшее ее значение соответствует завершению процесса установления направленных связей в решетке  $B_4C$ .

Обобщая полученные в работе данные, можно сделать следующие предварительные выводы.

При добавлении углерода к бору в количестве порядка 2—3% образуется эвтектика бора или твердого раствора в нем углерода с карбидом  $B_{13}C_2$ , имеющим, как показывают результаты измерения микротвердости, удельного веса и электросопротивления, дефектную решетку, т. е. вакантные места на линии —C—B—C— карбида  $B_{13}C_2$ .

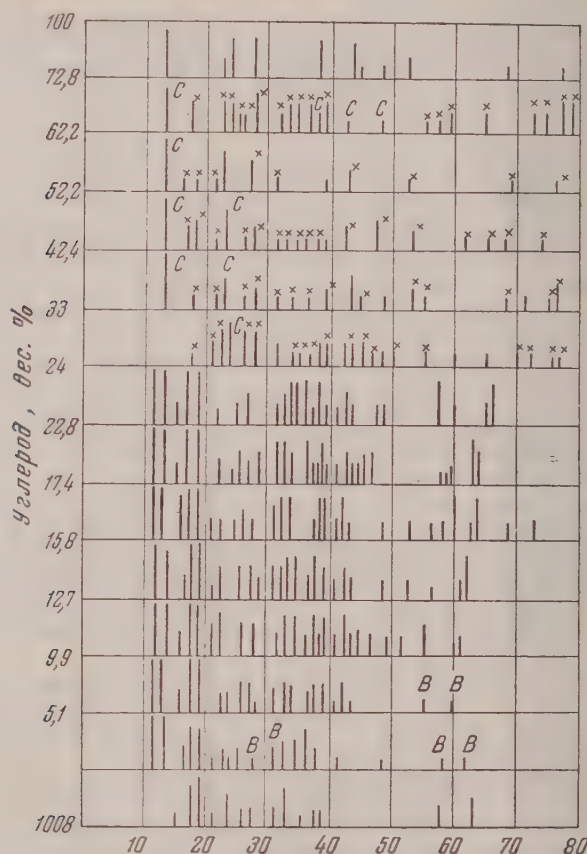


Рис. 2. Штрих-диаграмма сплавов В — С: С — линии углерода, В — линии бора, х — линии новой фазы  $C_nB_m$ . Остальные линии принадлежат структуре карбида бора  $B_4C$  (по Самсонову, Журавлеву и Амнуэлю)

При дальнейшем увеличении содержания углерода происходит постепенное заполнение этих вакантных мест вплоть до содержания бора, соответствующего карбиду  $B_{13}C_2$ .

Карбид бора  $B_{13}C_2$  способен образовывать твердые растворы замещения с углеродом, переходя при этом в карбид  $B_{12}C_3$  (т. е. вместо линии —C—B—C— появляется линия —C—C—C—). Последний образует эвтектику с карбидом  $B_nC_m$ , более богатым углеродом, чем  $B_4C$ , и имеющим предположительно формулу  $BC_2$ .

Этот богатый углеродистый карбид, по-видимому, является продуктом перитектической реакции  $B_nC_m \rightleftharpoons B_4C + C$ , идущей с выделением углерода.

На основе этих результатов была построена гипотетическая диаграмма системы бор — углерод в пределах от 60—70 вес. % С, удовлетворительно согласующаяся с данными ранее проведенных работ (рис. 3).



В работе В. А. Эпельбаума, М. А. Гуревича и Б. Ф. Ормонта [19] указывается на обнаружение ими кубической объемноцентрированной фазы (называемой ими  $\beta$ -фазой системы бор — углерод), которая, якобы, сосуществует с фазами  $B_{12}C_3$  —  $B_{13}C_2$  в этом протяжении исследованной ими области составов от 65 до 90 вес. % В. Такая «фаза» была обнаружена Н. Н. Журавлевым и нами в 1952—1953 гг., однако она оказалась тройным химическим соединением бора, углерода и кислорода типа силексидов в системе Si — C — O и не имеет никакого отношения к бинарной системе бор — углерод. Трудно сказать, что ввело этих исследователей в заблуждение, но обнаружение ими этой фазы «в промышленных образцах карбида бора производства Ташкентского карборундового завода» только подчеркивает загрязненность соответствующих аппаратов кислородом.

Интересно отметить, что такую же фазу, по-видимому, наблюдал Подсец [3], описывая «октаэдрические» кристаллы карбида бора еще в 1933 г.

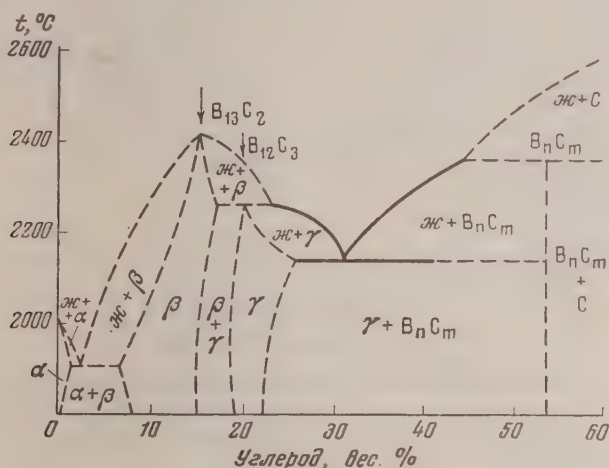


Рис. 3. Диаграмма системы бор — углерод (по Самсонову, Журавлеву и Амнуэлю)

В работе Н. Н. Журавлева подвергнуты рентгенографическому исследованию полученные нами образцы бора с углеродом, содержащие большие количества связанного углерода и имеющие в спеченном состоянии высокую плотность (2,57—2,80 г/см<sup>3</sup>, по сравнению с плотностью  $B_4C$  3,52 г/см<sup>3</sup>). Им подтверждено наличие в системе бор — углерод богатого углеродистого карбида бора, названного Н. Н. Журавлевым  $\gamma$ -фазой (по работе [17] фаза  $B_nC_m$ ) с плотностью  $3,62 \pm 0,05$  г/см<sup>3</sup>. Содержание углерода в образцах с наибольшим количеством  $\gamma$ -фазы составляет по этим данным 68—69 вес. %, вместо предполагавшихся 53—54% в работе [17].

Н. Н. Журавлев полагает, что переход от дефектной решетки, имеющей предельный состав  $B_{13}C_2$ , к фазе, имеющей предельный состав  $B_{12}C_3$ , непрерывен, т. е. что имеет место карбидная фаза с широкой областью гомогенности от 5 до 24 вес. % C. На основании данных предыдущих работ и своих наблюдений Н. Н. Журавлев предложил вид диаграммы системы бор — углерод; эта диаграмма рациональна в смысле более точного установления состава фазы богатого углеродистого карбида  $B_nC_m$ , однако игнорирует экспериментально установленный и многократно подтвержденный факт перитектического распада  $B_4C$  при плавлении.

Кроме того, вызывает сомнение непрерывность перехода от фазы  $B_{13}C_2$  к фазе  $B_{12}C_3$ , так как физические процессы при образовании этих двух фаз неодинаковы — фаза  $B_{13}C_2$  образуется замещением вакантных мест (дырок) атомами углерода, а фаза  $B_{12}C_3$  — замещением атомов бора атомами углерода.

В связи с данными исследования Н. Н. Журавлева, а также для унификации обозначений фаз в системе бор — углерод нами предлагается сле-



дующая диаграмма системы, показанная на рис. 4. На этой диаграмме  $\alpha$ -фаза — твердый раствор углерода в боре;  $\beta$ -фаза — ромбоэдрическая ф. предельного состава  $B_{13}C_2$  (с областью гомогенности от 5 до 16 вес. %  $C$ );  $\beta'$ -фаза — ромбоэдрическая фаза предельного состава  $B_{12}C_3$  (с областью

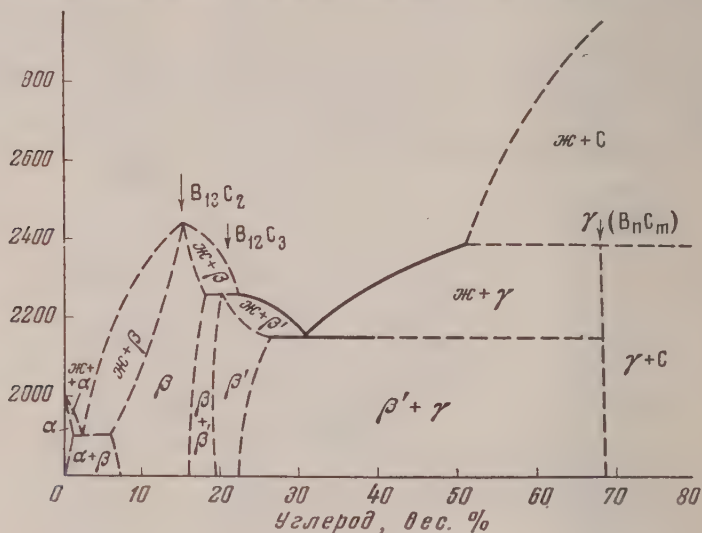


Рис. 4. Предлагаемая диаграмма системы бор—углерод

гомогенности от 18 до 23—24 вес. %  $C$ );  $\gamma$ -фаза — богатуглеродистый карбид с содержанием 68—69 вес. %  $C$ .

Кажется правильным полагать такой «компромиссный» вид диаграммы исходным для дальнейшего развития и уточнений.

### Выводы

На основе сопоставления данных о свойствах сплавов бора с углеродом предложен вид диаграммы системы бор — углерод в пределах содержания углерода от 0 до 80 вес. %.

Углерод растворяется в боре с образованием  $\alpha$ -твердого раствора, эвтектика которого с соединением  $B_{13}C_2$  ( $\beta$ -фазой) плавится при  $\sim 1900^\circ C$ . Кроме конгруэнтного соединения  $B_{13}C_2$  в системе существуют также и конгруэнтно плавящиеся соединения  $B_{12}C_3$  ( $\beta'$ -фаза) и  $B_nC_m$  ( $\gamma$ -фаза, содержащая 68—69%  $C$ ). Два этих соединения образуют эвтектику при содержании 30—31%  $C$ .

Обсуждено соотношение между  $\beta$  и  $\beta'$ -фазами, из которых  $\beta$ -фаза образуется замещением вакантных мест решетки атомами углерода, а  $\beta'$ -фаза — замещением атомами углерода атомов бора.

Академия наук УССР  
Институт  
металлокерамики и сплавов  
Киев

Поступила  
23. V. 1957

### ЛИТЕРАТУРА

1. H. Moissan, C. R., **118**, 556, 1899.
2. Mühlhauser, Z. anorg. Chem., **5**, 92, 1852.
3. E. Podszus, Z. anorg. Chem., **211**, 41, 1933.
4. R. Ridgway, Trans. Amer. Electrochem. Soc., **56**, 117, 1934.
5. В. Ф. Ормонт, Структуры неорганических веществ, Гостехиздат, М., 1957, стр. 689.
6. Г. А. Меерсон, Г. В. Самсонов, Изв. Сектора физ.-хим. анализа ИОН АН СССР, **22**, 92, 1953.

- 7 И. Л. Загянский, Г. В. Самсонов, Н. В. Попова, АН СССР, 74, 723, 1950.
- 8 Г. А. Меерсон, Г. В. Самсонов, О путях усовершенствования технологии производства карбида бора, Тезисы Постоянного межинститутского коллоквиума по твердым фазам переменного состава, вып. 5, Москва, 1956.
- 9 Г. С. Жданов, Н. Г. Севастьянов, Ж. физ. химии, 52, 326, 1943; ДАН СССР, 32, 432, 1941.
- 10 Н. Clark, J. Hoard, J. Amer. Chem. Soc., 65, 2115, 1943.
- 11 Г. С. Жданов, Н. Н. Журавлев, Л. С. Зевин, ДАН СССР, 92, 767, 1955.
- 12 Г. С. Жданов, Г. А. Меерсон, Н. Н. Журавлев и Г. В. Самсонов, Ж. физ. химии, 28, 1076, 1954.
- 13 W. Dawihl, R. Elüşöh, Z. Metallkunde, 29, 135, 1937.
- 14 W. Dawihl, Z. Metallkunde, 43, 138, 1952.
- 15 F. Glaser, D. Moskowitz, B. Post, J. Appl. Phys., 24, 731, 1953.
- 16 R. Allen, J. Amer. Chem. Soc., 75, 3582, 1953.
- 17 Г. В. Самсонов, Н. Н. Журавлев, Н. Г. Ампуль, Физика металлов и металловедение, 3, 309, 1956.
- 18 М. А. Филянд, Е. И. Семенова, Свойства редких элементов, Металлургиздат, 1954.
- 19 В. А. Эпельбаум, М. А. Гуревич, Б. Ф. Ормонт, Ж. неорг. химии, 1, 2149, 1956.

## THE PRESENT STATE OF INVESTIGATION OF THE BORON—CARBON DIAGRAM

*G. V. Samsonov*

### Summary

Based on a comparison of the data on the properties of alloys of the system boron—carbon a tentative diagram has been plotted for the system within the concentration limits 0—80% carbon.

## ВЛИЯНИЕ ОЗОНА НА ВОСПЛАМЕНЕНИЕ УГЛЕВОДОРОДОВ

## I. ВОСПЛАМЕНЕНИЕ БУТАНА С КИСЛОРОДОМ

*С. А. Каменецкая, С. Я. Пшежецкий и Н. А. Славинская*

Согласно Н. Н. Семенову, воспламенение смесей углеводородов с кислородом представляет собой тепловой взрыв, который возникает в результате нарушения стационарности теплового процесса, вызванного ускорением окислительной цепной реакции.

Теория теплового взрыва связывает критические условия воспламенения с кинетикой предвзрывной реакции. Для случая воспламенения углеводородов эта связь была экспериментально исследована для воспламенения этана Н. М. Чирковым и С. Г. Энтелисом [1], которые установили соответствие между кинетикой медленной окислительной реакции и условиями воспламенения этано-кислородных смесей.

Из теории теплового воспламенения, таким образом, следует, что вещества, ускоряющие медленную реакцию окисления углеводородов («активаторы» или гомогенные катализаторы), должны также изменять условия воспламенения. Эти изменения должны заключаться в уменьшении периода индукции и снижении нижнего предела воспламенения. Действие таких активаторов, по-видимому, главным образом заключается в облегчении образования начальных активных центров цепной реакции. Поэтому оно, очевидно, должно различным образом проявляться в зависимости от химических свойств углеводорода.

Исследование действия небольших количеств активирующих медленную реакцию веществ на воспламенение горючих смесей дает возможность проследить роль первичного химического взаимодействия и образования начальных активных центров реакции в процессе воспламенения.

Мы исследовали влияние озона на критические условия воспламенения смесей некоторых углеводородов с кислородом. В качестве объектов исследования были выбраны бутан, бутен и циклогексан, для которых можно было предполагать существенные различия в первичном взаимодействии с озоном.

Применение озона как активатора в процессах медленного окисления исследовалось в ряде работ.

Как было найдено А. Б. Налбандяном с сотр. [2], при окислении метана действие озона проявляется в условиях, когда в результате диссоциации образуется атомарный кислород, что наблюдается при температурах выше 400°. Однако, как показали Пиз и Шуберт [3], уже при 30° имеет место непосредственное взаимодействие озона с углеводородами. Энергия активации взаимодействия озона с бутаном, согласно данным работы [3], составляет 11 к/моль.

Взаимодействие озона с парафиновыми углеводородами происходит путем отрыва атома водорода с образованием радикала. Взаимодействие с бутеном должно идти главным образом путем присоединения озона по месту двойной связи.

Таким образом, различия в первичном взаимодействии озона с этими углеводородами должны привести к различиям и во влиянии озона на критические условия воспламенения этих углеводородов. В этой статье изла-

а также данные, относящиеся к воспламенению бутана. В следующих сообщениях будут изложены данные, относящиеся к воспламенению бутилена (циклогексана).

### Методика эксперимента

Бутан после очистки от непредельных углеводородов разгонялся на колонке Подьякина; в бутане содержались 0,2% этана и 0,1% пропана. Озон получался в тихом режиме из электролитического кислорода. Исследование проводилось в установке, изображенной на рис. 1.

Смесь газов нужного состава готовилась в сосуде 6. Дозировка состава смеси и изменение давления осуществлялись с помощью ртутного манометра 3 и стеклянного лунного манометра 7, работающего как нуль-инструмент. Из сосуда 6 смесь газов перепускалась в кварцевый реакционный сосуд диаметром — 2,8, длиной — 7,8 см. Реакционный сосуд был помещен в кварцевую печь с электрическим обогревом. Температура в сосуде измерялась хромель-копелевой термопарой, помещенной в тонкий кварцевый чехол. Перепускной коэффициент определялся для каждой температуры. Калибровка проводилась кислородом. При больших концентрациях озона стан и смесь  $O_2 - O_3$  вводились в реакционный сосуд отдельно. Сосуды были смазаны фторированной смазкой, которая не взаимодействует с озоном. До проведения опытов для стабилизации реакционного сосуда в нем проводилось многократное воспламенение озона. Для проверки воспроизводимости результатов после опытов с добавками озона вновь проводились опыты по воспламенению бутана с кислородом. Воспроизводимость результатов была удовлетворительная.

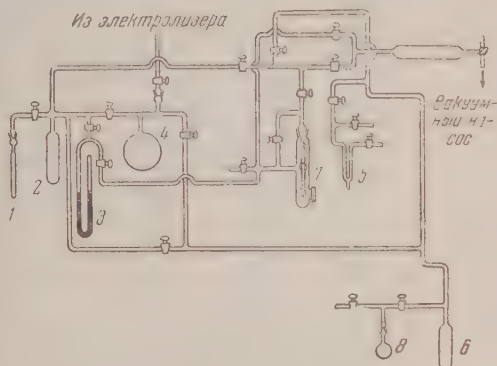


Рис. 1. Схема установки

### Экспериментальные данные

Нижний предел воспламенения смеси бутан-кислород. Поскольку задачей работы являлось изучение влияния озона на воспламенение бутана, мы ограничились одним составом смеси бутан — кислород, содержащей 80% от стехиометрического количества кислорода. Результаты приведены в табл. 1 и на рис. 2 (кривая 1). Точность определения нижнего предела составляла 2—3 мм рт. ст.

Согласно Н. Н. Семенову [4], для автокаталитических реакций имеет место следующая приближенная зависимость:

$$\tau p^n e^{-E/RT} \approx \text{const}, \quad (1)$$

где  $p$  — давление,  $T$  — температура,  $\tau$  — период индукции воспламенения,  $n$  — постоянная,  $E$  — энергия активации.

Расчет экспериментальных данных по уравнению (1) дает  $n = 2 - 2,5$ ;  $E = 44$  ккал.

Таблица 1  
Воспламенение бутана с кислородом

Давление, мм рт. ст.	Период индукции, сек.	Температура, °K	Константа · 10 <sup>7</sup>	Давление, мм рт. ст.	Период индукции, сек.	Температура, °K	Константа · 10 <sup>7</sup>
216	11,7	780	3,06	150	6,0	813	2,53
208	13,0	771	2,51	150	4,5	833	3,46
180	4,1	820	2,39	136	8,3	821	3,78
164	4,4	822	2,86	135	7,5	826	3,55
162	8,1	809	3,22	125	6,4	831	3,18



В последнем столбце табл. 1 приведены величины константы урани (1), вычисленные со значениями  $E = 44$  ккал и  $n = 2$ . Как показывает расчет, уравнение (1) хорошо выполняется. Результаты расчета даны

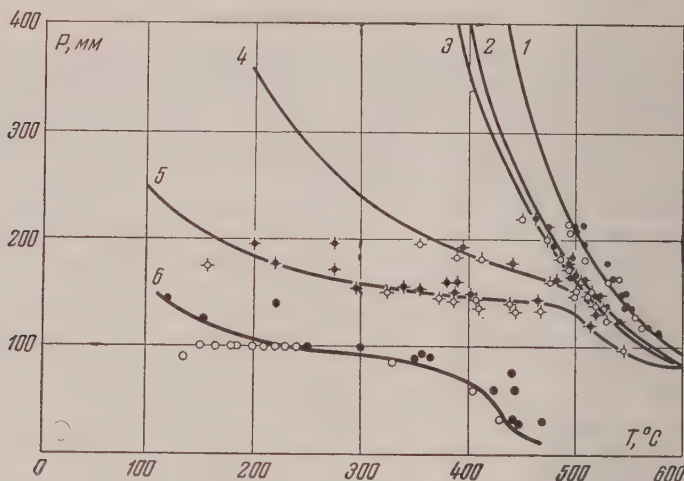


Рис. 2. Зависимость нижнего предела воспламенения бутано-кислородной смеси от температуры. Смесь содержит  $O_2$  в количестве: 1—0%; 2—0,83%; 3—2,5%; 4—7,4%; 5—10,7%; 6—16,6%. По оси ординат отложено суммарное давление смеси в мм рт. ст., по оси абсцисс — температура в  $^{\circ}C$ .

по приближенному уравнению теории теплового воспламенения

$$\lg \frac{p}{T} = \frac{A}{T} + B$$

приведены на рис. 3 (прямая 1).

Как видно на рис. 3 (прямая 1), уравнение (2) хорошо выполняется. Значение коэффициента  $A$  вычислялось из угла наклона прямой:  $A = 2705$ ;  $B = -4,07$ . Приведенная на рис. 2 кривая 1 рассчитана по уравнению (2) с этими значениями коэффициентов  $A$  и  $B$ .

Таблица 2

Углеводород	$A$	$n$	Ссылка на литературу
Метан	8000 7000	1,8	[5] [6]
Этан	4990 4022 4600	2,3	[6] [7] [8]
Пропан	3800		[6]
Бутан	2705	$2 \div 2,5$	Наша данные
Пентан	2200	$2 \div 3$	[6]

С учетом частичного выгорания

$$A = \frac{E}{(n+1)R} \lg e.$$

Если принять, согласно предыдущему расчету,  $n = 2$ , то  $E = 37,4$  ккал; при  $n = 2,5$   $E = 44$  ккал. Последняя величина совпадает с результатом расчета по уравнению (1).

В табл. 2 полученные нами величины  $A$  и  $n$  для бутана сопоставлены со значениями этих величин для воспламенения других углеводородов парафинового ряда.

Из табл. 2 видно, что полученные данные соответствуют закономерности изменения  $A$  и  $n$  с увеличением длины цепочки углеводорода.

### Влияние озона на нижний предел и период индукции воспламенения смеси бутан — кислород

Исследование влияния озона на воспламенение бутана в кислороде производилось путем частичной замены кислорода озоном в смеси с таким расчетом, чтобы общее количество атомов кислорода оставалось постоянным.

На рис. 2 приведены кривые 2 — 6, соответствующие нижнему пределу воспламенения для различного содержания озона в газе. Как видно на рисунке, озон понижает давление на нижнем пределе. В табл. 3 и 4 приведены данные, характеризующие влияние 0,83 и 2,5% озона на период индукции воспламенения.

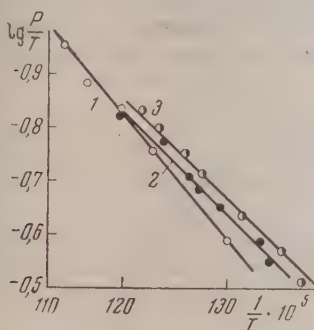


Рис. 3

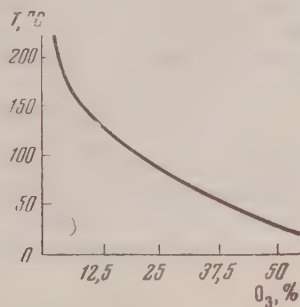


Рис. 4

Рис. 3. Зависимость  $\lg \frac{p}{T}$  от  $\frac{1}{T}$ . Бутано-кислородная смесь содержит  $O_3$ : 1 — 0%; 2 — 0,83%; 3 — 2,5%;  $p$  — критическое давление в мм рт. ст.;  $T$  — температура в К.

Рис. 4. Зависимость температуры воспламенения смеси бутан — кислород — озон от содержания озона в смеси. Давление смеси равно 100 мм рт. ст.

При 7,4% озона в смеси не наблюдалось задержки воспламенения и оно происходило сразу при впуске газовой смеси в сосуд.

На рис. 4 приведена кривая, характеризующая зависимость температуры воспламенения при постоянном давлении (100 мм рт. ст.) от количества озона.

Таблица 3

Воспламенение бутано-кислородных смесей, содержащих 0,83% озона

Давление, мм рт. ст.	Период индукции, сек.	Температура, °K	Константа $\times 10^4$
213	9,4	748	2,39
194	9,4	750	2,18
177	10,1	778	4,06
162	7,3	791	3,47
148	6,2	798	2,97
136	7,1	802	3,14
124	5,4	821	3,23

Таблица 4

Воспламенение бутано-кислородных смесей, содержащих 2,5% озона

Давление, мм рт. ст.	Период индукции, сек.	Температура, °K	Константа $\times 10^4$
219	8,4	737	4,40
200	5,6	753	3,92
167	7,6	775	6,22
167	8,5	774	6,80
151	6,7	791	5,40
138	4,7	799	4,60
126	4,5	808	4,72
115	4,1	821	4,94
105	4,7	823	5,02

Опытные данные для смесей, содержащих 0,83 и 2,5% озона, были рассчитаны по уравнению (2). На рис. 3 (прямые 2, 3) приведен результат расчета, откуда видно, что для этих смесей уравнение (2) выполняется.

Так как порядок реакции, очевидно, не изменяется с введением больших количеств озона, то, принимая  $n = 2$ , получаем по уравнению (2) для энергии активации смеси с 0,83% озона — 31,8 ккал, а для смеси с 2,5% озона — 30,4 ккал.

Расчет по уравнению (1) дает  $n = 2,3$  и  $E = 32$  ккал для смеси с 0,83% озона и  $n = 2$  и  $E = 30$  ккал для смеси с 2,5% озона. Таким образом, результаты расчета по обоим уравнениям совпадают. В табл. 3 и 4 приведены значения постоянной, вычисленной по уравнению (1) с этими значениями  $E$  и  $n$ . Расчет показывает, что озон понижает эффективную энергию активации.

Что касается смесей, содержащих 7,4% и больше озона, то ориентировочный расчет по уравнению (2) показал, что для этих смесей получают слишком малые значения энергии активации. Однако к этим смесям приближенные уравнения теории теплового воспламенения, по-видимому, не применимы, так как при малых значениях энергии активации не выполняются условия применимости уравнения (2)\*.

### Обсуждение результатов

В смеси, состоящей из озона, кислорода и бутана, возможны следующие процессы, в которых участвует озон:

1.  $O_3 + O_3 \rightarrow O_3 + O_2 + O$ ;
2.  $O_3 + O_2 \rightarrow O_2 + O_2 + O$ ;
3.  $O_3 + C_4H_{10} \rightarrow C_4H_9O \cdot + HO_2 \cdot$ ;
4.  $O_3 + C_4H_{10} \rightarrow C_4H_9OO \cdot + OH \cdot$ ;
5.  $O_3 + C_4H_{10} \rightarrow C_4H_9 \cdot + O_2 + OH \cdot$ .

Кроме того, как было показано А. М. Маркевичем [9, 10], в результате распада озона на стенках, по-видимому, возможен выход атомов кислорода в объем.

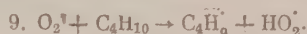
6.  $O_3 + \text{стенка} \rightarrow [O_2] + O$ .

Образующийся в реакциях 1, 2 и 6 атомарный кислород может вступать в реакции:

7.  $O + C_4H_{10} \rightarrow C_4H_9 \cdot + OH \cdot$ ;
8.  $O + O_2 \rightarrow 2O_2$ .

Сочетание реакций 1, 2, 6 и 8 приводит только к дополнительному выделению тепла.

Наиболее легкой реакцией инициирования цепи является реакция 7. Кроме того очевидно, что реакции инициирования 3, 4 и 5 протекают легче, чем аналогичная реакция с молекулярным кислородом:



Таким образом, влияние озона на воспламенение может быть связано, как с взаимодействием озона и атомарного кислорода с углеводородом, так и с избыточным теплосодержанием озона.

Тепловое воспламенение является следствием протекающих одновременно двух суммарных процессов:

- I.  $C_4H_{10} + 6,5 O_2 \rightarrow 4CO_2 + 5H_2O$ ;  $Q = 635,05$  к/моль.
- II.  $O_3 \rightarrow 1,5 O_2$ ;  $Q = 34,5$  к/моль.

\* Так, например, расчет по уравнению (2) при  $n = 2$  дает следующие значения энергии активации: для смеси с 7,4% озона  $E = 9,6$  ккал; для смеси с 10,7% озона  $E = 5,5$  ккал; для смеси с 16,6% озона  $E = 5,4$  ккал.

Однако тепло, выделившееся в результате процесса II, составляет всего 1% — для смеси с 0,83% Оз, 1,0% — для смеси с 2,5% Оз; 3,0% — для смеси с 7,4% Оз от количества тепла, выделившегося в процессе I. Таким образом, в общем балансе тепловыделения процесс II играет небольшую роль.

Рассмотрение кривых рис. 2 показывает, что действие озона проявляется сильнее при относительно низких температурах. При  $\sim 600^\circ$  кривые сдвигаются, что указывает на то, что в этих условиях действие озона невелико. Это может быть связано с тем, что с повышением температуры меняется соотношение между процессами крекинга и окисления.

В связи с этим действие озона при высоких температурах значительно менее эффективно. С понижением температуры начинают превалировать процессы окисления. В этих условиях действие озона, облегчающего осуществление окислительного направления, становится более эффективным. Как это следует из данных, приводимых В. Я. Штерном [11], при окислении пропана процессы крекинга уже при  $420^\circ$  приблизительно в 2,5 раза превосходят превращения пропана, обусловленные окислением.

По данным работы [3] энергия активации взаимодействия озона с бутаном составляет 11 ккал, а атомарного кислорода — 5–6 ккал [12], в то же время энергия активации реакции бутана с кислородом, как это следует из расчета, составляет 44 ккал. Таким образом, понижение эффективной энергии активации с введением озона обусловлено той долей первичного взаимодействия с молекулой углеводорода, которая идет за счет озона и атомарного кислорода.

### Выводы

1. Исследовано влияние озона на период индукции и положение нижнего предела воспламенения бутано-кислородных смесей.

Озон понижает нижний предел и сокращает период индукции. Величина эффекта возрастает с увеличением содержания озона в смеси и понижением температуры.

2. Расчет данных по уравнениям теории теплового воспламенения показывает, что озон понижает эффективную энергию активации.

Действие озона в основном заключается в облегчении первичных реакций создания активных центров.

Физико-химический институт  
им. Л. Я. Карпова

Поступила  
3. V. 1957

### ЛИТЕРАТУРА

1. Н. М. Чирков и С. Г. Энтелис, Статья в сб. Кинетика цепных реакций окисления, Изд-во АН СССР, стр. 118, 1950.
2. Н. А. Клейманов, Н. П. Антонова, А. М. Маркевич и А. Б. Палбаблян, Ж. физ. химии, 30, 794, 1956.
3. C. C. Schubert, R. N. Pease, J. A. C. S., 78, № 10, 2044–48, 1956.
4. Н. Н. Семенов, Успехи физ. наук, 23, вып. 3, 251, 1940.
5. А. В. Загулин, Z. phys. Chem., B. 1, 25, 1928.
6. А. В. Загулин, Ж. физ. химии, 4, 92, 1933.
7. N. A. Taylor, E. W. Riblet, J. Phys. Chem., 35, 2667, 1931.
8. А. А. Ковальский, Н. Я. Садовников, Н. М. Чирков, Ж. физ. химии, 4, 50, 1933.
9. А. М. Маркевич, Ж. физ. химии, 30, 735, 1956.
10. Н. А. Клейманов и А. М. Маркевич, ДАН СССР, 110, 105, 1956.
11. В. Я. Штерн, Статья в сб. Цепные реакции окисления углеводородов в газовой фазе. Изд-во АН СССР, стр. 37, 1955.
12. R. J. Svetonovic, J. Chem. Phys., 23, № 8, стр. 1375, 1955.



## THE EFFECT OF OZONE ON THE IGNITION OF HYDROCARBONS

## I. THE IGNITION OF BUTANE WITH OXYGEN

*S. A. Kamenetskaya, S. Ya. Pshezhetskiĭ and N. A. Slavinskaya*

## S u m m a r y

A study has been made of the effect of ozone on the induction period and position of the lower ignition limit of butane-oxygen mixtures. Ozone lowers the limit and decreases the induction period. The magnitude of the effect increases with the ozone content of the mixture and with fall in temperature. A calculation of the data according to the equations of the thermal ignition theory shows that ozone lowers the apparent activation energy. The action of ozone is evidently in the main due to facilitation of the primary reactions of active center formation.

---

# ПРИМЕНЕНИЕ ВРАЩАЮЩЕГОСЯ ДИСКОВОГО ЭЛЕКТРОДА К ИЗУЧЕНИЮ КИНЕТИЧЕСКИХ И КАТАЛИТИЧЕСКИХ ПРОЦЕССОВ В ЭЛЕКТРОХИМИИ. СЛУЧАЙ РАЗНЫХ КОЭФФИЦИЕНТОВ ДИФFUЗИИ

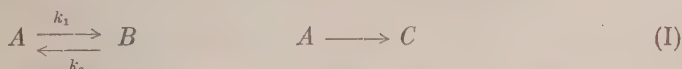
*Р. Р. Догонадзе*

Кинетические и каталитические реакции в электрохимии были детально исследованы в ряде работ [1] применительно к капельному ртутному электроду. В работе Я. Коутецкого и В. Г. Левича [2] была впервые дана методика решения задач, возникающих при изучении кинетических и каталитических реакций при использовании вращающегося дискового электрода. Этими авторами было показано, что вращающийся дисковый электрод имеет ряд преимуществ перед капельным электродом. В работе Я. Коутецкого и В. Г. Левича считалось, что коэффициенты диффузии всех реагирующих веществ одинаковы. Целью настоящей работы является выяснение влияния различия в коэффициентах диффузии частиц на решение, полученное в [2]. Ниже мы разберем несколько примеров, чтобы указать, каким образом можно учитывать разные коэффициенты диффузии в случае дискового электрода.

Рассмотрим квазимолекулярную кинетическую реакцию, протекающую по схеме

Объем

Электрод



В этом случае уравнения конвективной диффузии будут иметь вид [2]:

$$D_1 \frac{d^2 c_1}{dy^2} - v(y) \frac{dc_1}{dy} + k_2 c_2 - k_1 c_1 = 0, \qquad (1)$$

$$D_2 \frac{d^2 c_2}{dy^2} - v(y) \frac{dc_2}{dy} - k_2 c_2 + k_1 c_1 = 0. \qquad (2)$$

Здесь  $c$  — концентрация,  $D$  — коэффициент диффузии,  $v(y)$  — скорость движения жидкости по нормали к поверхности диска. Индекс 1 относится к частицам  $A$ , индекс 2 — к частицам  $B$ .

Вдали от электрода имеем два очевидных граничных условия:

$$k_1 c_1 - k_2 c_2 = 0, \qquad y \rightarrow \infty; \qquad (3)$$

$$c_1 + c_2 = c^0, \qquad y \rightarrow \infty; \qquad (4)$$

где  $c^0$  — общая концентрация раствора. Мы будем считать, что электродная реакция (1) является быстрой и в ней участвуют лишь частицы сорта 1. Тогда на поверхности диска можем записать еще два граничных условия:

$$c_1 = 0, \qquad y = 0; \qquad (5)$$

$$\frac{dc_2}{dy} = 0, \qquad y = 0. \qquad (6)$$

Умножим (1) на  $k_1/D_1$ , а (2) на  $k_2/D_2$  и вычтем (2) из (1)

$$\frac{d^2(k_1c_1 - k_2c_2)}{dy^2} - \frac{v(y)}{D_1} \frac{dk_1c_1}{dy} + \frac{v(y)}{D_2} \frac{dk_2c_2}{dy} - \left(\frac{k_1}{D_1} + \frac{k_2}{D_2}\right)(k_1c_1 + k_2c_2) = 0. \quad (8)$$

Обычно коэффициенты диффузии  $D_1$  и  $D_2$  имеют весьма близкие значения, поэтому для порядковой оценки разных членов в (7) можно положить  $D_1 \approx D_2$

$$\frac{\frac{v(y)}{D_1} \frac{dk_1c_1}{dy} - \frac{v(y)}{D_2} \frac{dk_2c_2}{dy}}{\left(\frac{k_1}{D_1} + \frac{k_2}{D_2}\right)(k_1c_1 - k_2c_2)} \sim \frac{v(y) \frac{d(k_1c_1 - k_2c_2)}{dy}}{(k_1 + k_2)(k_1c_1 + k_2c_2)} \sim \frac{v(\delta_K)}{k_1 + k_2} \frac{1}{\delta_K}, \quad (9)$$

где  $\delta_K$  — толщина кинетического слоя, представляет расстояние от поверхности диска, на котором  $k_1c_1 \approx k_2c_2$ . Если скорость объемной химической реакции велика, то имеет место неравенство

$$\frac{v(\delta_K)}{k_1 + k_2} \frac{1}{\delta_K} = \frac{0,5\omega^{1/2}}{v^{1/2}(k_1 + k_2)} \delta_K \ll 1. \quad (10)$$

Позже в (9) будет вложен более определенный количественный смысл. При выполнении условия (9) в (7) можно опустить конвективный член. Сложив (1) и (2), получим

$$\frac{d^2(D_1c_1 + D_2c_2)}{dy^2} - v(y) \frac{d(c_1 + c_2)}{dy} = 0. \quad (11)$$

Вместо  $c_1$  и  $c_2$  введем

$$a = c_1 - \frac{k_2}{k_1} c_2 \quad (12)$$

и

$$b = c_1 + \frac{D_2}{D_1} c_2. \quad (13)$$

Из (7) и (10) для  $a$  и  $b$  получаем уравнения

$$\frac{d^2a}{dy^2} - \left(\frac{k_1}{D_1} + \frac{k_2}{D_2}\right)a = 0, \quad (14)$$

$$\frac{d^2b}{dy^2} - v(y) \frac{k_1 + k_2}{k_1D_2 + k_2D_1} \frac{db}{dy} = v(y) \frac{\frac{D_2}{D_1} - 1}{D_2 + \frac{k_2}{k_1}D_1} \frac{da}{dy}. \quad (15)$$

Перепишем граничные условия (3) — (6) для функций

$$a = 0, \quad y \rightarrow \infty; \quad (16)$$

$$b = \frac{k_1D_2 + k_2D_1}{D_1(k_1 + k_2)} c^0, \quad y = \infty; \quad (17)$$

$$a = -\frac{k_2}{k_1} \frac{D_1}{D_2} b, \quad y = 0; \quad (18)$$

$$\frac{da}{dy} = \frac{db}{dy}, \quad y = 0. \quad (19)$$

Решение (13) с учетом (15) имеет вид:

$$a = \alpha \exp \left\{ - \sqrt{\frac{k_1}{D_1} - \frac{k_2}{D_2}} 2y \right\} = \alpha e^{-y/\delta_K}, \quad (20)$$

где

$$\delta_K = \frac{1}{\sqrt{\frac{k_1}{D_1} + \frac{k_2}{D_2}}} \quad (21)$$

— толщина кинетического слоя, входящая в формулы (8), (9).

Подставляя (19) в (14), легко написать общее решение для  $b$ :

$$b = \beta \int_0^y \exp \left\{ \frac{1}{D} \int_0^t v(\xi) d\xi \right\} dt + \\ + \alpha \frac{k_1}{k_1 + k_2} \frac{D_1 - D_2}{D_1 D} \frac{1}{\delta_R} \int_0^y \exp \left\{ \frac{1}{D} \int_0^t v(\xi) d\xi \right\} dt \times \\ \times \int_0^t \exp \left\{ -\frac{1}{D} \int_0^s v(\xi) d\xi - \frac{s}{\delta_R} \right\} v(s) ds + \gamma, \quad (21)$$

$$D = \frac{k_1 D_2 + k_2 D_1}{k_1 + k_2}. \quad (22)$$

Произвольные постоянные  $\alpha$ ,  $\beta$  и  $\gamma$  определяются из условий (16) — (8). В частности, последние два условия дают

$$\alpha = -\frac{k_2}{k_1} \frac{D_1}{D_2} \gamma,$$

$$\alpha = -\delta_R \beta.$$

Подставляя постоянную  $\beta$  определим из условия (16):

$$\beta \int_0^\infty \exp \left\{ \frac{1}{D} \int_0^t v(\xi) d\xi \right\} dt - \beta \frac{k_1}{k_1 + k_2} \frac{D_1 - D_2}{D_1 D} \int_0^\infty \exp \left\{ \frac{1}{D} \int_0^t v(\xi) d\xi \right\} dt \times \\ \times \int_0^t \exp \left\{ -\frac{1}{D} \int_0^s v(\xi) d\xi - \frac{s}{\delta_R} \right\} v(s) ds + \frac{k_1}{k_2} \frac{D_2}{D_1} \delta_R \beta = \frac{D}{D_1} c^0. \quad (23)$$

Как известно [3], первый интеграл легко вычисляется и равен

$$\int_0^\infty \exp \left\{ \frac{1}{D} \int_0^t v(\xi) d\xi \right\} dt = 1,6 \left( \frac{D}{v} \right)^{1/2} \left( \frac{v}{\omega} \right)^{1/2} = \delta,$$

где  $\delta$  — толщина диффузионного слоя.

Для оценки второго интеграла вернемся к неравенству (9), подставив в него  $\delta_R$  из (20),

$$0,5 \frac{\omega^{1/2} \delta_R}{v^{1/2} (k_1 + k_2)} = 0,5 \left( \frac{\omega}{k_1 + k_2} \right)^{1/2} \left( \frac{D_1 D_2}{v D} \right)^{1/2} \approx 0,5 \left( \frac{\omega}{k_1 + k_2} \right)^{1/2} \left( \frac{D}{v} \right)^{1/2} \ll 1. \quad (24)$$

Как было показано в [2], более точная оценка условия (9) даст коэффициент 0,1 вместо 0,5 в формуле (24). Учитывая это, последнюю формулу можно переписать также в следующем виде:

$$0,1 \left( \frac{v \omega}{k_1 + k_2} \right)^{1/2} \left( \frac{D}{v} \right)^{1/2} = 0,4 \left( \frac{\delta_R}{\delta} \right)^2 \ll 1. \quad (25)$$

Оценка показывает, что второй интеграл в (23) имеет порядок  $(\delta_R/\delta)^2$ , поэтому, согласно (25), он может быть опущен. Окончательно для  $\beta$  найдем выражение:

$$\beta = \frac{\frac{D}{D_1} c^0}{\delta \left[ 1 + \frac{k_1}{k_2} \frac{D_2}{D_1} \frac{\delta_R}{\delta} \right]}.$$



Из (6) и (11) получаем выражение для полного потока:

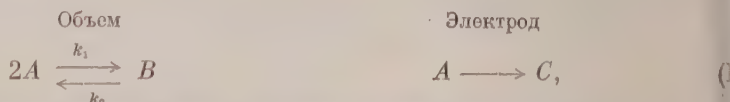
$$j = D_1 \left( \frac{dc_1}{dy} \right)_{y=0} - D_1 \left( \frac{da}{dy} \right)_{y=0} - D_1 \beta = \frac{Dc^0}{\delta \left[ 1 + \frac{k_1}{k_2} \frac{D_2}{D_1} \frac{\delta_K}{\delta} \right]} - \frac{j_0}{1 + \frac{k_1}{k_2} \frac{D_2}{D_1} \frac{\delta_K}{\delta}} \quad (4)$$

где

$$j_0 = \frac{Dc^0}{\delta}$$

— диффузионный поток на диск [3].

Рассмотрим другой пример кинетического процесса, протекающего следующей схеме:



когда объемная реакция имеет бимолекулярный характер.

Уравнения конвективной диффузии имеют вид:

$$D_1 \frac{d^2 c_1}{dy^2} - v(y) \frac{dc_1}{dy} + k_2 c_2 - k_1 c_1^2 = 0, \quad (2)$$

$$D_2 \frac{d^2 c_2}{dy^2} - v(y) \frac{dc_2}{dy} - \frac{1}{2} k_2 c_2 + \frac{1}{2} k_1 c_1^2 = 0. \quad (2)$$

На электроде оставим прежние граничные условия (5) и (6), а вдали от диска граничные условия запишем следующим образом:

$$k_1 c_1^2 - k_2 c_2 = 0, \quad y \rightarrow \infty; \quad (2)$$

$$c_1 + c_2 \approx c_2 = c^0, \quad y \rightarrow \infty. \quad (3)$$

В последнем условии мы сделали допущение, что

$$c_2 \gg c_1, \quad y \rightarrow \infty. \quad (3)$$

Как и в первом примере, будем считать, что конвективный член в уравнениях (27), (28) много меньше кинетического. Введем новую функцию

$$\psi = c_1 + 2 \frac{D_2}{D_1} c_2. \quad (3)$$

В принятом нами приближении уравнения (27), (28) будут иметь вид

$$D_1 \frac{d^2 c_1}{dy^2} + k_2 \frac{\psi - c_1}{2} \frac{D_1}{D_2} - k_1 c_1^2 = 0, \quad (3)$$

$$D_2 \frac{d^2 \psi}{dy^2} - v(y) \frac{d\psi}{dy} = v(y) \left( 1 - \frac{D_2}{D_1} \right) \frac{dc_1}{dy}. \quad (34)$$

Полагая, что  $\psi$  меняется существенно на  $\delta$ , а  $c_1$  на  $\delta_K$ , причем  $\delta_K \ll \delta$ , методом, данным в [2], легко получить граничное условие для  $\psi$  на электроде, которое будет иметь вид:

$$\frac{d\psi}{dy} = K \psi^{3/4}, \quad y = 0, \quad (35)$$

где

$$K = \left[ \frac{k_2^3 \left( 1 - \frac{D_1}{3D_2} \right)^2}{2k_1 D_1 D_2} \right]^{1/4}. \quad (36)$$

При условии (31) вдали от электрода

$$\psi = 2 \frac{D_2}{D_1} c^0. \quad (37)$$

Таким образом, решив уравнение (34) с граничными условиями (35) (37), мы найдем полный поток

$$j = D_1 \left( \frac{dc_1}{dy} \right)_{y=0} = D_1 \left( \frac{d\psi}{dy} \right)_{y=0} = D_1 K (\psi_{y=0})^{1/4}. \quad (38)$$

Общее решение (34) имеет вид:

$$\psi = \alpha \int_0^y \exp \left\{ \frac{1}{D_2} \int_0^t v(\xi) d\xi \right\} dt + \\ - \left( 1 + \frac{D_2}{D_1} \right) \int_0^y \exp \left\{ \frac{1}{D_2} \int_0^t v(\xi) d\xi \right\} dt \int_0^t \exp \left\{ - \frac{1}{D_2} \int_0^s v(\xi) d\xi \right\} v(s) \frac{dc_1}{ds} ds + \beta, \quad (39)$$

где  $\alpha$  и  $\beta$  определяются из условий (35) и (37):

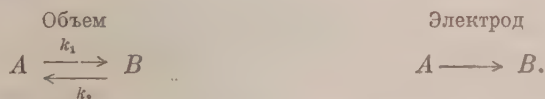
$$\alpha = K \beta^{3/4}, \\ \alpha \delta + I + \beta = 2 \frac{D_2}{D_1} c^0. \quad (40)$$

Заметим, что при оценке второго интеграла в (22) множитель  $e^{s_1 \delta_1}$  можно было заменить на любую достаточно быстро убывающую для  $s > \delta_K$  функцию, т. е. конкретный выбор  $dc_1/dy$  не играл существенную роль. Отбрасывая второй член в (40), получим два уравнения для определения произвольных постоянных  $\alpha$  и  $\beta$ , которые легко могут быть решены графически [3].

Согласно (38), для полного потока имеем

$$j = D_1 \alpha = \frac{2D_2 c^0 - D_1 \beta}{\delta} = \frac{2D_2 c^0 - D_1 \psi_{y=0}}{\delta}. \quad (41)$$

Наконец, рассмотрим квазимолекулярную каталитическую реакцию, идущую по схеме



В этом случае уравнения конвективной диффузии (1), (2) и граничные условия (3) — (5) остаются в силе, вместо же граничного условия (6) имеет место условие

$$D_1 \frac{dc_1}{dy} = - D_2 \frac{dc_2}{dy}, \quad y = 0; \quad (42)$$

или, рассматривая опять функции (11), (12), имеем уравнения (12) — (14) с граничными условиями (15) — (17) и

$$\frac{db}{dy} = 0. \quad (43)$$

Решения (13) и (14), как и прежде, имеют вид (19) и (21). Однако из граничных условий теперь имеем

$$\beta = 0, \\ \alpha = - \frac{D_1}{D_2} \frac{k_2}{k_1} \gamma, \\ \gamma \left[ \frac{k_2}{k_1 + k_2} \left( 1 - \frac{D_1}{D_2} \right) \frac{1}{\delta_K} I + 1 \right] = \frac{D}{D_1} c^0.$$

Учитывая, что  $I \sim \delta_K / \delta^2$ ,

$$\gamma = \frac{D}{D_1} c^0.$$

Плотность потока на электрод равна

$$j = D_1 \left( \frac{dc_1}{dy} \right)_{y=0} = D_1 \frac{k_1 D_2}{(k_1 + k_2) D} \left( \frac{da}{dy} \right)_{y=0} = \frac{D_1 k_2 c^0}{(k_1 + k_2) \delta_K} = c^0 k_2 \sqrt{\frac{D_1}{D_2} \frac{D}{k_1 + k_2}}, \quad (4)$$

т. е. при условии (25)  $j$  зависит только от кинетики объемной реакции и диффузии, но не от конвекции.

Резюмируя вышеразобранные примеры, можно сказать, что учет разных коэффициентов диффузии не влияет существенно на методику расчет кинетических и каталитических процессов применительно к вращающемуся дисковому электроду, данную в работе Я. Коутецкого и В. Г. Левича [2]. Из разобранных примеров видно также, каким способом можно на каждом конкретном случае учитывать различие в коэффициентах диффузии при решении электрохимических задач для дискового электрода.

В заключение автор считает своим приятным долгом поблагодарит В. Г. Левича за постановку задачи и ценные советы.

### Выводы

1. Показано, что допущение Я. Коутецкого и В. Г. Левича [2] о том, что при реакциях на вращающемся дисковом электроде коэффициенты диффузии всех реагирующих веществ одинаковы, не влияет существенно на методику расчета.
2. Разобрано несколько примеров, иллюстрирующих способ учета различия в коэффициентах диффузии.

Академия наук СССР  
Институт физической химии  
Москва

Поступила  
10. VI. 1957

### ЛИТЕРАТУРА

1. R. Brdicka, Collection Suppl. 11, 19, 41, 1954; см. также монографию Delahay, New Instrumental Methods in Electrochemistry, № 5, 1954.
- Я. Коутецкий, Доклад на 4-м совещании по электрохимии, Москва, 1956, см. также обзор Brdicka.
2. Я. Коутецкий и В. Г. Левич, Применение дискового электрода к изучению кинетических и каталитических процессов в электрохимии, Ж. физ. химии, 32, 1965, 1958.
3. В. Г. Левич, Физико-химическая гидродинамика, Москва, 1952.

### THE APPLICATION OF THE ROTATING DISC ELECTRODE TO STUDIES ON KINETIC AND CATALYTIC PROCESSES IN ELECTROCHEMISTRY. THE CASE OF DIFFERING DIFFUSION COEFFICIENTS

R. P. Dogonadze

#### Summary

Ya. Koutecky and V. G. Levich [2] have studied kinetic and catalytic reactions employing the rotating disc electrode under the assumption that the diffusion coefficients of all reagents are the same. It has been shown that this assumption has no significant effect on the method of calculation presented in [2]. Several examples have been examined illustrating the means of accounting for the differences in the diffusion coefficients.

## ТЕПЛОПРОВОДНОСТЬ НЕВОДНЫХ РАСТВОРОВ ЭЛЕКТРОЛИТОВ

Ф. Г. Эльдаров

Исследование теплопроводности электролитов представляет особый интерес в связи с малой изученностью этого вопроса. Это обстоятельство объясняется тем, что большинство существующих методов измерения теплопроводности непосредственно неприменимы для электролитов.

Сравнительно недавно, в связи с практическими нуждами теплотехники и физической химии, измерением теплопроводности водных растворов электролитов занимался ряд исследователей.

Ридель [1, 2] исследовал теплопроводность водных растворов солей при температуре 20° и щелочей NaOH и KOH в интервале 0—80° и установил определенную закономерность в ходе теплопроводности водных растворов солей в зависимости от концентрации ионов электролита.

П. Филипповым [3] измерена теплопроводность водных растворов серной кислоты при температурах 40 и 60°.

А. Ф. Капустинский и И. И. Рузавин [4] исследовали теплопроводность водных растворов пятнадцати солей при 25° и на основе полученных данных рассмотрели вероятный механизм теплопроводности водных растворов электролитов. Н. Б. Варгафтиком и Ю. П. Осмишниковым [5] изучены теплопроводность водных растворов кислот в температурном интервале 0—80° и некоторых солей при 30°.

В литературе отсутствуют экспериментальные результаты по теплопроводности неводных растворов электролитов. Изучение теплопроводности таких растворов в зависимости от концентрации ионов представляет интерес для выявления влияния растворителя на теплопроводность электролитов.

## Экспериментальная установка и методика измерения

Экспериментальная установка основана на новом варианте относительного метода цилиндрического слоя, предложенном Л. П. Филипповым [3, 6], в разработке которого принимал участие автор.

Схема установки приведена на фиг. 1. Стеклоанная трубка 3 длиной 110 мм и диаметром 3 мм, запаянная в конце, заполняется ртутью. Внутри ртутного столбика 2 находится нагревательный элемент  $I$ , который состоит из нихромовой нити длиной 0,4 мм, расположенной в канавке фарфоровой трубки диаметром 1 мм. Цилиндрический зазор размером 0,8 мм между трубками 3 и 4 заполняется исследуемой жидкостью. Внутри стеклянной рубашки циркулирует поток термостатирующей жидкости из термостата по Гейслеру. Медно-константановой дифференциальной термопарой определяется разность температуры между ртутным столбиком 2 и трубкой 4.

Принцип работы прибора основывается на том факте, что при заданной температуре потока жидкости в рубашке прибора и постоянной мощности  $q$  нагревательного элемента 1 разность температуры  $\Delta t$ , измеряемой дифференциальной термопарой, однозначно определяется теплопроводностью исследуемой жидкости, т. е.  $\Delta t = \phi(\lambda)$ , где  $\lambda$  — коэффициент теплопроводности. Вид этой зависимости устанавливается градуировкой прибора по жидкостям с известными теплопроводностями. Для градуи-

Таблица 1

Коэффициенты теплопроводности органических жидкостей

Жидкость	$t, ^\circ\text{C}$	$\lambda$ ккал/м час
Ацетон	25	0,142
Бензол	25	0,122
н-Бутиловый спирт	25	0,136
Ксилол	45	0,111
Метиловый спирт	25	0,181



ровки прибора брались три вещества: воздух, вода и толуол. Выбор этих веществ основывается следующими соображениями: во первых, теплопроводность этих веществ достаточно хорошо изучена и, во-вторых, диапазон значения теплопроводности этих веществ охватывает теплопроводность очень многих жидкостей. Теплопроводность воды хорошо изучена различными методами [7—9] почти во всех случаях получается хорошее совпадение результатов. Значение теплопроводности толуола взято из работ [7—11], которые, как нами было показано [9], принадлежат к числу наиболее достоверных.

С целью получения простой градуировочной кривой необходимо пользоваться преобразованными переменными, а именно

$$z = \frac{\lambda}{x}, \quad \text{где } x = \frac{q}{\Delta t - \delta t},$$

$\delta t$  — разность температуры, определяемая в случае заполнения рабочего зазора ртутью.

В этих переменных градуировочная кривая почти не зависит от величины мощности  $q$  и имеет вид  $z = \text{const}$ . Измеряемая разность температур в экспериментах не превышала 2—3°. Теплопередача путем конвекции отсутствует, так как всегда выполнялось условие  $(P_r \cdot G_r) < 600$ .

Ошибка в определении измеряемых величин  $q$ ,  $\Delta t$  не превышает 1%. Однако, учитывая погрешность при градуировке при

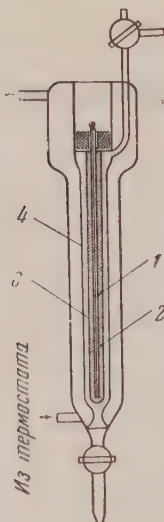


Рис. 1. Схема установки для измерения теплопроводности жидкостей

бора, точность измерения теплопроводности в данном приборе составляет 2%. Прибором предварительно измерены теплопроводность ряда органических жидкостей и значения их приведены в табл. 1. Полученные результаты в пределах ошибок хорошо согласуются с результатами работ [7—11].

### Результаты измерений

На описанной экспериментальной установке произведены измерения теплопроводности неводных растворов солей  $\text{NaJ}$ ,  $\text{NaBr}$ ,  $\text{KJ}$ ,  $\text{Ca}(\text{NO}_3)_2$ ,  $\text{NH}_4\text{NO}_3$ ,  $\text{ZnCl}_2$  в метаноле и  $\text{CaJ}_2$ ,  $\text{SbCl}_3$ ,  $\text{ZnCl}_2$  в ацетоне. Измерения производились при 25° для различных концентраций. В отличие от воды и органических жидкостей растворимость многих солей сильно ограничена.

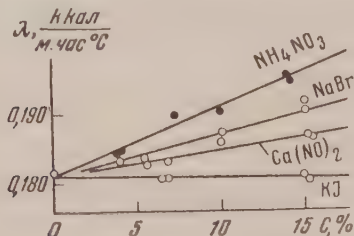


Рис. 2. Теплопроводность растворов солей в метаноле в зависимости от весовой концентрации

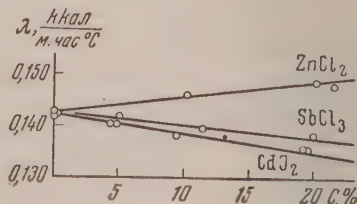


Рис. 3. Теплопроводность растворов солей в ацетоне в зависимости от весовой концентрации

Предельными весовыми концентрациями с растворов были: для  $\text{NaJ}$  — 55,  $\text{NaBr}$  — 15,  $\text{KJ}$  — 15,  $\text{Ca}(\text{NO}_3)_2$  — 15,  $\text{ZnCl}_2$  — 46 и  $\text{NH}_4\text{NO}_3$  — 14%, в метаноле и для  $\text{CaJ}_2$  — 19,  $\text{SbCl}_3$  — 70 и  $\text{ZnCl}_2$  — 21% в ацетоне.

Метилловый спирт и ацетон, имеющиеся в нашем распоряжении, имели следующие характеристики:  $d_4^{20} = 0,7912 \text{ г/см}^3$ ,  $n_D^{22,5} = 1,3272$ ;  $d_4^{20} = 0,7904 \text{ г/см}^3$ ,  $n_D^{22,5} = 1,3588$ .

Таблица 2

Теплопроводность растворов солей в различных растворителях при 25°

Концентрация, %	$\lambda$ ккал/м час град							Растворитель ацетон		Растворитель вода	
	Растворитель метанол										
	NaBr	KJ	NH <sub>4</sub> NO <sub>3</sub>	Ca (NO <sub>3</sub> ) <sub>2</sub>	ZnCl <sub>2</sub>	NaJ	SbCl <sub>3</sub>	ZnCl <sub>2</sub>	CdJ <sub>2</sub>	NaBr	NaBr*
0	0,181	0,181	0,181	0,181	0,181	0,181	0,142	0,142	0,142	0,520	0,515
5	0,184	0,181	0,186	0,183	0,181	0,111	0,141	0,144	0,140	0,514	0,508
10	0,187	0,181	0,191	0,184	0,181	0,181	0,140	0,145	0,139	0,505	0,499
15	0,190	0,181	0,196	0,186	0,181	0,181	0,139	0,146	0,137	0,494	0,490
20	—	—	—	—	0,181	0,181	0,138	0,147	0,135	0,485	0,480
30	—	—	—	—	0,181	0,181	0,136	—	—	0,465	0,459
40	—	—	—	—	0,181	0,181	0,135	—	—	—	0,433
50	—	—	—	—	—	0,181	0,133	—	—	—	—
60	—	—	—	—	—	—	0,132	—	—	—	—
70	—	—	—	—	—	—	0,130	—	—	—	—

\* Данные Риделя [10] при 20°.

Исследуемые соли гигроскопичны и поэтому особое внимание былоделено методике приготовления сухих реактивов [12, 13].

Результаты экспериментальных данных приведены на рис. 2, 3 и в абл. 2. В табл. 2 на примере водного раствора NaBr сравниваются наши результаты с данными [1], которые в пределах точности экспериментов хорошо согласуются.

### Обсуждение экспериментальных результатов

Измерение теплопроводности является одним из методов физико-химического анализа. Теплопроводность растворов, характеризующая обменный процесс количеством энергии между молекулами, близко отражает природу межмолекулярных сил. Те или иные различия в силовых полях молекул компонентов обуславливают определенные различия в свойствах растворов.

В электролитах силы взаимодействия между молекулами растворителя с ростом концентрации изменяются, а между тем ионное взаимодействие в широком интервале концентраций определяется кулоновским взаимодействием  $\sim (\epsilon^{1/2}r)^{-2}$ . Изучение теплопроводности растворов солей в растворителях с различными диэлектрическими постоянными  $\epsilon$  может дать определенное сведение о влиянии кулоновского взаимодействия на теплопроводность растворов.

Исследования водных растворов солей [1, 2, 4, 5] показывают наличие отрицательного хода теплопроводности от концентрации. Наши измерения неводных растворов (рис. 2 и 3) солей NaBr, NH<sub>4</sub>NO<sub>3</sub>, Ca(NO<sub>3</sub>)<sub>2</sub> в метаноле и ZnCl<sub>2</sub> в ацетоне дают положительный ход теплопроводности от концентрации.

Ридель [1] на основе опытных данных по теплопроводности водных растворов солей установил соотношение:

$$\lambda_0 = \lambda_B + \sum c_i \alpha_i,$$

где  $\lambda_0$  и  $\lambda_B$  — теплопроводность электролита и воды,  $c_i$  — молярная концентрация (моль/л),  $\alpha_i$  — коэффициенты, характерные для каждого иона. Ридель приводит таблицу значений  $\alpha_i$  для многих ионов.

Формула Риделя первоначально основывалась на предположении идеальности растворов, т. е. в растворах, где ионы не взаимодействуют между собой и не вызывают изменения межмолекулярных сил растворителя. Однако полученные экспериментальные результаты показывают, что формула Риделя также хорошо описывает ход теплопроводности водных растворов солей в областях больших концентраций, где идеальность раствора не имеет места.

Наши результаты свидетельствуют, что значения  $\alpha$  для ионов, приведенные в работе [1], не имеют универсального характера и тесно связаны со свойством самого растворителя. В самом деле, если для иона  $\text{Na}^+$  в растворителе метилового спирта полагать  $\alpha = 0$ , тогда для ионов  $\text{Br}^-$ ,  $\text{J}^-$ ,  $\text{K}^+$  согласно нашим данным, получаем значения  $\alpha_{\text{Br}^-} = +0,0070$ ,  $\alpha_{\text{J}^-} = 0,0000$ ,  $\alpha_{\text{K}^+} = 0,0000$ . Для этих же ионов в водном растворе Ридель определяет  $\alpha_{\text{Br}^-} = -0,0150$ ,  $\alpha_{\text{J}^-} = -0,0236$  и  $\alpha_{\text{K}^+} = -0,0065$ .

Известно, что формула А. С. Предводителяева — Н. Б. Варгафтика [14, 7]

$$\lambda = \frac{1}{\alpha} A \cdot c_p \rho^{4/3} M^{-1/3} \quad (1)$$

хорошо описывает теплопроводность нормальных и ассоциированных жидкостей. В этой формуле обозначены:  $\rho$  — плотность,  $c_p$  — теплоемкость,  $M$  — молекулярный вес,  $A$  — величина, не зависящая от рода жидкости, но являющаяся функцией температуры.  $\alpha$  — фактор, учитывающий степень ассоциации жидкостей.

Если принять значение  $\alpha$  одинаковым для растворителя и растворов солей, то из уравнения (1) можно получить соотношение

$$\lambda_0 = \lambda \frac{c_{p0}}{c_p} \left( \frac{\rho_0}{\rho} \right)^{4/3} \cdot \left( \frac{M}{M_0} \right)^{1/3}, \quad (2)$$

где индексы «0» относятся к растворам электролита. Для водных растворов электролитов, как указывается в работе [5], экспериментальные и вычисленные по уравнению (2) значения  $\lambda_0$  удовлетворительно согласуются. Поэтому весьма важно было выяснить, применимы ли к неводным растворам солей уравнения (2) и содержит ли оно в себе объяснения положительного хода теплопроводности неводных растворов солей в зависимости от концентрации.

В справочной литературе мы не могли найти интересующих нас экспериментальных данных по теплоемкости неводных растворов солей. Поэтому теплоемкость  $c_{p0}$  вычислялась нами по правилу аддитивности, что имеет место для растворов небольших концентраций, образующихся без существенной теплоты растворения. Плотность растворов определялась нами пикнометрическим методом и некоторые значения брались из справоч-

Таблица 3  
Коэффициенты теплопроводности растворов солей в метаноле при 25°

Соль	Содержание соли, вес. %	$\lambda_0$ ккал/м час °С	$\lambda_B$ ккал/м час °С	$\frac{\lambda_B - \lambda_0}{\lambda_0}$ , %
$\text{NH}_4\text{NO}_3$	13,3	0,193	0,187	—3,2
$\text{NaJ}$	15,0	0,181	0,181	0
$\text{KJ}$	15,0	0,181	0,177	—2,2
$\text{NaBr}$	10,0	0,187	0,185	—1,0
$\text{ZnCl}_2$	15,0	0,181	0,178	—1,6

ника [15]. Приведенные в табл. 3 сравнения экспериментальных и вычисленных по уравнению (2) значений теплопроводности свидетельствуют о наличии хорошего согласия между ними.

В заключение считаю своим долгом выразить благодарность проф. Х. И. Амирханову и Л. П. Филиппову за интерес к работе и обсуждение ее результатов.

### Выводы

1. В отличие от водных растворов солей обнаружено наличие положительного хода теплопроводности у неводных растворов солей в метаноле и для  $\text{ZnCl}_2$  в ацетоне в зависимости от концентрации.

2. Формула А. С. Предводителяева и Н. Б. Варгафтика хорошо описывает теплопроводность неводных растворов солей.

Дагестанский филиал АН СССР  
г. Махачкала

Поступила  
10. VI. 1957

### ЛИТЕРАТУРА

1. L. Riedel, Chem. Ing. Tech., **23**, 59, 1951.
2. L. Riedel, Chem. Ing. Tech., **22**, 54, 1950.
3. Л. П. Филиппов, Вестник МГУ, **6**, 59, 1954.
4. А. Ф. Капустинский и И. И. Рузавин, Ж. физ. химии, **29**, 2222, 1955; **30**, 548, 1956.
5. Н. Б. Варгафтик и Ю. П. Осьмиини, Теплоэнергетика, **7**, 11, 1956.
6. Л. П. Филиппов, Приборы и стенды, **II**, 56, 417, 1956.
7. Н. В. Варгафтик, Изв. ВТИ, **8**, 6, 1949.
8. A. R. Chaltoner, R. W. Powell, Proc. Roy. Soc., **A238**, 90, 1956.
9. Ф. Г. Эльдаров (в печати). Труды Даг. ФАН СССР, 1958.
10. Л. П. Филиппов, Диссертация МГУ, 1951.
11. Riedel, Chem. Ing. Techn., **23**, 321, 1951.
12. Ю. В. Карякин и И. И. Ангелов, Чистые химические реактивы, **М**, 1955.
13. Краткий справочник химика, **М**, 1954.
14. А. С. Предводителей, Ж. физ. химии, **22**, 339, 1948.
15. Техническая энциклопедия, 1930.

## THE THERMAL CONDUCTIVITY OF NON-AQUEOUS ELECTROLYTE SOLUTIONS

*F. G. Eldarov*

### Summary

In the report the results of measurements have been presented of the thermal conductivity of salt solutions in methanol and acetone at 25°C in relation to the concentration. The results obtained show that L. Rideal's equation for aqueous salt solutions  $\lambda_s = \lambda_b + \sum \alpha_i c_i$  may describe the dependence of the thermal conductivity on the molar concentration only for the given case. The coefficients  $\alpha_i$  depend upon the nature of the solvent. The data presented show that the modified Predvoditelev—Vargaftik formula describes well the thermal conductivities of salt solutions.

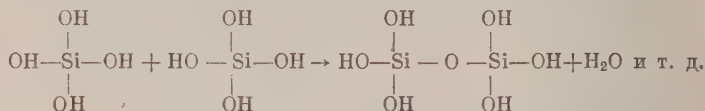


## ВЛИЯНИЕ ПРИРОДЫ ПОВЕРХНОСТИ СИЛИКАГЕЛЯ И КВАРЦА НА ИХ АДСОРБЦИОННЫЕ СВОЙСТВА

### 1. ИССЛЕДОВАНИЯ ГИДРАТАЦИИ ПОВЕРХНОСТИ КРЕМНЕЗЕМА

*М. М. Егоров, К. Г. Красильников и В. Ф. Киселев*

Уже давно было установлено, что в силикагелях и природных его разновидностях (опалах) содержится некоторое количество прочно связанной воды, которая удаляется лишь при повышенных температурах. Относительно природы этой воды и характера ее связи с кремнеземом долгое время не было никаких данных. Исследования образования коллоидного кремнезема при конденсации мономерной ортокремневой кислоты  $\text{Si}(\text{OH})_4$  и ее эфиров показали, что этот процесс идет самопроизвольно с выделением воды за счет  $\text{OH}$ -групп соседних частиц и образованием при этом кремнийкислородных связей согласно схеме [1]



Рост молекул поликремневых кислот может происходить в различных направлениях, вплоть до образования частиц коллоидных размеров. Получающийся в этом случае золь переходит затем при соответствующих условиях в гель. Таким образом, поверхность частиц геля оказывается покрытой валентно связанными со скелетом остаточными группами  $\text{OH}$  поликремневых кислот, продуктом конденсации которых и является силикагель. Подобные схемы строения поверхности силикагеля были приняты в работах [2—4]. На основании кристаллохимических данных о строении как кристаллических, так и аморфных форм кремнезема к аналогичным выводам пришли авторы работ [5—7].

Наличие гидроксильных групп на поверхности кремнезема хорошо согласуется с представлениями о строении и свойствах коллоидного кремнезема, частицы которого, суспендированные в воде, имеют отрицательный заряд, вызванный диссоциацией поверхностных  $\text{OH}$ -групп по кислотному типу, и подтверждается данными по гидролитической адсорбции различных солей и оснований из водных растворов, а также опытами по замещению водорода гидроксильной группы и целиком всей гидроксильной группы на органические радикалы. В последнее время присутствие гидроксильных групп на поверхности кремнезема было непосредственно установлено в результате исследований инфракрасных спектров поглощения силикагеля и пористых стекол [8—10]. С признанием существования гидроксильных групп на поверхности кремнезема связаны также работы по исследованию адсорбции родамина [11, 12] и изотопного обмена [13]. Количество структурной воды, содержащейся в силикагеле, может быть определено путем гидролиза диборана [14] с выделением водорода, а также (в случае чистых образцов, не содержащих посторонних примесей) из данных по потере в весе при прокаливании, а также путем взвешивания выделяющейся при этом воды. Выделение воды при прокаливании силикагеля

происходит не только за счет дегидратации поверхности, но также и за счет ее уменьшения в результате спекания отдельных частиц [3]. Обычно процессы развиваются параллельно, причем в зависимости от структуры силикагеля и его термической устойчивости последний процесс по мере повышения температуры прокаливания становится преобладающим.

При соприкосновении дегидратированной поверхности кремнезема с жидкой водой или ее насыщенным паром протекает процесс регидратации. Степень гидратации поверхности в значительной мере определяет ее энергетические и адсорбционные свойства. Несмотря на огромное число исследований адсорбционных свойств силикагеля, вопросы гидратации единицы поверхности кремнезема и зависимости ее от условий приготовления и обработки образцов не подвергались систематическому изучению. В настоящей работе мы поставили своей целью провести детальные исследования степени гидратации различных образцов кремнезема в зависимости температуры их прокаливания.

### Экспериментальная часть

В работе использовались семь различных образцов кремнезема. Силикагели марки КСК заводского изготовления перед опытом подвергались тщательной очистке. С этой целью образцы кипятились в разбавленной соляной кислоте до полного удаления примеси железа. Промытый и подсушенный силикагель обрабатывался парами

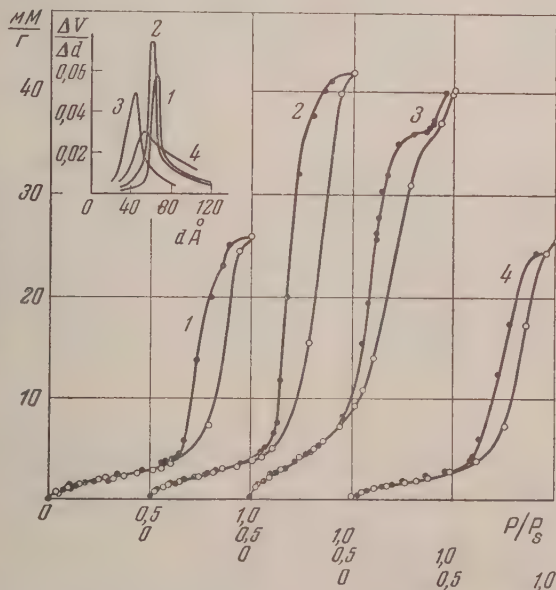


рис. 1. Изотермы адсорбции паров воды при 15° на исходных силикагелях: КСК-1 (1); КСК-2 (2); К-2 (3); К-3 (4) и вычисленные из этих изотерм объемные распределения объема пор по величинам их эффективных диаметров с поправкой на толщину адсорбированного слоя. Максимумы на кривых соответствуют: 1—65 Å; 2—60 Å; 3—44 Å и 4—54 Å

водной кислоты при 200° для разрушения органических примесей, снова кипятился в соляной кислоте, а затем промывался бидистиллированной водой. Силикагель К-2 был получен нами путем перегонки паров  $\text{SiCl}_4$  в чистую бидистиллированную воду количестве 125 г  $\text{SiCl}_4$  на 1 л воды по способу, описанному в [3]. Часть полученного таким образом силикагеля К-2 прокаливалась при 700° в токе водяного пара, после чего этот силикагель насыпался в кварцевую ампулу, которая заливалась водой, закрывалась и помещалась в автоклав, где силикагель находился в течение 16 час. при давлении пара в 40 атм. После обработки в автоклаве силикагель в течение года хранился под водой. Этот образец был обозначен «силикагель К-3». Все силикагели после подготовки и очистки просушивались при 120°, растирались в ступке и просеивались. Полученные порошки промывались несколько раз бидистиллированной водой для полного удаления пылевидных частиц и снова сушились при 120°. В качестве непористых образцов кремнезема применялись так называемая белая сажа (образец БС-1) и мо-

Таблица

Величины удельной поверхности и содержание воды для всех исследованных образцов кремнезема

Температура обработки, °С	Удельная поверхность, м <sup>2</sup> /г	Содержание воды, μМ/м <sup>2</sup>	Температура обработки, °С	Удельная поверхность, м <sup>2</sup> /г	Содержание воды, μМ/м <sup>2</sup>
Силикагель К-2д			Силикагель КСК-2д		
20	695	4,93**	300	400*	4,12
20	695	4,04	400	400	3,81
100	695	3,93	500	400	2,81
150	695	3,81	600	400	1,97
200	695	3,49	700	395*	1,55
250	695	3,01	Силикагель КСК-2г		
300	695*	3,20			
400	678*	2,24			
500	620*	1,74	500	400	3,82
600	600*	1,23	700	400	3,18
700	550*	0,98	Силикагель КСК-1д		
800	473*	0,858			
900	178*	0,875	20	275	5,22
Силикагель К-2г			100	275	5,00
300	695	2,64	200	275	4,85
600	600	2,48	300	275*	4,78
700	550	1,95	400	275	4,18
700	545*	2,32	500	275*	3,24
Силикагель КСК-3			Силикагель КСК-1г		
300	340*	4,13	400	275	4,63
Кварц			500	275	4,35
300	35,8*	15,7	Силикагель К-3д		
Силикагель КСК-2д			200	200	5,02
20	400	4,76	300	200*	4,68
100	400	4,48	500	200	3,08
200	400	4,20	700	200*	1,61
			Белая сажа БС-1		
			300	244*	4,20

\* Результаты непосредственного измерения удельной поверхности.

\*\* В ампулу с образцом были впущены пары воды. Индекс «д» при маркировке силикагеля означает дегидратированные образцы. Индекс «г» — вторично гидратированные образцы с последующей их обработкой при 300° С в течение 24 часов.

лотый кварц. Белая сажа получалась путем сжигания паров этилового эфира орто кремневой кислоты в условиях окислительного пламени при большом избытке воздуха и представляла собой весьма рыхлый порошок (насыпной вес 0,025 г/см<sup>3</sup>), который перед опытами слегка (вручную) спрессовывался [23]. Образец кварда получался путем отмучивания тонкомолотого кристаллического кварца. Выделенная фракция с целью очистки промывалась несколько раз соляной кислотой, а затем биодистиллированной водой на специально подготовленном фильтре.

Все исследованные силикагели подвергались термической обработке при различных температурах. Определение величин удельной поверхности полученных таким образом образцов производилось из изотерм адсорбции паров азота при температуре его кипения по методу БЭТ. Измерения производились на объемной установке [15]. Полученные данные приведены в табл. 1. Исследование адсорбции паров воды производилось на установке с кварцевыми пружинными весами. Задавшая упругость паров поддерживалась при помощи криостата. Результаты измерений приведены на рис. 1. Десорбционные ветви всех изотерм были получены после выдерживания навесок исследуемых силикагелей при  $p/p_s = 1$  в течение двух суток. Из десорбционных ветвей этих



терм были рассчитаны кривые распределения объема пор по величинам их эффективных диаметров. Как следует из данных, приведенных на рис. 1, использованные силикагели принадлежат к разряду крупнопористых адсорбентов [16]. Исследование структуры термически обработанных силикагелей мы не проводили, так как при прокаливании силикагелей, согласно [17, 18], меняется лишь объем пор, диаметр же их сохраняется неизменным.

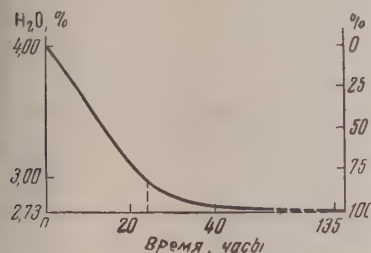


Рис. 2

ис. 2. Изменение содержания воды в образце силикагеля К 2, предварительно высушенного при 300° ( $H_2O$  — 4,00%), в процессе его дальнейшего прокалывания при 400° ( $H_2O$  — 2,73%)

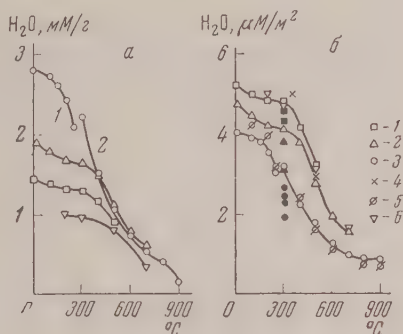


Рис. 3

ис. 3. Содержание воды в силикагелях КСК-1 (1); КСК-2 (2); К-2(3) и К 3(6) в зависимости от температуры прокалывания образца в расчете на 1 г (а) и на 1 м² поверхности (б). Данные [4] принадлежат Шапиро и Вейс [14]; данные [5] Бастикю [4, 17]. Черные точки соответствуют образцам, гидратированным после их термической обработки жидкой водой в течение 5—7 суток и просушенным затем в течение 24 час. при 300°

Прокалывание всех образцов проводилось на воздухе в автоматически регулируемой ( $\pm 3^\circ$ ) муфельной печи в течение 24 час. Температура печи контролировалась помощью самопишущего потенциометра. Предварительными опытами было установлено, что скорость выделения воды силикагелем при термической обработке по мере увеличения времени прокалывания резко падает. Согласно данным, приведенным на рис. 2, силикагель К-2 при прокалывании от 300 до 400° за 24 часа потерял 85% воды от выделившейся за 135 час. Полученные образцы хранились в запаянных ампулах. Определение содержания воды во всех образцах проводилось путем прокалывания лавосок силикагеля в платиновом тигле при 1250° до постоянного веса. В расчет принималось среднее из трех определений. Полученные данные представлены в табл. 1 и на рис. 3.

## Результаты и их обсуждение

Степень гидратации поверхности кремнезема определяется содержащейся в нем структурной водой. На рис. 3 и в табл. 1 приведены данные по содержанию воды для всех изученных образцов кремнезема. Как видно из этого рисунка, начиная с температуры 300° и до температур порядка 600—700°, кривые зависимости содержания структурной воды от температуры прокалывания, рассчитанные на 1 г и на 1 м² поверхности, идут симбатно, указывая на то, что потеря структурной воды в этом интервале температур происходит преимущественно за счет дегидратации поверхности. При более высоких температурах кривая 3 (рис. 3, б) становится значительно более пологой; выделение воды в этом случае идет в основном за счет уменьшения поверхности в результате спекания силикагеля. При температурах выше 1000° поверхность силикагеля падает до нескольких м² и измеряемые эффекты находятся уже на границе чувствительности применяемой методики. Однако, как показывают данные инфракрасной спектроскопии [9], и при этих температурах не происходит еще полной



дегидратации поверхности. При низких температурах, помимо структурной воды, удаляется и адсорбированная вода. Весьма важно познать возможность различить адсорбированную и структурную воду, поскольку экспериментально из потери при прокаливании получается общее содержание воды в силикагеле. Результаты измерения теплот сгорания водой силикагелей, прокаленных при разных температурах [7] а также недавно опубликованные данные по зависимости адсорбции на воде от температуры прокалывания пористых стекол [20] показывают, эти адсорбционные характеристики в интервале температур 200—300° проходят через максимум. Авторы объясняют это тем, что при указанной температуре поверхность полностью освобождается от адсорбированной воды, сохраняя при этом максимальную для данного образца гидратацию. Ранее к таким же выводам на основании изучения инфракрасных спектров поглощения адсорбированной воды пришел автор работы [9]. Однако возможна и другая интерпретация полученных экспериментальных данных, основанная на допущении того, что некоторая часть соседних гидроксильных групп на поверхности взаимодействует между собой с образованием водородных связей. Это должно привести к снижению энергии поверхности, а также и ее адсорбционных свойств по отношению к молекулам, адсорбция которых обязана проявлению водородной связи. Для выяснения этих вопросов необходимы еще дальнейшие исследования. В связи с вышесказанным в настоящей работе мы приняли за стандартную температуру обработки образцов силикагеля 300°, соответствующую максимальной адсорбционной активности поверхности. Вблизи этой температуры на кривых обезвоживания силикагелей (рис. 3) имеется характерный перегиб, который наблюдался и в работе [20].

Необходимо отметить, что процессы дегидратации, а также и гидратация поверхности силикагеля, протекают чрезвычайно медленно и полные изменения в каждом отдельном случае состояния, даже при длительной обработке образцов (до пяти суток), не являются равновесными. Данные, полученные в этой работе, показывают, что содержание структурной воды, отнесенное к единице поверхности, неодинаково для различных силикагелей, так как при совершенно идентичных условиях подготовки образцов с различной величиной удельной поверхности мы не получили поверхности одинаковой степени гидратации. Как видно из рис. 3 и табл. 1, силикагель с большей величиной удельной поверхности соответствует меньшей гидратации единицы поверхности, и наоборот. Даже обработка силикагеля в автоклаве при благоприятных условиях для гидратации не дала, как это видно из табл. 1 (силикагель К-3), поверхности, гидратированной более, чем у образца примерно с такой же поверхностью, обработанного при стандартных условиях. В противоположность этим данным, в работе [21] на основе сопоставления числа гидроксильных групп с величиной удельной поверхности силикагелей, высушенных в вакууме при низких температурах, до 200° (это сопоставление в работе не приведено), сделан вывод, что их поверхности при этих условиях гидратированы одинаково. Как видно из рис. 3, по крайней мере, в случае изученных нами образцов, гидратация поверхности как при стандартной температуре прокалывания (300°), так и при более низких температурах (150—200°) различна для образцов с различной величиной удельной поверхности. Сопоставление наших данных с результатами других авторов [14, 17], приведенные на рис. 3, показывают, что найденная нами связь между степенью гидратации образца и величиной его удельной поверхности не является случайной. Например, измерения произведенные в [17] на силикагеле, имеющем удельную поверхность 697 м<sup>2</sup>/г, практически полностью совпадают с нашими данными для силикагеля К-2 (695 м<sup>2</sup>/г). Качественно та же зависимость показывают и данные работы [14]. Все эти результаты противоречат измерениям, проведенным в работе [22], согласно которым степень покрытия поверхности гидроксильными группами при прокаливании остается постоянной

причина этого, по-видимому, лежит в ошибках, сделанных в этой работе при определении величины удельной поверхности образцов из изотерм адсорбции паров метилового спирта \*. С целью исследования гидратации термически дегидратированной поверхности мы выдерживали образцы, пропеленные при различных температурах, в воде в течение пяти суток и т.д.

Как видно из рис. 3, количество структурной воды на поверхности и этом резко возрастает, оставаясь во всех случаях ниже количества структурной воды на исходном образце, прокаленном при  $300^\circ$ , т. е. процесс дегидратации и вторичной гидратации является в условиях наших опытов необратимым.

Исходя из соотношения числа атомов Si в объеме и на поверхности отдельной частицы силикагеля, можно оценить площадку, приходящуюся на ОН-группу при условии, что каждый атом Si на поверхности удерживает один гидроксил. Такая оценка, приведенная в [4], дает величину площадки, приходящейся на одну гидроксильную группу,  $\omega_{\text{ОН}} = 12,5 \text{ \AA}^2$ , что соответствует количеству структурной воды  $6,6 \text{ \AA}^2/\text{м}^2$ . В связи с этим необходимо отметить, что понятие о полностью гидратированной поверхности кремнезема содержит некоторую условность, связанную с кристаллохимическими особенностями строения его поверхности. Действительно, под полной гидратацией поверхности можно понимать такое положение, при котором на каждый атом кремния на поверхности приходится одна или две гидроксильные группы. В случае кристаллических модификаций кремнезема: тридимита и  $\beta$ -кristобалита, структуры которых приводятся Эйлером [4], реализуются как первое, так и второе положения. Однако эти предельные возможности всегда ограничены таким расположением некоторой части тетраэдров  $\text{SiO}_4$ , при котором все валентности атомов кислорода направлены в объем, т. е. насыщены за счет соседних тетраэдров. В случае силикагелей различие в строении поверхности может возникнуть при их приготовлении и зависеть от ряда факторов, определяющих «биографию» образца. Известно, например, что реакция среды, время созревания, температура и т. д. в процессе получения силикагелей приводят к образованию образцов с резко различными адсорбционными свойствами, в частности, с различной величиной удельной поверхности. Таким образом, степень гидратации поверхности кремнезема не есть величина постоянная, она зависит от кристаллохимических особенностей строения поверхности различных форм кремнезема и определяется числом валентностей поверхностных атомов, не связанных полностью с объемной структурой кремнезема. Гидратация поверхности всех изученных образцов кремнезема, обработанных в одинаковых условиях, различна. Как следует из данных, приведенных в табл. 1, для исследованных силикагелей она не превышает  $4,78 \text{ \AA}^2/\text{м}^2$ . Содержание структурной воды на поверхности кварца оказывается значительно большим и составляет  $15,7 \text{ \AA}^2/\text{м}^2$ . Это объясняется, по-видимому, тем, что в соответствии со структурой  $\alpha$ -кварца атомы кремния на поверхности связаны преимущественно не с одной, а с двумя гидроксильными группами.

### Выводы

1. Степень гидратации единицы поверхности кремнезема различна для всех исследованных образцов даже при совершенно одинаковых условиях их подготовки.
2. При прочих равных условиях степень гидратации зависит от кристаллохимических особенностей строения поверхности.

\* Согласно этим измерениям, удельная поверхность одного из силикагелей возрастает при повышении температуры прокаливания от  $700$  до  $800^\circ$ .

3. Вторичная гидратация исследованных нами образцов не приводит к полному восстановлению поверхности.

Авторы выражают благодарность Б. В. Ильину за интерес к этой работе и ее поддержку.

Московский государственный университет  
им. М. В. Ломоносова

Поступила  
5. VI. 1957

#### ЛИТЕРАТУРА

1. Б. Н. Долгов, Химия кремнийорганических соединений, НТИ, 1933.
2. E. K. Rideal, Trans. Farad. Soc., **32**, 4, 1936.
3. А. В. Киселев, Коллоидный журнал, **2**, 17, 1936.
4. R. K. Iler, The Colloid Chemistry of Silica and Silicates, Cornell. Univ., 1955.
5. E. A. Hauser, J. Phys. & Coll. Chem., **52**, 1165, 1948.
6. P. C. Sarmant, Trans. Farad. Soc., **36**, 964, 1940.
7. W. Weyl, Research, **5**, 230, 1950.
8. А. Н. Теренин и Н. Г. Ярославский, ДАН СССР, **66**, 885, 1949.
9. Н. Г. Ярославский, Ж. физ. химии, **24**, 68, 1950.
10. Л. Н. Курбатов и Г. Г. Неуймин, ДАН СССР, **68**, 341, 1949.
11. H. Kautsky, R. Michel, Zs. Naturforsch., **7b**, 414, 1952.
12. W. Stöber, Koll. Zs., **145**, 17, 1956.
13. G. A. Mills and S. Hindin, J. Am. Chem. Soc., **72**, 5549, 1950.
14. I. Shapiro, H. G. Weiss, J. Phys. Chem., **57**, 219, 1953.
15. К. Г. Красильников, В. Ф. Киселев, Н. В. Капитанова, Е. А. Сысоев, Ж. физ. химии, **31**, 1448, 1957.
16. А. В. Киселев, Ж. физ. химии, **23**, 452, 1949.
17. I. Bastick, Bull. Soc. Chim. France, 437, 1953.
18. R. A. Van Norstrand, W. E. Kregger, H. E. Ries, J. Phys. & Colloid Chem., **55**, 621, 1951.
19. М. М. Егоров, К. Г. Красильников и Е. А. Сысоев, ДАН СССР, **108**, 103, 1956.
20. С. П. Жданов, Поверхностные химические соединения и их роль в явлениях адсорбции, Изд-во МГУ, стр. 129, 1957.
21. А. В. Киселев, Поверхностные химические соединения и их роль в явлениях адсорбции, Изд-во МГУ, стр. 90, 1957.
22. В. А. Дзясько, А. А. Вишневская и В. Е. Чесалова, Ж. физ. химии, **24**, 1416, 1950.
23. А. К. Боневская, Е. А. Леонтьев и Е. А. Харламов, Ж. прикладной химии, **30**, 1237, 1957.

#### THE INFLUENCE OF THE NATURE OF SILICA GEL AND QUARTZ SURFACES ON THE ADSORPTION PROPERTIES

##### I. A STUDY OF THE HYDRATION OF THE SILICA SURFACE

*M. M. Egorov, K. G. Krasilnikov, V. F. Kiselev*

##### Summary

The degree of hydration per unit silica surface was found to differ for all specimens investigated even when the conditions of their treatment were the same. All other conditions being equal, the hydration depends upon the crystallochemical specificity of the surface structure. The rehydration of the surface of the specimens did not lead to complete restoration of their surface.



МЕТОДЫ И ТЕХНИКА ФИЗИКО-ХИМИЧЕСКОГО  
ИССЛЕДОВАНИЯ

## ЛАБОРАТОРНЫЙ ТЕРМОСТАТ С АВТОНОМНЫМ ПИТАНИЕМ

**В. С. Лапик, П. М. Калачев, Ю. А. Силкин  
и К. В. Чмутов**

В практике физико-химических исследований нередко возникает потребность в термостате на средние температуры с автономным питанием. Такой термостат необходим, в частности, при проведении длительного термостатирования (в течение нескольких суток или недель). Использование для этой цели обычных термостатов с питанием от сети требует по условиям техники безопасности наблюдения за ними, т. е. круглосуточных дежурств. Между тем в условиях любой физико-химической лаборатории может быть легко изготовлен термостат с автономным питанием от аккумуляторной батареи, позволяющий осуществлять термостатирование в течение длительного времени без наблюдения. Основное внимание при изготовлении такого термостата нужно уделить уменьшению потерь тепла. Ниже приводится описание такого термостата.

Термостатируемый объект (например, сосуд с жидкостью) помещается в сосуд-юара, заполненный термостатирующей жидкостью. В качестве такой жидкости использовался глицерин, допускающий работу при температурах до 300°C. Нагреватель мощностью 6 W помещен непосредственно в термостатирующую жидкость и подсоединен к работе от шестивольтовой аккумуляторной батареи. Низкое напряжение питания обеспечивает безопасность работы. Нагреватель может быть открытого типа, т. е. простою спиралью из нихрома. В качестве регулирующего органа используется обычная релейная схема, подобная описанным в литературе [1], но с питанием аккумуляторной батареи. Перемешивание осуществляется путем барботажного воздуха (из баллона со сжатым воздухом).

Описанный термостат потребляет в среднем 2,5—3 W при температуре термостатирования 75°C и объеме термостатируемой жидкости 100 мл (объем термостатирующей жидкости 1 л). Точность поддержания температуры  $\pm 0,25^\circ$ . Эта точность может быть легко повышена до  $\pm 0,1^\circ$  за счет улучшения перемешивания и применения нагревателя с развернутой поверхностью.

Поступила  
27. II. 1958

## ЛИТЕРАТУРА

К. В. Ч м у т о в, Техника физико-химического исследования.

## A LABORATORY THERMOSTAT WITH INDEPENDENT CURRENT SUPPLY

**V. S. Lapik, P. M. Kalachev, Yu. A. Silkin, K. V. Chmutov**

## S u m m a r y

A simple thermostat with autonomous current supply has been described, permitting constant temperature maintenance for prolonged periods (several days or weeks) without attention. The current supply is 2.5—3 wt. at a thermostatted temperature of  $+75^\circ\text{C}$ , the volume of the constant temperature liquid being 100 ml. The current is supplied by a 6 volt battery.



# ОБ ОПРЕДЕЛЕНИИ ВЫСОТЫ ПОЛЯРОГРАФИЧЕСКИХ ВОЛН ПРИ ОТСУТСТВИИ ПЛОЩАДКИ ПРЕДЕЛЬНОГО ТОКА

С. Г. Майрановский

В полярографической практике часто встречаются случаи, когда верхняя часть волны сильно искажена наступлением следующего (по ходу изменения потенциала) электрохимического процесса, так что непосредственное измерение высоты волны представляется возможным. Это имеет, например, место при наступлении последующей волны на многоступенчатых полярограммах, а также в случае необратимых каталитических волн водорода, когда площадка предельного тока нередко маскируется начавшимся спадом тока [1].

В настоящей работе приведены два способа нахождения высот волн в случае отсутствия у них площадки предельного тока.

Рассмотрим полярографическую волну, описываемую выражением

$$E = E_{1/2} - b \lg \frac{i}{i_{\text{пр}} - i}$$

где  $E$  — потенциал электрода,  $i$  — сила тока при этом потенциале,  $i_{\text{пр}}$  — предельный ток,  $E_{1/2}$  и  $b$  — постоянные.

Можно показать, что этому уравнению подчиняется большинство полярографических волн. Для случая обратимых процессов это уравнение не вызывает сомнения: при этом для катодных обратимых волн  $b = 2,3 RT/nF$ , для анодных — знак перед  $b$  меняется на обратный. Для необратимых процессов дело обстоит несколько сложнее. В случае электродов с постоянной величиной поверхности, т. е. не для капельного ртутного электрода, уравнение (1) справедливо и для необратимых процессов с  $b = 2,3 RT/\alpha nF$ , где  $\alpha$  — коэффициент переноса.

Однако, как это отметил А. Н. Фрумкин [2], на растущей поверхности капельного электрода при сохранении ее потенциала постоянным концентрация необратимо разряжающегося деполяризатора у поверхности электрода в течение периода жизни капли не остается постоянной. Это приводит к тому, что необратимая волна, снятая на капельном электроде (с поправкой на ток зарядки), несколько отличается по форме и величине потенциала полувысоты  $E_{1/2}$  от кривой, снятой на неподвижном электроде. На основе теоретических расчетов, проведенных с учетом изменений поверхности концентрации деполяризатора в течение жизни капли, Н. Мейман вывел строгое уравнение необратимой волны на капельном электроде [3]. Это уравнение, согласно измерениям В. С. Багодского [4], проведенным для типичной необратимой полярографической волны — разряда ионов водорода, — прекрасно согласуется с опытными данными. Пересчет показывает, что зависимость для необратимой волны, полученная Н. Мейманом [3], может быть с достаточной точностью представлена уравнением типа (1), в котором, правда, величина  $E_{1/2}$  немного отличается от величины, полученной с неподвижным ртутным электродом, а значение  $b = 2,3 RT/\alpha n'F$ , вместо истинного коэффициента  $\alpha$ , содержит несколько отличную от него величину  $\alpha'$ . Согласно В. С. Багодскому [4], для разряда ионов водорода величина  $E_{1/2}$  при переходе к капельному электроду становится положительнее на  $\sim 12$  мВ и, как показал сделанный нами расчет,  $\alpha'/\alpha \approx 1,03$ .

На рис. 1 приведена зависимость  $\lg \frac{i}{i_{\text{пр}} - i} - \lg i_0$ , построенная по таким же данным Н. Меймана [3] для  $i$  и  $i_0$ , причем величина  $\lg i_0$  пропорциональна потенциалу электрода.

Уравнение Н. Меймана получено для общего случая необратимых процессов, скорость которых ограничена реакцией первого порядка, протекающей на поверхности электрода, поэтому все сказанное выше справедливо для любых необратимых волн. Действительно, как показывает опыт, подавляющее большинство необратимых волн восстановления органических соединений в забуференных растворах описывается уравнением типа (1).

Уравнение (1) в координатах  $E - \lg \frac{i}{i_{\text{пр}} - i}$  выражается прямой 1 рис. 2

обратной величиной наклона, равной  $b$ . Построим на том же рис. 2 кривую 2, описывающую волну в координатах  $E - \lg i$ . Касательная к этой кривой на участке низких токов (прямая 3) параллельна прямой 1 и отстоит от нее по оси  $\lg i$  на величину  $\lg i_{\text{пр}}$ . С увеличением тока кривая 2 отходит от 3, достигая в сторону прямой 1 и, наконец, при некотором значении  $\lg i^*$  пересекает последнюю. Нетрудно показать, что

$$i_{\text{пр}} - i^* = 1.$$

Проведем на том же рисунке прямые 4 и 5, параллельные 3 и отстоящие от нее вниз по оси  $\lg i$  на расстояниях  $\lg i_{\text{пр}} k$  (где  $k$  — некоторые положительные величины), т. е. построим прямые, выражаемые уравнением:

$$E = \text{const} - b \lg \frac{i}{k(i_{\text{пр}} - i)}. \quad (2)$$

Эти прямые пересекают логарифмическую кривую волны 2 в точках, имеющих ординату  $i_{\text{пр}} k$ , причем, как нетрудно показать,  $i_{\text{пр}} - i^* = 1$ , или

$$i_{\text{пр}} = i^* + 1/k. \quad (3)$$

Предположим теперь, что при построении прямых 4 и 5 для нахождения отрезков  $i_{\text{пр}} k$ , откладываемых по оси ординат, взято не истинное значение  $i_{\text{пр}}$ , а некоторая, близкая к нему, ошибочная величина. Полученные при этом прямые 4' и 5' (рис. 2,

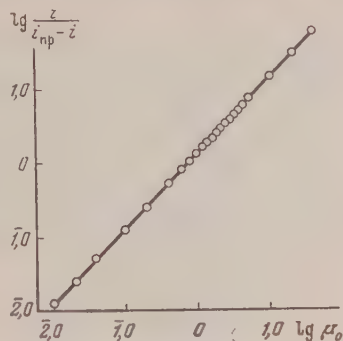


Рис. 1. Зависимость  $\lg i / (i_{\text{пр}} - i)$  от  $\lg \mu_0 (\approx E)$  для необратимых волн по данным Н. Меймана [3]

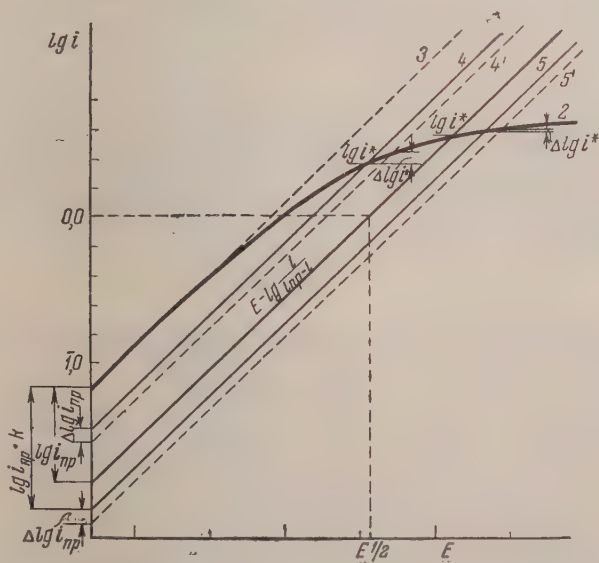


Рис. 2. Схема, поясняющая способ нахождения предельного тока

проведены пунктиром) отстоят по оси  $\lg i$  от прямых 4 и 5 на величину  $\Delta \lg i_{\text{пр}}$  ( $\Delta \lg i_{\text{пр}}$  — логарифм отношения ошибочного значения  $i_{\text{пр}}$  к истинному), а ординаты их точек пересечения с кривой 2 отличаются от соответствующих точек на прямых 4 и 5 на  $\Delta \lg i^*$ . Если обозначить абсциссу точки пересечения кривых 4 и 5 с кривой 2 через  $E^*$ , то можно показать, что при таких  $k$ , когда  $|E^*| > |E_{1/2}|$ , где  $E_{1/2}$  — потенциал по-

луволены,  $\Delta \lg i_{\text{пр}} > \Delta \lg i^*$ , причем с ростом  $k$  (т. е. со сдвигом  $E^*$  на рис. 2 вниз)  $\Delta \lg i^*$  уменьшается, стремясь к нулю.

Это свойство логарифмических кривых полярографических волн и положено в основу способа нахождения предельных токов методом последовательных приближений. Сущность его заключается в следующем.

1. Исходя из экспериментальных полярографических данных, строится кривая  $E - \lg i$ .

2. Проводится касательная к участку низких значений токов полученной кривой. Построение касательной значительно облегчается, если известен угловой коэффициент  $b$ .

3. Из общего вида полярографической волны или по другим данным приблизительно оценивается величина предельного тока  $i_{\text{пр}}^0$ , которая принимается для расчета в качестве нулевого приближения.

4. Выбирается величина  $k$ . Выбор ее определяется степенью искажения полярографической волны последующим электрохимическим процессом; чем больше искажена волна, тем меньше должен быть коэффициент  $k$ . Следует, однако, помнить, что с понижением  $k$  падает точность определения  $i_{\text{пр}}$ . Опыт показывает, что удобнее брать такие  $k$ , чтобы  $i_{\text{пр}}^0 k = 2 \div 5 \text{ } \mu\text{A}$ . Для мало искаженных волн  $k$  может быть и больше.

5. Проводится прямая, параллельная касательной и отстоящая от последней на расстоянии по оси  $\lg i$  на величину  $\lg i_{\text{пр}}^0 k$ .

6. Находится ордината точки пересечения этой прямой с логарифмической кривой —  $\lg i^*$ , определяется  $i^*$ , и по (3) находится первое приближение предельного тока  $i_{\text{пр}}'$ .

7. Полученное приближение  $i_{\text{пр}}'$  используется вместо  $i_{\text{пр}}^0$  для нахождения на том же графике по пункту 5 более точного второго приближения  $i_{\text{пр}}''$  и т. д. Практика показывает, что при разумном выборе  $i_{\text{пр}}^0$  достаточно одного такого цикла определений. В случае сильно искаженной волны (искажение начинается вблизи  $E_{1/2}$ ), когда невозможно сколько-нибудь точная оценка ее высоты (т. е. правильный выбор  $i_{\text{пр}}^0$ ), также приходится пользоваться низкими  $k$ , число последовательных определений возрастает.

8. Окончательное определение  $i_{\text{пр}}$  полезно в целях проверки проводить при нескольких значениях  $k$ .

9. Если волна данного вещества в данных условиях исследуется впервые, то необходимо построить прямую по уравнению (1) с использованием найденного значения  $i_{\text{пр}}$ , чтобы убедиться в том, что изучаемая волна подчиняется выражению (1).

Описанный способ может быть применен и к нахождению  $i_{\text{пр}}$  волн, описываемых уравнениями, отличными от уравнения (1). Так, например, если обратимая каталитическая волна водорода в буферном растворе, выражаемая уравнением (5)

$$E = E_0 - \frac{RT}{F} \ln \frac{i^*/i_0}{i_{\text{пр}} - i},$$

искажена в верхней части наступлением следующего процесса, то для нахождения ее  $i_{\text{пр}}$  следует построить по опытным данным график  $E - 2/3 \lg i$ , провести прямую, параллельную касательной к ней (на расстоянии  $\lg i_{\text{пр}}^0 k$  от нее), найти точку пересечения, отвечающую  $2/3 \lg i^*$ , вычислить  $i^*$  и, наконец, определить  $i_{\text{пр}} = i^* + 1/3 i_{\text{пр}}^0$ .

Из логарифмических графиков легко может быть найдено значение потенциала полуволны, представляющего собой абсциссу точки пересечения прямой, выражаемой уравнением (1) [или, что то же самое, уравнением (2) при  $k = 1$ ] с прямой  $\lg i = 0$ .

На рис. 3 в качестве примера искаженной волны, к которой может быть применен метод, приведена полярограмма раствора  $2,7 \cdot 10^{-4} \text{ M}$  *n*-нитротолуола (1-я ступень)  $9 \cdot 10^{-4} \text{ M}$   $\text{Ti}^+$  в буферном растворе с  $\text{pH} = 4,3$  (содержащем 2% метанола), а также ее график  $E - \lg i$ . На рис. 4 приведены аналогичные кривые для необратимой каталитической волны водорода, вызываемой хином [1]. Пунктиром на этих рисунках показаны верхние части волн, которые наблюдались бы в случае отсутствия искажений.

Следует указать, что приведенный способ дает хорошие результаты лишь для волн, искажения у которых начинаются выше точки полуволны.

Второй способ нахождения высоты волны требует знания уравнения волны, величины  $b$ , а также весьма точных значений тока и потенциала в нескольких точках волны. Напишем выражение для двух точек волны (с  $i_1$  при  $E_1$ , и  $i_2$  при  $E_2$ ):

$$E_1 = E_{1/2} - b \lg \frac{i_1}{i_{\text{пр}} - i_1} \quad \text{и} \quad E_2 = E_{1/2} - b \lg \frac{i_2}{i_{\text{пр}} - i_2}. \quad (4)$$

Вычитая из одного выражения другое и производя несложные преобразования, получим

$$i_{\text{пр}} = \frac{i_1 i_2 (\beta - 1)}{\beta i_1 - i_2}, \quad (5)$$

где  $\beta = 10^{(E_1 - E_2)/b}$  или  $\lg \beta = (E_1 - E_2)/b$ . Для катодных волн при  $i_2 > i_1$ ,  $E_1 - E_2 > 0$ .  
 Определение  $i_{\text{пр}}$  по (5) необходимо повторить для нескольких пар значений  $i$  и  $E$  (неискаженной части волны) и затем брать среднюю величину  $i_{\text{пр}}$ .

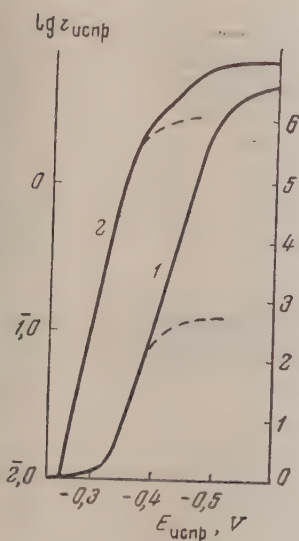


Рис. 3

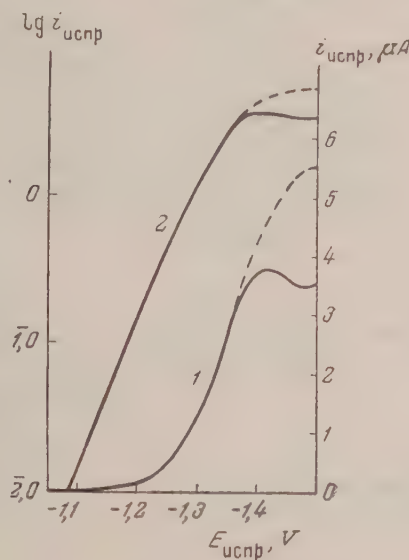


Рис. 4

Рис. 3. Полярограммы растворов: 1 — *n*-нитротолуола и Tl<sup>+</sup> при pH = 4,3 и 2 — ее логарифмический график

Рис. 4. 1 — каталитическая волна водорода, вызываемая хинином при pH = 3,0 и 2 — ее логарифмический график. Концентрация хинина  $7,8 \cdot 10^{-6}$  М

Потенциал полуволны можно вычислить по уравнению

$$E_{1/2} = E_1 + b \lg \frac{i_1}{i_{\text{пр}} - i_1}, \quad (6)$$

которое легко получается из (4) при  $E_2 = E_{1/2}$  и

$$i_2/(i_{\text{пр}} - i_2) = 1.$$

Несмотря на кажущуюся простоту второго способа, нахождение  $i_{\text{пр}}$  по нему требует весьма тщательного определения  $i$  (со всеми поправками) и особенно  $E$ , которые следует измерять потенциометрически при помощи электрода Лужина.

Нетрудно вывести также выражения для определения  $i_{\text{пр}}$  в случае волн, описываемых уравнениями более сложными, чем (1).

Описанные способы впервые позволили определить истинную высоту необратимых каталитических волн водорода [1, 6].

Необходимо отметить, что уравнение (1) было использовано для нахождения предельного тока и потенциала полуволны обратимых волн по методу наименьших квадратов [7]. Было показано, что метод этот даст очень точные результаты, однако требуемые для этого расчеты довольно трудоемки.

Автор благодарен акад. А. Н. Фрумкину за ценные указания.



## Выводы

1. Показано, что необратимые полярографические волны на капельном электроде могут быть выражены уравнением типа (1).

2. Предложен графо-аналитический способ нахождения величины предельных токов полярографических волн, не имеющих площадки предельного тока.

3. Указано, что если известно уравнение волны и имеются достаточно точные значения токов и потенциалов в нескольких точках волны, то ее высота может быть найдена решением системы уравнений типа (1).

Академия наук СССР  
Институт органической химии  
им. Н. Д. Зелинского

Поступила  
27. II. 1958

## ЛИТЕРАТУРА

1. С. Г. Майрановский, Докл. АН СССР, **120**, 1294, 1958.
2. А. Н. Фрумкин, Acta phys. chim. URSS, **18**, 38, 1943.
3. Н. Мейман, Ж. физ. химии, **22**, 1454, 1948.
4. В. С. Багодкий, Ж. физ. химии, **22**, 1466, 1948.
5. С. Г. Майрановский, Докл. АН СССР, **114**, 1271, 1957.
6. С. Г. Майрановский, Изв. АН СССР, Отд. хим. н., № 4, 622, 1953.
7. V. B. Vouk, P. K. Karmalkar, O. A. Weber, Archiv za kemiju, **27**, 9, 1951.

# DETERMINATION OF THE HEIGHT OF THE POLAROGRAPHIC WAVE IN THE ABSENCE OF A LIMITING CURRENT PLATEAU

*S. G. Mairanovsky*

## Summary

It has been shown that irreversible polarographic waves on the dropping electrode may be expressed by equations of the type:

$$E = E_{1/2} - \text{blg} \frac{i}{i_{\text{up}} - i}$$

A graphoanalytic method has been proposed for obtaining the values of the limiting polarographic wave currents in the absence of a limiting current plateau. It was pointed out that if the wave equation is known and there are sufficiently exact current and potential values for a number of points on the wave, its solution may be obtained by solving the system of equations of the type (1).

## ВЫСОКОЧУВСТВИТЕЛЬНОЕ РЕЛЕ

В. Т. Аггуль

Конструирование реле на основе стрелочных показывающих приборов описано [1, 2]. Однако осуществление этих конструкций связано с установкой контактов на калах и стрелках, т.е. фактически с поломкой прибора. Если речь идет о дешевых приборах, это не имеет особого значения, но и чувствительность подобных реле будет невысока. В случае дорогих приборов это нежелательно, поэтому нами предложен другой вариант высокочувствительного реле.

Очень чувствительное реле с током срабатывания  $0,25 \mu\text{A}$  и меньше можно собрать при помощи стандартных деталей на базе распространенного микроамперметра М91 со световой стрелкой. Здесь возможны два варианта: первый требует снятия крышки прибора и установления на шкале при помощи пластины небольшого зеркала  $1 \times 1 \text{ см}$ .

Луч света, отраженный от зеркала, заставляет срабатывать фотореле, помещенное снаружи прибора, на его крышке. Предлагается следующая простая схема фотореле (рисунок). Темновой ток через реле и фотосопротивление равен  $10-20 \mu\text{A}$ . Ток от светового импульса при отражении зайчика от зеркала составляет  $3-4 \text{ mA}$ . От такого тока срабатывают использованные в схеме реле типа РП-4 или РП-5. Эти поляризованные реле необходимо перерегулировать на простые; можно применять и другие типы соответственной чувствительности. Выпрямитель, фотосопротивление и реле монтируются на пластине, соответствующей по размерам стеклу гальванометра. Для монтажа фотосопротивления ФСК-1 в пластине просверливается отверстие напротив зеркала. Смонтированное устройство закрывается кожухом и без креплений ставится на стекло гальванометра.

Второй вариант не требует снятия крышки прибора и применения зеркала. Фотосопротивление в этом случае освещается рассеянным светом, отраженным от белой шкалы гальванометра. Реле для данного варианта должно быть более чувствительным и срабатывать от токов до  $2 \text{ mA}$ , так как световой сигнал будет более слабым.

Если реле используется в цепи терморегуляторов, для предотвращения «проскакивания» зайчика в схеме может быть применено устройство с поляризованным реле [3].

Академия наук СССР  
Институт физической химии  
Москва

Поступила  
4. V. 1958

## ЛИТЕРАТУРА

1. К. В. Чм у т о в, Техника физико-химического исследования, изд. 3, 1954, Госхимиздат, М.—Л.
2. Г. И. К о с о у р о в, Приборы и техн. экспер., 1, № 3, 90, 1956.
3. Н. Г. А л е к с е е в и В. А. П р о х о р о в, Ж. физ. химии, 30, 1144, 1956.

## HIGH-SENSITIVITY RELAY

V. T. Aggul

Summary

A high-sensitivity relay constructed from standard parts on the basis of the microammeter M91 and actuated by a current of  $0.25 \text{ microamperes}$  or less has been proposed. The impulse on the photorelay is given by the light pointer of the microammeter.

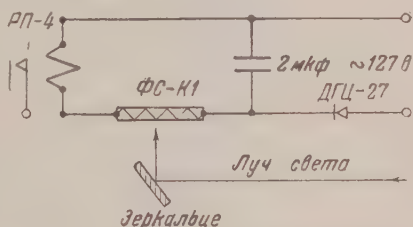


Схема реле на фотосопротивлении ФСК-1

## ДИСКУССИЯ

ОТВЕТ Ю. С. ЗУЕВУ и С. И. ПРАВЕДНИКОВОЙ НА ИХ ЗАМЕЧАНИЯ  
К СТАТЬЕ Н. Н. ЗНАМЕНСКОГО «К ВОПРОСУ О КИНЕТИКЕ  
ВЗАИМОДЕЙСТВИЯ ОЗОНА С РЕЗИНОЙ»

Н. Н. Знаменский

Вызывает недоумение утверждение авторов [1] о том, что в статье [2] Н. Н. Знаменский в качестве основного положения принимал, что «... скорость химической реакции озона с резиной... можно определить по скорости ее удлинения в начальный период реакции...».

Как можно принимать выдвигаемую в статье [2] с рядом оговорок гипотезу в основном положение всей работы? В самом деле, у Н. Н. Знаменского [2] на стр. 109 написано: «Если допустить, что скорость удлинения образца резины под действие озона пропорциональна скорости химической реакции озона с углеводородом каучука, то можно было бы сделать однозначный вывод о характере данного процесса. Однако, учитывая ряд совместно действующих здесь факторов (соотношение  $l$  и  $s$  образца в каждый момент времени, изменение истинного напряжения по мере деструкции образца, что влияет на скорость химического процесса), нельзя исключать некоторую незначительную для данных пределов удлинения погрешность при оценке скорости реакции озона с углеводородом каучука. В силу этого гипотеза о пропорциональности скорости удлинения образца скорости химической реакции с озоном нуждается в проверке другими методами».

Вышеприведенная цитата указывает также на то, что автор [2] полностью учитывал влияние физических процессов, происходящих в резинах в атмосфере озона.

Конечно, не в этом состоит основное положение работы Н. Н. Знаменского. Основной результат работы сводится к созданию объективного метода сравнительной количественной оценки озоностойкости вулканизатов.

Что касается механизма действия химических ингибиторов озонового растрескивания, то следует отметить, что в свете новейших исследований [3, 4] его уже нельзя считать полностью неясным, как утверждают авторы [1], и поэтому, во всяком случае, можно считать, что химическая сторона взаимодействия озона с резиной найдена, что полное отражение в суммарном эффекте удлинения и разрушения резины.

Ю. С. Зув и С. И. Праведникова утверждают далее, что растрескивание имеет место по всей длине образца, причем исходят из того факта, что зависимость  $\ln \Delta l$  — описывается одной прямой.

Мы считаем, что начальное удлинение предварительно уравновешенной резины под воздействием постоянной нагрузки происходит за счет остаточных релаксационных процессов, а также вследствие начинающегося изменения поверхностного слоя образца под действием озона и совершенно не обязательно это удлинение на данной стадии сопровождается растрескиванием образца. Это обычно и наблюдается на практике. Кинетическая область удлинения, принятая в данном случае равной 1—1,5%, является величиной условной, зависящей как от свойств (модуль) данного конкретного вулканизата, так и главным образом — от концентрации озона, а также от температуры и в отдельных случаях может составлять достаточно большую величину. Этот вопрос к тому же, как нам кажется, не является принципиальным и не может быть предметом дискуссии.

Напротив, вопрос о влиянии напряжения на скорость взаимодействия озона с резиной, действительно, является принципиальным. Вопреки утверждениям авторов [1], здесь нет единого мнения.

Напомним, например, известную работу Ньютона [5], где автор, исследуя скорость реакции озона с каучуком методом поглощения озона, нашел, что поглощение озона, измеренное по привесу образца по мере его удлинения, имеет прямолинейную зависимость (удлинение от 20 до 250%, привес — от 22 до 78 γ).

Можно также сослаться на работу Тродела [6], который не наблюдал никаких различий в результатах растрескивания при экспозиции в ультрафиолетовом свете резин на основе GRS, растянутых от 10 до 35%. Последнее согласуется также с наблюдениями Поула и Гука [7], сделавших вывод, что так называемого критического удлинения (величина растяжения), влияющего на степень озонового растрескивания, не существует.



Почему, спрашивается, нужно игнорировать приведенные экспериментальные ты и целиком согласиться с данными авторов [1]?

Кстати, приведенный авторами на рис. 2 [1] график не содержит данных по вулканизатам СКБ, с которыми работали Н. Н. Знаменский, а наличие минимумов на вых как бы подчеркивается вытянутым масштабом по оси ординат.

Очевидно, чтобы окончательно убедить читателей в порочности данных Н. Н. Знаменского [2], авторы [1] изыали из воспроизведенного из статьи [2] рис. 4 кривую асимости константы скорости удлинения от величины деформации, по-видимому, ому, что там при всем желании нельзя отыскать ни максимума, ни минимума. ме того, они ни слова не сказали относительно помещенной там же таблицы, из орой следует, что никаких максимумов и минимумов в данных автора [2] нет. введем эту таблицу [2].

**Влияние начального растяжения образца серного вулканизата СКБ на кинетику удлинения его в токе озона при концентрации последнего  $4 \times 10^{-3} \%$**

Начальное растяжение, %	k, мин <sup>-1</sup>		Время до разрыва образца трээр., мин.
	абсолютн.	относит.	
10	0,079	100	57
15	0,085	108	47
20	0,144	182	33
25	0,154	195	32
30	0,190	240	36
40	0,230	291	27
50	0,335	424	23

На приведенной на рис. 3 [1] кривой точки, отвечающие 20, 25 и 30% деформации, имеют некоторый небольшой разброс; кроме того, положение точек на рис. 3 [1], взятую из работы Н. Н. Знаменского, искажено. Ясно, что на основании приведенных экспериментальных данных вывод Н. Н. Знаменского о наличии монотонной зависимости скорости удлинения образцов резины на основе СКБ сделан вполне произвольно и неправильно.

Следует отметить, что авторы [1] вновь признали субъективность метода отсчета времени до появления трещины при оценке озоностойкости резины. Однако их замечание о том, что опыты ставились при участии одного наблюдателя, ни в какой мере не уменьшают достоинства метода. Поэтому вполне правомерными являются сомнения, высказанные автором [2], в достоверности результатов, полученных Ю. С. Зуевым в его работах, выполненных до 1954 г.

В заключение следует сказать, что за последние годы в Советском Союзе появилось два количественных объективных метода оценки озоностойкости резины: метод Ю. С. Зуева и С. И. Праведниковой, основанный на определении спада условного напряжения при постоянной деформации образца, помещенного в токе озона, и метод Н. Н. Знаменского, основанный на определении кинетики удлинения образца при постоянной нагрузке.

Тот и другой методы аппаратурно оформлены и с одинаковым успехом могут быть использованы для оценки сравнительной озоностойкости вулканизатов.

В 1956 г. за рубежом появился разработанный Бакли и Робинсоном [8] высокочувствительный прибор для определения озоностойкости резины, позволяющий производить измерение работы, затрачиваемой на образование новых поверхностей при увеличении растяжения образца в токе озона, сопровождаемом падением напряжения в этом образце.

Таким образом, метод Бакли и Робинсона объединит оба принципа, использованных с одной стороны Н. Н. Знаменским и с другой — Ю. С. Зуевым и С. И. Праведниковой, и поэтому является более совершенным.

Научно-исследовательский институт резиновых и латексных изделий

Поступила  
28. I. 1958

#### ЛИТЕРАТУРА

1. Ю. С. Зуев и С. И. Праведникова, Ж. физ. химии, 31, 2586, 1957.
2. Н. Н. Знаменский, Ж. физ. химии, 30, 1092, 1956.
3. I. P. Wilbaut, Ind. Chim. Belge, 20, 1, 1955.
4. I. Stanley, B. Simms, A. Delman, A. Allison, Rubber Age, 79, 967, 1956.
5. R. G. Newton, J. Rubber Res., 14, 3, 4, 1945.
6. M. C. Throdahl, Rubber Chem. and Techn. 21, 220, 1948.
7. E. Powell, W. Gough, Rubber Chem. and Techn. 19, 406, 1946.
8. D. J. Buckley, B. B. Robison, J. Polymer Sci, 91, 145, 1956.



## ПИСЬМА В РЕДАКЦИЮ

## ХАРАКТЕРИСТИЧЕСКАЯ ВЯЗКОСТЬ ПОЛИМЕРОВ В ХОРОШИХ РАСТВОРИТЕЛЯХ

О. Б. Птицын и Ю. Е. Эйзнер

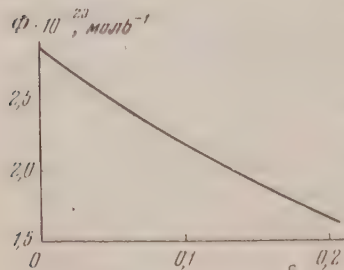
Существующие теории характеристической вязкости растворов полимеров [1], основывающиеся на применении гауссовой статистики к характеристике свойств полимерных цепей, т. е., в частности, на предположении о том, что средний квадрат расстояния между любой парой атомов цепи равен

$$\overline{r_{ij}^2} = |i - j| b^2,$$

где  $i$  и  $j$  — номера атомов, а  $b$  — эффективная длина звена. Для достаточно больших молекулярных весов, когда макромолекулу можно считать не проницаемой для растворителя, эти теории приводят к результату

$$[\eta] = \Phi \frac{(\overline{h^2})^{3/2}}{M} = \Phi \cdot 6^{3/2} \frac{(\overline{R^2})^{3/2}}{M},$$

где  $[\eta]$  — характеристическая вязкость,  $\overline{h^2}$  — средний квадрат расстояния между концами цепи,  $\overline{R^2}$  — средний квадрат радиуса инерции цепи,  $M$  — молекулярный вес, а  $\Phi$  — константа, которая считается не зависящей ни от  $M$ , ни от природы полимера и растворителя [3]. Переход от плохого растворителя к хорошему, согласно точке зрения, развиваемой Флери [3], приводит, следовательно, к увеличению  $[\eta]$  пропорциональному увеличению объема макромолекулы.



Эта точка зрения, однако, нуждается в уточнении, так как в хороших растворителях полимерные цепи не подчиняются гауссовой статистике, и применение которой основано уравнение (2) с  $\Phi = \text{const}$ . Ввиду наличия так называемых «объемных» или «осмотических» эффектов формула (1) в хороших растворителях может быть приближенно заменена формулой

$$\overline{r_{ij}^2} = |i - j|^{1+\varepsilon} b^2, \quad (3)$$

где  $0 < \varepsilon < 0,20$  [4, 5]. В настоящей статье мы получим выражение для  $[\eta]$  (в случае макромолекул, не проницаемых для растворителя) с учетом объемных эффектов, приводящих к отклонениям от гауссовой статистики.

Как показано в работе Цимма [2], выражение для  $[\eta]$  имеет вид:

$$[\eta] = \frac{N_A b^3 f_0}{6M\eta_0} \sum_{k=1}^N \frac{1}{\lambda_k}, \quad (4)$$

где  $N_A$  — число Авогадро,  $f_0$  — коэффициент трения кинетической единицы цепи,  $\eta_0$  — вязкость растворителя,  $N$  — число кинетических единиц, а  $\lambda_k$  — собственные числа интегро-дифференциального уравнения

$$\alpha''(r) + \frac{Nf_0}{12\pi\eta_0} \int_{-1}^{+1} \left( \frac{1}{r_{ij}} \right) \alpha''(s) ds = -\frac{N^2}{4} \lambda_k \alpha(r) \quad (5)$$

с граничными условиями

$$\alpha'(\pm 1) = 0. \quad (6)$$

При  $N \gg 1$  первым членом в левой части уравнения (5) можно пренебречь (что соответствует случаю неполициваемой молекулы). Сопоставление уравнения (4) с аналогичным уравнением теории Кирквуда — Райзмана [1] показывает, что в хороших растворителях уравнение (4) приближенно должно иметь вид:

$$[\eta] \approx \frac{N_A \bar{R}^2 f_0}{NM\eta_0} \sum_{k=1}^N \frac{1}{\lambda_k}, \quad (7)$$

в уравнении (5)  $(1/r_{ij})$  должно вычисляться с учетом негауссовой статистики.

Считая функцию распределения для  $r_{ij}$  в хороших растворителях гауссовой со средним значением  $\bar{r}_{ij}^2$ , выражаемым уравнением (3) (см. [4]), имеем:

$$\left( \frac{1}{r_{ij}} \right) = \sqrt{\frac{6}{\pi}} \frac{1}{\frac{1+\varepsilon}{2} b} \exp\left(-\frac{6}{b^2} \left| \frac{1+\varepsilon}{2} r_{ij} \right|^2\right), \quad (8)$$

Подставляя уравнение (8) в уравнение (5) и переходя к переменным  $r = (2i/N) - 1$  и  $s = (2j/N) - 1$ , получаем (для  $N \gg 1$ ):

$$\int_{-1}^{+1} \frac{a''(s) ds}{\frac{1+\varepsilon}{2} b} = -\lambda' \alpha(r), \quad (9)$$

$$\lambda' = \frac{\sqrt{12\pi^3} N^{3/2} b \eta_0}{4f_0} \left( \frac{N\varepsilon/2}{2} \right)^{1/2}. \quad (10)$$

Подстановка уравнения (10) в уравнение (9) с учетом полученного Петрашином [5] соотношения между  $R^2$  и  $\bar{h}^2$

$$\bar{h}^2 \approx 6\bar{R}^2 \left( 1 + \frac{5\varepsilon}{6} \right), \quad (11)$$

$$[\eta] = \Phi(\varepsilon) 6^{3/2} \frac{(\bar{R}^2)^{3/2}}{M}. \quad (12)$$

$$\Phi(\varepsilon) \approx \frac{\pi^{3/2} N_A}{4V\bar{3}} \frac{1+5\varepsilon/12}{2^{3/2}} \sum_{k=1}^N \frac{1}{\lambda'_k} \quad (13)$$

Собственные значения уравнения (9) при граничных условиях (6) вычислялись методом, аналогичным методу, предложенному в работе [6] для случая  $\varepsilon = 0$ . В этом методе собственные функции  $\alpha_k(r)$  ищутся в виде рядов Фурье, для коэффициентов которых  $k a_m$  получаем бесконечную систему уравнений. Собственные значения  $\lambda'_k$  определяются из векового уравнения этой системы:

$$G \vec{k} a = \lambda'_k \vec{k} a, \quad (14)$$

где  $\vec{k} a$  — вектор с составляющими  $k a_m$ , а элементы матрицы имеют вид:

$$\left. \begin{aligned} G_{lm} &= 2\sqrt{2\pi} \cdot 2^{-\delta} (-1)^{\frac{l-m+2}{2}} \frac{m^2}{l^2 - m^2} [(\ell\pi)^\delta S_\delta(\ell\pi) - (m\pi)^\delta S_\delta(m\pi)], \\ G_{kk} &= \sqrt{2\pi} \cdot 2^{-\delta} (k\pi)^\delta [k\pi C_\delta(k\pi) - \delta S_\delta(k\pi)], \end{aligned} \right\} \quad (15)$$

где

$$\left. \begin{aligned} S_\delta(x) &= \frac{1}{\sqrt{2\pi}} \int_0^x \frac{\sin t dt}{t^\delta}, \\ C_\delta(x) &= \frac{1}{\sqrt{2\pi}} \int_0^x \frac{\cos t dt}{t^\delta}, \end{aligned} \right\} \quad (16)$$

а  $\delta = (1 + \epsilon)/2$ . При  $\epsilon = 0$  функции  $S_\delta$  и  $G_\delta$  переходят в соответствующие интегралы Флоры, а уравнения (15) — в уравнения (5) работы [6].

Вычисления производились для  $\epsilon = 0; 0,02; 0,04; 0,06; 0,08; 0,12; 0,16$  и  $0,2$ . Первые девять собственных значений  $\lambda'_k$ , как в работе [6], вычислялись методом возмущений по формулам второго приближения

$$\lambda'_k = G_{kk} - \sum_{l \neq k} \frac{G_{kl} G_{lk}}{G_{ll} - G_{kk}} \quad (1)$$

и сведены в таблицу. Остальные собственные значения  $\lambda'_k$  вычислялись по асимптотической формуле

$$\lambda'_k = 2^{-\delta} \Gamma(1-\delta) \sin \frac{\pi\delta}{2} (k\pi)^{1+\delta} \left[ 1 - \frac{\delta}{k\pi} \operatorname{ctg} \frac{\pi\delta}{2} \right], \quad (1)$$

основанной на асимптотических выражениях для функций  $S_\delta$  и  $C_\delta$ .

k	$\epsilon$							
	0,00	0,02	0,04	0,06	0,08	0,12	0,16	0,20
1	4,035	4,211	4,396	4,589	4,791	5,226	5,705	6,236
2	12,77	13,40	14,05	14,75	15,48	17,05	18,80	20,76
3	24,18	25,46	26,81	28,23	29,73	33,00	36,65	40,76
4	37,84	39,95	42,18	44,54	47,03	52,47	58,59	65,49
5	53,36	56,45	59,72	63,19	66,87	74,92	84,01	94,30
6	70,61	74,83	79,31	84,06	89,11	100,2	112,7	127,0
7	89,34	94,82	100,6	106,8	113,4	127,9	144,3	163,0
8	109,6	116,5	123,8	131,6	139,9	158,1	178,9	202,6
9	131,1	139,5	148,4	157,9	168,0	190,4	215,9	245,0

Полученная указанным путем функция  $\Phi(\epsilon)$  приведена на рисунке. Из рисунка видно, что с увеличением  $\epsilon$  от 0 (идеальный растворитель, т. е.  $\theta$  — точка Флори [3], до 0,20 (хороший растворитель)  $\Phi$  уменьшается от величины  $2,84 \cdot 10^{23}^{**}$  до  $1,67 \cdot 10^{23}$ . Зависимость  $\Phi$  от качества растворителя была недавно экспериментально исследована Кригбаумом и Карпентером [7], которые получили, что с улучшением растворителя  $\Phi$  уменьшается приблизительно от 2,6 до  $2,0 \cdot 10^{23}$ . Приведенные в работе [7] литературные значения  $\Phi$  для различных систем полимер — растворитель подтверждают этот результат. Как показывает настоящая работа, зависимость  $\Phi$  от качества растворителя может быть объяснена отклонениями от гауссовой статистики полимерных цепей, т. е. тем обстоятельством, что объемные эффекты сильнее влияют на расстояния между более удаленными сегментами.

Институт высокомолекулярных  
соединений АН СССР

Поступила  
17. VII. 1957

#### ЛИТЕРАТУРА

1. J. G. Kirkwood, J. Riseman, J. Chem. Phys., 16, 565, 1948.
2. B. H. Zimm, J. Chem. Phys., 24, 269, 1956.
3. P. J. Flory, Principles of polymer chemistry, N. Y. 1953, Ch. XIV.
4. О. Б. Птицын, Ж. физ. химии, 31, 1091, 1957.
5. A. Peterlin, J. Chem. Phys., 23, 2464, 1955.
6. B. H. Zimm, G. M. Roe, L. F. Epstein, J. Chem. Phys., 24, 279, 1956.
7. W. Krigbaum, D. Carpenter, J. Phys. Chem., 59, 1166, 1955.

\* Численные расчеты были выполнены в Ленинградском отделении Математического института АН СССР им. В. А. Стеклова под руководством Н. П. Рынкевич, которой авторы приносят глубокую благодарность.

\*\* При этом  $[\eta]$  выражено в  $\text{см}^3/\text{г}$ .



## ПЕТР АЛЕКСАНДРОВИЧ РЕБИНДЕР

(к 60-летию со дня рождения)

3 октября текущего года исполняется 60 лет выдающемуся советскому ученому академику Петру Александровичу Ребиндеру. 35 лет его плодотворной научной деятельности обогатили физическую и коллоидную химию новыми направлениями научных исследований и привели к разработке научных основ разнообразных производственных процессов. В результате систематических обширных исследований, проведенных П. А. Ребиндером и его многочисленными сотрудниками, был создан новый раздел физической химии — физико-химическая механика.

Первые работы П. А. Ребиндера, начиная с 1923 г., были посвящены изучению поверхностной активности органических соединений в водных растворах в зависимости от влияния на нее температуры, природы поверхности раздела и времени формирования адсорбционных слоев. В этих работах (с А. В. Таубманом и К. Ф. Жиганом) были установлены интересные закономерности, создан удобный прибор для измерения поверхностного натяжения и выяснено значение адсорбции из растворов для ряда отраслей технологии. В результате этих работ измерения поверхностного натяжения растворов стали широко применяться для изучения адсорбции на жидких поверхностях раздела и в исследованиях свойств технических жидких сред.

Основываясь на представлении о возможности воздействовать на свойства дисперсных систем путем изменения природы поверхности раздела при помощи адсорбционных слоев, П. А. Ребиндер в своих работах последовательно изучает ряд новых проблем физико-химии дисперсных систем и поверхностных явлений. Исследуя моющую способность поверхностно-активных веществ (с Н. Н. Петровой), П. А. Ребиндер указывает, что моющее действие, представляющее собой сложный комплекс смачивающего, эмульгирующего, пенитизирующего и солюбилизирующего действия, может осуществляться только при оптимальном сочетании поверхностной активности моющего вещества в водном растворе и структурно-механических свойств его коллоидных адсорбционных слоев, стабилизирующих частицы загрязнений и гидрофилизирующих их поверхность.

Вместе с П. И. Серб-Сербинной Петром Александровичем было установлено, что ориентированные адсорбированные слои, химически связываясь с поверхностью твердых тел, способны гидрофобизировать ее и вызывать флокуляцию суспензий и флотацию их частиц. Детально исследуя (с М. Е. Липец, М. М. Ринской, П. М. Лубман и А. В. Таубманом) смачивающее действие жидкостей по отношению к твердым телам разной полярности природы, П. А. Ребиндер вводит понятие об избирательном смачивании и его инверсии, о гистерезисе смачивания, устанавливает принцип классификации твердых тел на гидрофильные и гидрофобные и выясняет механизм действия флотационных реагентов типа коллекторов, как поверхностно-активных веществ, способных в результате необратимого хемосорбционного взаимодействия с поверхностью минеральных частиц гидрофобизировать их и подготовить к флотационному акту прилипания к пузырькам воздуха в разных условиях образования трехфазного периметра смачивания.

Эти исследования, вместе с работой А. И. Фрумкина о механизме образования краевого угла с прорывом смачивающей пленки водной среды, представили собой основу для построения теории пенной флотации.



К этому направлению исследований примыкают работы П. А. Ребиндера (с В. Маргаритовым, А. П. Писаренко и Л. А. Козаровицким) по адсорбционной активности наполнителей в резиновых смесях и масляных красках, а также по физико-химическому обоснованию процессов печатания в полиграфии. Особое значение в исследованиях П. А. Ребиндера получила разработка одной из основных проблем физико-химии коллоидов — проблемы агрегативной устойчивости лиофобных дисперсных систем. Совместно с Е. К. Венстром, Н. Н. Серб-Сербиной и А. М. Смирновым П. А. Ребиндер исследовал механизм стабилизации эмульсий и показал, что он сводится к возникновению в системе двух жидкостей эмульсий обоих типов с последующим разрушением одной из них, так что «выживает» эмульсия того типа, который соответствует природе эмульгатора, обеспечивающего наибольшее время существования каплей одной жидкой фазы в другой. Работы П. А. Ребиндера с А. А. Трапниковым позволили установить связь между механическими свойствами перетворимых монослоев на поверхности воды и их стабилизирующим действием.

П. А. Ребиндер проведены подробные исследования по стабилизации адсорбционными слоями поверхностно-активных веществ суспензий и пен, особенно водных суспензий глины и суспензий в неводных углеводородных средах, и разработан метод серометрического анализа дисперсных систем (П. А. Фигуровский).

Результаты этих работ привели Петра Александровича к выводу, что сильная стабилизация, обеспечивающая высокую устойчивость дисперсных систем, может быть осуществлена только при помощи таких защитных поверхностных слоев, которые обладают резко выраженными механическими свойствами. В этом случае дисперсные системы приобретают полную устойчивость даже при очень высокой концентрации дисперсной фазы. Неструктурированные же адсорбционные слои, как и диффузионно-двойные слои ионов, могут вызвать лишь слабую стабилизацию лиофобных систем. Особый случай высокой термодинамической устойчивости в отсутствие структуры механического барьера (как это было показано П. А. Ребиндером с К. А. Поспеловым и З. И. Маркиной) осуществляется в системах переходного типа лиофильного характера (водные суспензии глины, самопроизвольно образующиеся эмульсии в концентрированных растворах мыл), в которых поверхностное натяжение на поверхности раздела частица — среда снижено до очень низких значений.

Наибольшее теоретическое и прикладное значение получили работы П. А. Ребиндера, связанные с открытием и детальным изучением явления адсорбционного понижения прочности твердых тел (называемого в литературе эффектом Ребиндера). Сущность этого широко изученного у нас и получившего признание за границей эффекта облегчения деформаций металлов, ионных кристаллов, стекол и др. вызывается понижением поверхностной энергии твердого тела в результате адсорбции поверхностно-активных молекул из внешней среды путем миграции по новым поверхностям дефектов структуры (микротрещинам) возникающих при деформации.

П. А. Ребиндером (с В. И. Лихтманом, Е. К. Венстром, Г. И. Логиновым, М. С. Афанасовой) было установлено, что адсорбционное воздействие среды обратимо и микротрещины в области упругих деформаций вновь смыкаются после разгрузки образцов. При этом на металлических монокристаллах эти эффекты вызываются не только обычными поверхностно-активными веществами, но и, в особенно резкой степени, легкоплавкими поверхностно-активными металлами в виде расплавленных покрытий, снижающими поверхностную энергию твердого металла и качественно изменяющими характер его механических свойств, например, превращая его в процессе деформации и пластично-текучего в хрупкое тело. Используя явление адсорбционного понижения прочности, оказалось возможным значительно облегчить при помощи так называемых «понижителей твердости» процессы диспергирования и бурения горных пород (Л. А. Шрейнер, К. Ф. Жигаев), улучшить механическую обработку металлов давлением и резанием (В. И. Лихтман, С. Я. Вейлер, Г. В. Карпенко, Г. И. Епифанов, Н. А. Плетенева) и разработать общие пути управления механическими свойствами различных материалов совместным воздействием физико-химических факторов и напряженного состояния тел в процессе деформации. С этими работами были тесно связаны исследования П. А. Ребиндера (совместно с Е. К. Венстром и В. И. Лихтманом) нового, открытого им электрокапиллярного эффекта — влияния на деформацию металлов скачка потенциала при поляризации его поверхности в электролите. Было установлено, что аналогично электрокапиллярной кривой на жидком металле, в соответствии с работами А. Н. Фрумкина, зависимость предела текучести и твердости металлов от скачка потенциала выражается такой же кривой, что позволило разработать метод определения точки нулевого заряда на твердых металлах.

Дальнейшим развитием этого направления исследований П. А. Ребиндера явилась разработка им системы представлений о пространственных структурах в дисперсных системах и их роли в создании прочности различных материалов. Эти работы наметили пути научного обоснования важной задачи — получения материалов с заданными механическими свойствами на основе образования различных дисперсных структур. П. А. Ребиндером были изучены закономерности и механизм образования основных типов таких структур — коагуляционных, конденсационных и кристаллизационных — путем возникновения новой твердой фазы или путем прессования, или спекания из частиц диспергированного материала. Им была разработана также система количественных характеристик эластично-вязкостных свойств этих структур, исследована

местно с Е. Е. Сегаловой, Н. Н. Серб-Сербиной, Л. А. Абдурагимовой, Л. В. Чумовой и др.) кинетика развития их деформаций и выяснены основные реологические свойства тиксотропных структур. Работы в этой области применительно к процессам структурообразования, кристаллизации и гидратационного твердения минеральных вяжущих (цементы, известь, гипс) выяснили механизм этих процессов и явились физико-химической основой для регулирования свойств строительных материалов с целью придания им высокой прочности и долговечности, и, в частности, для создания новой технологии бетона (Н. В. Михайлов). Новые представления П. А. Ребиндера о структурообразовании были также широко использованы в групповедении, технике глубокого бурения нефтяных скважин и технологии металлокерамики (Н. М. Горькова, Н. Я. Денисов).

Это направление работ П. А. Ребиндера получило настолько широкое развитие как в теоретическом, так и в прикладном отношении, что в настоящее время имеются основания говорить о возникновении новой пограничной области физико-химической науки — физико-химической механики, связывающей физико-химию дисперсных (коллоидных) систем, физику твердого тела и механику материалов.

Из всего сказанного в этом кратком обзоре о научной деятельности П. А. Ребиндера видно, что его разносторонняя исследовательская работа была органически связана с практикой в результате того, что в основании ее лежала единая идея об общности физико-химических основ различных, часто не связанных ранее друг с другом отраслей технологии и о возможности единого метода воздействия на дисперсные системы с помощью адсорбционных слоев с целью изменения и улучшения их свойств и улучшения процессами, протекающими с их участием.

П. А. Ребиндер сочетал свою научную работу с большой педагогической деятельностью и подготовкой квалифицированных кадров — в его школе 18 докторов наук, 50 кандидатов наук, прошедших подготовку в коллективе, которым он руководит в Институте физической химии Академии наук СССР и на кафедре коллоидной химии Московского государственного университета. П. А. Ребиндер с сотрудниками опубликовал около 300 научных работ и 10 монографий.

Научные заслуги П. А. Ребиндера были высоко оценены Советским правительством — он является лауреатом Сталинской премии и награжден орденами Ленина, Трудового Красного Знамени и Отечественной войны I степени и медалями.

В настоящее время П. А. Ребиндер продолжает столь же плодотворно и неутомимо развивать свои научные работы, которые несомненно и далее будут обогащать советскую науку и технику.

*А. Б. Таубман*

# СОДЕРЖАНИЕ

Л. А. Жаркова и Т. Н. Резухина. Теплосмкость вольфраматов никеля, стронция и цинка и молибдатов бария и стронция при высоких температурах . . . . .	4
Т. А. Кудрявцева и Н. М. Чирков. Кинетика реакции обмена хлора в изомерных β-хлоркетоновых кислотах. I . . . . .	4
А. М. Маркевич, И. И. Тамм и Ю. Н. Рябинин. Образование формальдегида при адиабатическом сжатии метано-кислородных смесей . . . . .	4
В. Е. Котина и И. Н. Шелепёв. Некоторые замечания относительно влияния деформации на ориентацию высокополимерных веществ . . . . .	4
Г. В. Ткаченко, Л. В. Стуленин, В. С. Этлис и Л. П. Кофман. Полимеризация хлорпроизводных стирола и их совместная полимеризация с хлористым винилом . . . . .	4
В. А. Щербинин, Г. А. Богданов. Дополнительные материалы к теории совместного действия катализаторов в растворе. V . . . . .	4
Н. А. Балашова. Адсорбция ионов брома и йода на платине . . . . .	4
В. А. Эпельбаум и М. А. Гуревич. К исследованию фазовой диаграммы системы цирконий—бор. II . . . . .	4
Н. А. Шишаков. О причине антикоррозионного действия нитрита натрия на железо . . . . .	4
О. А. Осипов и М. А. Панина. Диэлектрическая поляризация систем, составленных из двух полярных жидкостей . . . . .	4
Ф. И. Кукоз и Л. И. Антропов. Влияние ультразвука на процессы электровосстановления и электроокисления. I . . . . .	4
Е. Н. Гурьянова и Л. С. Кузина. Изотопный обмен серы в солях дитиокарбаминных кислот . . . . .	4
Ю. С. Зуев. О разделении фотохимического и светочувствительного действия и о скрытой фотосенсибилизации . . . . .	4
Е. Н. Еремин, Н. И. Кобозев и Б. Г. Людковская. Превращение метана в ацетилен в высоковольтной дуге. I . . . . .	4
Г. Л. Петрова и Г. А. Богданов. Активирующее влияние сульфата кобальта на катализ $H_2O_2$ хроматами натрия . . . . .	4
Н. В. Аксельруд и В. Б. Спиваковский. Оценка активностей ионов в смеси растворов хлоридов с хлористым натрием . . . . .	4
Р. М. Флид. Кинетика и механизм каталитических превращений ацетилена. II . . . . .	4
А. В. Сторонкин. Некоторые вопросы термодинамики многокомпонентных гетерогенных систем. I . . . . .	4
С. А. Николаева и Л. Луми. Исследование скорости растворения и стационарного потенциала амальгамы цинка в соляной кислоте . . . . .	4
Е. В. Вагин и А. А. Жуховицкий. Теория адсорбционно-термического разделения . . . . .	4
Е. Т. Денисов и Н. М. Эмануэль. Окисление бензола в фенол в жидкой фазе при температурах, близких к критической . . . . .	4
Ф. Ф. Волькенштейн. О зарядении поверхности полупроводника при адсорбции . . . . .	4
В. Д. Нефедов и Е. Н. Синотова. Разделение ядерных изомеров $Hg^{195}$ и $Hg^{197}$ . . . . .	4
С. И. Попель. Влияние компонентов оксидного расплава на его межфазное натяжение с железом . . . . .	4
В. А. Малюсов, Н. А. Малафеев и Н. М. Жаворонков. Определение коэффициентов разделения смеси дибутилфталат-дибутилсеаеат при испарении в высоком вакууме . . . . .	4
В. И. Мусихин и О. А. Есин. Катодная поляризация в титаносодержащих шлаках . . . . .	4
А. Д. Степухович. О природе отрицательного температурного коэффициента скорости рекомбинации радикалов . . . . .	4
М. Т. Дмитриев. Радиационное окисление азота. III . . . . .	4
Г. В. Самсонов. Современное состояние исследования диаграммы системы бор—углерод . . . . .	4
С. А. Каменецкая, С. Я. Пшежецкий и Н. А. Славинская. Влияние озона на воспламенение углеводородов. I . . . . .	4
Р. Р. Догонадзе. Применение вращающегося дискового электрода к изучению кинетических и каталитических процессов в электрохимии. Случай разных коэффициентов диффузии . . . . .	4
Ф. Г. Эльдаров. Теплопроводность неводных растворов электролитов . . . . .	4
М. М. Егоров, К. Г. Красильников и В. Ф. Киселев. Влияние природы поверхности силикагеля и кварца на их адсорбционные свойства . . . . .	4



# Методы и техника физико-химического исследования

С. Лапик, П. М. Калачев, Ю. А. Силкин и К. В. Чмутов. Лабораторный термостат с автономным питанием . . . . .	2455
Г. Майрановский. Об определении высоты полярографических волн при отсутствии площадки предельного тока . . . . .	2456
Т. Августль. Высокочувствительное реле . . . . .	2461

## Дискуссия

Н. Знаменский. Ответ Ю. С. Зуеву и С. И. Праведниковой на их замечания к статье Н. Н. Знаменского «К вопросу о кинетике взаимодействия озона с резиной» . . . . .	2462
---	------

## Письма в редакцию

Б. Птицын и Ю. Е. Эйзнер. Характеристическая вязкость полимеров в хороших растворителях . . . . .	2464
---	------

## Хроника

Б. Таубман. Петр Александрович Ребиндер (к 60-летию со дня рождения) . . . . .	2467
--	------

## CONTENTS

A. Zharkova, T. N. Rezhukhina. Thermal Capacity of Nickel, Strontium and Zinc Tungstates and of Barium and Strontium Molybdates at Elevated Temperatures. . . . .	2233
A. Kudryavtseva and N. M. Chirkov. Kinetics of the Chlorine Exchange Reaction in Isomeric $\beta$ -Chlorocrotonic Acids . . . . .	2236
M. Markevich, I. I. Tamm and Yu. N. Ryabinina. Production of Formaldehyde in the Adiabatic Compression of Methane—Oxygen Mixtures. . . . .	2242
V. Kotina and I. N. Shelepen. Some Observations Concerning the Effect of Deformation on the Orientation of High Polymer Substances . . . . .	2247
V. Tkachenko, L. V. Stupen, V. S. Ellis and L. P. Kofman. Polymerization of Chlorine Derivatives of Styrene and Their Co-Polymerization with Vinyl Chloride . . . . .	2251
A. Shcherbinin and G. A. Bogdanov. Further Material on the Theory of Co-Activity of Catalysts in Solution. V . . . . .	2256
A. Balashova. Adsorption of Bromine and Iodine Ions on Platinum . . . . .	2266
A. Epelbaum and M. A. Gurevich. A Study of the Phase Diagram of the System Zirconium—Boron . . . . .	2274
A. Shishakov. The Cause of the Anticorrosion Effect of Sodium Nitrate on Iron. . . . .	2282
A. Osipov and M. A. Panina. The Dielectric Polarization of Systems Comprising Two Polar Liquids . . . . .	2287
I. Kukozev and L. N. Antropov. The Effect of Ultrasound on Electroreduction and Electrooxidation Processes. I . . . . .	2294
N. Guryanova, L. S. Kuzina. Sulfur Isotopic Exchange in Salts of Dithiocarbamic Acids. . . . .	2301
S. Zuev. On the Separation of the Photochemical and Light Filtering Effects and on Latent Photosensitization . . . . .	2308
N. Eremin, N. I. Kobozev and B. G. Lukovskaya. The Conversion of Methane to Acetylene in the High Voltage Arc. I. . . . .	2315
L. Petrova and G. L. Bogdanov. The Activating Effect of Cobalt Sulfate on the Sodium Chromate Catalysis of $H_2O_2$ . . . . .	2324
V. Axelrod and V. B. Spivakovskiy. An Estimation of the Ionic Activities in Solutions of Mixtures of Chlorides and Sodium Chloride . . . . .	2333
M. Flid. The Kinetics and Mechanism of the Catalytic Conversion of Acetylene. II. . . . .	2339
V. Storonkin. Some Problems Concerning the Thermodynamics of Tri-component Triphase Systems. I . . . . .	2347
A. Nikolaeva and L. Lumi. A Study of the Rate of Dissolution and Potential of Zinc Amalgam Dissolving in Hydrochloric Acid . . . . .	2356



- E. V. Vagin, A. A. Zhukhovitsky. The Theory of Thermo-Adsorption Separation . . . . .
- E. T. Denisov and N. M. Emanuel. The Liquid Phase Oxidation of Benzene to Phenol at Temperatures Near the Critical . . . . .
- Th. Wolkenstein. The Charging of a Semiconductor Surface during Adsorption. . . . .
- V. D. Nefedov, E. N. Sinotova. Separation of the Nuclear Isomers  $\text{Hg}^{195}$  and  $\text{Hg}^{197}$  . . . . .
- S. L. Popel. The Effect of the Components of an Oxide Melt on Its Interfacial Tension with Iron . . . . .
- V. A. Malyusov, N. A. Malafeev, N. M. Zhavaronkov. Determination of the Separation Coefficients of a Mixture of Dibutyl Phthalate and Dibutyl Azelate. . . . .
- V. I. Musikhina and O. A. Esin. Cathodic Polarization in Titanium-Containing Slags. . . . .
- A. D. Stepukhovich. On the Nature of the Negative Temperature Coefficient of the Rate of Radical Combination . . . . .
- M. T. Dmitriev. The Radiation Oxidation of Nitrogen. III. Some Questions Concerning the Mechanism of the Reaction, and a Comparison with Electrical Discharge Data. . . . .
- G. V. Samsonov. The Present State of Investigation of the Boron—Carbon Diagram . . . . .
- S. A. Kamenetskaya, S. Ya. Pshezhetsky and N. A. Slavinskaya. The Effect of Ozone on the Ignition of Hydrocarbons. I . . . . .
- P. P. Dogonadze. The Application of the Rotating Disc Electrode to Studies on Kinetic and Catalytic Processes in Electrochemistry. The Case of Differing Diffusion Coefficients. . . . .
- F. G. Eldarov. The Thermal Conductivity of Non-aqueous Solutions . . . . .
- M. M. Egorov, K. G. Krasilnikov, V. F. Kiselev. The Influence of Silica Gel and Quartz Surfaces on the Adsorption Properties. I . . . . .

### Experimental Methods and Techniques

- V. S. Lapik, P. M. Kalachev, Yu. A. Silkin, K. V. Chmutov. A Laboratory Thermostat with Independent Current Supply . . . . .
- S. G. Maironovsky. Determination of the Height of the Polarographic Wave in the Absence of a Limiting Current Plateau . . . . .
- V. T. Avgul. High Sensitivity Relay . . . . .

### Discussion

- N. N. Znamensky. Reply to the Remarks of Yu. S. Zuev and S. I. Pravednikova Concerning the Report by N. N. Znamensky: «On the Kinetics of the Interaction of Rubber with Ozone». . . . .

### Communications to the Editor

- O. B. Ptitsyn and Yu. E. Eisner. The Intrinsic Viscosity of Polymers in Good Solvents. . . . .

### Miscellany

- A. B. Taubman. Peter Aleksandrovich Rehbinder (On His 60th Birthday Anniversary). . . . .

## К СВЕДЕНИЮ АВТОРОВ

Статьи, направляемые в Журнал физической химии, должны удовлетворять следующим требованиям:

1. Статьи должны быть изложены в наиболее сжатой форме, совместимой с ясно-изложением, и тщательно отредактированы в рукописи.

2. Статьи, излагающие результаты работ, проведенных в учреждениях, должны иметь направление учреждения.

В конце статьи автором должно быть указано название научного учреждения, в котором произведена работа.

3. Статья обязательно должна быть подписана автором, причем инициалы и имя автора должны быть четко повторены на машинке. К статье должны бытьложены адрес автора, место его работы, № телефона для переговоров.

4. Статьи присылаются в редакцию в двух экземплярах, четко переписанные на машинке без помарок и вставок, на одной стороне листа, через два интервала, с остав-лем с левой стороны листа поля в 4 см. Страницы рукописи должны быть пронумерованы по порядку, без литерных наращений (т. е. 7, 8, 9 и т. д., а не 7, 7а, 8, 9, 9а, и т. д.).

5. Формулы и буквенные обозначения величин должны быть вписаны четко и от руки. Особенное внимание следует обращать на тщательное изображение эксов и показателей степеней. Показатели и другие надстрочные значки от-мечаются скобкой  $\sim$ , а подстрочные скобкой  $\sim$ .

Необходимо делать ясное различие между заглавными и строчными буквами, чего заглавные буквы подчеркнуть снизу двумя черточками (например,  $\underline{O}$ ), строчные двумя черточками сверху (например,  $\overline{o}$ ), 0 (ноль) оставлять без подчер-каний. Это особенно относится к таким буквам, как  $s$  и  $\bar{S}$ ,  $k$  и  $\bar{K}$ ,  $p$  и  $\bar{P}$ ,  $u$  и  $\bar{U}$ ,  $v$  и  $\bar{V}$ ,  $w$  и  $\bar{W}$ . Греческие буквы нужно обводить красным карандашом.

6. Рисунки должны быть выполнены на белой бумаге или на кальке, тушью. Подписи и обозначения на рисунках должны быть сделаны красным карандашом. В тексте обязательно указать место для рисунков, вынося номер рисунка на поле. На обороте каждого рисунка должны быть поставлены фамилия автора, заглавие статьи, стра-ца, к которой относится рисунок. Подписи к рисункам и фотографиям должны быть собраны на отдельном листе, прилагаемом к рукописи.

7. Следует избегать повторения одних и тех же данных в таблицах, графиках, тексте статьи.

8. Места, предназначенные к набору петитом, должны быть отмечены вертикаль-ной чертой на полях.

9. Ссылки на литературу должны быть собраны в конце в виде списка и включать инициалы и фамилию автора в подлиннике, название журнала, том (под-ключить снизу), страницу и год, а для книг: инициалы и фамилию автора, точное название книги, наименование издательства, место и год издания.

В тексте ссылки на литературу обозначаются порядковой цифрой в квадратных об-ках. Категорически не допускаются ссылки на неопубликованные работы (кроме ссертации). Иностранные фамилии и термины даются в тексте в русской тран-рипции, а в перечне литературы — в оригинальной транскрипции.

10. Не следует употреблять сокращенных слов кроме общепринятых (т. е.,  $\pi$ , и т. д.).

Надлежит придерживаться следующих сокращений: килограмм —  $kg$ ; грамм —  $g$ ;  $\mu$ ам-молекула —  $\mu$ -моль; миллиграммолекула —  $mg$ -моль; метр —  $m$ ; дециметр —  $dm$ ; сантиметр —  $cm$ ; миллиметр —  $mm$ ; литр —  $l$ ; миллилитр —  $ml$ ; квадратный санти-метр —  $cm^2$ ; кубический сантиметр —  $cm^3$ ; орто-, мета-, пара-, — $o$ -,  $m$ - и  $p$ -; нормаль-ный —  $N$ , децинормальный —  $0.1 N$ ; молярный —  $M$ ; температура кипения —  $t$  кип., температура плавления —  $t$  пл.

11. Статью обязательно заканчивать формулировкой выводов. Выводы должны одержать не оглавления разделов работы, а краткое изложение ее итогов; кроме выводов представлять резюме на английском языке, можно писать по-русски; в этом случае перевод будет выполнен редакцией.

12. В случае представления двух или более статей одновременно необходимо казать желательный порядок их помещения.

13. Статьи, не отвечающие перечисленным требованиям, возвращаются авторам ля переработки.

14. В присылаемой корректуре исправляются только типографские ошибки,  $\pi$ аккие изменения и добавления не допускаются.

15. В случае направления автору статьи для согласования внесенных редакцией изменений сохраняется первоначальная дата поступления статьи в редакцию, по  $\pi$ ри возвращении статьи автору для серьезной переработки и исправления датой представления считается дата принятия редакцией к публикации.

16. Редакция высылает автору бесплатно 50 отдельных оттисков статьи.

Несоблюдение перечисленных условий задерживает печатание статьи.

Непринятые рукописи авторам не возвращаются.



Цена 22 руб. 50 коп.

# **ОТКРЫТА ПОДПИСКА НА 1959 год НА ЖУРНАЛЫ АКАДЕМИИ НАУК СССР**

Названия журналов	Количество номеров в год	Годовая подписная цена
<b>Общеакадемические журналы</b>		
Вестник Академии наук СССР	12	96
Доклады Академии наук СССР (без папок)	36	518—40
Доклады Академии наук СССР (с 6 коленкоровыми папками с тиснением)	36	542—40
Известия Карельского и Кольского филиалов Академии наук СССР	4	28
Известия Сибирского отделения Академии наук СССР	12	84
Природа	12	84

## **Журналы по физико-математическим наукам**

Акустический журнал	4	48
Астрономический журнал	6	99
Атомная энергия	12	96
Атомная энергия (с 6 приложениями)	12	144
Журнал технической физики	12	126
Журнал экспериментальной и теоретической физики	12	288
Известия Академии наук СССР, серия геофизическая	12	126
Известия Академии наук СССР, серия математическая	6	90
Известия Академии наук СССР, серия физическая	12	144
Кристаллография	6	90
Математический сборник	12	144
Оптика и спектроскопия	12	162
Приборы и техника эксперимента	6	90
Теория вероятностей и ее применения	4	45
Успехи математических наук	6	96
Успехи физических наук	12	144
Физика металлов и металловедение	6	150

## **Журналы по химическим наукам**

Геохимия	8	72
Журнал аналитической химии	6	72
Журнал научной и прикладной фотографии и кинематографии	6	72
Журнал неорганической химии	12	270
Журнал общей химии	12	330
Журнал прикладной химии	12	225
Журнал физической химии	12	270
Известия Академии наук СССР, Отделение химических наук	12	180
Коллоидный журнал	6	72
Успехи химии	12	96

## **Журналы по техническим наукам**

Автоматика и телемеханика	12	135
Известия Академии наук СССР, Отделение технических наук. Серия: Проблемы металла и топлива	6	75
Известия Академии наук СССР, Отделение технических наук. Серия: Проблемы механики и машиностроения	6	75
Известия Академии наук СССР, Отделение технических наук. Серия: Проблемы энергетики, автоматизации и электросвязи	6	75
Прикладная математика и механика	6	117
Радиотехника и электроника	12	165
Теплоэнергетика	12	96
Электричество	12	96

## **ПОДПИСКА ПРИНИМАЕТСЯ**

городскими отделами «Союзпечать», конторами и отделениями связи, общественными уполномоченными на заводах и фабриках, в научно-исследовательских институтах, учебных заведениях, учреждениях и организациях. Подписка принимается также отделениями и магазинами «Академкнига» и отделом подписных изданий конторы «Академкнига» по адресу: Москва, К—12, ул. Куйбышева, 8